



جامعة حلب
كلية الزراعة

الربط بين بعض الجينات المتعلقة بتحمل الجفاف مع بعض الصفات
المورفوفيزيولوجية باستخدام تقنية المايكروستاليت
في القمح القاسي

**Linking some drought tolerance genes with stress
morpho-physiological traits by using microsatellite
in Durum wheat**

رسالة قدمت لنيل درجة الدكتوراه في الهندسة الزراعية
اختصاص محاصيل حقلية

إعداد
المهندسة علا عمر مصطفى

1431 هـ / 2010 م



جامعة حلب
كلية الزراعة

الربط بين بعض الجينات المتعلقة بتحمل الجفاف مع بعض الصفات
المورفوفيزيولوجية باستخدام تقنية المايكرو ستاليت
في القمح القاسي

**Linking some drought tolerance genes with stress
morpho-physiological traits by using microsatellite
in Durum wheat**

رسالة أعدت لنيل درجة الدكتوراه في الهندسة الزراعية
اختصاص محاصيل حقلية

إعداد
المهندسة علا عمر مصطفى



جامعة حلب كلية الزراعة

الربط بين بعض الجينات المتعلقة بتحمل الجفاف مع بعض الصفات
المورفوفيزيولوجية باستخدام تقنية المايكرو ستاليت
في القمح القاسي

**Linking some drought tolerance genes with stress
morpho-physiological traits by using microsatellite
in Durum wheat**

رسالة قدمت لنيل درجة الدكتوراه في الهندسة الزراعية

اختصاص محاصيل حقلية

إعداد

المهندسة علا عمر مصطفى

إشراف

الدكتور ميلودي نشيط
خبير وراثية - مربى القمح القاسي
إيكاردا

أ. الدكتور حياة طوشان
أستاذة فزيولوجيا النبات
كلية الزراعة - جامعة حلب

بالتعاون

الدكتور عفيف غنيم
إدارة بحوث المحاصيل
الهيئة العامة للبحوث العلمية الزراعية

الدكتور كنان دركنلي
أستاذ مساعد تقنيات حيوية في قسم المحاصيل
كلية الزراعة - جامعة حلب

1431هـ/2010 م

شهادة

نشهد بأن العمل الموصوف في هذه الرسالة نتيجة بحث علمي قامت به المرشحة علا مصطفى بإشراف الأستاذة الدكتورة حياة طوشان أستاذة فيزيولوجيا النبات، كلية الزراعة في جامعة حلب، والدكتور ميلودي نشيط مربّي القمح القاسي في المركز الدولي للبحوث الزراعية في المناطق الجافة (إيكاردا)، وبالتعاون مع الدكتور كنان دركزلي كلية الزراعة في جامعة حلب، و الدكتور عفيف غنيم - إدارة بحوث المحاصيل الحقلية في الهيئة العامة للبحوث العلمية الزراعية. وأي مراجع بحثت في هذا الموضوع موثقة في نص الرسالة.

بإشراف

الدكتور
ميلودي نشيط

الدكتورة
حياة طوشان

المرشحة
علا مصطفى

Certificate

It is hereby certified that the work described in this thesis is the results of the author's own investigations under supervision of Dr. Hayat Toushan, Faculty of Agriculture, Aleppo University; Dr. Miloudi Nachit, International Center for Agricultural Research in Dry Area (ICARDA); Dr. Afif Ghneiem-crop research directory. GCSAR; and Dr. Kenan Drkazanli, Faculty of Agriculture, Aleppo University.

and any work has been duly acknowledged in the text.

Supervisors

Dr. Hayat Touchan

Dr. Miloudi Nachit

Candidate
Ola Moustafa

تصريح

أصرح بأن البحث الموصوف في هذه الأطروحة تحت عنوان "الربط بين بعض الجينات المتعلقة بتحمل الجفاف مع بعض الصفات المورفوفيزيولوجية باستخدام تقنية المايكرو ستاليت في القمح القاسي" لم يسبق أن قدم للحصول على أية درجة جامعية أخرى ولا مقدم حالياً لذلك، وأن كافة الأعمال والنتائج المذكورة هي محصلة جهودي الشخصية وبتوجيه من المشرفين العلميين. وإن أية معلومات أو طرائق أو نتائج أخرى ذكرت في الأطروحة قد نسبت إلى مصادرها ومؤلفيها بوضوح في النص وفي قائمة المراجع.

المرشحة

المهندسة علا عمر مصطفى

عنوان الأطروحة: الربط بين بعض الجينات المتعلقة بتحمل الجفاف مع بعض الصفات
المورفولوجية باستخدام تقنية المايكرو ستاليت في القمح القاسي

.

أعدت الأطروحة من قبل: المهندسة علا عمر مصطفى.

الدرجة العلمية المكتسبة: دكتوراه في المحاصيل الحقلية.

مكان وتاريخ المناقشة: كلية الزراعة بجامعة حلب - 2010/1/7.

لجنة الحكم:

الأستاذة الدكتورة حياة طوشان	الأستاذة في قسم المحاصيل الحقلية - كلية الزراعة - جامعة حلب مشرفاً
الأستاذ الدكتور أحمد هيثم مشنط	الأستاذ في قسم المحاصيل الحقلية - كلية الزراعة - جامعة حلب عضواً
الأستاذ الدكتور محمد معلا	الأستاذ في قسم المحاصيل الحقلية - كلية الزراعة - جامعة تشرين عضواً
الأستاذ الدكتور محمود دويدري	الأستاذ في قسم المحاصيل الحقلية - كلية الزراعة - الجامعة الأردنية-عمان عضواً
الدكتور أيمن عودة	الأستاذ المساعد في قسم المحاصيل الحقلية - كلية الزراعة - جامعة دمشق عضواً

فهرس المحتويات

<u>الموضوع</u>	<u>رقم الصفحة</u>
1. المقدمة	1
2. أهداف الدراسة	7
3. الدراسة المرجعية	8
3. 1. أهمية القمح	8
3. 1.1. تصنيف القمح	12
3. 2. علاقة مكونات الغلة بالغلة الحبية	13
3. 3. علاقة الصفات المورفولوجية بالغلة الحبية ومكوناتها	18
3. 3. 1. علاقة الصفات المورفولوجية بالغلة الحبية ومكوناتها	19
3. 3. 2. علاقة الصفات الفيزيولوجية بالغلة الحبية ومكوناتها	21
3. 4. علاقة الصفات الفينولوجية بالغلة الحبية ومكوناتها	30
3. 5. الدراسة الجزيئية	31
3. 5. 2. استخدام التقانات الحيوية	32
4. مواد البحث و طرائقه	43
4. 1. المادة النباتية	43
4. 2. مواقع العمل	44
4. 3. سنوات الدراسة	45
4. 4. طريقة الزراعة	45
4. 5. الصفات المدروسة	45
4. 6. التحاليل الجزيئية الوراثة	49
4. 7. التصميم والتحليل الإحصائي	56
4. 8. الظروف المناخية	57
5. النتائج	60
5. 1. الموسم الزراعي الأول 2004/2005	60
5. 1. 1. التحاليل الإحصائية الأساسية	60
5. 1. 2. اختبار T-Test	64

تابع فهرس المحتويات	
65	5.1.3. التحليل العنقودي لعلاقات الارتباط بين الصفات الشكلية والفيزيولوجية والغلة الحبية
66	5.1.4. دراسة علاقة الارتباط بين الغلة الحبية ومكوناتها، الصفات المورفوفيزيولوجية، والفينولوجية
68	5.2. التحليل المشترك للموسمي الزراعة 2006/2005 - 2007/2006
68	5.2.1. الغلة الحبية ومكوناتها
83	5.2.2. الصفات المورفولوجية (الشكلية)
95	5.2.3. الصفات الفيزيولوجية
132	5.2.4. الصفات الفينولوجية
146	5.3. نتائج الدراسة الجزيئية
178	6. المناقشة العامة
193	7. الاستنتاجات
195	8. المقترحات
196	9. المراجع
216	10. الملخص باللغة العربية
218	11. الملخص باللغة الانكليزية

شكر وتقدير

الحمد لله رب العالمين

أسمى آيات الشكر والتقدير والاحترام والاعتراف بالجميل لو الذي العظيم مثلي الأعلى ووالدتي الحنون رمز العطاء أقبل أيديهم الطاهرة التي لطالما ارتفعت تضرباً للرحمن بالدعاء الصادق راجية رضاها الدائم.

أتقدم بفائق الشكر والتقدير والعرفان لكل من الدكتورة حياة طوشان والدكتور ميلودي نشيط لتفضلهما بالإشراف على البحث، ولما قدموه لي من إرشاد وتوجيه ونصح، وأخص الدكتورة حياة طوشان التي كانت مثلاً رائعاً للعطاء العلمي والإنساني.

كما أشكر الدكتور كنان دركزلي، والدكتور عفيف غنيم لمشاركتهم في الإشراف على البحث.

كما أتوجه بالشكر الجزيل للسادة أعضاء لجنة الحكم الموقرة والمؤلفة من: الدكتور أحمد هيثم مشنط، الدكتور محمد معلا، الدكتور محمود دويري، والدكتور أيمن عودة لتفضلهم بتحمل عناء القراءة النقدية والحكم على الرسالة.

وأقدم بالشكر لرئاسة جامعة حلب خاصة السيد الدكتور نزار عقيل رئيس جامعة حلب، ولعمادة كلية الزراعة متمثلة بالسيد الدكتور محمد نبيل شلبي عميد الكلية، والسادة الوكلاء الدكتور أحمد هيثم مشنط، والدكتور صبحي منى، كما أشكر إدارة قسم المحاصيل وجميع أعضاء الهيئة التدريسية فيها، وخاصة رئيس قسم المحاصيل الدكتور أحمد شيخ قدور.

كل الشكر والتقدير للهيئة العامة للبحوث العلمية الزراعية لما قدمته من دعم ومساندة لانجاز هذا العمل، وخاصة الدكتور محمد وليد الطويل مدير الهيئة العامة للبحوث العلمية الزراعية، والزملاء والزميلات العاملين في إدارة بحوث المحاصيل وأخص بالشكر الكبير للدكتور وليد العك مدير إدارة بحوث المحاصيل لتشجيعه وتكرمه بكل ما يستطيع لدعم البحث العلمي في الإدارة، كما أشكر المهندس علي شحادة لما قدمه من تشجيع لأمضي قدماً.

وأتوجه بالشكر الجزيل للعاملين في إيكاردا خاصة المدير العام الدكتور محمود الصلح، والدكتور أحمد الأحمد، والدكتور مجد جمال، وجميع العاملين في برنامج القمح القاسي وأخص الأخ الأستاذ محمد الأزرق مني كل الاحترام والتقدير، أحمد الصالح، حسين جليبي، محمد الخالد، والأنسة ختام الأحمد، وروعة آوزون، وجميع العاملين في قسم التدريب والتأهيل

والمكتبة ووحدة الحاسوب والإحصاء الحيوي وأخص بالشكر المهندس خالد شمعة فلهم مني كل المحبة والتقدير على مساعدتهم ودعمهم.

كما وأشكر الدكتور أساموا لاربي خبير المراعي والأعلاف في إيكاردا لما قدمه من تشجيع وإرشاد وتوجيه في التحاليل الإحصائية.

وأقدم بالشكر الجزيل والتقدير العميق للأستاذ علي مصطفى عضو القيادة القطرية في حزب البعث العربي الاشتراكي - المدير العام للهيئة العامة للاجئين الفلسطينيين العرب لدعمه الدائم للكوادر المتميزة في بلدنا الحبيب.

الشكر الخاص للعطاء والدعم والمساندة اللامحدودة لصديقتي وأختي سوسن حسن لك مني كل الحب والإخلاص والتقدير.

ولا أنسى أصدقائي الذين وقفوا معي خلال انجاز هذا العمل وخاصة الأخ الرائع الدكتور أحمد شمس الدين، الدكتور نبيل حبيب، المهندس عبد اللطيف عساف، المهندس عبد الرزاق اسعود، المهندس مازن كتكوت، والأخت المتميزة ديمة لبابيدي، والرائعة زكاء مستت، والدكتورة سهى الأستر، دعائي لهم بالسعادة الدائمة.

الشكر كل الشكر لفخري وسندي...أحبتي إخوتي وأخواتي ولأولادهم جميعاً وخاصة خطاب وعمر..

علا عمر مصطفى

1. المقدمة Introduction

يُعد الإجهاد المائي *Water stress* من أهم الإجهادات البيئية التي تتعرض له الزراعة في العالم. ويُعد تحسين الغلة تحت ظروف الإجهاد المائي الهدف الرئيس لمربي النبات (Cattivelli et al., 2008).

تعد محاصيل الحبوب من المحاصيل الغذائية المهمة، التي تزرع بشكل عام تحت ظروف الزراعة البعلية في غرب آسيا وشمال أفريقيا من حوض البحر الأبيض المتوسط، حيث يعد الإجهاد المائي العامل البيئي الرئيس المحدد لإنتاجها وصفاتها التكنولوجية (Mardeha et al., 2006 ; Royo et al., 2000; Bennet et al., 1998) وخاصة محصول القمح (Loss and Siddique, 1994 ; Royo et al., 1998)، لأن الجفاف والحرارة المرتفعة هما السمتان المميزتان لبيئة منطقة حوض المتوسط، وهذا ما يوضح الاختلافات الكبيرة أو التذبذبات في الغلة الحبية في مثل هذه البيئات (Rajaram et al., 2006).

يُعد القمح بحكم أهميته الغذائية في طليعة المحاصيل الإستراتيجية، كما يعد القمح القاسي من أكثر أنواع المحاصيل الزراعية شيوعاً في منطقة حوض المتوسط، والأكثر استعمالاً في معظم منتجات الغذاء المستهلكة، حيث يدخل في صناعة المعكرونة، والمغربية، والبرغل، والفريكة، والخبز البلدي، وغيرها (Elouafi and Nachit, 2004). يتعرض القمح القاسي للعديد من الإجهادات (Moragues et al., 2006، Nachit et al., 2000)، كالجفاف الذي هو الإجهاد البيئي الرئيس المحدد لإنتاجه (Nachit, 1998b; Royo et al., 1998; Mangini et al., 2005). لأن الجفاف ظاهرة بيئية معقدة جداً (Reynolds et al., 2005) نظراً لامكانية حدوثه خلال فترات متعددة ومختلفة خلال فصل النمو (Nachit et al., a ;1992b; Aesawy, 2000) 1992، وقلما يحدث بمعزل عن الإجهادات اللاأحيائية الأخرى كدرجات الحرارة المتطرفة أو الإجهادات الأحيائية (Ceccarelli et al., 2004)، مما يعيق بلوغ الطاقة الإنتاجية الكامنة *Yield potential* للقمح (Simane et al., 1993)، وهذا ما أكدته García del Moral et al. (2003). ويكمن خطر الإجهاد المائي خاصة عند حدوثه في مرحلة الإزهار، وامتلاء الحبوب، ما يؤدي إلى حدوث انخفاض كبير في الغلة الحبية (Mangini et al., 2005). وهذا ما أكدته (العودة ورفاقه، 2008). ومن المتوقع أن تسوء الظروف البيئية كثيراً في حوض المتوسط، حيث التبدلات المناخية وما تمخض عنها من ارتفاع ملحوظ في متوسط درجات الحرارة، وتدني معدلات الهطول السنوي، اللذان سيؤديان إلى تراجع حجم الموارد المائية السطحية والجوفية العذبة، وتدني نوعيتها، نتيجة ازدياد معدلات الفقد بالتبخر *Evaporation*، والنتح *Transpiration*، الأمر الذي سيؤدي إلى ازدياد شدة الجفاف، وتكرار دوراته. ويؤكد Araus (2004) أن التأثير السلبي لتغيرات المناخ يظهر بشكل فعال في مناطق الزراعات البعلية،

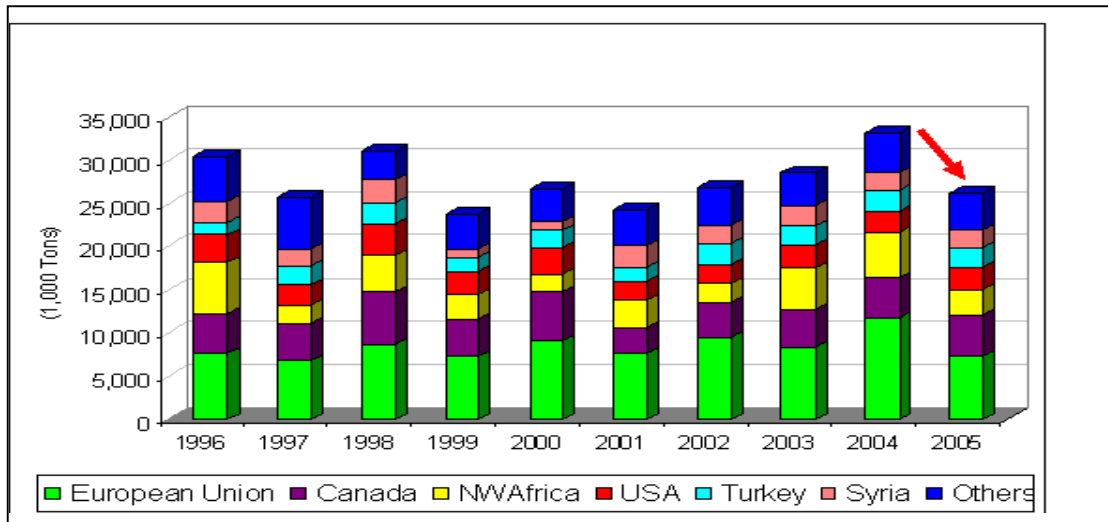
وقد بينت الإحصائيات تراجعاً في المساحة المزروعة والإنتاجية (Aesawy, 2000)، لذلك لا بد من تحسين إنتاجية الحبوب عن طريق تحسين طرق التربية وإدارة المحصول (Araus et al., 2003). وهذا يضع مربّي النبات أمام تحديات صعبة، لا يمكن التغلب عليها إلا من خلال تطوير تراكيب وراثية أكثر تحملاً للجفاف والحرارة المرتفعة، وذات كفاءة عالية في استعمال المياه، مع الاحتفاظ بكفاءتها الإنتاجية. ولكي تكون برامج التربية الهادفة لزيادة غلة محصول القمح فعالة لا بد من:

(1) تحديد المؤشرات أو الصفات المفتاحية المساهمة في تحسين الغلة الحبية (Slafer et al., 1996).

(2) تطوير تقانة التربية المناسبة (Araus, 1996).

لذا يسعى مربو النبات لإيجاد طرز وراثية ذات طاقة إنتاجية جيدة، تتسم ببعض الصفات الشكلية والفيزيولوجية المرتبطة بتحمل الجفاف (Annicchiarico and Pecetti, 1995). ونتيجة للزيادة المستمر بعدد السكان في العالم وازدياد الطلب على الغذاء بمعدل سنوي يزيد عن مثلي معدل الزيادة في إنتاج الغذاء، فقد أصبح من المحتم زيادة الإنتاج الزراعي لتقابل الزيادة السكانية، علماً أن عدد سكان العالم سيصل إلى 8 بليون نسمة عام 2020 (Mifflin, 2000)، وذكر صبوح (2006) أنه يتوقع أن يصل عدد سكان الوطن العربي إلى نحو 500 مليون نسمة عام 2030، وعليه يجب أن تصل الزيادة في إنتاج القمح عام 2020 إلى نحو 40% لتقابل هذه الحاجة المتزايدة للغذاء (Pfeiffer et al., 2000).

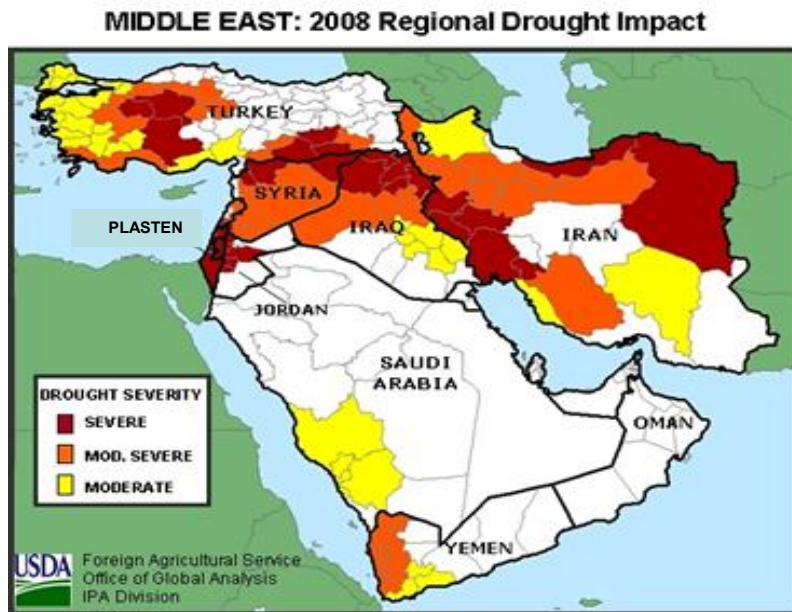
انخفض إنتاج القمح عالمياً إذ وصل هذا الانخفاض في إنتاج القمح القاسي إلى 21 % خلال موسم 2006/2005 عما هو عليه في الموسم الأسبق 2005/2004، إذ قدر الإنتاج العالمي بنحو 33 مليون طنناً، في حين كان إنتاج القمح القاسي نحو 26 مليون طنناً، وهذا يعود إلى الجفاف الذي تعرضت له دول الاتحاد الأوروبي، ومنطقة شمال وجنوب أفريقيا (شكل 1). ولوحظ نتيجة ذلك وجود انخفاض في سوق الأسهم بلغ حده الأدنى خلال السنوات الأخيرة، وهذا ما أدى لارتفاع أسعار القمح من 8.5 إلى 18.5 ل.س/كغ ([http: WWW. Planetark. Com/ dailynewsstory. Cfm/ newsid/ 44968/ story.htm](http://WWW.Planetark.Com/dailynewsstory.Cfm/newsid/44968/story.htm)) ولمواجهة هذا الارتفاع ولحل مشكلة زيادة الاستهلاك الغذائي للقمح، كان لا بد من زيادة الغلة الحبية بمعدل سنوي مقداره 2% وذلك دون أية زيادة أفقية للمساحات المزروعة (Gill et al., 2004)، لذا كان من الضروري تحديد المورثات المسؤولة عن الصفات المرتبطة بشكل مباشر بزيادة الغلة الحبية لمحصول القمح، لتسريع وتيرة التحسين الوراثي بمعدل يكافئ هذه الزيادة في الطلب على الغذاء (Fredrick and Bauer, 2000).



شكل (1): يبين انخفاض إنتاج القمح القاسي عالمياً خلال موسم 2006/2005

المصدر: <http://www.fas.usda.gov/pecad/highlights/2005/07/durum2005>

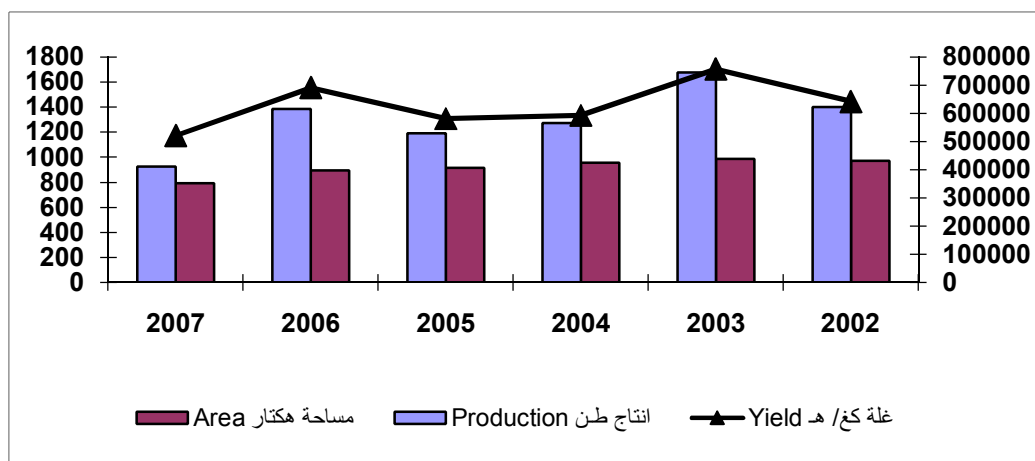
عانت منطقة الشرق الأوسط خلال موسم 2009/2008 من جفافٍ حاد، أدى إلى خسائر في إنتاجية المحاصيل بدأ من غرب تركيا وفلسطين حتى شرق إيران، وكانت أكثر المناطق تأثراً بالجفاف المناطق التي تزرع بالقمح في سورية، والعراق، وإيران، والأردن، وفلسطين شكل (2). وانخفض إنتاج القمح في أكثر مناطق زراعته، وبلغ هذا الانخفاض قرابة 7.4 مليون طناً أو 19 % في منطقة الشرق الأوسط، كما سبب الجفاف انخفاضاً في احتياطي الري (مياه جوفية، آبار)، ما أدى إلى انخفاض إنتاجية المحاصيل المروية في كل من سورية، والعراق، وإيران، وانخفض نتيجة ذلك إنتاج محصول القمح في سورية بنحو 50 % خلال موسم 2009/2008 بالمقارنة مع موسم 2008/2007.



شكل (2): يبين مدى تأثر مناطق الشرق الأوسط بالجفاف في موسم 2008

المصدر: http://www.pecad.fas.usda.gov/highlights/2008/05/Syria_may2008.htm

يؤدي تعرض منطقة حوض المتوسط ومنها سورية لفترات من الجفاف إلى تذبذب الغلة الحبية في القمح القاسي، إذ أدى تعرض سورية خلال الأعوام 2004، 2005، 2007 إلى فترات من الجفاف إلى انخفاض غلة محصول القمح القاسي في المناطق البعلية بنسبة 22-23% في وحدة المساحة خلال عامي 2004 و 2005، مقابل 37% في عام 2007، (شكل 3).



شكل (3): يبين انخفاض إنتاج وغلة القمح القاسي في المناطق الزراعية البعلية (2004، 2005، 2007) المصدر: وزارة الزراعة والإصلاح الزراعي، المجموعة الإحصائية السنوية، 2007

لذلك فمن أجل تقليل الخسائر الاقتصادية الناتجة عن الجفاف، يجب العمل على تطوير وإيجاد أصناف تتميز بالثباتية الإنتاجية **Yield stabiliy**، بالإضافة إلى الإنتاجية العالية تحت ظروف الإجهاد المائي والحرارة المرتفعة، حيث أن تحسين صفة تحمل الجفاف كانت ومازالت هدفاً مهماً للمربين في العالم (Cattivelli et al., 2008) وخاصةً في منطقة حوض المتوسط (Monneveux and Belhassen, 1996)، بيد أن زيادة غلة محصول القمح القاسي في مناطق الزراعة البعلية يعد تحدياً صعباً لمربي النباتات (Richards et al. 2002). لذا لا بد لنا من فهم الآليات الشكلية والفيزيولوجية المرتبطة وراثياً بتحمل الجفاف مع المحافظة على كفاءة الطرز الوراثية الإنتاجية لزيادة كفاءة الانتخاب وضمان تحقيق تقدم وراثي **Genetic gain** ملموس في برامج التربية والتحسين الوراثي. تبدي النباتات لدى تعرضها للإجهاد المائي العديد من الاستجابات الفيزيولوجية (Fukai and Cooper, 1995)، لذا فإن تحليل العوامل الفيزيولوجية المحددة لاستجابة الغلة لظروف العجز المائي سوف يساعد في عملية التربية بهدف الحصول على غلة عالية وثباتية إنتاجية تحت ظروف الجفاف (Araus et al., 2002).

إنّ إيجاد معايير للانتخاب لتحمل الجفاف ستكون أدوات مساعدة لبرامج تربية القمح (Villegas et al. 2007)، حيث يواجه مربو النبات العديد من الصعوبات عند محاولة الانتخاب تحت ظروف الاجهادات اللاأحيائية خلال الأجيال الانعزالية المبكرة، لأن قابلية التوريث، ويتراجع عادةً التباين الوراثي في صفة الغلة الحبية تحت ظروف الإجهاد بمقدار التراجع الحاصل في الغلة الحبية نفسها. ونتيجة لوجود تفاعل كبير بين العوامل الوراثية والعوامل البيئية $G \times E$ interectin فإن التجارب المنفذة تحت ظروف الإجهاد عادةً ما تعطي ترتيباً للطرز المدروسة يختلف معنوياً من موقع لآخر، ما يزيد من صعوبة تحديد المادة الوراثية الأفضل. وقد وجد (Nachit, 1992b) إن الطريقة التحليلية بالانتخاب اعتماداً على الصفات المورفوفيزيولوجية وعزل الطرز الوراثية المحتملة للجفاف في بعض برامج التربية بطيئة، إذ تحتاج التربية من أجل تحمل الجفاف إلى عدد كبير من المواقع وسنوات الاختبار لتحديد الطرز الوراثية المحتملة للجفاف (Nachit et al., 2000). علماً بأن استعمال الصفات المورفوفيزيولوجية من أجل الانتخاب للجفاف يتم باستعمال طرق بسيطة وسريعة وغير مكلفة كما هو الحال في طرق التربية التقليدية. لذا أصبح الأمر ملحاً لفهم أكثر شمولية لاستراتيجية وتقانات جديدة لزيادة إنتاج (القمح والشعير) من خلال عمليات التربية والتحسين الوراثي أو التقانات الحيوية المختلفة (صباح، 2006). كما وأكد (Slafer et al., 2000) أن استخدام المؤشرات الفيزيولوجية والجزيئية ستكون مفتاحاً لتحسين الإنتاجية، ومكملاً لبرامج التربية التقليدية المتبعة، ومسرّعاً في عملية تحسين الإنتاج، وأشاروا إلى ضرورة ربط الفيزيولوجيا بالغلة في عمليات التربية والتحسين.

كانت برامج التربية المستخدمة لتحسين الإنتاجية في النصف الأخير من القرن الحالي ناجحة، لكنها لم تكن فعّالة لذا لا بد من جعلها أكثر فعالية في المستقبل، معتمدين بذلك على إسهامات علم البيولوجيا الجزيئية في تحسين القدرة الكامنة للإنتاج، التي تستند بدورها على تحسين المعرفة بعلم الفيزيولوجيا والمؤشرات الفيزيولوجية المرتبطة بالإنتاج (Monneveux et al., 2006)، وإن علم فيزيولوجيا المحاصيل وعلم وبحوث الجينوم (الاستراتيجية البحثية التي تستخدم التشخيص الجزيئي والتنسيل لجينومات كاملة من أجل فهم تركيب، ووظيفة، وتطور المورثات) تؤدي إلى تقديم رؤية جديدة حول تحمل الجفاف، وتزود المربين بمعرفة وأدوات جديدة لتحسين الإنتاجية (Tuberosa and Salvi, 2006). لذا كان لا بد من فهم القاعدة الوراثية والفيزيولوجية لتحمل الجفاف، وإيجاد تقانات تربية تتسم بالكفاءة، لاستتباط أصناف محتملة للجفاف، وهذا يتطلب أيضاً فهماً أعمق وأوسع لبنية وتشكيل ووظيفة المجموعة الصبغية للقمح، من خلال استعمال المؤشرات الجزيئية.

تستعمل المؤشرات الجزيئية **Molecular markers** بشكل متزايد كوسيلة للتحسين الوراثي، لأنّ كافة الصفات الفيزيولوجية والشكلية والتطورية التي تساعد على تحمل النبات للجفاف تمتلك قاعدة وراثية جزيئية. وتتغلب التربية بمساعدة المؤشرات على الحاجة إلى العدد الكبير من مواقع الاختبار والتربية التي تعد ضرورية للتربية التقليدية اعتماداً على التعبير المظهري (ICARDA, 2003). وعليه من أجل فهم أفضل لتحمل الجفاف يمكن استعمال تقنيات الخريطة الوراثية لتحديد مواقع الجينات التي تسهم في تحمل الجفاف في القمح القاسي، لأنّ إيجاد المؤشرات الجزيئية المرتبطة بتحمل الجفاف مع الصفات المهمة اقتصادياً سيصار إلى استخدامها من قبل مربّي النبات في التربية كوسيلة في الانتخاب وتسمى هذه العملية بالانتخاب المعتمد على المؤشرات الوراثية **Marker Assisted Selection (MAS)** (مير علي، 2006).

تسمح المؤشرات الجزيئية في الوصول إلى مواقع المورثات المطلوبة بأقرب مسافة وراثية ممكنة، لأنه كلما تم التوصل إلى مؤشر جزيئي قريب من المورث كلما كانت احتمالية ارتباطه به أعلى، فإذا كانت الصفة نوعية **Qualitative trait** ويتحكم بها مورث واحد أو زوج من المورثات يكتفي الاعتماد على هذا الارتباط بين المؤشر والمورث، أما إذا كانت الصفة كمية **Quantitative trait** ويتحكم بها أكثر من مورثين فيجب دراسة تنوع المؤشرات الجزيئية لهذه المورثات وربطها مع الأداء البيئي لهذه الصفة للمساعدة في استعمالها لاحقاً في عمليات الانتخاب والتحسين وغربلة الطرز والأصناف بوقت مبكر (Tanksley et al., 1989). يعد تحديد مواقع المورثات لصفة الثباتية الإنتاجية في ظروف الإجهاد المائي مفيدة من أجل تطوير واستعمال استراتيجيات الانتخاب المعتمد على المؤشرات الوراثية (Mangini et al., 2005). لذلك نجد البحث مستمر عن مؤشرات تكون أكثر فعالية واقتصادية لتكون في متناول أيدي مربّي النبات.

إن إيجاد المؤشرات الجزيئية المرتبطة بموقع وراثي أو مورث لصفة مهمة هي هدف يطور بشكل دوري في العديد من المحاصيل، ويتم ذلك باستعمال العشائر في الجيل الثاني F₂، على أمل أن بعض من هذه المؤشرات سيتم استعمالها في المستقبل في برامج تربية القمح، ولكن على أي حال عدم توافر العشائر والوقت اللازم لإيجاد هذه العشائر يكون محدداً رئيساً في تحديد هذه المؤشرات الجزيئية لصفة معينة. وللتغلب على ذلك وكبديل لاستعمال العشائر، وجب تحديد مؤشرات جزيئية لصفات مهمة لمربي النبات، يتم تحديدها من خلال دراسة الارتباط باستعمال مجموعة من الطرز الوراثية (Gupta et al., 2005)، وهذا محدد فقط لدى بعض المحاصيل، وتشمل هذه محاصيل الحبوب مثل الرز **Rice** (Virk et al., 1996)، الشعير

Maccaferri et al., 2005; Breseghello) Wheat والقمح (Pakniyat et al.,1997) Barley
(and Sorrells, 2005

ومن هنا جاءت أهمية دراستنا التي تلخصت أهدافها بما يلي:

2. أهداف الدراسة Objectives:

- تحديد أهم الصفات المورفوفيزيولوجية المرتبطة وراثياً بالغلة الحبية وتحمل الجفاف.
- تحديد المؤشرات الجزيئية المتعلقة بتحمل الجفاف في السلالات المدروسة من عشيرة (لحن × شام1) باستعمال تقنية المايكروستلايت.
- الربط بين الصفات المورفوفيزيولوجية والمؤشرات الجزيئية المتعلقة بالجفاف.
- دراسة علاقة التوافق الوراثي بين الصفات المورفوفيزيولوجية المرتبطة بالجفاف والمواقع الوراثية المنتخبة.

3. الدراسة المرجعية Literature Review:

3. 1. أهمية القمح:

يشكل القمح 30% من غذاء شعوب العالم، ويقع 60% من مناطق زراعته في المناطق الجافة ونصف الجافة، وهو متحمل للجفاف، إذ يتحكم بصفة التحمل فيه العديد من المورثات المتحكممة بدورها بالصفات الكمية وبالتالي بإنتاجه، والتي تتفاعل بدورها مع العديد من المعايير الفيزيولوجية والعوامل البيئية المحيطة، التي يعد البناء الضوئي *Photosynthesis* من أهمها (Hongbo et al., 2005).

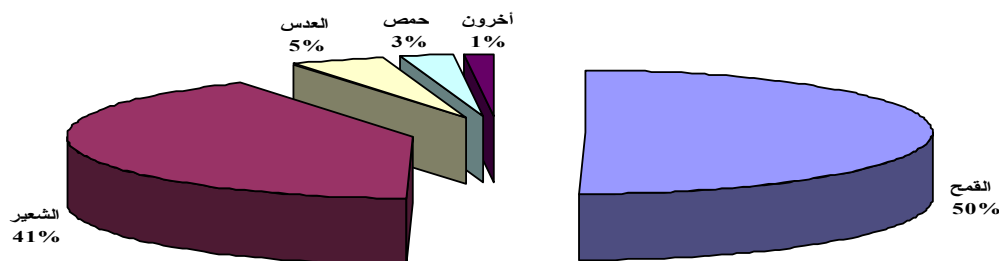
يزرع هذا المحصول على نطاق واسع بالمقارنة مع باقي المحاصيل الحقلية المزروعة. وتبلغ المساحة المزروعة عالمياً نحو 250 مليون هكتاراً (MacKey, 2005)، وحسب (2006) Nachit، تحتل منطقة CWANA (غرب آسيا ووسط آسيا وشمال إفريقيا) المرتبة الأولى في المساحات المزروعة بالقمح على مستوى العالم جدول (1).

جدول (1): المساحات المزروعة بالقمح على مستوى العالم

المنطقة الجغرافية	المساحة (هـ000)
CWANA غرب آسيا وشمال إفريقيا ووسط آسيا	52.507
جنوب آسيا	36.899
شرق آسيا	28.763
أوروبا الشرقية وروسيا الاتحادية	35.963
أمريكا الشمالية (الولايات المتحدة وكندا)	33.043
الاتحاد الأوروبي	17.322

المصدر : (Nachit, 2006)

يُعد القمح أكثر السلع الغذائية أهمية في سورية قديماً وحديثاً (Pala et al., 2004)، لذلك يعتبر في طليعة المحاصيل الإستراتيجية بحكم أهميته الغذائية، وتعد سورية أحد مراكز النشوء الرئيسة للعديد من أنواع القمح، ويحتل المرتبة الأولى بين مجموع محاصيل الحبوب، إذ وصلت المساحة المزروعة به عام 2007 إلى 1.7 مليون هكتاراً، والإنتاج 4.04 مليون طناً أي بمعدل 2.4 طن للهكتار، وتقدر المساحة المزروعة بالقمح 50 بنحو % من المساحة المزروعة بأهم المحاصيل الشتوية خلال موسم 2007/2006 شكل (4) حسب المجموعة الإحصائية الزراعية (2007).



شكل (4) يبين نسبة المنوبة للمساحة المزروعة بمحصول القمح بالنسبة لأهم المحاصيل الشتوية في سورية المصدر: وزارة الزراعة والإصلاح الزراعي، المجموعة الإحصائية السنوية، 2007
 ذكر (علي ديب وسوسي، 2002) أنّ نسبة كبيرة من المساحات المزروعة قمحاً في القطر العربي السوري تقع في منطقة الاستقرار الثانية، التي تتراوح أمطارها بين 250-350 ملم.

يُعد القمح القاسي (*Triticum turgidum* L. var durum) أكثر أنواع القمح شيوعاً في الزراعة والأكثر استخداماً في معظم منتجات الغذاء المستهلكة، حيث يدخل في صناعة المعكرونة، والمغربية، والبرغل، والفريكة، والخبز البلدي وغيرها (Elouafi and 2004).
 Nachit,

يحتل الخبز ذو الطبقتين، والإفرنجي المرتبة الأولى في نسبة استهلاك القمح القاسي في منطقة غرب آسيا وجنوب أفريقيا، جدول (2).

جدول (2): يبين المنتجات الغذائية المصنوعة من القمح القاسي ونسبة استهلاكها في منطقة غرب آسيا وجنوب أفريقيا (wana)

المنتج	نسبة الإستهلاك (%)
الخبز ذو الطبقتين	20
الخبز الإفرنجي	20
البرغل	14.5
المغربية	14
معكرونة	12
الخبز البلدي	10
فريكة	5
منتجات أخرى	4.5

المصدر: (Nachit, 1995)

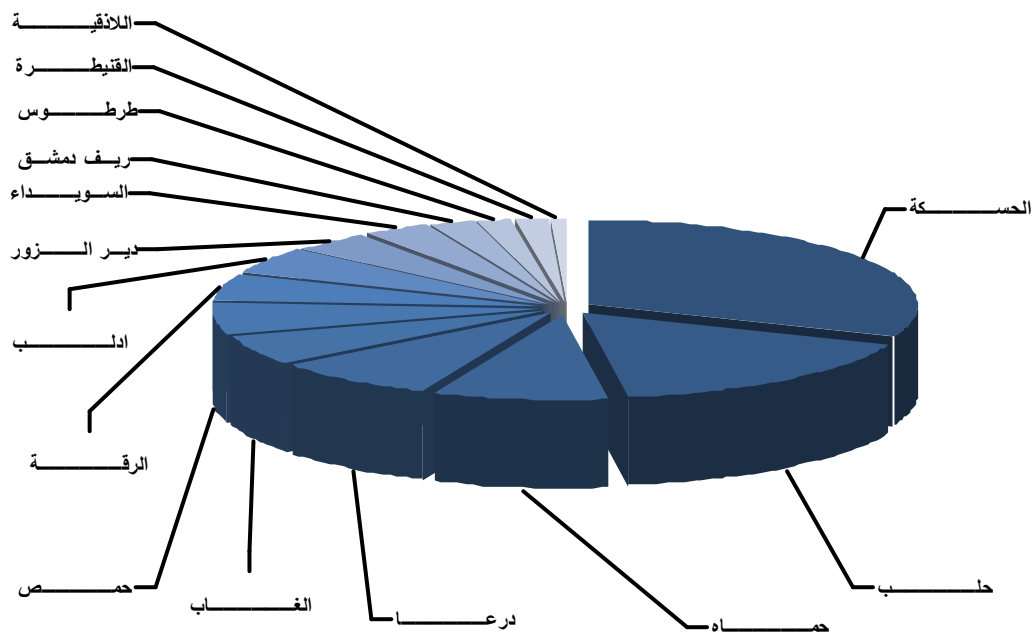
تُعد الجمهورية العربية السورية من بين دول المنطقة المستهلكة تقليدياً في غذائها للأقماع القاسية، حيث يفضلها المستهلك لقيمتها الغذائية (غناها بالبروتينات والأحماض الأمينية الأساسية)، بشكل أعلى من القمح الطري والشعير. وبلغت حصة الفرد السوري من القمح القاسي المتاح للاستهلاك قرابة 177 كغ كمعدل للفترة بين عامي 1991-1996 (Belaid, 2000) وهذا يشكل قرابة 66% من حصة الفرد من القمح الكلي المتاح للاستهلاك لهذه الفترة. وعلى الرغم من أن القمح القاسي ينمو في مناطق مختلفة من العالم، فإن معظم المساحة والإنتاج يتمركزان في منطقة حوض البحر الأبيض المتوسط وشمال أمريكا وفي ثمانية دول هي سورية، والجزائر، والمغرب، وتونس، وتركيا، وإيطاليا، وكندا، والولايات المتحدة الأمريكية (Belaid, 2000).

جدول (3): متوسط المساحة والإنتاج والغلة للقمح القاسي للبلاد الأكثر إنتاجاً في العالم خلال الفترة (1973-1996).

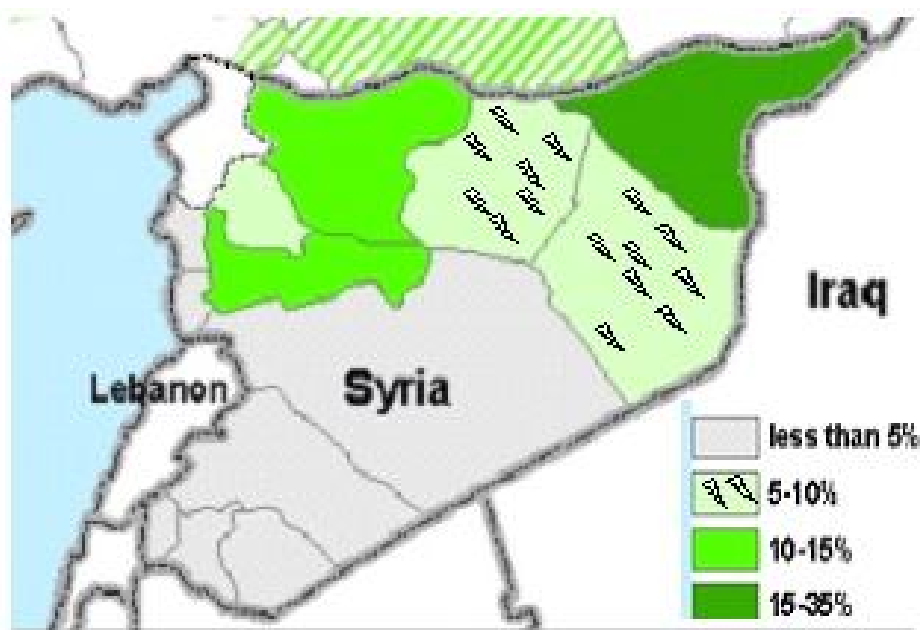
البلدان	المساحة (ألف هكتار)	الغلة (طن/هـ)	الإنتاج (ألف طن)
الجزائر	1193	0.71	835
المغرب	1208	1.15	1382
سورية	800	1.59	1252
تونس	755	0.97	742
تركيا	2904	1.62	4719
غربي آسيا وشمال أفريقيا (WANA)	6826	1.20	8917
الولايات المتحدة الأمريكية	6826	2.01	2838
كندا	1672	1.79	3012
إيطاليا	1657	2.20	3646
إسبانيا	238	2.00	459
قبرص	394	2.33	947
العالم	17800	1.48	26309

المصدر: (Belaid, 2000)

وتتمركز زراعة القمح القاسي في سورية في المناطق الشرقية والشمالية الشرقية، حيث تحتل محافظة الحسكة المرتبة الأولى في المساحة المزروعة بالقمح القاسي، تليها محافظة حلب (المجموعة الإحصائية الزراعية، 2007) شكل (5).

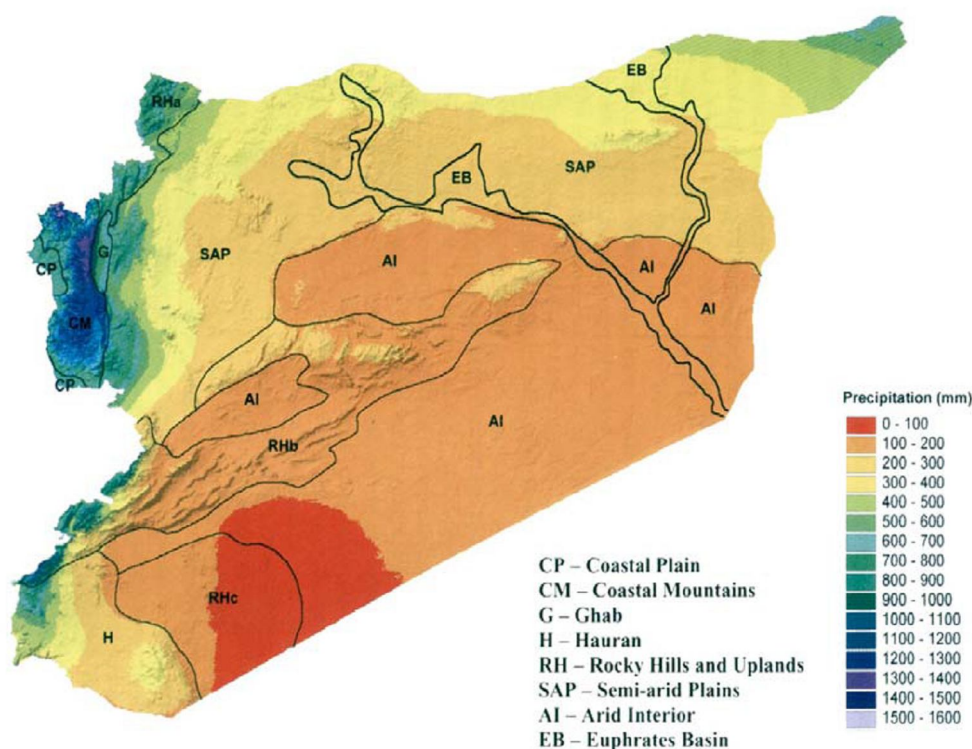


شكل (5): المساحة المزروعة بالقمح القاسي حسب محافظات سورية للموسم 2006/2007
 المصدر: وزارة الزراعة والإصلاح الزراعي، المجموعة الإحصائية السنوية، 2007



شكل (6): يبين نسبة زراعة القمح القاسي بالنسبة للمحاصيل في مناطق سورية

المصدر: http://www.fas.usda.gov/pecad/highlights/2005/07/durum2005/turkeysyria_durum.jpg



الشكل (7) الخصائص الفيزيائية وتوزيع الهطول المطري في سورية
المصدر: (De Pauw et al., 2004)

يغطي القمح القاسي قرابة 42.2 % من إجمالي المساحة المزروعة بالقمح في سورية، ويلاحظ من الشكلين 6-7 أنّ معظم المساحة المزروعة بالقمح القاسي تزرع زراعة بعليّة، وتصل إلى نحو 8876.4 ألف هكتاراً في المنطقة المزروعة بعلاً من منطقتي الاستقرار الأولى والثانية، و قرابة 791.4 ألف هكتاراً في المنطقة المروية منهما.

3. 2. تصنيف القمح:

ينتمي القمح إلى جنس القمح *Triticum*، إن العدد الصبغي الأساسي للجنس *Triticum* هو 7 ($7=X$) وتختلف الصيغة الصبغية للنوع المزروع (Feldman and Sears, 1981) حسب ما يلي:

- (1) ثنائية الصيغة الصبغية ($2n=2x=14$): *T. monococcum*
- (2) رباعية الصيغة الصبغية ($2n=4x=28$): *Triticum turgidum* L. ssp. *Turgidum*, ssp
- (3) سداسية الصيغة الصبغية ($2n=6x=42$): *Triticum aestivum* L. ssp. *aestivum*, ssp

يعتبر القمح القاسي (*Triticum turgidum* L. var durum) رباعي الصيغة، حيث تحتوي خلاياه على أربع مجموعات أحادية الصيغة (AABB)، وحسب Bennett and Smith (1976) فإنه يتمتع بمادة وراثية ضخمة (16×10^9 bp/genome) لاحتوائه على عدد كبير من السلاسل المتكررة لدرجة أن 80 % من المجموع الصبغي يتألف من سلاسل DNA متكررة.

3.3. علاقة مكونات الغلة بالغلة الحبية في ظروف الجفاف:

اعتمدت تربية القمح في القرن السابق على أن صفة الغلة الحبية فقط كمعيار للانتخاب (Loss and Siddique, 1994)، ولكن لا يمكن الاعتماد على الغلة الحبية كمعيار انتخاب موثوق في الأجيال المبكرة، لأن صفة توريثها منخفضة، إضافة إلى أن التفاعل متفاوت بين المورثات المتواجدة في المواقع الوراثية، مثال كبت مورث ما نتيجة تأثره بمورث آخر متواجد في موقع مختلف، إضافة إلى التفاعل المعنوي بين الوراثة والبيئة من جهة، وبين المواقع الوراثية QTL والبيئة (Piepho, 2000) من جهة ثانية، مما يقيد الانتخاب المباشر للغة الحبية تحت ظروف الإجهاد المائي، ويتوجب الاعتماد على معايير أخرى. تتكون الغلة الحبية في محاصيل الحبوب من ثلاث مكونات أساسية: عدد السنابل في المتر المربع، عدد الحبوب في السنبلة، ووزن الحبوب، وهي مكونات مهمة لدورة تطور النبات النهائية من تطورات النبات الأولية (García del Moral et al., 1991; Simane et al., 1993). وتتبع أهمية هذه المكونات في منطقة حوض البحر الأبيض المتوسط كونها تتأثر بالهطولات المطرية القليلة أو حتى غير المتوقعة، بالإضافة لذلك إمكانية ارتفاع درجة الحرارة في الأطوار النهائية من حياة النبات، حيث تتصف هذه المنطقة بهطول معظم أمطارها خلال فصلي الخريف والشتاء، وحدث العجز المائي خلال فصل الربيع، مما يعرض القمح المزروع بعللاً للإجهاد المائي خلال فترة الإزهار وامتلاء الحبوب (Edmeades et al., 1989). وتزداد حساسية مؤشرات الغلة الحبية لتغير ظروف النمو خلال مراحل التطور المتقدمة للنبات أكثر من المراحل المبكرة (Landes and Porter, 1989; Slafer et al., 2003; García del Moral et al., 1996)، ويؤكد تأثر الغلة ومكوناتها بقوة بالبيئة، وبالعلاقات بين مكوناتها في القمح القاسي (Duggan et al., 2000)، إذ بينت أبحاث (Royo et al., 2000; Solomon et al., 2003; Zhong-Hu and Rajaram, 1994)، أن الإجهاد المائي قلل من الغلة الحبية بمعدل وصل حتى 80%، وفي دراسة للباحثين (Katerji et al., 2009) حول تأثير الجفاف في كل من محصولي القمح القاسي والشعير، فوجدوا أن الجفاف يؤثر في حالة الماء في النبات خلال مراحل تشكيل السنبلة والإزهار، كما وجدوا أن الجفاف قلل من الغلة الحبية بحوالي 37%، كما قلل من قيم جميع مكونات الغلة، وخصوصاً عدد الاضطاءات

المثمرة في وحدة المساحة، وعدد الحبوب في السنبل، في حين يتأثر وزن الحبوب سلباً إذا ما ترافق الجفاف بارتفاع درجة الحرارة خلال فترة إمتلاء الحبوب (Chmiel- Ewski and Kohn, 2000)، كما يتأثر عدد السنابل ولكن بشكل أقل بهذه الإجهادات (Ehdaie and Waines, 1988)، وأشار Duggan et al., (2000) إلى تأثر كل من عدد الحبوب في السنبل ووزن الألف حبة بالجفاف، ونوه كل من (Giunta et al., ; Shpiller and Blum, 1991) أن حصول الجفاف في فترة الإزهار سيؤدي إلى انخفاض في عدد السنبيلات وعدد الحبوب في السنبل نتيجة لتطور هذين المكونين خلال الفترة الأكثر حساسية للجفاف، كما فسر (Frederick and Camberato, 1995) انخفاض عدد الحبوب في السنبل نتيجة لانخفاض الحاصل في معدل التمثيل الضوئي، وخاصةً لدى تعرض النباتات للجفاف خلال فترة الإزهار. بينما نوه (Tambusi et al., 2002) إلى أن الجفاف سبب انخفاضاً كبيراً في معدل نقل نواتج التمثيل الضوئي، حيث تتأثر عملية نقل المركبات العضوية من المصدر Source إلى المصب Sink بشكل أكبر من عملية تصنيع وتشكيل هذه المركبات، وهذا يؤدي لتوقف عملية التمثيل الضوئي نتيجة ما يسمى بتأثير الناتج النهائي، وإن الأصناف التي تعطي غلة حبيبة عالية تحت ظروف الجفاف تمتلك قدرة في المحافظة على كفاءة عالية في نقل وتوريد نواتج التمثيل الضوئي إلى السنابل وبالتالي يكون الانخفاض في وزن الألف حبة أقل والغلة الاقتصادية النهائية أكبر (Nogues and Baker, 2000). ذكر علي، ورفاقه (2008) أن الإجهاد المائي المتزامن مع ارتفاع درجة الحرارة خلال المراحل الحرجة (الإزهار وامتلاء الحبوب) أدى إلى تراجع كل من عدد الحبوب في النبات، ومتوسط وزن الألف حبة، وكان تأثر متوسط وزن الألف حبة أقل من متوسط عدد الحبوب في النبات. كما وجد García del Moral et al., (2005) في دراسة شملت كل من القمح القاسي والطرقي، بأن وزن الحبوب ليس له تأثير في اختلاف قيم الغلة الحبيبة تحت ظروف الزراعة البعلية لمنطقة البحر المتوسط، وذكروا بأن انخفاض الغلة الحبيبة بشكل معنوي تحت ظروف قلة المياه يعود بشكل أساسي إلى انخفاض عدد السنابل/م² وعدد الحبوب في السنبل، أما تحت ظروف الزراعة البعلية فإن الاختلافات في الغلة الحبيبة عائد بشكل أساسي إلى عدد السنابل/م²، ثم عدد الحبوب في السنبل، دون وزن الحبوب، أما في ظروف الزراعة المروية فتعتمد الغلة بشكل متناسب على مكونات الغلة الثلاثة، لأن التأثير التعويضي غائب في ظروف الري، نتيجة لوجود علاقة سالبة بين عدد السنابل/م² وعدد الحبوب في السنبل، وعزوا ذلك ربما إلى العلاقة العكسية بين إنتاج الاضطرابات والتطور القمي، نتيجة لزيادة التنافس في ظروف محدودية الماء، والعناصر المغذية في مرحلة نمو السنبل والساق معاً، وأن الانخفاض في كل الصفات بالمقارنة بين الموقع المروي والبعل يعود إلى قلة الماء في ظروف الزراعة البعلية منذ الإشتاء حتى نضج

الحبوب. ذكر كل من (García del Moral et al., 2005; Simane et al., 1993) أن زيادة عدد السنابل/م² أدى إلى انخفاض معنوي في عدد الحبوب في السنبل في الزراعة البعلية دون أن يؤثر ذلك معنوياً في وزن الحبوب.

وجد (Elhani et al., 2007) أن الغلة الحبية تحت ظروف الزراعة المروية اعتمدت على عدد الحبوب في السنبل، وعدد السنبيلات في السنبل، ووزن الألف حبة، بينما اعتمدت الغلة الحبية في الساق الرئيسة تحت ظروف محدودية الماء على عدد الحبوب في السنبل، وعدد الحبوب في السنبيلة، في حين كان التأثير في وزن الألف حبة قليلاً.

3. 1. عدد السنابل/م² (SPM2) Spikes Per Unit Area:

أشار Nachit et al., (1992a) في دراسة حول تقييم علاقة بعض الخصائص المورفولوجية بالغلة الحبية ومكوناتها لبعض طرز القمح القاسي المتكيفة مع البيئة المتوسطية بأن الاضطرابات المثمرة من العناصر المهمة في الغلة الحبية تحت ظروف الإجهاد، حيث وجد أن القدرة على إعطاء اضطرابات مثمرة هي من أهم مؤشرات الإنتاج الحبي الفعالة للقمح القاسي تحت ظروف الإجهاد الرطوبي، لمساهمتها في التباينات في الغلة الحبية والتي قدرت بأكثر من 30% (Nachit and Ketata, 1989)، وفي دراسة لـ (Okuyama et al., 2004) ذكروا أن عدد السنابل/م² وعدد الحبوب في السنبل يجب أن تؤخذ في الحسبان في تحسين الغلة الحبية في القمح، وبين الشحاذة العودة (2005) أن الاضطرابات المتشكلة فقط بوقت مبكر قادرة على إعطاء اضطرابات مثمرة، وإنتاج سنابل خصبة (Kirby, 1983). وعندما يتشكل عدد أقل من الاضطرابات ستكون كمية المادة الجافة المتاحة للاضطرابات المثمرة أكبر، مما يسمح لها بالنمو وإعطاء سنابل تحتوي على أكبر عدد من الحبوب. ويمكن تحقيق ذلك بسهولة عن طريق نقل المورث (Tin) المسؤول عن تثبيط تشكل الاضطرابات في القمح، مما يؤدي لتشكل سنابل أكبر وزيادة عدد الحبوب المتشكلة في السنبل، وتحسين غلة المحصول الحبية (Richards, 1988)، وقد ذكر (Solomon et al., 2003) أن عدد السنابل لها تأثير معنوي سلبي في الغلة الحبية في ظروف الرطوبة العالية بسبب تأثيرها المباشر في تكويني الغلة الحبية العددية، وهما عدد الحبوب ووزن الألف حبة، بينما وجد Duggan et al., (2005) في دراسة على طرز من القمح الطري أن انخفاض الاضطرابات يمكن أن تكون مفيدة تحت شروط الجفاف، من خلال تخفيض عدد الاضطرابات غير المنتجة لتوفير ماء التربة المستعمل في بناء الاضطرابات المنتجة لتخزينها للاستفادة منها خلال فترة الإزهار، كما وجد أن الغلة الحبية الأكبر كانت في السلالات التي احتوت على المورث (Tin) بحوالي 5%، على الرغم بأن خفض وجود المورث (Tin) عدد السنابل المنتجة بـ 11%، وزاد عدد

الحبوب في السنبل بنسبة 9%، ووزن الحبوب بحوالي 2%، ومعامل الحصاد بمعدل 0.02 % وفي دراسة تمت من قبل Elhani et al., (2007) لـ 25 طرازاً وراثياً من القمح القاسي مزروعة في جنوب إسبانيا وتحت ظروف بعل وري وجدوا أن أصناف الحبوب المتميزة بعدد قليل من الاضطرابات هي الأصناف الأفضل تحت شروط الجفاف، لأنها تمتلك العدد الأقل من الاضطرابات غير المنتجة، مما يقلل من استهلاك الماء المحدود قبل الإزهار، بينما لم يلاحظ أي تأثير معنوي ايجابي أو سلبي لعدد الاضطرابات الكبير في الغلة الحبية تحت شروط الزراعة المروية.

3. 3. 2. عدد الحبوب في السنبل (GRSP):

إن عدد الحبوب في السنبل هو من أكثر مكونات الغلة أهمية في محصول القمح (Ma et al., 2007)، ويعزى تراجع الغلة الحبية ضمن الظروف الزراعة البعلية إلى تراجع عدد الحبوب المتشكلة في النبات الواحد، حيث يؤثر الجفاف المترافق مع الحرارة المرتفعة سلباً في حيوية حبوب اللقاح ولزوجة المياسم، ومن ثم نسبة الإخصاب، والعقد (Wardlaw et al., 1995). وهذا ما أكدته نتائج Slafer and Whitechurch (2001) بأن عدد الأزهار الخصبة أو عدد الحبوب يعد من أكثر المكونات ذات العلاقة المباشرة بالغلة المرتفعة في ظروف الجفاف.

وجد لـ (Annicchiarico and Pecetti, 1995) في دراسة حول الصفات النباتية المساهمة في زيادة الغلة الحبية وفي التأقلم لنماذج مختلفة من الجفاف في حوض البحر الأبيض المتوسط، أن عدد الحبوب في السنبل ذو أهمية في زيادة الغلة الحبية للقمح القاسي. وأكد (García del Moral et al., 2003) لدى استخدامه تحليل المسارات (Path analysis) لستة سلالات من القمح القاسي من برنامج (ICARDA-CIMMYT) وأربعة أصناف معتمدة في إسبانيا، ارتباط عدد الحبوب في السنبل ارتباطاً معنوياً مباشراً مع الغلة الحبية في ظروف الجفاف، وأكد (Okuyama et al., 2004) أن عدد الحبوب في السنبل صفة هامة في تحسين الغلة الحبية في القمح. وجاء (Dura, 2009) ليؤكد في دراسة على 114 سلالة من عشيرة القمح القاسي (أم الربيع 5× بليخ 2) أهمية عدد الحبوب في السنبل، وعدّها ضمن المعايير التي يجب على المربي إتخاذها كمعايير إنتخاب من أجل تحسين الغلة الحبية في ظروف الجفاف.

3. 3. 3. وزن الألف حبة Kernel Weight – 1000(TKW):

وجد (Duwayri And Nachit, 1989) لدى دراسة 22 سلالة مستقرة في الجيل التاسع والناجمة عن تهجين الصنف ستورك مع الصنف حوراني في ظروف الزراعة البعلية، علاقة

ارتباط معنوية بين الغلة الحبية ووزن الألف حبة، وبين كل من (Rharrabt et al., 2000) و (Pathak et al., 1991) مساهمة وزن الحبوب في السنبل في ظروف الجفاف بشكل مباشر في زيادة الغلة الحبية، ووجدوا علاقة ارتباط موجبة ومعنوية بين كل من الإنتاج الحبي ووزن الحبوب في السنبل، في حين لاحظ (Royo et al., 2006 ; Shimelis , 2006) وجود علاقة معنوية في الظروف المروية والمتحكم بها، وقد تتحسن الغلة الحبية للقمح القاسي اعتماداً على الانتخاب المباشر لوزن الألف حبة، بين (García del Moral et al., 2005) أن وزن الحبوب كان أقل تأثراً من بقية مكونات الغلة بقلّة المياه تحت ظروف الجفاف، مظهراً ثباتية هذه الصفة، وفسر ذلك نتيجة ازدياد معدل انتقال البروتين قبل الإزهار كاحتياط لمليّ الحبوب، لأنّ الجفاف يحد من التركيب الضوئي، كما وضح بأنّ وزن الحبوب ليس له تأثير في الاختلافات في الغلة الحبية تحت ظروف الزراعة البعلية في حوض البحر المتوسط.

تشير الدراسات المرجعية (الشحاذة العودة، 2005 ; Waddington et al., 1986; Siddique et al., 1989) إلى وجود علاقة ارتباط سلبية بين زيادة عدد الحبوب، ووزن الحبوب الناتجة، حيث فسرت هذه العلاقة السالبة بأنه كلما ازداد عدد الحبوب في وحدة المساحة، قلت كمية نواتج التمثيل الضوئي المتوافرة للحبة الواحدة، ما يؤدي إلى تراجع وزن الحبة النهائي، نتيجة المنافسة بين الحبوب على المصادر المتاحة بشكل محدود، ولكن على الرغم من العلاقة السلبية بين هذين المكونين للغلة، إلا أنه يوجد دليل مادي وقوي اقترح من قبل (Savin and Slafer, 1991) على أن نمو الحبوب في القمح يتحدد بحجم المصب وليس بحجم المصدر، وإن كفاءة النبات التمثيلية في محصول القمح خلال فترة ما بعد الإزهار كافية، وحتى أنها زائدة عما هو مطلوب لإنتاج كمية من نواتج التمثيل الضوئي لملء كل الحبوب المتشكلة بشكل كامل (Richards, 1996a). وتفسر العلاقة السلبية بين عدد الحبوب في وحدة المساحة، ومتوسط وزن الحبة الواحدة بأن زيادة عدد الحبوب في السنبل يعني تشكل نسبة أكبر من الحبوب من زهيرات بعيدة عن مركز السنبل، ومثل هذه الحبوب ستكون ذات كفاءة أقل في اجتذاب كمية أكبر من نواتج التمثيل الضوئي، وغالباً ما يكون حجم هذه الحبوب أصغر، ومن ثم فإن زيادة عدد مثل هذه الحبوب سيؤدي إلى تراجع متوسط وزن الحبة الواحدة، حتى وإن كانت كمية نواتج التمثيل الضوئي خلال فترة امتلاء الحبوب تفوق حاجة النبات. كما لاحظ الباحثان (Richards, 1996a; Slafer, 1996) وجود علاقة ارتباط موجبة بين صفتي عدد الحبوب في المتر المربع، ووزن الألف حبة وبين الغلة الحبية في 15 صنفاً من القمح ضمن ظروف الزراعة المروية، بيد أنهم لاحظوا وجود علاقة ارتباط سالبة ومعنوية بين عدد الحبوب ومتوسط وزن الحبة الواحدة.

3.3. علاقة الصفات المورفوفيزيولوجية بتحمل الجفاف:

تعدُّ الغلة الحبية في القمح القاسي حصيداً كبيراً من التفاعلات الفيزيولوجية والبيوكيميائية يعبر عنها بصفات مورفوفيزيولوجية محددة، ويتطلب الحصول على إنتاجية عالية معرفة المؤشرات الفيزيولوجية وربطها بالغلة، وإنَّ فعالية استعمال الصفات الشكلية والوظيفية (المورفوفيزيولوجية) في عملية الانتخاب في ظروف الجفاف تعتمد على ارتباط هذه الصفات بالغلة الحبية (Nachit, 1992)، كما يتطلب وجود طرز وراثية تمتلك صفات زراعية خاصة تزيد الإنتاجية بشكل مباشر أو غير مباشر بفعل تأثير العمليات الفيزيولوجية المرتبطة بالإنتاجية (Acevedo, 1991). وأشار Royo et al. (2003) أنَّ تحليل العوامل الفيزيولوجية يمكن أن يساعد في التربية من أجل غلة عالية وثباتية إنتاجية في ظروف الجفاف، حيث للجفاف تأثيرات متعددة في النبات وعلى كافة المستويات الخلوية، فعلى مستوى النبات الكامل يؤدي الجفاف إلى انخفاض معدل البناء الضوئي، من ثمَّ انخفاض الإنتاجية (Blum, 1997)، إلا أنَّ فعالية استعمال الصفات المورفوفيزيولوجية في عملية الانتخاب في ظروف الجفاف تعتمد على ارتباط هذه الصفات بالغلة الحبية ودرجة توريتها (Nachit, 1992a)، فإمكانية تحسين الغلة تتم حسب (Al-Shaladeh and Duwayri, 1986) من خلال التحكم الوراثي بالصفات المورفوفيزيولوجية المؤثرة بها، وهي صفات ذات طبيعة توريث أبسط من الغلة ومكوناتها وذات قابلية أعلى للتوريث (Heritability). ويرى Nachit, (1998b) أنَّ الطريق الوحيد لاستبدال الطرق التقليدية في التربية في منطقة حوض المتوسط المعرضة لإجهادات شديدة (التي من الممكن أن تصيب النبات في أي مرحلة من مراحل تطوره) بطرق حديثة تعتمد على الجانب الوراثي والفيزيولوجي، واستعمال الواسمات الجزيئية كأدوات لمربي النبات الذي يسعى لتحسين الإنتاجية من خلال رفع مستوى تحمل الجفاف والثباتية في الإنتاج. وأكد كل من (Slafer and Araus, 1996b; Richards, 1996b; Araus, 1996) أن الدراسات الفيزيولوجية والجزيئية ستكون مفتاحاً لتحسين الإنتاجية ومكماً للبرامج التقليدية المتبعة في التربية، وأداة تسريع لعملية تحسين الإنتاج. وأشار (Slafer et al., 2000) إلى ضرورة ربط الفيزيولوجيا بالغلة في عمليات التربية والتحسين الوراثي.

وأكد (Acevedo et al., 2000) إلى وجوب استعمال المياه بأعظم كفاءة ممكنة من قبل المحاصيل في منطقة حوض المتوسط، وأنه يوجد عدة طرق لتحسين كفاءة استعمال المياه، منها زيادة كفاءة النتج Transpiration efficiency في الطرز الوراثية، فمن المعلوم أنَّ النبات ينتج كميات من الماء تتناسب وحجم عمليات التمثيل الغذائي، فإن استطعنا زيادة نتج النبات والتقليل من تبخر الماء من سطح التربة أمكننا الحصول على نباتات تتميز بكفاءة استخدام

ماء عالية في أماكن محدودة المياه. لكن ليس من السهل قياس كفاءة استعمال المياه أو كفاءة النتج **Transpiration Efficiency: TE** وهو معدل إنتاج المادة الجافة (لواحدة ماء مستخدم في النتج) بشكل مباشر وإنما يمكن الاستدلال عليه بمعايير شكلية وفيزيولوجية ومؤشرات إنتاجية مثل وزن الغلة الحبية والحيوية والمسطح الورقي وحرارة الغطاء النباتي والناقلية المسامية وآلية تفتح المسام والمحتوى من اليخضور (Condon, 2004; Araus et al.2002)

كل هذا يؤكد أهمية دراسة المؤشرات الفيزيولوجية في الانتخاب للغلة العالية في بعض مناطق الاستقرار اعتماداً على هذه المؤشرات، وهذا ما أكدته Benbelkacem et al., (1998) في دراسته لـ 13 طرازاً وراثياً مزروعا في 14 بيئة مختلفة في الجزائر، إذا أن إيجاد معايير للانتخاب لتحمل الجفاف ستكون أدوات مساعدة لبرامج تربية القمح (Villegas et al., 2007).

3. 3. 1. علاقة الصفات المورفولوجية (الشكلية) بتحمل الجفاف:

3. 3. 1. 1. طول النبات (PH) Plant Height:

في دراسة Villegas et al., (2000) لمجموعتين من الطرز الوراثية للقمح القاسي في منطقة حوض المتوسط إحداها تم تطويرها من أجل البيئات شبه الرطبة والأخرى للبيئات الجافة التي زرعت في اسبانيا في منطقتين إحداها كزراعة مروية والثانية بعلية بغية تحديد الصفات التطورية والصفات المرتبطة بالتركيب الضوئي، فوجدوا ارتباطاً الإنتاجية بقصر طول النبات بالدرجة الأولى. وجد الباحثون Ortiz-Ferrara et al., (1991) أن زيادة طول النبات بالنسبة للقمح الطري من الصفات المهمة لزيادة الغلة الحبية في ظروف الجفاف في حوض المتوسط. ووجد Singh and Chaudhary (2006) علاقة ارتباط موجبة في القمح الطري بين طول النبات والغلة الحبية، وأشاروا إلى أن أعلى قدرة توريث كانت لصفة طول النبات، وأن قدرة التوريث بشكل عام تكون أقل تحت ظروف الإجهادات المائية، لذا يجب اتخاذ هذه الصفة بعين الاعتبار عند الانتخاب لطرز وراثية عالية الإنتاج من القمح تحت ظروف الإجهاد المائي. ومن أجل الوصول الى غلة حبية عالية تحت ظروف الجفاف يجب أن يعطي مربو النبات أهمية أكبر أثناء الانتخاب لصفة طول النبات (Dura , 2009).

3. 3. 1. 2. طول السنبل (SL) Spike Length:

أشار Wang et al., 2001; Motzo and Giunta, 2002 إلى أهمية الدور التي تؤديه السنبل في عملية التركيب الضوئي في ظروف الإجهادات اللاأحيائية كالإجهاد المائي، والحراري. كما وجد Okuyama et al., (2005) في دراسة لمعرفة العلاقة بين بعض الصفات النباتية

والغلة لطرز من القمح، ارتباط موجب بين الغلة وطول السنبل في ظروف الزراعة المروية، وتوصلوا إلى ضرورة أخذ طول السنبل كمعيار انتخاب تحت ظروف الزراعة البعلية والإجهاد المائي في فترة امتلاء الحبوب. وأكد (العودة ورفاقه، 2008) عند دراسة 10 سلالات محلية من القمح القاسي تراجع طول السنبل في النباتات المجردة مائياً مقارنة مع النباتات غير المجردة.

3. 3. 1. 3. طول حامل السنبل (PL):

وجد (Briggs and Aytenfisu 1980) علاقة ارتباط موجبة بين قصر حامل السنبل والغلة الحبية العالية، بينما وجد (Kaya et al. 2002) أن هذه العلاقة معكوسة أو أنها تعتمد على الظروف البيئية، ولاحظ (العودة ورفاقه، 2008) أن متوسط طول حامل السنبل كان الأعلى عندما تعرضت النباتات للإجهاد المائي خلال مرحلة النمو الأولى فقط، ثم تراجع بشكل عام عند تعريض النباتات للإجهاد المائي خلال المراحل المتقدمة من النمو، وبالأخص عند التعرض للإجهاد خلال مرحلة التسنبل والإزهار. وبين (Ortiz-Ferrara et al., 1991) أن صفة طول حامل السنبل من الصفات التي تعتبر مهمة لزيادة الغلة الحبية في القمح الطري في ظروف الجفاف في حوض المتوسط. ونوه (Nachit and Jarrah, 1982) أن الانتخاب الموجه لصفة طول حامل السنبل ولصفة طول النبات تحت ظروف الجفاف، كان لهما تأثيراً إيجابياً في عزل تراكيب وراثية جيدة من القمح القاسي، وأكد أن العلاقة الإيجابية بينهما من جهة، وبين الغلة الحبية من جهة أخرى في الزراعة البعلية تعدان دلالة واضحة على تحمل الجفاف. وأكد (Nachit et al., 1992a) أن طول حامل السنبل من الصفات الشكلية (المورفولوجية) المهمة في التفاعل بين البيئة والطرز الوراثية. ونوه (Nachit and Eloufi, 2004) أن طول حامل السنبل من الصفات التي ترتبط بالغلة الحبية العالية تحت الظروف الجافة، وهذا لا يتوافق مع ما ذكره (Richards, 1996a) بأن تقليل طول العقدة الطرفية الأخيرة (حامل السنبل) ساعد في تسخير جزءاً أكبر من نواتج التمثيل الضوئي لنمو وتطور السنابل. وفي دراسة لـ (Sing and Chaudhary 2006) وجد أن طول النبات وحامل السنبل ذو علاقة ارتباط موجبة مع الإنتاج الحبي في القمح الطري، وأن هذه الصفات يجب أن تؤخذ بالاعتبار عند الانتخاب لطرز وراثية عالية الإنتاج من القمح تحت ظروف الإجهاد المائي، وهذا أيضاً متوافق مع ما ذكره (Dura, 2009) في دراسة على 114 سلالة من عشيرة القمح القاسي (ام الربيع 5× بليخ2)، الذي أكد على أهمية صفة طول حامل السنبل كأحد معايير الانتخاب من أجل تحسين الغلة الحبية في ظروف الجفاف.

3. 3. 1. 4. طول السفا Awns Length (AWL):

أشار (Shelaldeh and Duwayri, 1986) إلى أهمية طول السفا، حيث كانت النسبة الصافية للتمثيل الضوئي للسنايل طويلة السفا أعلى بكثير من مثيلاتها للسنايل قصيرة السفا، واعتبراها إحدى الصفات التي تنبئ بإنتاج حبي جيد في القمح القاسي، وهذا ما توصلت إليه (مصطفى، 2004) في دراسة حول علاقة الصفات المورفولوجية بالقدرة الإنتاجية في القمح القاسي، وقد ذكر (Weyhrich et al. 1995) إن للسفا أهمية وذلك لأنها عضو يقوم بعملية التمثيل الضوئي وهو يرتبط بالسنبلة مباشرة وعائياً، وإنها تكون مفيدة في المناطق الأكثر جفافاً (Evans et al. 1972; Kaul, 1974; Motzo and Giunta, 2002)، كما أشار (Ayeneh et al. 2002) إلى أهمية تركيب السفا إضافة لدورها في التمثيل الضوئي، وهذا ما أكدته (Tambussi et al., 2007) الذي أشار إلى أهمية طول السفا خاصة في المناطق الجافة لما تقدمه من نواتج عملية التمثيل الضوئي في مرحلة امتلاء السنبلة، حيث تتمتع أجزاء السنبلة وبشكل خاص السفا بخصائص جيدة مثل محتوى مائي نسبي عالي وجهد حلولي مرتفع، كما أكد (Xiaojuan et al., 2008) أهمية دور السفا في زيادة الإنتاجية الحبية في السلالات ذات السفا مقارنة مع السلالات عديمة السفا، كما ذكروا أن هذه الأهمية تتجلى بشكل خاص في مرحلة امتلاء الحبوب.

3. 3. 2. علاقة المؤشرات الفيزيولوجية بتحمل الجفاف:

ذكر (Araus et al., 1997) أن المؤشرات الفيزيولوجية يمكن أن تصبح دلائل موثوقاً بها لإنتاج الطرز الوراثية المختلفة إذا ما تمت دراستها على ورقة العلم أو على السنبلة. وإن تحديد أدوات للانتخاب مناسبة وقابلة للقياس، يسهلان من عملية تحسين المحصول لتحمل الجفاف (Silva et al., 2007). ويعرف تحمل الإجهاد المائي بتعديل عدد من المؤشرات الفيزيولوجية مثل درجة الحرارة للورقة، والناقلية المسامية، والتبخر (النتج)، التركيب الضوئي، التنفس، التي تحدد بدورها إنتاجية المحصول (Qing et al., 2001). كما أشار (Altinkut et al., 2001) إلى أهمية درجة حرارة الورقة، ومحتوى الماء النسبي كمؤشرات فيزيولوجية مرتبطة بتحمل الجفاف.

3. 3. 2. 1. لون الورقة Leaf Color (LC):

وجد (Villegas et al., 2000) لدى دراسة الصفات التطورية والصفات المرتبطة بالتركيب الضوئي لمجموعتين من طرز القمح القاسي لحوض البحر الأبيض المتوسط أحدها تم

تطويرها من أجل زراعتها في البيئات شبه رطبة والأخرى في البيئات الجافة والمزروعة في إسبانيا في منطقتين إحداها مروية والثانية بعلية أن الارتباط بالدرجة الأولى في المجموعة التي تم تطويرها كزراعة بعلية كان مع صفة محتوى الكلوروفيل للورقة العلمية في فترة امتلاء الحبوب، كما أكد إن استخدام محتوى الورقة من الكلوروفيل يعد مؤشراً على قدرة المحصول المحتملة للقيام بعملية التركيب الضوئي (ICARDA, 2003). عرف الدور الفيزيولوجي لورقة العلم عند محاصيل الحبوب منذ مدة طويلة وذلك من خلال نشاطها التمثيلي، وإسهامها بالغلة الحبية (Duwayri, 1984)، وكونها تبقى خضراء وفعالة في عملية التمثيل الضوئي خلال فترة امتلاء الحبوب، بالإضافة إلى قربها من السنبل (Chowdhry et al., 1999)، وتأتي أهمية لون الورقة من خلال ارتباطها بكل من كفاءة استعمال المياه (WUE)، والمحتوى النسبي من الماء (RWC)، كما أنها ترتبط بالغلة الحبية في الأراضي الجافة، وتؤدي دور أساسياً في تحمل الجفاف (ICARDA, 2003)، وهذا ما وجدته Gutierrez-Rodríguez et al (2004) في دراسته لطرز وراثية من القمح الطري ذات قدرة تكيف مع الظروف الجافة والمروية، بأن قياسات معامل الكلوروفيل التي أخذت بجهاز السبيكتروال (SR) في فترة امتلاء الحبوب من حياة النبات، لها علاقة ارتباط مع قيمة الكلوروفيل المقاس بجهاز SPAD، وأن هناك علاقة ارتباط بين قياسات معامل الكلوروفيل ومعدل التركيب الضوئي. كما نوه Rharrabti et al., (2001) لدى قياسه لمحتوى الكلوروفيل باستخدام جهاز SPAD لورقة العلم في مرحلة الإزهار لخمس وعشرين طرزاً وراثياً من القمح القاسي في بيئات حوض البحر المتوسط وتحت ظروف الجفاف، أن هذا القياس يكون مفيداً للكشف السريع والرخيص لمحتوى بروتين الحبوب العالي. وجاء Silva et al., (2007) ليؤكد أن محتوى الورقة من الكلوروفيل المقاسة بـ SPAD والتي يمكن قياسها بسهولة وسرعة هي من المؤشرات الموثوقة للانتخاب من أجل تحمل الجفاف.

3. 2. 2. محتوى الماء النسبي (RWC%) :

إن صفة محتوى الماء النسبي من الصفات التي ذكرت في العديد من المراجع لما لها علاقة بالغلة في الحبوب (Tahara et al. 1990; Peltonen-Sainio and Makela., 1995; Singh and Patel, 1996; Schonfeld et al., 1988). ذكر Merah, (2001) وجود علاقة ارتباط موجبة بين الغلة الحبية ومحتوى الماء النسبي في أوراق القمح القاسي. ووجد Maruckun et al., (1995) خلال دراستهم لمدة أربع سنوات للمؤشرات الفيزيولوجية أن محتوى الورقة من الماء من إحدى الصفات الفيزيولوجية ذات الأهمية من أجل الانتخاب للإنتاجية العالية ولمقاومة الجفاف. وهذا ما أكدته Reynolds et al., (2000) حيث ساعد تقدير محتوى الماء

النسبي في الأوراق (RWC) في إعطاء فكرة غير مباشرة عن حجم المجموع الجذري، أو القدرة على التعديل الحولي Osmotic adjustmnt، إذ ترتبط القدرة على التعديل الحولي بشكل كبير بزيادة كفاءة النباتات على استخلاص كمية أكبر من مياه التربة (Morgan and Condon, 1986). كما وجد Tambussi et al., (2005) أن فعالية التركيب الضوئي في ورقة العلم تحت ظروف الإجهادات المائية في حوض البحر المتوسط تؤثر في سنبل القمح القاسي، وذلك يعود للقيمة المرتفعة لمحتوى الماء النسبي (RWC) في ظروف الجفاف، وأشار في تقرير إيكاردا (ICARDA, 2003) أن هذا عائد لارتباطها أيضاً بصفة محتوى الورقة من الكلوروفيل، والمرتبطة بدورها بالغلة الحبية في ظروف الجفاف. كما وجد Silva et al., (2007) أن قيم كل من محتوى الورقة من الكلوروفيل المقاسة بجهاز SPAD، و محتوى الماء النسبي انخفضتا بشكل ملحوظ في كل طرز محصول قصب السكر عند تعرضها للجفاف. وكانت هذه الانخفاضات في محتوى الماء النسبي شديدة أكثر في الطرز الحساسة للجفاف 16% مقارنة بالطرز المتحملة للجفاف 15%، مؤكداً لما أشار إليه Kastori et al., (1999) في دراسة على صنفين من القمح أحدهما متحمل للجفاف، والآخر حساس له. ووجد Teulat et al., (2003) أن البيئة تؤثر في قيمة محتوى الماء النسبي لمحصول الشعير وبمعنوية عالية، ووجد (العودة وزملاؤه، 2008) أن صفة محتوى الماء النسبي من الصفات الفيزيولوجية المهمة المرتبطة بتحمل الإجهاد المائي مع المحافظة على طاقة المحصول الإنتاجية ضمن ظروف الجفاف.

3.3.2.3. الناقلية المسامية (SC) Stomata conductance:

ذكر Ritchie, (1983) أن الجفاف يؤدي إلى تقليل كمية المياه المتاحة في منطقة الجذور، مما يقلل من فرق التدرج في الجهد المائي (WPG) بين التربة وخلايا المجموع الجذري، فتراجع كمية المياه الممتصة، مما يضطر النبات إلى تقليل الناقلية المسامية، أو إغلاق المسامات بشكل كامل للحد من فقد الماء بالنتح، والمحافظة على جهد الامتلاء داخل الخلايا النباتية، ما سيؤثر سلباً في تصنيع المادة الجافة.

تؤدي حركة المسام دوراً مهماً في تنظيم وتأقلم النباتات مع الظروف البيئية (Zeiger et al., 1987). وترتبط الناقلية المسامية للغطاء النباتي بين تغيرات كل من الطاقة والمياه والكربون على الأرض (Kleidon, 2006) وهي المسؤولة عن كل من كثافة فوتونات البناء الضوئي، ودرجة حرارة الورقة، وجهد بخار الماء بين سطح الورقة والمسام وتركيز غاز ثاني أكسيد الكربون الداخلي والجهد المائي للتربة (Buckley, 2006; Jarvis 1976)، واقترح الباحث Austin, (1992) ضرورة زيادة معدل التمثيل الضوئي في الأوراق، بهدف زيادة كمية المادة

الجافة المصنّعة، ومن ثم زيادة غلة المحصول الحبية، وإن زيادة الناقلية المسامية هي إحدى الطرق المهمة لزيادة معدل التمثيل الضوئي، وهذا ما لوحظ من قبل (Ritchie et al., 1990) بأن طرز القمح الأكثر تحملاً للجفاف كانت ذات كفاءة تمثيلية *Photosynthetic capacity* معنوية أعلى، وناقلية مسامية نسبياً أكبر تحت ظروف الإجهاد المائي بالمقارنة مع الطرز الأكثر حساسية للجفاف.

ومن جهة أخرى وجد (Fischer et al., 1998) علاقة موجبة في ظروف الري بين زيادة الغلة الحبية مع كل من الناقلية المسامية ومعدل التركيب الضوئي ودرجة حرارة الغطاء النباتي، كما أكد أن الارتباط الأكبر لزيادة الإنتاجية كانت مع مؤشر الناقلية المسامية، حيث زاد الإنتاج بمقدار 27% مقابل زيادة 63% للناقلية المسامية و23% في معدل التمثيل الضوئي وزيادة قدرها 0.6°C بدرجة حرارة الغطاء النباتي. كما بين (Nachit 1998a) أن للناقلية المسامية تأثيراً في الغلة الحبية في المناطق الجافة من حوض المتوسط، وذكر العودة (2005) في دراسة مرجعية وجود علاقة ارتباط قوية بين زيادة معدل التمثيل الضوئي في الأوراق وغلة محصول القمح في برامج تربية القمح، وعزيت هذه الزيادة إلى زيادة كفاءة النبات التمثيلية (Watanabe et al., 1994)، وزيادة الناقلية المسامية (Rees et al., 1993; Reynolds et al., 1994)، حيث سمح ذلك بزيادة كمية غاز الفحم CO_2 الواصلة إلى مراكز التثبيت في الصانعات الخضراء. إذ أن كفاءة استخدام الماء تعدل ليست من خلال نقصان معايير المسامية فقط بل أيضاً من خلال الزيادة في قدرة التمثيل الضوئي (Araus et al., 2002). بينت أبحاث (Lu et al., 1998) بأن هناك علاقة طردية بين زيادة قيم الناقلية مع زيادة قيم الغلة في كل من نباتي القطن والقمح الطري، حيث ازدادت قيم الناقلية بمعدل $30 \text{ mmol m}^{-2}\text{s}^{-1}$ لكل زيادة في الإنتاج قدرها 100 kg ha^{-1} ، حيث يؤثر الإجهاد الجفاف الحاد في مرحلتي الإزهار والإسبال في كل من معدل البناء الضوئي والناقلية المسامية (Hongbo et al., 2007). وتوصل كل من (Radin et al., 1994; Ulloa et al., 2000) إن التهجين بين سلالات ذات ناقلية مسامية قليلة سيولد إنتاجاً ضعيفاً والعكس بالعكس.

وأظهرت نتائج دراسة (Loboda, 2000) لتأثير الإجهاد المائي في أربعة طرز وراثية من القمح والشعير الربيعي أن تخفيض السعة الحقلية من 60 إلى 35%، أدى إلى تراجع صافي التمثيل الضوئي بمقدار الضعف بالمقارنة مع النباتات غير المجهد مائياً نتيجة لتراجع الناقلية المسامية من 0.25-0.35 إلى 0.15-0.2 مول $\text{m}^2/\text{ثا}$ ، مما يؤدي إلى تراجع انتشار غاز الكربون عبر المسام، وسينعكس سلباً على كمية الفحم المتاح في مركز التثبيت، فيتراجع بذلك معدل التمثيل الضوئي، وتصنيع المادة الجافة اللازمة لنمو المجموعتين الهوائي والأرضي إذ

تفقد النباتات الماء من جدر الخلايا إلى الوسط المحيط على شكل بخار ماء بفعل عملية التبخر - نتح ومن خلال فتحة المسام، وهو نفس الطريق الذي يسلكه CO_2 ولكن بشكل معاكس، وبهذا فإن التأثير المبرد لعملية النتح بخروج الماء من المسامات المفتوحة يكون بمثابة وسيلة لتسهيل دخول CO_2 حيث تحتل فتحة المسام (stomata) موقعاً مركزياً لكلتا عمليتي خسارة الماء من النباتات وتبادل CO_2 (Jones, 1998)، وتبعاً لذلك فإن انفتاح المسامات وازدياد الناقلية المسامية يسهلان من امتصاص كميات أكبر من CO_2 مقابل فقد الماء. وقد اقترح Jones and Sutherland (1991) أن الدور الأساسي لفتحة المسام قد يكون لتجنب أضرار فقد الماء، والدور الآخر لفتحة المسام هو السيطرة على عملية النتح التي لها دورا في إبقاء درجة حرارة الورقة ضمن مدى مثالي (Burke et al., 1988; Mahan and Upchurch, 1988).

3. 2. 4. المقاومة المسامية (SR):

يعتبر انغلاق المسام رد فعل أولي سريع للجفاف وهو أسرع مثلاً من تغيرات تطور كل من المجموع الجذري، والمسطح الورقي، وتركيز البروتين.... ووجد في العديد من الحالات أنه كلما كان الصنف متحملاً للجفاف كلما كان متحكماً بنشاط المسام وقادراً على تثبيت غاز الكربون تحت ظروف الجفاف (Zeiger et al., 1987). وقد وجد (Matin et al., 1989) علاقة ارتباط موجبة وقوية بين المقاومة المسامية في أوراق الشعير وتحمل الجفاف. ولاحظ (Amani et al., 1996) عند دراسة صنفان للقمح الطري في ظروف حرارة عالية وتحت ظروف الزراعة المروية، ارتباط الغلة الحبية بشكل موجب ومعنوي مع المقاومة المسامية، وارتباط بين المقاومة المسامية والغلة، وإن الجفاف أدى إلى زيادة المقاومة المسامية (Jones, 1999; Lawlor and Cornic, 2002)، وأكد (Liang et al., 2002) تناقص كل من: فتحة المسام أو الثغور في القمح الطري ومحتوى الورقة من الماء بشكل ثابت مع تناقص عدد الأيام التي يحصل فيها الجفاف. في حين وجد أن حركة المسام تتباطأ وتحتاج لوقت طويل بشكل ملحوظ لتعود للانفتاح عند الري، ويعتمد ذلك على طول فترة الجفاف وطول فترة توفر السقاية. كما ذكر (Sinclair and Muchow, 2001) أن إغلاق المسام في المحاصيل يعتبر صفة إيجابية في تحسين كفاءة استخدام الماء في ظروف الجفاف. ونوه (Tian et al., 2005) لدى قياسه للنتح باستخدام جهاز قياس الناقلية المسامية (Li-1600) Porometer في ظروف شبه جافة في الصين أن معدل النتح له علاقة معنوية مع عوامل البيئة الرئيسة مثل درجة حرارة الهواء، والرطوبة النسبية، والأشعة الضوئية الفعالة في التمثيل الضوئي. وأن درجة حرارة الهواء هي العامل البيئي الرئيس الذي يؤثر في عملية النتح. وأن معدل النتح له علاقة مكعبة مع محتوى التربة من الماء، وعلاقة أسية مع مقاومة فتح الثغور.

توصل *Monneveux et al., (2006)* إلى أن هناك علاقة قوية بين إنتاجية القمح القاسي وبين فعالية كل من التركيب الضوئي والنتح تحت الظروف المطرية والمروية لخمس أصناف من القمح القاسي في حوض المتوسط، حيث ارتبط التركيب الضوئي بالصفات التي قيمت في مرحلة الإزهار، كما وجدوا أن هناك علاقة قوية وذات معنوية عالية بين صفة تمييز نظائر الكربون من الحبوب في مرحلة النضج وفتحة المسام في الظروف المطرية، وعلاقة سالبة مع فعالية التبخر، بينما كانت هذه العلاقة موجبة في ظروف الري، وتوصلوا إلى أن التربة تحت ظروف الجفاف في حوض المتوسط باتخاذ قيمة عالية لصفة تمييز نظائر الكربون من الحبوب في مرحلة النضج كصفة انتخابية سوف يقود إلى إعطاء أصناف ذات قيمة عالية لفتحة الثغور (المسام)، ومنخفضة في كفاءة التبخر وإلى إنتاج حبي مرتفع، ووجد *et al. (2006) Jiang* في إستراتيجية تربية الشعير من أجل انتخاب الطرز المحتملة للملوحة أنه يمكن استخدام جهاز البورومتر (*Porometer*) كبديل لكل القياسات التي تقيس كمية غاز CO_2 ، وفلورة الكلوروفيل، لوجود علاقة ارتباط قوية ومعنوية ($P < 0.0001$) بين المسامية والمعدل الصافي للتركيب الضوئي سواء في ظروف الملوحة أو الظروف العادية، ووجدوا علاقة ارتباط موجبة ومعنوية عالية ($P < 0.0001$) بين المسامية (*SC*) والإنتاج الطاقوي (*QY*) في التركيب الضوئي في نظام الأصبغة *PSII* II)، وأكدوا بأن فتحة المسام *Stomata* هي مفتاح القياسات لدراسة استجابة الشعير للحالات المحددة لعملية التركيب الضوئي، كما توصل *Monneveux et al., (2006)* أن هناك علاقة قوية وذات معنوية عالية بين وزن الحبوب وفتحة المسام في الظروف المطرية لخمس أصناف من القمح القاسي.

3. 2. 5. درجة حرارة الورقة *Leaf temperature*:

وجد *Silva et al., (2007)* أن درجة حرارة الورقة هي من المؤشرات الموثوقة للانتخاب من أجل التحمل للجفاف، ويمكن قياسها بسهولة وسرعة، وأن الطرز التي تعرضت لإجهاد مائي ارتفعت درجة حرارتها لدى زراعتها في ظروف مروية، وكانت درجة حرارة الورقة في الطرز المقاومة للجفاف أقل مما هي عليه في الطرز الحساسة للجفاف، وهذا ما أكدته *Ortiz- (1991 Ferrara et al., 2003)* في دراسته على القمح الطري. ووجد كل من *Luquet et al., (2003)* و *Jones, (2004)* أن انغلاق المسام في النبات يعد رد فعل سريع لدى تعرضه للإجهاد المائي، مما سيؤدي إلى توقف عملية النتح اللازمة لتبريد النبات، مما يرفع من درجة حرارة الورقة.

3. 2. 6. درجة حرارة الغطاء النباتي Canopy temperature:

تعد درجة حرارة الغطاء النباتي (crop canopy temperature) مؤشراً يعكس تحمل النبات للجفاف، حيث ترتبط درجة الحرارة الأعلى بنتاج أقل (ICARDA, 2003). وهذا ما أكدته Reynolds et al., (1994) حيث وجدوا ارتباطاً عكسياً بين الغلة الحبية ودرجة حرارة الغطاء النباتي عند قياسها قبل الإزهار، وخلال فترة امتلاء الحبوب، حيث تعبر هذه الصفة عن كفاءة النبات في امتلاكه لآلية التعديل الحلولي، إضافة لامتلاكه مجموعاً جذرياً متنشعباً ومتعمقاً. وجد Amani et al., (1996) عند دراسته لصنفين من القمح الطري في ظروف حرارة مرتفعة ومروية، ارتباط درجة حرارة الغطاء النباتي وبمعنوية عالية مع الغلة الحبية، ونوه Villegas et al., (2000) لارتباط الإنتاجية في طرز القمح القاسي بدرجة الحرارة المنخفضة للغطاء النباتي التي تم تطويرها من أجل البيئات شبه الرطبة في منطقة حوض المتوسط، وجاء Reynolds et al., (2007) ليؤكد بأن درجة حرارة الغطاء النباتي أحد المؤشرات المهمة المرتبطة بتحمل الجفاف.

3. 2. 7. دليل التفاف الورقة Leaf Rolling Index :

تعد صفة التفاف الأوراق من المؤشرات المهمة في تقييم تحمل الإجهاد، ومن أهم الأعراض المميزة للإجهاد المائي في النجيليات (Hasiacet, 1984)، حيث يقلل التفاف الأوراق من مساحة المسطح الورقي الأخضر المعرض بشكل مباشر لأشعة الشمس، فتحول دون ارتفاع درجة حرارة الأوراق وزيادة معدل فقد الماء بالتبخر-نتح. وهذا ما أشار إليه Nachit et al., (1992a) في أن دليل التفاف الورقة من العناصر المهمة في الغلة الحبية في ظروف الإجهاد أو عدمه، بينما أكد Annicchiarico and Pecetti, (1995) أن صفة التفاف الأوراق من الصفات النباتية التي تسهم في زيادة الغلة الحبية في القمح الطري، وفي التأقلم تحت ظروف الجفاف في منطقة حوض المتوسط.

3. 2. 8. الطبقة الشمعية على الورقة Wax ness of Leaf:

يعد وجود الطبقة الشمعية (Glaucousness) وهي طبقة بيضاء باهتة أو بيضاء مزرقة شبيهة بطبقة من الغبار على سطح الأجزاء الخضرية للنباتات، من الصفات الشكلية بسيطة التوريث والتي يمكن أن تكون مرتبطة بتحمل الجفاف، وهي صفة تتوضع على المجموع الخضري للنبات (ساق، أوراق، سنابل) وترتبط بالمحافظة على الإنتاجية أو زيادتها تحت ظروف الجفاف (Richards, 1983; 2000). إذ تؤثر الخصائص الفيزيائية والكيميائية للمادة الشمعية المترسبة بشكل واسع في التكيف وزيادة مقدرة الطرز الوراثية على تحمل الإجهاد المائي،

بتشكيلها حاجزاً فيزيائياً يحول دون فقد الماء بشكل مباشر من الأدمة الخارجية (Blum, 1988)، وتحسن من مقدرة المسام في ضبط معدل فقد الماء بالتبخر، وتساعد في رد جزء كبير من الأشعة الشمسية الواصلة للأوراق، وتحول دون ارتفاع درجة حرارة الأوراق (Barnes and Cardoso-Vilhne, 1996)، ويمكن أن تكون صفة وجود الطبقة الشمعية مفيدة كوسيلة لرفع كفاءة استخدام المياه تحت ظروف الإجهادات اللاأحيائية (Richards, 1996b).

3.3.2.9. التغطية النباتية وقوة النمو الأولي Vigor Growth:

يعتمد نمو القمح في الظروف البعلية على عدة عوامل منها: بزوغ مبكر ونمو مثالي للمجموعات النباتية، وأن المجموعة النباتية القوية **Vigorous Stand** الناتجة عن نسبة إنبات عالية وبادات نشطة لها أهمية خاصة في ظروف الإجهاد المائي الحادث خلال مراحل النمو المبكرة لنبات القمح (Brinis et al., 1998)، إذ يسمح النمو المبكر والسريع بتغطية لسطح التربة، مقللة بذلك من تعرض التربة بشكل مباشر لأشعة الشمس، ومن معدل فقد الماء بالتبخر المباشر (Richards et al., 2002)، وتعد صفة النمو المبكر القوي للبادرات من الصفات المرغوبة في البيئات التي يمكن أن تتعرض فيها نباتات محاصيل القمح والشعير للجفاف خلال مرحلة ما قبل الإزهار، حيث يساعد في تظليل سطح التربة، وتثبيط نمو الأعشاب. ذكر (Siddique et al., 1990) أن قوة النمو المبكر الأعظمية يمكن أن تزيد من كفاءة استخدام الماء لمحصول القمح بنحو 25% في منطقة حوض البحر المتوسط. ووجد (Nachit et al., 1992a) أن قوة الإنبات المبكر، إحدى العناصر المهمة في الغلة الحبية تحت ظروف الإجهاد أو عدمه. وأكد (Duwayri and Nachit, 1989) على أهمية صفة قوة الإنبات المبكر كإحدى الأليات المستخدمة من قبل الأصناف المحلية للقمح القاسي لتحمل الجفاف في منطقة حوض البحر الأبيض المتوسط. وأشار (Villegas et al., 2000) لدى دراسته للطرز الوراثية من القمح القاسي المزروعة في حوض المتوسط، والمزروعة في إسبانيا إلى أهمية ارتباط صفة قوة الإنبات بالإنتاجية، كما نوه العديد من الباحثين (El Hafid et al., 1998; Lopez- Castaneda et al., 1996) إلى أهمية قوة النمو المبكرة والتغطية الأرضية الجيدة في طرز القمح الوراثية المحتملة للجفاف والمزروعة في بيئات حوض المتوسط، وأن كفاءة استخدام الماء لدى هذه الطرز مرتبطة بهذه الصفة، بالإضافة إلى ارتباطها بتاريخ إزهار مثالي ودليل حصاد مرتفع. وفي دراسة للباحثين (Reynolds et al., 2001) لوضع نموذج مثالي لنبات مقاوم للجفاف، اقترح أن النبات ذو التغطية النباتية المبكرة هو النبات الأكثر تجنباً للجفاف، وقد أشار إلى أهمية هذه الصفة في حوض المتوسط، ويتحقق ذلك من خلال صفات الورقة، وطبيعة توزيعها على ساق النبات، للمحافظة على رطوبة التربة، وزيادة في كفاءة استعمال

الضوء (radiation use efficiency)، وهذا ما أكده Richards, (1996b)، وقد اعتبره كل من Richards et al., 2002; Richards, 2000; Botwright et al., 2002) كمعيار انتخاب لتحسين الغلة تحت ظروف الإجهاد المائي.

3. 2. 10. مؤشرات تحمل الجفاف Drought tolerance indicators:

يتطلب تحسين تحمل القمح للجفاف ضرورة تقييم جميع الطرز الوراثية (Golabadi et al., 2006)، حيث يؤدي الإجهاد في المناطق الجافة ونصف الجافة من حوض المتوسط خلال فترة امتلاء الحبوب إلى حدوث انخفاض كبير في الغلة الحبية (Ehdaie and Waines, 1996)، ما شكل حاجساً حقيقياً لمربي النباتات، حيث حدد هؤلاء معايير لتحمل الطرز الوراثية للجفاف بظروف الجفاف وعدمه، ونظراً لصعوبة تحديد بعض المعايير الفيزيولوجية كمعايير موثوقة للغلة في ظروف الجفاف، فقد اقترح (Voltas et al., 2005) بأن يكون أداء السلالات في البيئات المختلفة كمعيار انتخاب رئيس. واقترح (Fischer and Maure, 1978; Mitra, 2001) استعمال دليل الحساسية للجفاف (SSI) stress susceptibility index المستند على مقدار انخفاض الغلة تحت ظروف الإجهاد بالمقارنة مع الغلة تحت الظروف غير المجهدة (المروية)، حيث يشير انخفاض قيمة (SSI) إلى ارتفاع مستوى التحمل للجفاف، واستعمل هذا الدليل من قبل العديد من الباحثين وعلى عدة محاصيل، كالقمح (Cedola et al., 1994; Lazar et al., 1995; Bansal and Sinha, 1991) والشعير (Shakhatreh et al., 2001) والترينكالي (Ozkan et al., 1999) والشوفان (Larsson and Gorny, 1988). ووجده (Mardeh et al., 2006) من أكثر المعايير تمييزاً للطرز المحتملة للجفاف تحت ظروف الجفاف الشديد، في حين لاحظ (Fernandez, 1992) أن كل من المعيارين: متوسط قيم الإنتاج الهندسي (Geometric Mean Productivity, GMP) و دليل الحساسية للجفاف (Stress Tolerance Index, STI) أكثر فعالية في تمييز الطرز الوراثية العالية الإنتاج في كل من ظروف الجفاف المعتدل والري الكامل. بينما اعتمد (Rosielle and Hamblin, 1981) على مقياس تحمل الإجهاد (TOL). اعتمدت هذه المعايير أيضاً على مقاومة أو سهولة تأثر الطرز الوراثية بالجفاف. علماً بأن Hall, (1993) حدد تحمل الجفاف بالتغير النسبي لإنتاج الطرز المقارنة مع الطرز الأخرى التي أخضعت لظروف الجفاف نفسها. في حين قاس Blum, (1988) سهولة التأثر بالجفاف واعتبره غالباً كدلالة على انخفاض الغلة تحت ظروف الجفاف. و بين (Ramirez and Kelly, 1998) أن قيم معايير التحمل للجفاف تختلف باختلاف الطاقة الإنتاجية للطرز الوراثية، واعتمد على معيار تحمل الجفاف كمتوسط هندسي (GM)، بالإضافة إلى مقياس تحمل الجفاف TOL، ذاكراً أن الاعتماد في الانتخاب على كليهما قد أعطى معياراً للانتخاب من أجل تحسين تحمل الجفاف في محصول الفاصولياء. استخدم

(Guttieri et al., 2001) دليل الحساسية للجفاف (SSI) في محصول القمح الربيعي، واقترح أنه عندما تكون قيمة $SSI < 1$ يكون الطراز الوراثي فوق معدل الحساسية للجفاف، في حين أنه عندما يكون $SSI > 1$ يكون الطراز الوراثي تحت معدل الحساسية للجفاف. استخدم هذا المؤشر أيضا من قبل (Bansal and Sinha, 1991) في محصول القمح، بالإضافة إلى الغلة الحبية كمعايير ثابتة لتحديد الطرز الوراثية المحتملة للجفاف. وفي دراسة للباحثين Rosielle and Hamblin, (1981) وجدا أن المعيارين STI و GMP هما من أكثر المعايير المستعملة لتقييم استجابة النبات للإجهاد البيئي، في حين اقترح (Shiri et al., 2001) أنهما من أكثر المعايير فعالية للتنبؤ بإنتاجية القمح.

3.4. علاقة الصفات الفينولوجية بتحمل الجفاف:

تناولت العديد من الأبحاث الصفات النباتية التي تسهم في زيادة الغلة الحبية وفي التأقلم تحت نماذج مختلفة من الجفاف، وتعتبر صفة تاريخ الإنبال مثلا من الصفات المهمة لزيادة الغلة الحبية للقمح القاسي في حوض المتوسط (Annicchiarico and Pecetti, 1998)، إذ أن الطرز الوراثية المبكرة أفضل من الطرز المتأخرة في الإنبال، لكن هذه الفائدة تميل إلى الاختفاء تحت ظروف الري (García del Moral et al., 2003). وهذا ما أكدته (Villegas, et al., 2000) حيث وجدوا أنه لم يكن للصفات الفينولوجية أي تأثير في الإنتاج للطرز الوراثية من القمح القاسي التي تم تطويرها من أجل البيئات شبه رطبة، في حين بالنسبة لمجموعة الطرز التي تم تطويرها للبيئات الجافة فقد كان الارتباط بالدرجة الأولى مع الإنتاج لصفة الإنبال المبكر، وذكر في تقرير (ايكارد، 2004) أن السلالات التي تميزت بالإنتاجية العالية والمستقرة كانت السلالات الأبر في الإنبال والنضج. وهذا ما أكدته (Dura, 2009)، لما تملكه من صفات فينولوجية قادرة على التفاعل مع البيئة ومؤثرة في الصفات الإنتاجية، حيث يتأثر معامل الحصاد بشكل كبير عند حدوث الجفاف في نهاية الأطوار الفينولوجية أي عند حدوث الجفاف في فترة امتلاء الحبوب (Araus et al., 2002)، كما أن زيادة حفظ المدخرات الكربوهيدراتية خلال الفترة بين النمو الخضري وفترة امتلاء الحبوب يكون مفيداً في البيئات الجافة والقاسية (Araus et al. 2002)، حيث تزيد الصفات الفينولوجية من كمية الماء التي استخدمت من قبل النبات خلال فترة امتلاء الحبوب (Royo et al., 2000)، ومن جهة أخرى أشار كل من (Evans and Wardlaw, 1967; Royo et al., 2000; Villegas et al., 2001; García del Moral et al., 2003) إلى العلاقة الإيجابية لفترة امتلاء الحبوب بالغلة الحبية، وفسرت على أساس أن درجة الحرارة ذات مسؤولية أقل من الفترة الأطول لفترة امتلاء الحبوب، وهذا يسمح بتراكم أكثر لمنتجات التمثيل الضوئي في

الحبوب، سيؤدي إلى وزن حبوب أعلى وبالتالي إلى غلة حبيبة أكبر، خصوصاً في ظروف الزراعة المروية، وتحت ظروف الإجهاد المعتدل شريطة أن لا يحدث الجفاف في المراحل التالية لفترة امتلاء الحبوب، وهذا ما ذكره كل من (Blum, 1983; Van Oosterom and Acevedo, 1992)، حيث يؤثر الإجهاد المائي خلال الإزهار، أو فترة امتلاء الحبوب في وزن الحبوب، من خلال منع انتقال نواتج التمثيل الضوئي إلى السنابل، مما يؤدي إلى انخفاض الغلة الحبيبة (Wang et al., 2005).

3.5. الدراسة الجزيئية:

الجينات (المورثات) هي الوحدات المتحكم بها بالموصفات المختلفة للنبات، وتكون متوضعة على قطع محددة من كل صبغي، وهي الوظيفة الوراثية والتي تنتقل من جيل لآخر عن طريق التكاثر الجنسي واللاجنسي. ويستخدم مصطلح المورث (Gene) بشكل عام للإشارة إلى انتقال وتوارث صفات بعينها، ويتألف أبسط المورثات من قطعة من حمض النيولييك تشفر بروتيناً معيناً أو (RNA) (عبد الوهاب زايد ورفاقه، 2003). ويعرف (King and Stansfield, 1990) المجموع الصبغي أو الجينوم بأنه مجموع كامل المورثات المحمولة على الخلايا الجنسية المفردة (Single gamete). تم استخدام ترتيب التسلسل النيكلوتيدي لكامل المجموع الصبغي في بعض الأنواع النباتية، وذلك لتحديد أماكن المورثات المعينة على الصبغي، ويستخدم معظم الباحثين المؤشرات الوراثية للقيام بهذه الوظيفة. وتعرف المؤشرات الوراثية بعدة تعريفات:

1. هي علامة واضحة على الصبغي تسمح بتحديد منطقة محددة على DNA.
2. هي قطعة محددة من DNA ذات مكان محدد على المجموع الصبغي (Wikipedia the free encyclopaedia/ genetic-marker).
3. هي عبارة عن مورث ذو أثر مورفولوجي معروف، ويمكن تمييزه بحيث يمكن استخدامه لتحديد هوية فرد أو خلية تحمل هذا المورث، أو بحسب تعريف (King and Stansfield, 1990) تستخدم كمسبر لتعليم نواة أو صبغي أو موقع وراثي (Locus).
4. هي تسلسل (DNA) يستخدم لتحديد موقع وراثي معين على صبغية معينة (عبد الوهاب زايد ورفاقه، 2003).

لقد انبثقت فكرة استخدام المؤشرات الوراثية أول مرة في أوائل القرن الماضي من قبل (Sax, 1923) إلا أن تطور أنظمة الرحلان الكهربائي وتقنيات الإيزوأنزيمات (Market and Moller, 1959)، والمؤشرات الجزيئية (Botstein et al., 1980; Vos et al., 1995) أدت إلى تسارع الفهم من الباحثين للعلوم البيولوجية.

تقسم المؤشرات الوراثية إلى ثلاث أنماط:

1. مؤشرات مورفولوجية (الشكلية) **Morphological and agronomic**:

تستخدم المؤشرات الشكلية في مدى واسع من البيئات المسؤول عنها موقع وراثي واحد كمؤشرات وراثية إذا كان تعبيرها ثابتاً. إلا أنه غالباً ما تتأثر المؤشرات الشكلية بالعوامل البيئية والوراثية.

2. مؤشرات بيوكيميائية **Biochemical**: عبارة عن جزيئات بروتينية معقدة ذات شحنات مختلفة يمكن فصلها في الرحلان الكهربائي إلى حزم عديدة ويمكن فصلها إلى نوعين: الأيزوزيمز **Isozymes**، وبروتينات التخزين.

3. المؤشرات الجزيئية **Molecular markers**.

ذكر (Melchinger et al. 1990) إن المؤشرات الجزيئية تمتلك فوائد أكبر من المؤشرات المورفولوجية وذلك للأسباب التالية:

- ✓ معظم المؤشرات الجزيئية تمتلك صفة السيادة في التوريث.
- ✓ تمتلك عادة الثباتية في تأثيرها في الشكل الظاهري الذي يعكس التفاعل بين التركيب الوراثي والبيئة.
- ✓ توفر نتائج مبكرة، مما يحل عملية الانتخاب مبكرة في برامج التربية.
- ✓ سهولة تحديد موقع وراثي مطلوب مباشرة.
- ✓ الحصول على عدد كبير من المؤشرات بزمان قصير نسبي.
- ✓ عدم وجود أية علاقة بين الأطوار الفينولوجية للنبات والمؤشرات الجزيئية وبالتالي يمكن استخلاص المادة الوراثية من الـ DNA من المراحل الأولى للنبات.

3. 5. 1. استخدام التقانات الحيوية:

تضمن النصف الأول من القرن الأخير، معظم التحليل الوراثي للاختلافات بالنظر إلى الاختلافات في الصفات الشكلية والتشريحية، وفي الخمسينات والستينات تم الكشف عن الاختلافات في التركيب الصبغي، ومؤخراً منذ الثمانينات تمت دراسة الاختلاف على مستوى DNA حيث أن تقنيات تحليل DNA وتحليل البيانات، مكن العلماء من فهم العلاقة الوراثية بين الكائنات الحية على المستوى الجزيئي.

يوجد عدة تقنيات حيوية يمكن تقسيمها حسب اعتمادها على مبدأ تفاعل PCR إلى:

3. 5. 1. 1. تقانات لا تعتمد على مبدأ تفاعل PCR:

تميز هذا النوع من التقانات بقدرتها على تغطية كافة المجموع الصبغي للنبات المدروس، ففي عام 1980 تم اقتراح تقانة **Restriction Fragments Length**

Polymorphism (RFLP) لدراسة الاختلافات ضمن جزيئة DNA نفسها من قبل (Botstein, et al. 1980) تتضمن هذه التقنية معاملة DNA المدروس بأنزيمات التحديد (restriction enzymes)، وهي عبارة عن أنزيمات مستخرجة من بكتريا معينة وتتعرف على مقاطع نيوكليوتيدية محددة ، حيث يقطع عندها DNA المدروس إلى عدد من القطع تسمى قطع التحديد، وتسمى المنطقة التي سيتعرف عليها الأنزيم ويقطعها بموقع القطع (restriction site)، وبذلك يتم الحصول على أعداد لا متناهية من شذف دنا صغيرة الحجم وذات طبيعة وراثية متساوية السيادة. إذا اختلف فردان بقاعدة نيوكليوتيدية واحدة في موقع القطع فإن أنزيم التقيد سيقطع DNA لفرد ولا يقطعه للفرد الآخر. وبذا ينجم شذف قطع بأطوال مختلفة. يتم تمييز شذف DNA الجينومي من خلال تلوين ساذرن عبر تقنية Southern, blotting وهي الطريقة التي يتم بها نقل شذف الدنا المرحلة بالرحلان الكهربائي إلى فيلتر نايلون أو نتروسيلوز، حيث يسمح لهذا DNA بأن يهجن مع مسابر موسومة بنظائر مشعة أو باستخدام مسابر يستخدم فيها أنزيمات مرتبطة بالمسبر يمكن أن يكشف عنها لونياً. تعطي كلتا الطريقتين نفس النتائج ويعتمد استخدام أي منهما على توفر المادة المطلوبة في المخبر. وتمتاز بقدرتها على كشف التعدد الشكلي Polymorphisms للمقاطع النيوكليوتيدية لقطع المادة الوراثية DNA المقيدة من خلال استخدام أنزيمات التقطيع أو التحديد الداخلية endonucleases restriction enzymes دون استخدام التفاعل السلسلي البوليميرازي (PCR) Polymerase Chain Reaction (Botstein et al., 1980) ويقوم جهاز الرحلان الكهربائي بفصل هذه القطع حسب طولها الجزيئي، إن التباين الشكلي للحزم الناتجة (Polymorphism) المتحصل عليه بهذه التقنية يعود لوجود اختلافات بالتسلسل النيكلوتيدي لموقع القطع، وقد تعود هذه الاختلافات لاستبدال زوج من النيكلوتيدات Substitutions أو إدراجها Insertions أو استبعادها Deletion أو لحدوث طفرات معينة Mutations (Higuchi et al., 1990; Shin et al., 1998)، وإن أعداد وأطوال الحزم المتباينة الناتجة عن استخدام هذه التقنية يعود لاستخدام الأنزيمات المختلفة.

مساوئ هذه التقنية:

تحتاج إلى كميات كبيرة نسبياً من المادة الوراثية DNA عالي النقاوة كما أنها تحتاج لوقت وجهد كبيرين في الحصول على النتائج (Rafalskey et al ;1993: 1996)

3. 1. 5. 2 تقانات تعتمد على مبدأ تفاعل PCR:

أحدث اكتشاف تفاعل السلسلي البوليميرازي (PCR) Polymerase Chain Reaction من قبل (Mullis, 1986) أكبر ثورة في مجالات التقانات الحديثة للبيولوجيا الجزيئية في الثمانينات، ولتطوير هذه التقنية من قبل (Saiki et al., 1985) واكتشاف أنزيم DNA-polymerase

(Saiki et al., 1988) الأثر المهم على صعيد الدراسات الوراثية الجزيئية ، حيث اعتبر هذا الإنجاز تطوراً هاماً خاصة عندما أمكن تضخيم **Amplification** (مضاعفة) قطع محددة من الـ DNA باستخدام بادئات عشوائية أو متخصصة مصممة لهذا الهدف (Ayad et al., 1997 ; Karp et al. , 1997). وفكرة هذا التفاعل تتلخص بالتركيب والتصنيع المتكرر وبشكل مستمر لقطعة محددة من DNA ، لينتج كمية كبيرة من DNA وحيد السلسلة مشابهة لـ DNA المدروسة (Saiki et al., 1985). حيث تقوم الحرارة بتعطيم الروابط الهيدروجينية وفصل سلاسل DNA المدروسة إلى سلاسل مفردة عبر عملية **Denaturation**، ثم يتم التحام البادئة بالمناطق المحيطة بـ DNA المدروسة عبر عملية **Annealing**، وبعملية **Extension** يتم تركيب سلسلة DNA جديدة وذلك ضمن تضاعف آسي.

ومن أهم التقانات التي تعتمد على الـ PCR نذكر :

3. 1. 5. 2. 1. تقانة المكاثرة العشوائية ذات التعدد الشكلي للـ DNA (RAPD):

Randomly Amplified Polymorphism DNA:

وتعتمد على إكثار قطع من الـ DNA المتباينة في تسلسلها النيوكليوتيدي عشوائياً مع تضخيم قطع النيوكليوتيدات الحاوية على تتاليات نيوكليوتيدية والتي يمكنها أن تشكل مع البادئات العشوائية سلسلة يمكن رؤيتها على شكل حزم **Bands** مختلفة الوزن الجزيئي على هلامة من الأجاروز **Agarose** (Williams et al. , 1993; Welsh and McClelland, 1990) . وتمتاز هذه التقانة بإمكانية أتمنتها (Williams et al., 1990) وتوفر عدد كبير من البادئات التي يمكن تبادلها بين مراكز البحث لسهولة معرفة التسلسل النيوكليوتيدي للبادئ، كما تتسم بالبساطة والسرعة وعدم الحاجة لكميات كبيرة من المادة الوراثية الـ DNA (Forapani et al. , 1999; Williams et al., 1990)، لكنه يؤخذ عليها عدم ثباتية النتائج عند تكرارها لتأثرها بعوامل عديدة الأمر الذي جعلها لا تتمتع بثقة الباحثين (الأمير، 2002).

3. 1. 5. 2. 2. تقانة التتابع البسيطة الترادفية (SSR) **Simple Sequence Repeats**:

حسب (Beckmann and Soller (1990 و Litt and Luty, (1989 تعرف بـ الماكروستلايت (Microsatellite)، أما Tauts et al., (1986 فقد عرفها بـ **Short Tandem Repeats (STRs)**، أو **Simple Sequence Length Polymorphism (SSLPs)**.

إن الوحدات التكرارية المشكلة لـ SSR هي عادة بسيطة وتتكون من تكرار نيكلوتيدين مثل $(GA)^n$; $(CT)^n$; $(GT)^n$ ، أو ثلاثة $(CAC)^n$ ، أو أربعة مثل $(GACA)^n$; $(GATA)^n$ تحتوي على الأدينين (A) أو السيتوزين (C) أو الجوانين (G)، أو التيامين (T) ، وهذا يدل عادة أن التسلسل المتكرر (**motif**) أقل من 100 bp (Thomas and Scott 1993) حيث $(CA)^n$

يتراوح الرقم n من 10^{-100} ، وقد ذكر Tautz et al., (1986) أن مجموع المورثات (genomes) لجميع الكائنات حقيقة النواة ومنها النبات تحتوي على ماكروستلايت SSR (microsatellites)، إضافة إلى أن ماكروستلايت مع التكرار المترادف (tandem repeats) بشكل أقل من 6 bp ظهر كمصدر مهم في وراثة الأوبكوتين (ubiquitous: بروتين) الموجود في كافة خلايا الكائنات حقيقة النواة (Wang et al., 1994) مشيراً على أهمية تقانة ماكروستلايت (microsatellites) حيث اعتبرها مثالية وهامة بسبب توفرها على كامل المورث، وتوزعها بشكل منتظم أو شبه منتظم، وتتطلب كمية قليلة من المادة الوراثية DNA وثابتة النتائج عند تكرارها (Yy et al., 1994; Liu et al., 1996)، ويمكن نشر البادئات وتبادلها بسهولة بمجرد معرفة التسلسل النيكلوتيدي لها (Yy et al., 1994; Liu et al., 1996)، حيث يتم اختبار PCR الخاص بـ SSR باستخدام بادئات خاصة يتألف كل منها من شقين: الأول ويدعى Forward ويلتحم في المنطقة التي تقع قبل SSR، والثاني ويدعى Reverse ويلتحم في المنطقة التي تقع بعد SSR.

وفي الدراسات الوراثية الحديثة المتطورة تم استخدام واسمات الميكروستلايت الـ DNA في برامج التربية في العديد من الأنواع النباتية. إذ أن نظام الميكروستلايت مؤلف من تكرارات من سلاسل DNA في كل موضع، السلاسل المكررة هي عادة نكليوتيدات ثنائية بسيطة مثل n «TG»، مع كل نكليوتيد ثنائي مكرر حوالي عشر مرات. درجتها العالية بالبلمرة في رقم المكرر (n) يسمح باستخدامها كمواقع واسمات في الخريطة الوراثية. إن طول كل أليل يتحدد بواسطة الـ PCR باستخدام بادئ متخصص متعدد النكليوتيدات بجانب السلسلة المكررة. الميكروستلايت هي منطقة متنوعة وهي الأكثر بساطة وتتمثل بواسطة سلسلة أساسية من النكليوتيدات الثنائية إلى الرباعية. هذه الخصائص للميكروستلايت تجعلها مفيدة لبنية خرائط الكثافة العالية من المورثات (Dib et al., 1996).

إن تقنية الماكروستلايت (تكرار السلسلة البسيطة) أساسها (PCR) الذي يعتمد على مستوى عالي من تغاير الشكل التي تسمح بها البادئات التي تسمح للتمييز بين الأصناف وحتى بين سلالات القمح القريبة الناتجة عن برامج التربية (Plaschke et al., 1995; Maccaferri et al., 2007)، وأصبحت بسرعة الطريقة المعتمدة لبناء الخريطة الوراثية في القمح (Roeder et al., 1998; Somers et al., 2004; Sourdille et al., 2004)، وحتى الآن طورت المئات من أزواج البادئات لتقنية SSR لكل ثلاثة من مورثات القمح (<http://wheat.pw.usda.gov/GG2/index.shtml>) بالإضافة إلى تحديد عادة موقع كروموزومي وحيد.

إن جوهر العمل التربوي يكمن في زراعة الصنف المتفوق أو الطراز المفضل من المحاصيل الحقلية في البيئة التي تسمح بالتعبير عن إمكانياته الإنتاجية الكامنة (Boyer, 1982)، ولابد من معرفة البناء الوراثي وطبيعة عمل المورثات المتحكممة باستجابة النبات للبيئات المختلفة (Kashif and Khaliq, 2003)، وبما أن تطوير هذا الطراز يعتمد على نقل الجينات المتحكممة بالصفة المطلوبة للوصول إلى أصناف جديدة أفضل، فإن معرفة مواقع هذه الجينات في النبات المانح ضرورية لتسريع برنامج العمل التربوي.

إن الاستخدام الرئيس للمؤشرات الجزيئية هو الوصول إلى مواقع الجينات المطلوبة بأقرب مسافة وراثية ممكنة لأنه كلما تم التوصل إلى مؤشر جزيئي قريب من المورث كلما كانت احتمالية ارتباطه به أعلى فإذا كانت الصفة نوعية **Qualitative trait** ويتحكم بها مورث واحد أو زوج من المورثات يكفي الاعتماد على هذا الارتباط بين مؤشر ومورث، أما إذا كانت الصفة كمية **Quantitative trait** ويتحكم بها أكثر من مورثين فيجب دراسة تنوع المؤشرات الجزيئية لهذه المورثات وربطها مع الأداء البيئي لهذه الصفة للمساعدة في استخدامها في عمليات الانتخاب والتربية والتحسين وغرلة الطرز والأصناف بوقت مبكر (Tanksley et al. 1989). وإن تحديد مواقع المورثات لصفة الثباتية الإنتاجية في ظروف الإجهاد المائي مفيدة من أجل تطوير واستخدام استراتيجية الانتخاب المعتمد على المؤشرات الوراثية **Marker Assisted Selection** (Mangini et al., 2005). لذلك فإن البحث مازال مستمراً عن مؤشرات تكون أكثر فعالية واقتصادية لتكون في متناول أيدي مربّي النبات.

شاع استخدام تقنيات المعتمدة على **DNA** (الواسمات الجزيئية) خلال العقدين الأخيرين على نطاق واسع ولعدة أغراض في العديد من أنظمة النبات والحيوان، وقد استخدمت في القمح الطري (Langridge et al., 2001; Vashney et al., 2005)، حيث وجد عدد كبير من الجينات لصفات مختلفة سواء كانت صفات نوعية، أو مقاومة لإجهادات إحيائية ولا إحيائية وهدفت لربطها بواسمات جزيئية (Vashney et al., 2005; Gupta et al., 1999).

إن تقنية استخدام المؤشرات الجزيئية هي أدوات سريعة وفعالة لتحسين المحاصيل (Langridge, 2005; Varshney and Tuberosa 2007) ولبناء الخرائط الوراثية، حيث الخطوة الأولى هي في معرفة الجانب الوراثي للصفات المستهدفة في تحسين المحاصيل. وإن استعمال المؤشرات الجزيئية كمعايير إنتخاب تمثل بديل مهم للصفات الفيزيولوجية (Price and Courtois, 1999)، والجدول (4) يبين عدد من المؤشرات الجزيئية التي ارتبطت بعدد من الصفات المورفوفيزيولوجية، كما يشير إلى عدد من المؤشرات الجزيئية التي حددت موقعاً وراثياً قد ارتبط بجينات كانت مسؤولة عن بعض الصفات، ففي دراسة —

(Roy et al., 2006) على 55 طرازاً وراثياً من القمح الطري وجد 131 اسماً جزيئياً من SSR المرتبطة بـ عدد من الصفات المورفوفيزيولوجية، حيث أثبت ضرورة استخدام عملية الانتخاب باستخدام الواسمات الجزيئية، وهذا ما أكدته (Diab et al., 2008) باستعمالها في القمح القاسي لتحسين تحمل الجفاف.

جدول (4): يبين توافق عدد من المؤشرات الجزيئية بعدد من الصفات المورفوفيزيولوجية، ومؤشرات الجزيئية التي حددت موقعاً وراثياً قد ارتبطت بجينات كانت مسؤولة عن بعض الصفات تم تسجيل ارتباطها من قبل الباحثين

الموقع الوراثي	الصفة المرتبط بها	المرجع	الجين المرتبط
Xwmc24	طول النبات، عدد السنبيلات في السنبلة	Roy et al., 2004	Tri Al
Xwmc25	عدد الأيام حتى الإزهار، مساحة ورقة العلم	Roy et al., 2004	Lr-16
Xwmc44	معامل الحصاد	Roy et al., 2004	
Xwmc243	طول حامل السنبلة، الغلة الحبية،	Roy et al., 2004	Lr-16
Xwmc170	عدد الأيام حتى الإزهار، الكتلة الحيوية، معامل الحصاد، عدد الأيام حتى النضج،	Roy et al., 2004	
Xgwm160	الغلة، مقاوم للبياض الدقيقي	Jakobson et al., 2006	
Xgwm160	وزن الألف حبة	Jakobson et al., 2006	
Xwmc96	طول السنبلة	Zhengqiang Ma et al., 2007	
Xwmc24	طول النبات	Roy et al., 2006	
Xwmc170	عدد الأيام حتى النضج	Roy et al., 2006	
Xwmc170	عدد الأيام حتى الاسبال	Roy et al., 2006	
Xwmc24	عدد الحبوب في السنبلة	Roy et al., 2006	
Xwmc24	عدد السنبيلات في السنبلة	Roy et al., 2006	
Xwmc170	معامل الحصاد	Roy et al., 2006	
Xwmc170	الغلة البيولوجية	Roy et al., 2006	
Xwmc243	الغلة الحبية	Roy et al., 2006	
Xwmc243	طول حامل السنبلة	Roy et al., 2006	
Xgwm369	عدد السنابل	Jing et al., 2007	
Xgwm369	طول حامل السنبلة	Jing et al., 2007	
Xgwm614	يهيمن على إنتاج الشمع، بقاء الاخضرار واستمرار في عملية التركيب الضوئي خلال فترة امتلاء الحبوب	Simmonds et al., 2008	Viridescence

القمح القاسي هو رباعي الصبغة التآصلي ذو شكلين، وله نوعا جينوم مختلفان (A,B)، ويتمتع بمادة وراثية ضخمة (16×10^9 bp/genome) (Bennett and Smith 1976)، لاحتوائه على عدد كبير من السلاسل المتكررة لدرجة أن 80% من المجموع الصبغي يتألف من سلاسل DNA متكررة. وإن فهم مجموع المورثات واستخدامها في تقنية الحيوية كاستخدام

الواسمات الجزيئية هو جل اهتمام مربو النبات، حيث سيسمح بكفاءة أكبر في عملية الانتخاب واختيار الأبوين لإدخالها في عملية التهجين في برامج التربية.

تعتبر المؤشرات الجزيئية **the molecular markers** كما أشار (Nachit and Elouafi., 2004) أدوات ذات قدرة عالية للاستخدام كوسائل مساعدة في الانتخاب **Marker-assisted selection** لتطوير أو تحسين تحمل الجفاف والإنتاجية في القمح القاسي في منطقة حوض المتوسط، وأكد أن هذه التقنيات سوف تساهم في تطوير برامج التهجين وانتخاب الطرز الوراثية. وجدت المواقع المسؤولة عن الصفات الكمية **QTLs** (Quantitative trait Loci) في عشيرة 'Jennah×Cham1' في كافة صفات فيزيولوجيا الإجهاد المدروسة، وتوضعت **QTLs** (Quantitative trait Loci) المسؤولة عن تحمل الجفاف على الصبغيات 1B، 2A، 3B، 4B، 5A، 5B، 6A، 6B، 7B (ICARDA. 2003)، حيث وجدت كافة **QTLs** المسؤولة عن الصفات المختلفة متراكبة فوق بعضها، فعند تحديد المواقع على الخريطة الوراثية المسؤولة عن انخفاض حرارة الظلة، وكفاءة استعمال المياه (WUE)، والمحتوى النسبي من الماء (RWC) وجدت في المنطقة الصبغية ذاتها، حيث تستخدم الواسمات الجزيئية (**Molecular markers**) بشكل متزايد كوسيلة للتحسين الوراثي وذلك لأن كافة الصفات الفيزيولوجية والمورفولوجية (الشكلية) والتطورية التي تفسر قدرة النباتات على تحمل الجفاف في النبات تمتلك قاعدة وراثية جزيئية، حيث أن استخدام علم فيزيولوجيا المحاصيل وعلم وبحوث الجينوم (الاستراتيجية البحثية التي تستخدم التشخيص الجيني والتنسيل لجينومات كاملة من أجل فهم تركيب، ووظيفة، وتطور المورثات) أدى إلى تقديم رؤية جديدة حول تحمل الجفاف، وتزويد المربين بمعرفة وأدوات جديدة لتحسين الإنتاجية (Tuberosa and Salvi, 2006)

وتتغلب التربية بمساعدة المؤشرات على الحاجة إلى العدد الكبير من مواقع الاختبار والتربية التي تعد ضرورية للتربية التقليدية اعتماداً على التعبير المظهري (ICARDA., 2003)، حيث خفضت الفجوة بين الطاقة الإنتاجية الكامنة للطرز الوراثية وبين إنتاجيتها في البيئات الجافة، تيمكن الوصول إليه عن طريق تحديد الصفات المرتبطة بتحمل الجفاف، وتحديد الجينات المطابقة، وذلك باستخدام الانتخاب بمساعدة الواسمات (MAS)، حيث ترتبط الواسمات ارتباطاً وثيقاً بموقع مستهدف أو أكثر، وغالباً ما يكون موقعاً لصفة كمية. حدد Cattivelli. et al. (2008) ثلاثة نظريات يمكن أن تستخدم لتقليل الفجوة بين الطاقة الإنتاجية الكامنة والإنتاج الفعلي:

1. استخدام المؤشرات الفيزيولوجية لأنها تزودنا برؤية جديدة وأدوات متطورة لفهم الصفات المتعلقة بالإجهاد المائي.

2. استخدام علم الوراثة الجزيئي الذي ساعد في تحديد العديد من المواقع الجينية (QTL) المؤثرة في الغلة تحت ظروف الإجهاد المائي، أو تعكس تعبير الصفات المرتبطة بالإجهاد المائي.

3. استخدام علم البيولوجيا الجزيئية (دراسة العمليات الحياتية على المستوى الجزيئي) الذي يزودنا بالجينات المفيدة إما بشكل تسلسل النيكلوتيدي المرشح للتحليل (QTL) ، أو للوصول إلى الفرد التي تم اندماج مورث منقول في جينومه. وبذلك توفر للمربين وتقدم لهم أدوات جديدة من أجل التربية، كمؤشرات تحديد المواقع الوراثية، والجينات الوحيدة لعملية تحويل النبات، فيعمل المربي على دمج كل الصفات التي تمنح الاستقرار للإنتاجية تحت ظروف الإجهاد المائي، وتجميع كل QTLs الأكثر فعالية، أو عملية التحويل ليتم نقل المورثات الهامة.

إن ما يقيد الانتخاب المباشر للغلة الحبية تحت ظروف الإجهاد المائي كونها صفة توريتها منخفض، إضافة إلى أن التفاعل بين المورثات المتواجدة في المواقع الوراثية مختلف، مثل كبت مورث لتأثير مورث آخر يوجد في موقع مختلف، إضافة إلى التفاعل المعنوي بين الوراثة والبيئة، والتفاعل بين المواقع الوراثية QTL والبيئة (Piepho, 2000)

إن اعتبار الاليل المناسب لتحمل مكونات الغلة للجفاف في الموقع الوراثي يمكن أن يساهم فيه أبوين مختلفين (Lanceras et al., 2004)، وصفة الجفاف صفة كمية ولكن الجينات التي تسيطر على وقت الإزهار، وطول النبات، ونمط السنبلة، والتعادل الحولي (Osmotic adjustment) ربما تلعب دوراً هاماً في عملية التكيف في البيئات الجافة (Forster et al., 2004) ، حيث وجد Morgan and Tan, (1996) جين يؤثر في التعادل الحولي (OA) متواجد على الكروموزوم 7A على الذراع القصير، ولوحظ أن إدخال هذا الجين في برنامج التربية أدى لزيادة في الغلة تحت ظروف التقليل من عدد الريات التكميلية (Morgan,2000)، ووجد Lanceras et al., (2004) الأليل المناسب لمكونات الغلة في محصول الأرز حيث أن الموقع الوراثي (QTLs) يرتبط بالعديد من الصفات المتعلقة بالجفاف مثل وزن الجذور، ومحتوى الماء النسبي، والتفاف الورقة والتي تم تحديدها من قبل (Zhang et al., 2001)، بالرغم من التأثيرات الهامة للموقع الوراثي QTL ، إلا أن تقييم تفاعلات الموقع الوراثي مع البيئة QTL× E له أهمية لاستخدامه في الانتخاب باستخدام الواسمات (Beavis and Keim, 1996).

إن برامج التربية بمساعدة علم الجينات لتطوير أصناف مقاومة للجفاف، مازالت قليلة وهامشية، علماً أنه سجلت بعض الأمثلة عن استخدام الواسمات الجزيئية بالانتخاب، ويمكن أن تدرس استجابة النبات للإجهاد الجفافي بتحديد الجينات التي تعدل تعبيرهم كرد على نقص

المياه، حيث قلة المياه هي أحد العوامل البيئية غير الملائمة للمحاصيل إذا أخضعت لها خلال فترة من فترات نموها، وهي أحد أهم العوامل المحددة لنمو النبات، وتطوره، وإنتاجه، طورت النباتات إستراتيجيات مختلفة لتحمل هذا الإجهاد، تتضمن تغييرات في نمط تعبير الجين بسبب تنشيط جينات الإجهاد المعينة وإلى إعادة برمجة عامة للنشاط الوراثي في الخلية، وإن نتائج هذه الآليات عموماً تطويرية، وفيزيولوجية وذات تغييرات كيميائية حيوية لتتكيف مع البيئة المتغيرة. وبشكل خاص إن الردّ الخلوي للإجهاد المائي يعتمد على درجة الإجهاد المائي، وعلى طول فترته ويختلف حسب أنواع النباتات، بالإضافة إلى المرحلة التطويرية لها، وبعض من هذه الجينات ميّزت وصنّفت (Diab et al., 2008؛ Rampino et al., 2008)، وفي محاولة لـ Diab et al., (2008) لتحديد المنطقة الوراثية التي تسيطر على الصفات المرتبطة بالجفاف، وبدراسة شملت سلالات من عشيرة ناتجة من صنف قمح قاسي (جناح خاتيفة×شام1)، وجد عدة مواقع وراثية يمكن تحديدها للصفات: درجة حرارة الغطاء النباتي، وقياسات تتعلق بالتركيب الضوئي، بالإضافة إلى معامل كفاءة استعمال الماء، فوجد 107 مؤشر جزيئي تتضمن 6 جينات معروفة ارتبطت بمواقع وراثية مرتبطة بصفات تحمل الجفاف، معظمها تركز على الكروموزم 5B، 4B وفق الجدول التالي:

الموقع الوراثي	منتجات الجين	الكروموزم	الصفة المرتبطة	البيئة
BM816640	Phosphoprotein phosphatase	4B	محتوى الورقة من الكلورفيل	مروي في تل حدبا
BM816848	Hypothetical protein	4B	النتج	بعل في تل حدبا
BM816121	Stearoyl-CoA desaturase	4B	الكربون النظير	بعل في تل حدبا
BM816474	Cathepsin B	5A	محتوى الورقة من الكلورفيل	مروي في تل حدبا
BM816242	Glutathione S-transferase	5B	معامل استخدام الماء	بعل في تل حدبا
Lox11-1	Lipoxygenase	5B	الأشعة الفعالة في عملية التركيب الضوئي	بعل في تل حدبا
BM816414	Early flowering protein 1	5B	درجة حرارة الغطاء النباتي مؤشرات الفلورة	بعل في تل حدبا

وجد (Eloufi and Nachit, 2004) مواقع وراثية لوزن الألف حبة على الكروموزوم 6B، ووجدت متوج (2007) في دراسة جزيئية على 24 طرازاً وراثياً من القمح القاسي، منها 17 سلالة مبشرة و7 أصناف محلية، في ثلاث بيئات مختلفة، أحدها يمثل الجفاف الحاد (بريدا)،

والثاني يمثل الجفاف القاري (تل حديا- بعل) والثالث يمثل الري التكميلي (تل حديا- ري تكميلي) وباستخدام تقنية الماكروستلايت ارتباطاً بين المؤشرات الجزيئية gwm112, gwm285, gwm614, gwm448, gwm369, gwm297, gwm344, gwm518. وبعض الصفات الفيزيولوجية والتكنولوجية. أما (Maccaferri et al., 2008) فقد وجد في إحدى مواقع الدراسة في إيطاليا (Lucer) عدة مواقع وراثية للصفات الفينولوجية كعدد الأيام حتى الإنبال والنضج والتي حددت على الكروموزوم 5A, 4B, وذكر أنها تتأثر كثيراً بالبيئة، كما وجد العديد من المواقع الوراثية لصفة طول النبات تواجدت على الكروموزومات (2B, 2A, 2B, 3A, 4B, 5A, 6A, 6B, 7B)، ومواقع وراثية لصفة وزن الألف حبة تواجدت على الكروموزومات (2A, 2B, 3A, 4B, 5A, 6A)، وحددت المواقع الوراثية للغلة الحبيبة على الكروموزومات (2A, 2B, 5B, 6A, 7B) وحدد الكروموزوم 3A في موقع الدراسة الآخر في إيطاليا (Cadriano)، حيث تتحكم بالغلة الحبيبة ومكوناتها عدة مورثات والتعبير عنها متأثر بالبيئة. ودلت نتائج (Dura, 2009) أن مواقع الجينات المسؤولة عن الصفات الكمية منتشرة بشكل واسع على الجينوم. وأن الكروموزوم A يلعب دوراً هاماً للصفات التالية: موعد التسيل والنضج، وطول النبات، وزن السنبله الرئيسية، وعدد الحبوب في السنبله الرئيسية، ووزن الحب في السنبله الرئيسية، والغلة الحبوبية وإنتاجية الحب. أما الكروموزوم B فانه يلعب دوراً هاماً لكل من: عدد الأشطاء المنتجة، وطول السنبله الرئيسية، وعدد السنييلات في السنبله الرئيسية، وغلة القش، ومحتوى الكلوروفيل والمحتوى المائي في دراسة ضمت 114 سلالة من سلالات القمح القاسي، كما وجد عدة مواقع واثية باستخدام مؤشرات جزيئية من نوع (wmc) وتقنية الماكروستلايت لصفة عدد الأيام حتى النضج والتي حددها على الكروموزوم (2A, 4B)، ولصفة طول السنبله توضع على الكروموزوم (3B, 4B)، ولعدد الحبوب في السنبله توضع على الكروموزوم (4B, 4A)، وهذا ما يسمى حسب تعريف موسوعة Wikipedia بالتوافق الوراثي (Genetic association) الذي هو توافق لا يحصل مصادفة بين صفتين أو أكثر، إحداها على الأقل صفة وراثية. ويهدف التوافق الوراثي إلى تحديد توافق المواقع الوراثية مع الصفات المظهرية، مثال جدول (4)، فإذا ما وجد هذا التوافق فإن هناك ألياً في موقع وراثي محدد سوف يتكرر في الفرد الحامل للصفة المظهرية، وفي دراسة — (أشتر، 2009) لعلاقات التوافق الوراثي بين بعض الصفات المورفولوجية ومواقع وراثية متباينة لـ SSR لمجموعة من الأصناف المحلية ومعتمدة إضافة إلى سلالات مبشرة من القمح القاسي والطري، وجدت 83 علاقة تلازمية ذات علاقة قوية ومعنوية، منها 25 موقعاً وراثياً مع صفة طول السنبله، و24 موقعاً مع صفة طول السفا، و12 موقعاً مع صفة وزن 1000 حبة، و8 مواقع مع صفة عدد الحبوب في السنبله، و7 مواقع مع صفة عدد السنييلات

الكلية، و6 مواقع مع صفة وزن الحبوب في السنبله، و3 مواقع مع صفة طول النبات، وموقعاً واحداً مع صفة السنبيلات العقيمة.

4. مواد البحث و طرائقه Materials and Methods:

4.1. المادة النباتية Plant Material:

4.1.1. الموسم الأول 2005/2004:

شملت الدراسة 112 سلالة مستقرة ناتجة عن التهجين بين الصنفين القاسيين من القمح (لحن × شام1). نفذ التهجين في محطة تل حديا عام 1991 في إطار برنامج القمح القاسي لمنطقة حوض المتوسط وذلك وفق طريقة متابعة نسل الحبة الواحدة Single Seed Descent (SSD) (Nachit, 1992). حيث يمثل لحن الأب الأول (Lahn=Shwa / Bittern (P1)، شكل (8)، أنتج في ايكاردا عام 1988 وهو صنف متوسط الطول ذو ساق قوية مقاوم للرقاد، و لصدأ الأوراق والسبتوريا، ومتأخر قليلاً، ومقاوم للصقيع، وذو نوعية حبوب جيدة وكبيرة، تحمل أوراقه وساقه طبقة شمعية. أما الأب الثاني فهو الصنف شام1 (Waha = (P2) Pelicano/ Ruff // Gaviota / Rolette شكل (9) اعتمد عام 1983 بناء على التجارب المشتركة بين مديرية البحوث العلمية الزراعية في سورية والمركز الدولي للبحوث الزراعية في المناطق الجافة (إيكاردا)، مبكر في الإنبال والنضج، ومقاوم للرقاد والانفراط، سنبلته قرمزية اللون متطاولة ذات طبقة شمعية متوسطة، مع وجود أشعار على القنابع السفلية للسنبلة، ومقاوم للصدأ الأصفر، لكنه حساس لصدأ الأوراق والسبتوريا والبياض الدقيقي، حبوبه بيضاء، وذات صبغات صفراء، وقوة الغلوتين فيه منخفضة إلا أنه يملك قدرة إنتاجية وثنائية عالية (Rharrabti, et al., 2001) حيث أبدى تأقلاً واسعاً مع مناطق بيئية مختلفة، وتميز بإنتاجية عالية تحت ظروف بيئية مواتية.



شكل (9) الأب الثاني: شام1 (P21) Waha = Plc/ Ruff // Gta / Rtte

شكل (8) الأب الأول: لحن (P1) Lahn = Shwa / Bittern

4. 1. 2. الموسمين 2006/2005 - 2007/2006:

تم استخدام 18 سلالة من السلالات الـ 112 المكونة لعشيرة لحن × شام 1 التي تمت دراستها في موسم 2005/2004، واختيرت كمجموعتين بحيث مثلت المجموعة الأولى: السلالات الأعلى غلة والمستقرة:

LC2504	LC2305	LC2301	LC2221	LC2215	LC2110	LC2106	LC2103	LC2014
--------	--------	--------	--------	--------	--------	--------	--------	--------

ومثلت المجموعة الثانية السلالات الأدنى غلة وغير المستقرة في عشيرة لحن ×

شام 1 وهي التالية:

LC2508	LC2417	LC2322	LC2306	LC2304	LC2222	LC2204	LC2012	LC2006
--------	--------	--------	--------	--------	--------	--------	--------	--------

بالإضافة للأبوين لحن وشام 1.

كما استخدمت الأصناف: أم الربيع 5، حوراني، شام 3، شام 1، جدارة 2 كشواهد إحصائية.

4. 2. مواقع العمل Sites description:

نفذ البحث في موقعين مختلفين في ظروفهما البيئية والمناخية وفي خصوبة تربتهما، وهما تل حديا، وبريدا التابعتين للمركز الدولي للبحوث العلمية الزراعية في المناطق الجافة والأراضي القاحلة (إيكاردا). وذلك خلال ثلاثة مواسم زراعية متتالية: 2005/2004، 2006/2005، 2007/2006.

4. 2. 1. موقع تل حديا: (زراعة مروية ري تكميلي)

هي محطة البحوث الرئيسة التابعة للمركز الدولي للبحوث الزراعية في المناطق الجافة (إيكاردا). وتقع على خط عرض 36° ، 56° شرقاً وخط طول 10° و 36° شمالاً وعلى ارتفاع 284 م عن سطح البحر، وتبعد عن مدينة حلب حوالي 35 كم باتجاه الجنوب الغربي. وتقع ضمن منطقة الاستقرار الثانية، يبلغ معدل الهطول المطري فيها 335 ملم في السنة، تربتها طينية كلسية ثقيلة قليلة العمق، محجرة، تتصف طبقتها السطحية باللون الأحمر الداكن أو البني المحمر، وبفقرها بالمادة العضوية والفوسفور وبتشققاتها خلال فصل الصيف. مناخ المنطقة هو مناخ منطقة حوض المتوسط الرطب والبارد شتاءً، والحر والجاف صيفاً. بلغ معدل الأمطار 303.7 ملم في الموسم الأول، و 260.7 ملم في الموسم الثاني، و 264.6 ملم في الموسم الثالث. تمت الزراعة فيها باستخدام الري التكميلي، أي بإضافة رية تكميلية واحدة قدرها 30 - 35 ملم.

4. 2. 2. موقع بريدة: (زراعة بعلية استقرار ثالثة)

تقع المحطة على بعد 60 كم جنوب شرق مدينة حلب وعلى خط عرض 15° و 37° شرقاً وخط طول 56° و 35° شمالاً بارتفاع 300 م عن سطح البحر، تصنف تربة موقع بريدة بأنها

سلتية غضارية طينية ثقيلة، ذات لون بني محمر. وتقع المحطة ضمن منطقة الاستقرار الثالثة حيث معدل الهطول المطري فيها 260 ملم، بلغ معدل الأمطار 263.2 ملم في الموسم الأول، و201.7 ملم في الموسم الثاني، و233.4 ملم في الموسم الثالث. يتصف مناخ المنطقة بالمناخ القاري القاسي، وهي تستخدم كمحطة للانتخاب من أجل التربية لتحمل الجفاف، والبرودة.

4. 3. سنوات الدراسة:

زرعت التجربة ثلاثة مواسم زراعية متتالية 2005/2004 ، 2006/2005 ، 2007/2006.

4. 4. طريقة الزراعة:

تمت الزراعة بشكل آلي و بمعدل ثمانية خطوط بطول 5 م ومسافة 20 سم، وأضيف السماد الآزوتي للزراعة المروية (تل حديا) بمعدل 138 كغ آزوت صافي في الهكتار أي ما يعادل 300 كغ /هـ يوريا 46 % ، كما أضيفت الأسمدة الفوسفاتية بمعدل 69 كغ P_2O_5 صافي /هـ أي ما يعادل 150 كغ /هـ سوبر فوسفات 46 %. أضيف السماد الآزوتي بمعدل 50 كغ N صافي/هـ و السماد الفوسفوري بمعدل 40 كغ P_2O_5 صافي/ هـ في الزراعة البعلية من منطقة الاستقرار الثالثة (بريدا).

4. 5. الصفات المدروسة:

4. 5. 1. الغلة الحبية و مكوناتها Grain Yield And Its Components:

4. 5. 1. 1. الغلة الحبية (GY) Grain Yield:

حُسبت غلة الحبوب من حصاد مساحة 5.76 م² من القطعة التجريبية، وحولت بعدها إلى كغ/هـ.

4. 5. 1. 2. عدد السنابل/م² (SPM2) Spikes Per Unit Area:

تم حصر النباتات قبل الحصاد في مساحة 1/2 م² من وسط القطعة التجريبية، وسجل عدد السنابل ضمن المساحة المحصورة، ثم عدل عددها على أساس سنبله / م².

4. 5. 1. 3. عدد الحبوب في السنبله (GRSP) Grains/Spike:

أخذ متوسط عدد حبوب خمسة سنابل مختارة عشوائياً من القطعة التجريبية.

4. 5. 1. 4. وزن الألف حبة (TKW) 1000 – Kernels Weight:

أخذ وزن 200 حبة باستخدام العداد الإلكتروني والميزان الحساس. وعدل الوزن على أساس وزن 1000 حبة /غ.

4. 5. 2. الصفات الشكلية Morphological Traits:

وهي الصفات القياسية والشكلية الزراعية الآتية:

4. 5. 2. 1. طول النبات (سم) (PH) Plant Height:

قيس ارتفاع السوق الرئيسة عند النضج من سطح الأرض إلى قمة السنبله دون قياس السفا لخمس نباتات مختارة عشوائياً من كل قطعة تجريبية، وأخذ المتوسط الحسابي.

4. 5. 2. 2. طول السنبله (سم) (SL) Spike Length:

حسب متوسط طول خمسة سنابل مختارة عشوائياً من كل قطعة تجريبية ابتداءً من قاعدة السنبله إلى نهاية السنبيلات دون قياس السفا.

4. 5. 2. 3. طول حامل السنبله (سم) (PL) Peduncle Length:

حسب متوسط طول حوامل خمسة سنابل مختارة عشوائياً من كل قطعة تجريبية ابتداءً من آخر عقدة ساقية إلى قاعدة السنبله ممثلة لطول الساقية الطرفية الأخيرة.

4. 5. 2. 4. طول السفا (سم) (AWL) Awns Length:

أخذ متوسط طول السفا لخمس سنابل مختارة عشوائياً من كل قطعة تجريبية بدءاً من قمة السنبله.

4. 5. 3. الصفات الفيزيولوجية Physiological Traits :

أخذت القراءات الفيزيولوجية في مرحلتين 45-75 وفق مقياس زادوكس (Zadoks, et al., 1974).

4. 5. 3. 1. لون الورقة (LC) Leaf Color:

أخذت بالاستعانة بجهاز Menolta أو يسمى SPAD الذي يقيس لون الورقة الذي له علاقة بكمية الكلوروفيل في ورقة العلم (Peterson, et al., 1993). أخذ متوسط ثلاث قراءات من كل قطعة تجريبية شكل (10).



شكل (10) جهاز Menolta (SPAD)

4. 5. 3. 2. محتوى الماء النسبي في الأوراق (Leaf relative water content (%))
:(RWC%)

استخدمت طريقة Barr and Weatherley, 1962 حيث تم حسابه باستخدام المعادلة التالية:

$$RWC\% = (FW - DW) / (TW - DW) \times 100$$

حيث: FW الوزن الرطب للأوراق.

DW الوزن الجاف للأوراق.

TW الوزن الرطب المشبع للأوراق.

4. 5. 3. 3. قياس الناقلية المسامية Stomata conductance

سُجلت القراءة وقت الصباح عندما كان الجو مشمساً بواسطة جهاز (Type Porometer AP4 (شكل 11) حيث يعطي القراءات التالية:

1. درجة حرارة الورقة C° (CupL).

2. درجة حرارة الغطاء النباتي C° (CupT).

3. المقاومة المسامية $mol^{-1}.m^2.S$ (SR).

4. الناقلية المسامية $mol. m^{-2} S^{-1}$ (CR) ويمكن حسابها وفق المعادلة التالية: مقلوب المقاومة المسامية.



شكل (11) جهاز Porometer

4. 5. 3. 4. دليل التفاف الورقة (LRI) Leaf Rolling Index :

تحسب بالمعادلة التالية:

$$LRI = LR \text{ pm} \times LunR \text{ am} / 10$$

حيث LR pm: تعبر عن التفاف الورقة في وقت الظهيرة وتأخذ كمقياس من 1-9 حيث القيمة 9 تكون فيها حواف الورقة ملفوفة.

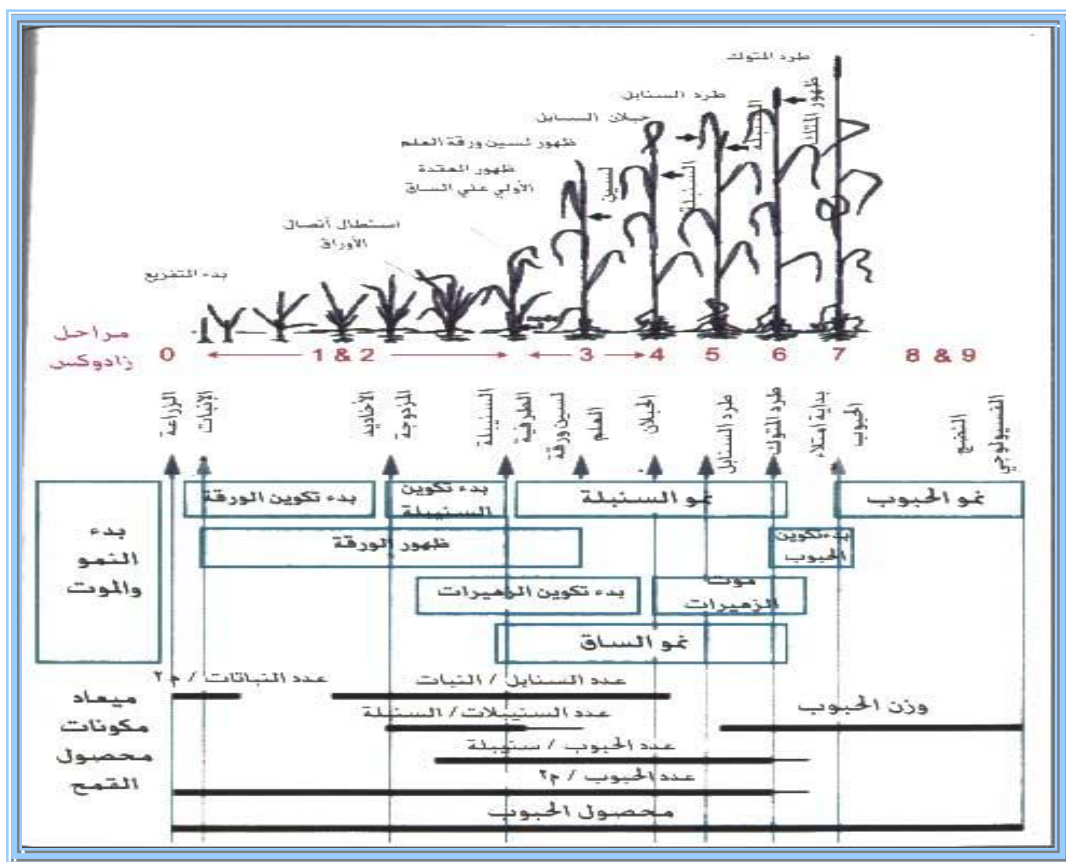
LunR am: تعبر عن عدم التفاف الورقة وقت الصباح وتأخذ كمقياس من 1-9 حيث القيمة 9 تكون فيها حواف الورقة غير ملفوفة وكامل سطح الورقة معرض لأشعة الشمس.

4. 3. 5. الطبقة الشمعية على الورقة **Wax ness Of Leaf**:

أخذت كمقياس 1-9 ، حيث 9 تمثل القيمة العالية لوجود الطبقة الشمعية البيضاء على سطح الأوراق.

4. 3. 5. 6. التغطية النباتية وقوة الإنبات **Vigor Growth**:

أخذت كمقياس 1-9 ، حيث 9 تمثل تغطية وقوة إنبات جيدة، تم أخذ هذه القراءة في مرحلة 2&1 وفق مقياس Zadoks شكل (12).



شكل (12) مقياس Zadoks
المصدر: Rawson, and Macherson. 2000

4. 3. 5. 7. مؤشرات الجفاف:

تم استخدام المعادلات التالية:

$$TOL = (YP - YS) \text{ (Rosielle and Hamblin, 1981)}$$

$$GMP = \sqrt{(YS \times YP)} \text{ (Ramirez and Kelly, 1998)}$$

$$SSI = [1 - (YS)/(YP)]/SI \text{ (Fischer and Maurer, 1978)}$$

$$SI = [1 - (\ddot{Y}S) / (\ddot{Y}P)]$$

$$STI = [(\ddot{Y}P) \times (\ddot{Y}S) / (\ddot{Y}P)^2]. \text{ (Fernandez, 1992)}$$

حيث:

TOL: دليل تحمل الجفاف.

GMP: متوسط قيم الإنتاج الهندسي.

SSI: دليل الحساسية للجفاف.

SI: معامل الحساسية.

STI: معامل تحمل الجفاف.

YS: الغلة تحت ظروف الإجهاد.

YP: الغلة تحت ظروف الري التكميلي.

$\ddot{Y}S$ و $\ddot{Y}P$: متوسط الغلة لكل السلالات تحت ظروف الإجهاد، وعدم الإجهاد على الترتيب.

4.5.4. الصفات الفينولوجية Phonological Traits

4.5.4.1. عدد الأيام حتى الإنبال: (DH) Days to Heading

حسب عدد الأيام من تاريخ الإنبات وحتى خروج السنابل بالكامل من الأغمد لـ 50% من النباتات.

4.5.4.2. عدد الأيام حتى النضج (DM) Days to Maturity

حسب عدد الأيام من تاريخ الإنبات حتى فقدان الكامل للون الأخضر لورقة العلم لـ 50% من النباتات.

4.5.4.3. فترة امتلاء الحبوب (GFD) Grain Filling Period

هي ناتج طرح عدد الأيام حتى الإنبال من عدد الأيام حتى النضج.

4.6. التحاليل الجزيئية الوراثية:

تم استخدام تقنية الماكروستلايت في مخبر التقنيات الحيوية التابع لبرنامج القمح القاسي في ايكاردا وفق الخطوات التالية:

1. تجهيز المادة النباتية.

2. استخلاص الـ DNA DNA Extraction.

3. تقدير كمية وجودة الـ DNA باستخدام جهاز المطياف الضوئي

(Spectrophotometer).

4. مضاعفة المادة الوراثية DNA باستخدام جهاز PCR.

5. تحضير هلامة البولي أكريلاميد وجهاز الرحلان الكهربائي.
6. تلوين الـ DNA على هلامة البولي أكريلاميد بواسطة نترات الفضة.
4. 6. 1. تجهيز المادة النباتية:
- استخدم في هذه الدراسة سلالات مستقرة ناتجة عن تهجين بين الصنفين القاسيين من القمح (لحن × شام 1) وزعت على مجموعتين:
- ✓ المجموعة الأولى 9 سلالات وهي الأعلى غلة وذات ثباتية إنتاجية.
 - ✓ المجموعة الثانية 9 سلالات وهي الأدنى غلة والأقل ثباتية إنتاجية.
- بالإضافة إلى الأبوين: لحن، شام 1
- تمت زراعة المادة النباتية في أصص ووضعت في الحاضنة لمدة ثلاثة أسابيع على درجة حرارة (20° C) نهاراً و (10° C) ليلاً ومدة إضاءة 10 ساعات ثم أخذ منها العينات الورقية الفتية لاستخلاص الـ DNA.

4. 6. 2. استخلاص الـ DNA : DNA Extraction

تم استخلاص الـ DNA لكل عينة من العينات العشرون بطريقة (SDS) Sodium-Dodecyl-Sulfate (ITML.,1994)

حيث مادة (SDS) هي مادة قلوية تعمل على الحد من فعالية الأنزيم DNase المفكك للمادة الوراثية DNA أثناء عملية الاستخلاص، تم استخلاص الـ DNA وفق الخطوات التالية:

طحن ما يعادل 3 غرامات من الأوراق الخضراء (ذات عمر 21 يوماً) في هاون من البورسلان المبرد مسبقاً وباستخدام الأروت السائل (165 °C-) مما أدى لتجميد خلايا الأنسجة بسرعة والحصول على مسحوق ناعم مثل البودرة، ثم نقلت البودرة إلى أنابيب وأضيف لكل أنبوب 20-25 مل من سائل الاستخلاص درجة حرارته (65°C) ودرجة حموضته pH = 8.0، والمكون من المركبات التالية:

لتحضير ليتر واحد:

5 M NaCl	100ml
1 M Tris- Hcl pH 8	100ml
0.25 M EDTA	200ml
20% SDS	62.5 ml

أكمل الحجم النهائي بالماء، وأضيف 0.38 غ من مادة sodium bisulfate لكل 100مل Buffer، تمت معايرة الـ pH لتصبح بين 7.8-8 وذلك بإضافة NaOH، أضيف من 20-25 مل من هذا المحلول لكل أنبوب، وحرك بشكل جيد، وضع المجموع في حمام مائي

على درجة حرارة 65°C مع التحريك كل 5 دقائق. أخرجت العينات من الحمام المائي ووضعت تحت الساحة وأضيف للعينات محلول مكون من:

كلوروفورم وكحول الايزمائل بنسبة (1:24)، مزج الخليط باستخدام هزاز آلي في درجة حرارة المخبر لتشكل مستحلب. بعد ذلك وضعت العينات في جهاز الطرد المركزي لمدة 15 دقيقة وبسرعة 2800 دورة/دقيقة. ثم أخذت الطبقة السطحية ووضعت في أنابيب نظيفة، ثم أضيف حجمين كالحجم الموجود للمستحلب المستخلص من الايتانول البارد على درجة -20°C ذو التركيز 75%. ثم حركت العينات يدوياً، ووضعت العينات تحت الدرجة -20°C لليوم الثاني. يترسب DNA ليتم نقله بواسطة ماصة دقيقة ذات نهاية معقوفة إلى أنابيب معقمة تحتوي كحول بارد 70%، ثم ينقل إلى أنابيب سعة 2 مل وتترك لتجف. يتم عادة حل الـ DNA بمادة TE المعقمة المكونة من المواد التالية:

لتحضير 1 ليتر:

1 M Tris , pH8	10ml
0.25 MEDTA, pH 7.0	4ml
ماء معقم	986ml

يحل DNA بالكحول البارد 70% ويغسل بمادة TE المعقمة مرتين. يحضن الـ DNA على درجة حرارة 65°C في الحمام المائي. وتوضع العينات على الهزاز الآلي (الفورتكس) مدة 30 دقيقة أو حتى ينحل الـ DNA ، توضع العينات بعد ذلك في جهاز الطرد المركزي لمدة 15 دقيقة على 10000 دورة/دقيقة. ثم ينقل الـ DNA إلى أنابيب جديدة، يتم حساب كثافتها باستخدام جهاز المطياف الضوئي (Spectrophotometer)، ثم يحفظ الـ DNA على درجة حرارة -20°C لحين الاستخدام.

4. 6. 3. تقدير تركيز الـ DNA باستخدام جهاز المطياف الضوئي (Spectrophotometer):

أضيف 20 ميكروليتر من عينات الـ DNA إلى 1980 ميكروليتر من محلول منظم TE (أي نسبة تمديد 1 DNA / 99 محلول منظم TE) ومزجت العينات جيداً، ثم قرئت قيم الامتصاصية (Optical density) OD (تعني وجود 50 ميكروغرام من الـ DNA في 1 ميلي ليتر من سائل العينة) عند موجات بطول 260 و 280 نانومتر بعد وضع العينات في المطياف الضوئي.

تملك المحضرات النقية من الـ DNA قيم القراءات ما بين 1.8 إلى 2 بعد تقسيم قيم الإنتقالية 260nm.

حسب تركيز الـ DNA في المحلول لكل عينة بالاعتماد على الصيغة التالية:

$$\text{DNA Concentration}(\mu\text{g/ml}) = \text{OD}_{260} \times (\text{dilution factor}) \times 50\mu\text{g/ml} \\ 1000$$

4. 6. 4 مضاعفة المادة الوراثية DNA باستخدام جهاز PCR:

استخدم 50 بادئ أو مؤشر من مؤشرات SSR وزعت على كامل صبغيات القمح القاسي وفق مايلي:

جدول رقم(5): يبين تصنيف المؤشرات الجزيئية المستخدمة، وعددها

المرجعية References	العدد Number	تصنيف المؤشر الجزيئي SSR class
Röder <i>et al.</i> 1998, Martin Ganal, IPK, Gatersleben, Germany	32	gwm Gatersleben wheat microsatellites
Gupta <i>et al.</i> (2002), http://wheat.pw.usda.gov/ggpages/SSR/wmc	18	wmc Wheat microsatellites consortium

جدول رقم (6): يبين المؤشرات الجزيئية المستخدمة من نوع Gatersleben wheat microsatellites

البادئة اليسارية	البادئة اليمينية	المؤشر الجزيئي	التوافق على الكروموزوم
AGC CTT ATC ATG ACC CTA CCT T	CGT ATC ACC TCC TAG CTA AAC TAG	4B	gwm006bp180
CAC TGC ACA CCT AAC TAC CTG C	GGA GTC ACA CTT GTT TGT GCA	1B	gwm033bp112
CAC TGC ACA CCT AAC TAC CTG C	GGA GTC ACA CTT GTT TGT GCA	6A	gwm033bp181
CAC TGC ACA CCT AAC TAC CTG C	GGA GTC ACA CTT GTT TGT GCA	1A	gwm033bp332
CAC TGC ACA CCT AAC TAC CTG C	GGA GTC ACA CTT GTT TGT GCA	1A	gwm033bp430
CAC TGC ACA CCT AAC TAC CTG C	GGA GTC ACA CTT GTT TGT GCA	1A	gwm033bp121
GCA TTG ACA GAT GCA CAC G	TGT CCT ACA CGG ACC ACG T	7A	gwm060bp215
CGC CCT GGG TGA TGA ATA GT	TCG ACC TGA TCG CCC CTA	7A	gwm63bp250
GGT CTC AGG AGC AAG AAC AC	ATT AAT ACC TGA GGG AGG TGC	6B	gwm107bp195
AAA ACT TAG TAG CCG CGT	TCA GTG GGC AAG CTA CAC AG	5A	gwm129bp225
CTG CAG GAA AAA AAG TAC ACC C	TTC AAT TCA GTC TTG GCT TGG	4AL	gwm160bp172
TGA GAG GAA GGC TCA CAC CT	TGC ATC AAG AAT AGT GTG GAA G	2B	gwm210bp173
TGA GAG GAA GGC TCA CAC CT	TGC ATC AAG AAT AGT GTG GAA G	2B	gwm210bp410
GGG GTC CGA GTC CAC AAC	GAT GAG CGA CAC CTA GCC TC	6B	gwm219bp155
CTC ATT GGG GTG TGT ACG TG	GAG TCC TGA TGT GAA GCT GTT G	5B	gwm234bp235
CGC AGC TAC AGG AGG CC	GCC CCC TTG CAC AA TC	7A	gwm260bp170
GCA TGC ATG AGA ATA GGA ACT G	GAG AAA CAT GCC GAA CAA CA	1A	gwm264bp173
GCA TGC ATG AGA ATA GGA ACT G	GAG AAA CAT GCC GAA CAA CA	1B	gwm264bp191
TTA TGT GAT TGC GTA CGT ACC C	AGG GGA TAT GTT GTC ACT CCA	1B	gwm268bp350
ATC GAC CGG GAT CTA GCC	ATG ACC CTT CTG CCA AAC AC	3B	gwm285bp213
TCG CCA TCA CTC GTT CAA G	TAC TGG TTC ACA TTG GTG CG	5A	gwm293bp186
AAC ATG TGT TTT TAG CTA TC	AAT TTC AAA AAG GAG AGA GA	7B	gwm334bp110
CGG TCC AAG TGC TAC CTT TC	CGT ACT CCA CTC CAC ACG G	5B	gwm335bp185
ATT TGA GTC TGA AGT TTG CA	CAA GGA AAT AGG CGG TAA CT	7A	gwm344bp135
AAT AAA ACC ATG AGC TCA CTT GC	CCA TTT CAC CTA ATG CCT GC	4B	gwm368bp287
ACC GTG GGT GTT GTG AGC	CTG CAG GCC ATG ATG ATG	3A	gwm369bp260
ATA AAA CAG TGC GGT CCA GG	CGA CAT TGG CTT CGG TG	1B	gwm403bp135
ATA AAA CAG TGC GGT CCA GG	CGA CAT TGG CTT CGG TG	1B	gwm403bp125
ATA AAA CAG TGC GGT CCA GG	CGA CAT TGG CTT CGG TG	1B	gwm403bp113
TGC TTC TGG TGT TCC TTC G	GAG AGC CTC GCG AAA TAT AGG	4B	gwm495bp155
TTT TAC CGT TCC GGC CTT	GAT CAC ATG CAT GCG TCA TG	2A	gwm614bp173
CTC CGA TGG ATT ACT CGC AC	GAT CTT GGC GCT GAG AGA GA	6A	gwm617bp123

جدول رقم(7): يبين المؤشرات الجزيئية المستخدمة من نوع Wheat microsatellites consortium

المؤشر الجزيئي	التوافق على الكروموزوم	البادئة اليسارية	البادئة اليمينية
wmc024bp125	1A	GTGAGCAATTTTGATTATACTG	TACCCTGATGCTGTAATATGTG
wmc025bp220	3B	TCTGGCCAGGATCAATATTACT	TAAGATACATAGATCCAACACC
wmc035bp265	2A	GCAGAGAGGCACAACCTAGCGAG	AACCTTAAGGGTCTGCCGGAAC
wmc044bp260	1B	GGTCTTCTGGGCTTTGATCCTG	TGTTGCTAGGGACCCGTAGTGG
wmc047bp145	4B	GAAACAGGGTTAACCATGCCAA	ATGGTGCTGCCAACAACATACA
wmc048bp190	4B	GAGGGTTCTGAAATGTTTGCC	ACGTGCTAGGGAGGTATCTTGC
wmc050bp140	3A	CTGCCGTCAGGCCAGGCTCACA	CAACCAGCTAGCTGCCGCCGAA
wmc096bp280	5A	TAGCAGCCATGCTTAGCATCAA	GTTTCAGTCTTTACGAACACG
wmc099bp160	5B	ATTACAATTGCTTCAGTGAGTG	TCATGATCATTGTTATAACGGT
wmc105bp220	6B	AATGTCATGCGTGTAGTAGCCA	AAGCGCACTTAACAGAAGAGGG
wmc134bp170	1B	CCAAGCTGTCTGACTGCCATAG	AGTATAGACCTCTGGCTCACGG
wmc154bp150	2B	ATGCTCGTCAGTGTATGTTTG	AAACGGAACCTACCTCACTCTT
wmc161bp155	4A	ACCTTCTTTGGGATGGAAGTAA	GTAAGTGAACCACTTGTAACGCA
wmc170bp225	2A	ACATCCACGTTTATGTTGTTGC	TTGGTTGCTCAACGTTTACTTC
wmc175bp225	2B	GCTCAGTCAAACCGCTACTTCT	CACTACTCCAATCTATCGCCGT
wmc175bp260	2B	GCTCAGTCAAACCGCTACTTCT	CACTACTCCAATCTATCGCCGT
wmc232bp140	4A	GAGATTTGTTTCATTTTCATCTTCGCA	TATATTAAAGGTTAGAGGTAGTCAG
wmc243bp175	3A	CGTCATTTCTCTAAACACACCT	ACCGGCAGATGTTGACAATAGT

حيث تم مضاعفة DNA بواسطة التفاعل السلسلي للبوليميراز وباستخدام جهاز التدوير الحراري RCP شكل (13)، ولكل عينة من العينات العشرون، إذ تم تحضير مزيج مكون مما يلي:

ماء معقم ومقطر	Water d.H2O
محلول منظم	PCR buffer
مزيج من النوكليوتيدات الآزوتية الأربعة (dTTP ، dGTP ، dCTP ، dATP)	dNTPs
غليسرول	Glycerol
بادئة يمينية	Primer R
بادئة يسارية	Primer L
أنزيم التكثيف	Tag DNA polymerase

أضيفت المادة الوراثية الـ DNA بتركيز 20 نانوغرام/ميكروليتر للمزيج السابق، وباستخدام برنامج حراري من 64- 57 م° (انخفاض م° في كل دورة)، وبعض البادئات ذات الشروط الخاصة من درجات الحرارة.

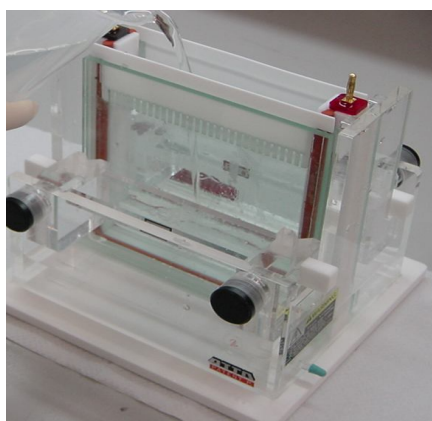


شكل (13) جهاز التدوير الحراري (PCR)

4. 6. 5. تحضير هلامة البولي أكريلاميد وجهاز الرحلان الكهربائي.
حضرت هلامة البولي أكريلاميد المكونة من المواد التالية:

Acrylamid/bis-acrylamide (39:1)
Ammonium persulfat (APS)
Temed
Urea
Trizma-base+ Boric acid+ Na-EDTA (TBE)

واستخدم جهاز الرحلان الكهربائي العمودي أو الشاقولي شكل (14)



شكل (14) جهاز الرحلان الكهربائي العمودي أو الشاقولي

حضرت الصفائح الزجاجية للجهاز وفق ما يلي:

1. تمسح الصفائح الزجاجية بمادة Sigma Coat أو Repel Silane ذات القوام الدهني المانعة للالتصاق ثم تمسح بالكحول تركيز 50% لتخفيف التوتر السطحي وتترك الصفائح قليلاً لتجف.

2. تركيب الصفائح الزجاجية التي يفصل فيما بينها فراغاً يصب في داخله هلامة أكريلاميد، وتستخدم أمشاط لإحداث فراغات تحمل عليها العينات المدروسة.

3. يوصل الجهاز بالكهرباء لرفع درجة حرارة الهلامية إلى 50م لإجراء عملية تحميل العينات (Loading).
4. تضاف مادة Step Sequencing إلى العينات وتوضع في جهاز PCR على درجة حرارة 94 م لمدة 5 دقائق والغاية من هذه الخطوة فصل سلاسل الـ DNA عن بعضها البعض.
5. يستخدم دليل (Marker) معلوم الأطوال الجزيئية يتم تحميله في بداية الهلامية مع الأبوين للاستدلال على حجم الحزم.
6. يعاد وصل الجهاز بالكهرباء لتتم عملية رحلان قطع DNA.

4. 6. 6. ثلويين الـ DNA على هلامية البولي أكريلاميد بواسطة نترات الفضة (Staining): تمت وفق الخطوات التالية:

1. بعد عملية الرحلان الكهربائي، تفك الصفائح الزجاجية عن بعضها، وتنزع الهلامية وتوضع في الماء المقطر ثم توضع في وعاء حاوي على المواد التالية:

ماء مقطر Water	450ml
كحول نقي Ethanol pure	50ml
حمض الخل بتركيز 10% Acetic acid pure	3ml

- ويوضع الوعاء على الهزاز لمدة 3 دقائق.
2. يضاف 1 غ من نترات الفضة إلى 500 مل ماء مقطر ويحرك جيداً، ثم ينقل الجل إلى هذا المحلول مع التحريك المستمر لمدة 5 دقائق.
3. تغسل الهلامية بالماء المقطر لبضع ثوان ولعدة مرات للتخلص من آثار Acetic acid .
4. تغمر الهلامية مع محلول التطهير (1.5 غ من هيدروكسيد الصوديوم إلى 100 مل ماء مقطر + 300 µl من الفورم الدهيد) لثبيت نترات الفضة على الهلامية ، ثم تجرى عملية الغسيل ولمدة 10 دقائق بالماء البارد لغسل نترات الفضة منعاً لتشكيل اللون الغامق، وبالتالي تظهر الحزم بشكل واضح، ثم يضاف المثبت Fixer بعدها تغسل بالماء من 2-5 دقائق، وأخيراً توضع على الهزاز حتى تظهر قطع الـ DNA بشكل شرائط على الهلامية.
5. يصور الجل Gel بجهاز Gel Documetation باستخدام برنامج Captures وتخزن الصور على الحاسوب ليتم قراءة الهلامية .

4. 7. التصميم و التحليل الإحصائي:

4. 7. 1. في الموسم الأول 2005/2004:

تم استخدام التصميم Augmented Design (Federer 1956; Peterson 1985) حيث زرعت 112 سلالة وزعت في 6 قطاعات، حيث احتوى كل قطاع على 19 سلالة مع خمس شواهد إحصائية (أم الربيع 5، حوراني، شام 3، شام 1، وجدارة 2) وبذلك تضمن كل قطاع 24 طرازاً وراثياً (19 سلالة + 5 شاهد إحصائي).

تم التحليل بتعديل النتائج وحساب الاختلافات وفق (ANOVA) والذي تم تعديله من قبل Nachit, (2008) في برنامج تربية القمح القاسي في ايكاردا.

تم استخدام البرنامج الإحصائي SYSTAT. 8.0 في التحاليل الإحصائية الرئيسية بين سلالات 112 المكونة لعشيرة لحن × شام 1، وتم استخدام برنامج GenStat10 في التحاليل الإحصائية للشواهد الإحصائية.

كما تم استخدام البرنامج الإحصائي SPSS. 15 في تحليل علاقات الارتباط.

تم حساب الانعزال الإنتهاكي متجاوز الحدود وفق ما يلي:

1. الانعزال الإنتهاكي متجاوز الحدود الموجب:

الأب المتفوق في الصفة المدروسة + التباين المعياري (SD: Standard Deviation) \geq أعلى قيمة للصفة في العشيرة \Rightarrow معنوي على مستوى 5%.

الأب المتفوق في الصفة المدروسة + 2 (التباين المعياري (SD: Standard Deviation) \geq أعلى قيمة للصفة في العشيرة \Rightarrow معنوي على مستوى 1%.

الأب المتفوق في الصفة المدروسة + 3 (التباين المعياري (SD: Standard Deviation) \geq أعلى قيمة للصفة في العشيرة \Rightarrow معنوي على مستوى 0.1%.

2. الانعزال الإنتهاكي متجاوز الحدود السالب:

الأب المتفوق في الصفة المدروسة - التباين المعياري (SD: Standard Deviation) \leq أقل قيمة للصفة في العشيرة \Rightarrow معنوي على مستوى 5%.

الأب المتفوق في الصفة المدروسة - 2 (التباين المعياري (SD: Standard Deviation) \leq أقل قيمة للصفة في العشيرة \Rightarrow معنوي على مستوى 1%.

الأب المتفوق في الصفة المدروسة - 3 (التباين المعياري (SD: Standard Deviation) \leq أقل قيمة للصفة في العشيرة \Rightarrow معنوي على مستوى 0.1%.

4. 7. 2. في الموسمين 2006/2005 و 2007/2006:

استخدم تصميم قطاعات كاملة العشوائية حيث زرع 28 طراز وراثي بثلاثة مكررات وكل مكرر يحتوي 18 سلالة مدروسة + 6 شواهد إحصائية (أم الربيع 5، حوراني، شام 3، شام 1، وجدارة 2، لحن).

استخدم البرنامج الإحصائي SYSTAT. 8 في التحليل العنقودي. واستخدام البرنامج الإحصائي GenStat. 10 في تحليل التباين، وإجراء اختبار T-Test، حيث تم تحليل التباين وفق (ANOVA)، وباستخدام اختبار Duncan. كما تم استخدام البرنامج الإحصائي SPSS. 15 في تحليل علاقات الارتباط. يجري تحليل الانحدار باستخدام برنامج Excel من أجل دراسة العلاقات الارتباطية بشكل كمي، وتم تعديل قيم كل من المقاومة والناقلية المسامية بتحويل القيم إلى log قبل التحليل، وتم مقارنة متوسط القيم لكل الصفات وفق قيمة Duncan.

4. 7. 3. التحليل الجزيئي:

تم تحليل التلازمية أو التوافقية بين المواقع الوراثية والصفات المورفوفيزيولوجية المدروسة باستخدام برنامج Exell في تحليل اختبار T-Test، بالإضافة إلى استخدام برنامج TASSEL (<http://www.maizegenetics.net>) باستخدام طريقة General Liner Model (GLM) لإجراء التحليل التوافقي المطورة من قبل (Bradbury et al., 2007).

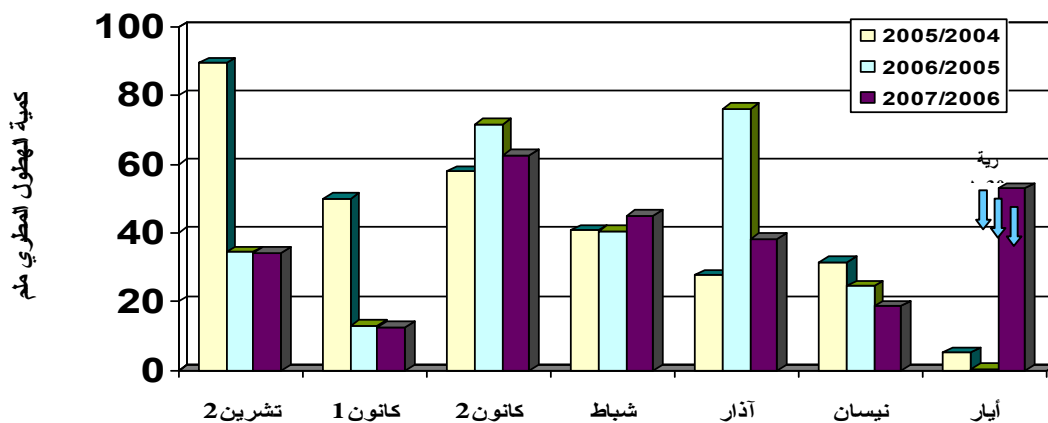
4. 8. الظروف المناخية:

يعد المناخ في سورية من المناخات المتوسطة، حيث تميز بكميات هطول مطري من 200-800 ملم سنوياً، تتركز في فصل الشتاء، وأحياناً تمر موجات حرارية عالية ونقص في الماء وهي موجات غير قابلة للتنبؤ بوقتها، مدتها، ترددها، وكثافتها مما يؤثر سلباً في النمو والغلة (Losss and Siddique, 1994)، كما يتميز بتغير في توزيع الهطولات خلال الموسم، وفي المجموع الكلي للهطولات، وإن الأشكال (15-16-17-18) تبين الهطولات المطرية ودرجات الحرارة الدنيا والعظمى للمواسم الأول والثاني والثالث لموقعي التجربة، ويتبين منها أن الهطول المطري في الموسم الزراعي الأول 2005/2004 كان أدنى من المعدل العام في تل حديا (304 ملم) ولكن أكثر في بريدا (268 ملم)، وقد تميز بارتفاع كميات الهطول في بداية الموسم وانخفاضه في آخر الموسم و يعد هذا الموسم أفضل من الموسمين الزراعيين 2006/2005 و 2007/2006 اللذين تميزا باختلاف في معدل وتوزيع الأمطار، وأهم ما

سجل في الموسم الزراعي 2006/2005 هطول مطري في شهر آذار، وانحباسها في شهر أيار الذي يوافق فترة امتلاء الحبوب، كما تميز بقلّة الإمطار عن المعدل العام (261 ملم في ثل حديا، و202 ملم في بريدا) مع انحباس أمطار متعدد خلال الموسم، تميز الموسم الزراعي 2007/2006 إضافة إلى قلة الأمطار عن المعدل العام 265 ملم في ثل حديا، و233.4 ملم في بريدا فقد تعرض للصقيع و انخفضت درجة الحرارة إلى ما دون الصفر، مما عرض النباتات لإجهاد الصقيع وتأخر في تطور النبات، بالإضافة إلى حدوث تباين حراري خلال شهري نيسان وأيار إذ انخفضت درجة الحرارة في نيسان لتحدث موجة حر شديدة في أيار حيث ارتفعت فوق 30 م°، كما وتميز هذا الموسم بهطل مطري في أيار، كما لوحظ أيضاً أن موقع بريدا سجل في الموسمين الزراعيين 2006/2005 و2007/2006 درجات حرارة أقل مما هي عليه في ثل حديا.

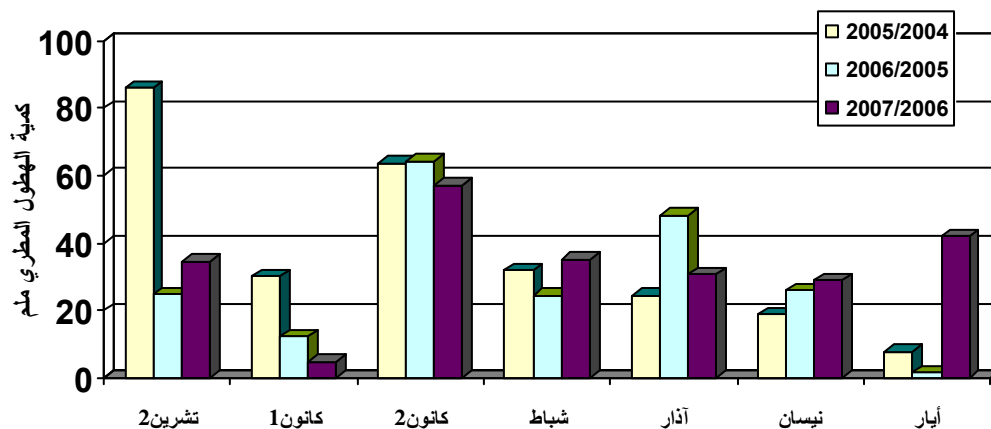
جدول (8) يبين كمية الهطول المطري في مواسم الزراعة 2004-2007 في موقعي الدراسة بريدا وثل حديا

الموسم	ثل حديا	بريدا
2005/2004	303.7	263.2
2006/2005	260.7	201.7
2007/2006	264.6	233.4
المعدل العام	335	260

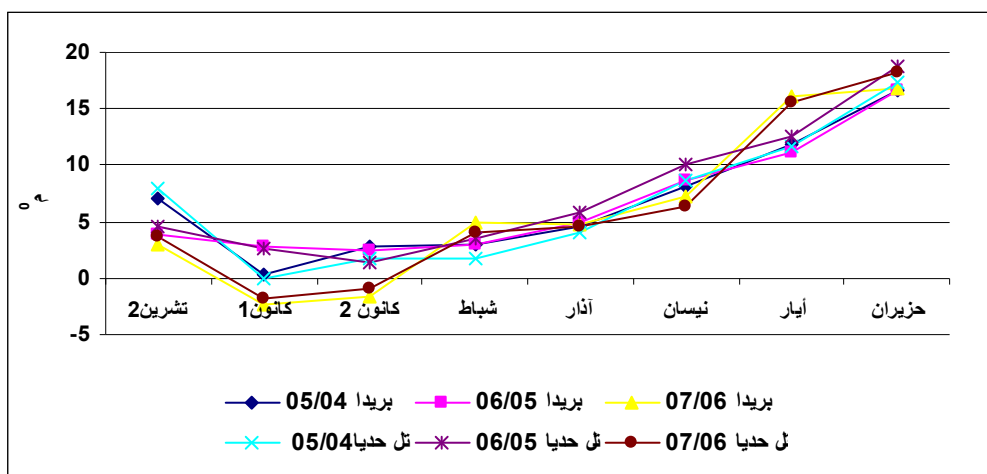


شكل (15) كمية الهطول المطري (ملم) في موقع ثل حديا خلال مواسم الزراعة

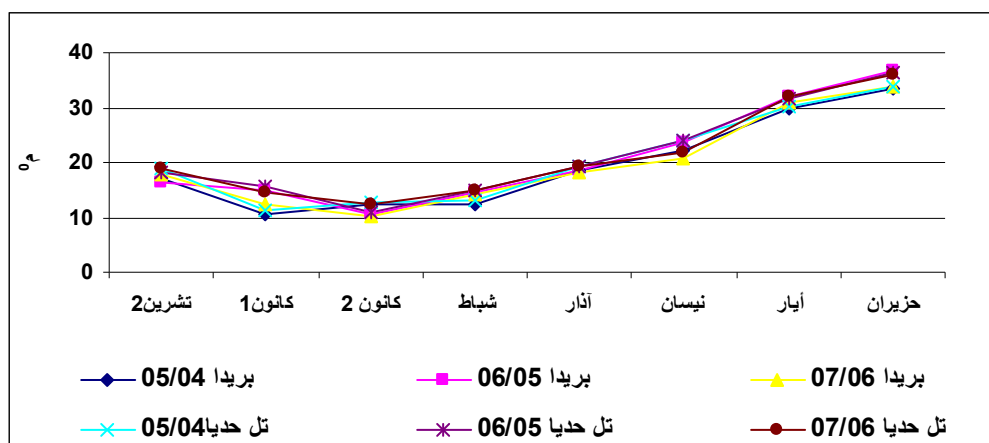
2007/2006 - 2006/2005 - 2005/2004



شكل (16) كمية الهطول المطري (مم) في موقع بريدا خلال مواسم الزراعة
2007/2006 - 2006/2005 - 2005/2004



شكل (17) متوسط درجات الحرارة الدنيا في موقعي (بريدا، تل حديا) خلال مواسم الزراعة
2007/2006 - 2006/2005 - 2005/2004



شكل (18) متوسط درجات الحرارة العظمى في موقعي (بريدا، تل حديا) خلال مواسم الزراعة
2007/2006 - 2006/2005 - 2005/2004

5. النتائج Results:

5. 1. الموسم الزراعي الأول 2005/2004:

5. 1. 1. التحاليل الإحصائية الأساسية:

يلخص الجداول (9) نتائج التحليل الإحصائي للموسم الزراعي 2005/2004 في موقعي بريدا وتل حديا. ويلاحظ من الجدول أنّ متوسط الغلة الحبية لمجموع السلالات المدروسة في بريدا بلغ 2013 كغ/هـ، كما بلغت أعلى غلة حبية 2952 كغ/هـ، في حين كانت أدنى غلة حبية قرابة 1116 كغ/هـ. وبلغ متوسط الغلة الحبية في تل حديا 5594 كغ/هـ، وتجاوزت أعلى غلة حبية 7700 كغ/هـ، أي كانت أخفض غلة حبية في موقع تل حديا أعلى من أعلى غلة حبية في بريدا إذ بلغت 3942 كغ/هـ. وتفوقت أعلى غلة حبية لأفضل سلالة بحدود 471 كغ/هـ على أفضل الأبوين (لحن) في بريدا، وبحدود 1903 كغ/هـ على الأب شام1 في تل حديا، وتبين أيضاً وجود سلالات تميزت بوزن ألف حبة كبير (54 غ) في تل حديا، بينما انخفضت بتأثير الجفاف في بريدا لتصبح تقريباً كبيرة حسب المواصفات العالمية (48 غ). ولوحظ وجود سلالات تمتلك عدد سنابل عالي (486، 408 سنبله/م² في تل حديا وبريدا على التوالي). وكان عدد الحبوب في السنبله أعلى من أفضل الأبوين (لحن)، وتراوح معامل الاختلاف البيئي (E.C.V.%) للغلة الحبية ومكوناتها بين 5-20 %، وتدل الدراسة الإحصائية للانعزال متجاوز الحدود وجود معنوية عند مستوى 5 % للغلة الحبية في بريدا، في حين أظهرت السلالات في تل حديا طاقتها الإنتاجية بتفوقها على الأب شام1 وبمستوى معنوية 1%، ما يدل على وجود سلالات تفوقت على أفضل الأبوين في الغلة الحبية. وبالنسبة لمكونات الغلة كانت المعنوية عالية لصفة عدد السنابل في وحدة المساحة عند مستوى 1% متفوقة على الأب شام1، أما بالنسبة لعدد الحبوب في السنبله، ووزن الـ 1000 حبة فقد تفوقت على الأب لحن في بريدا بمستوى 5%، في حين كانت معنوية الانعزال متجاوز الحدود في تل حديا عالية بمستوى 1% لمكون الغلة (عدد الحبوب في السنبله)، أما بالنسبة لوزن الألف حبة فقد وجدت سلالات عالية في وزن الألف حبة إلا أنها لم تتفوق على أفضل الأبوين (لحن) في موقع تل حديا فقط جدول رقم (9). كما دلت معنوية الانعزال متجاوز الحدود بالنسبة للصفات الشكلية على وجود سلالات تفوقت في صفتي طول النبات وطول حامل السنبله على الأبوين وبمعنوية عالية عند مستوى 1% في الموقعين معاً، وسلالات تفوقت على الأبوين في صفة طول السنبله في تل حديا بمعنوية 1%، في حين ظهرت في موقع بريدا سلالات متفوقة في صفة طول السفا، وتراوح معامل الاختلاف البيئي (E.C.V.%) بين 4-13 في بريدا، وبين 7-20 في تل حديا جدول رقم (10).

جدول رقم (9): الإحصائيات الأساسية للمتوسط والقيم العظمى والصغرى، ومعامل التباين البيئي للغة الحبة ومكوناتها لـ 112 سلالة، ناتجة عن تهجين لحن × شام 1، مقارنة مع الأبوين، بالإضافة لمعنوية الانعزال متجاوز الحدود في موقعي بريد، وتل حديا، خلال موسم 2004/2005

TKW	GRSP	SPM2	GY	
112	112	112	112	عدد السلالات
موقع بريد BR				
29	21	91	1116	القيم الصغرى Minimum RILs
48	49	408	2952	القيم العظمى Maximum RILs
37	35	229	2013	المتوسط Mean RILs
44	42	195	2481	لحن (P1)
32	36	235	2474	شام 1 (P2)
5	15	20	10	معامل التباين البيئي E.C.V%
*	*	**	*	معنوية الانعزال متجاوز الحدود
Transgressive Inheritance				
موقع تل حديا TH				
32	41	191	3942	القيم الصغرى Minimum RILs
54	84	486	7701	القيم العظمى Maximum RILs
42	59	344	5594	المتوسط Mean RILs
54	64	367	5558	لحن (P1)
44	62	371	5798	شام 1 (P2)
8	15	18	11	معامل التباين البيئي E.C.V%
NS	**	*	**	معنوية الانعزال متجاوز الحدود
Transgressive Inheritance				

GY: اللغة الحبة كغ/هـ، SPM2: عدد السنابل في المتر المربع، GRSP: عدد الحبوب في السنبل، TKW: وزن الألف حبة/غ، * معنوي على مستوى 0.05، ** معنوي على مستوى 0.01، NS: غير معنوي.

جدول رقم (10): الإحصائيات الأساسية للمتوسط والقيم العظمى والصغرى ومعامل التباين البيئي للصفات الشكلية لـ 112 سلالة، ناتجة عن تهجين لحن × شام 1، مقارنة مع الأبوين، بالإضافة لمعنوية الانعزال متجاوز الحدود في موقعي بريد وتل حديا، موسم 2004/2005

AWL	SL	PL	PH	
112	112	112	112	عدد السلالات
موقع بريد BR				
4	5	15	55	القيم الصغرى Minimum RILs
9	8	29	76	القيم العظمى Maximum RILs
7	7	21	65	المتوسط Mean RILs
7	8	21	66	لحن (P1)
6	7	22	66	شام 1 (P2)
11	6	13	4	معامل التباين البيئي E.C.V%
**	NS	**	**	معنوية الانعزال متجاوز الحدود
Transgressive Inheritance				
موقع تل حديا TH				
8	6	28	71	القيم الصغرى Minimum RILs
13	9	45	109	القيم العظمى Maximum RILs
10	7	37	91	المتوسط Mean RILs
10	7.3	36	87	لحن (P1)
12	7.5	18	94	شام 1 (P2)
20	7	20	14	معامل التباين البيئي E.C.V%
NS	**	**	**	معنوية الانعزال متجاوز الحدود
Transgressive Inheritance				

PH: طول النبات/سم، PL: طول حامل السنبل/سم، SL: طول السنبل/سم، AWL: طول الساق/سم، ** معنوي على مستوى 0.01، NS: غير معنوي.

دلت دراسة معنوية الانعزال متجاوز الحدود للصفات الفيزيولوجية على وجود سلالات متفوقة على الأبوين سواء متجاوز الحدود السالب أو الموجب، وعلى معنوية عالية جداً 0.1% بالنسبة لكل من صفتي درجة الحرارة الغطاء النباتي و الناقلية المسامية في مرحلة Z45 للموقعين معاً، ولون الورقة في المرحلة Z45 في بريدا، وفي المقاومة المسامية و محتوى الماء النسبي في تل حديا، بالإضافة إلى معنوية انعزال متجاوز الحدود لصفة درجة حرارة الورقة على مستوى 1% جدول رقم (11).

يشير الجدول رقم (12) إلى وجود سلالات في تل حديا تفوقت بمعنوية على الأبوين في الصفات الفيزيولوجية، وبمعنوية انعزال متجاوز الحدود عال 0.1% بالنسبة لكل من التفاف الورقة في وقت الصباح، ودرجة حرارة الورقة والغطاء النباتي في مرحلة Z75، والمقاومة المسامية، بالإضافة إلى صفة الناقلية المسامية في مرحلة Z75 وبمستوى معنوية 1%، كما وجدت سلالات تفوقت على الأبوين بصفة التغطية النباتية وقوة الإنبات بمستوى معنوية 5%.

أما بالنسبة للصفات الفينولوجية فقد بلغ معدل عدد الأيام حتى الإنبال 120 يوماً في بريدا، وبرزت سلالات مبكرة (115 يوماً)، وسلالات متأخرة (125 يوماً)، وبالنسبة لعدد الأيام حتى النضج فقد احتاجت السلالات المتأخرة إلى 146 يوماً، مقابل 27 يوماً لفترة امتلاء الحبوب لبعض السلالات الأخرى، وتراوح معامل الاختلاف بين 1- 8 %، لم تظهر أية سلالة متفوقة في الباكورية في الإنبال والنضج على الأب المتميز بالباكورية، ولكن يوجد سلالات تشابهه في هذه الصفة، إضافة إلى وجود سلالات تفوقت على الأب لحن عند مستوى معنوية 5% في كافة الصفات الفينولوجية. تشير نتائج موقع تل حديا عند دراسة معنوية الانعزال متجاوز الحدود السالب لصفتي الباكورية في النضج والإنبال، ومعنوية الانعزال متجاوز الحدود الموجب لطول فترة امتلاء الحبوب إلى وجود سلالات تفوقت على الأبوين في كافة الصفات الفينولوجية على مستوى معنوية 5% جدول رقم (13).

جدول (11): الإحصائيات الأساسية للمتوسط والقيم العظمى والصغرى ومعامل التباين البيئي للصفات الفيزيولوجية لـ 112 سلالة، ناتجة عن تهجين لحن × شام 1، مقارنة مع الأبوين بالإضافة لمعنوية الانعزال متجاوز الحدود في موقعي بريداء وتل حديا، موسم 2004/2005

LR pm	RWC 45 BR, 75 TH	SRMS 45	SCMS 45	CUPT 45	CUPL 45	CH 75	CH 45	
112	112	112	112	112	112	112	112	عدد السلالات
								موقع بريداء BR
5.3	67.51	0.46	0.88	17.83	17.24	42.52	41.84	القيم الصغرى Minimum RILs
9.5	95.27	1.04	2.77	27.06	26.87	60.68	59.64	القيم العظمى Maximum RILs
7.84	80.95	0.72	1.53	26.16	25.14	53.16	49.16	المتوسط Mean RILs
7.7	84.3	0.7	1.51	26.09	24.67	55.38	47.64	لحن (P1)
7.7	83.6	0.95	1.19	26.29	24.67	54.28	53.64	شام 1 (P2)
9	6	19	22	1	2	4	6	معامل التباين البيئي E.C.V%
								معنوية الانعزال متجاوز الحدود
*	**	_*	***	_*	**	*	***	Transgressive Inheritance
								موقع تل حديا TH
2.1	20.59	0.27	0	16.08	15.99	17.31	35.25	القيم الصغرى Minimum RILs
10.1	100	1.01	0.8	27.94	27.54	57.05	52.85	القيم العظمى Maximum RILs
6.18	83.21	0.73	0.17	24.67	24.36	50.2	46.4	المتوسط Mean RILs
6.7	86.09	0.9	0.04	24.15	23.7	47.79	44.35	لحن (P1)
3.7	86.68	0.95	0.15	24.05	23.96	52.39	49.15	شام 1 (P2)
36	8	27	40	8	8	7	7	معامل التباين البيئي E.C.V%
								معنوية الانعزال متجاوز الحدود
**	***	_*	***	_*	**	*	*	Transgressive Inheritance

CH45، CH75: لون الورق في المرحلة 45-75 Z، CUPL45: درجة حرارة الورقة في المرحلة 45 Z45، CUPT45: درجة حرارة الغطاء النباتي، LRpm: التفاف الورقة في فترة الظهيرة، RWC: كفاءة محتوى الماء النسبي، SC: الناقلية المسامية، SR: المقاومة المسامية. * معنوي على مستوى 0.05، ** معنوي على مستوى 0.01، *** معنوي على مستوى 0.001، NS: غير معنوي.

جدول رقم (12): الإحصائيات الأساسية للمتوسط والقيم العظمى والصغرى ومعامل التباين البيئي للصفات الفيزيولوجية لـ 112 سلالة، ناتجة عن تهجين لحن × شام 1، مقارنة مع الأبوين بالإضافة لمعنوية الانعزال متجاوز الحدود في موقع تل حديا، موسم 2004/2005

SRM 75	SCM 75	CUPT 75	CUPL 75	LR am	VG	
112	112	112	112	112	112	عدد السلالات
0.226	0.0003	24.44	23.67	2.4	4.07	القيم الصغرى Minimum RILs
1.152	0.0442	33.917	33.823	9.4	8.07	القيم العظمى Maximum RILs
0.634	0.0088	28.495	28.185	5.7	6.39	المتوسط Mean RILs
0.533	0.0025	27.98	27.527	0.27	6.87	لحن (P1)
0.478	0.0024	27.247	27.16	0.31	6.87	شام 1 (P2)
26	54	6	7	15	11	معامل التباين البيئي E.C.V%
						معنوية الانعزال متجاوز الحدود
***	**	***	***	***	*	Transgressive Inheritance

VG: التغطية النباتية وقوة الإنبات، LRam: التفاف الورقة في وقت الصباح، CUPL75: درجة حرارة الورقة في المرحلة 75 Z، CUPT75: درجة حرارة الغطاء النباتي، SC: الناقلية المسامية، SR: المقاومة المسامية. * معنوي على مستوى 0.05، ** معنوي على مستوى 0.01، *** معنوي على مستوى 0.001.

جدول رقم (13): الإحصائيات الأساسية للمتوسط، والقيم العظمى والصغرى، ومعامل التباين البيئي للصفات الفينولوجية لـ 112 سلالة، ناتجة عن تهجين لحن × شام 1، مقارنة مع الأبوين، بالإضافة لمعنوية الانعزال متجاوز الحدود في موقعي بريدا وتل حديا، موسم 2004/2005

GFD	DM	DH	
112	112	112	عدد السلالات
			موقع بريدا BR
17	140	115	القيم الصغرى Minimum RILs
27	146	125	القيم العظمى Maximum RILs
23	143	120	المتوسط Mean RILs
23	144	121	لحن (P1)
24	140	116	شام (P2)
8	1	1	معامل التباين البيئي E.C.V%
*	NS	NS	معنوية الانعزال متجاوز الحدود Transgressive Inheritance
			موقع تل حديا TH
27	145	106	القيم الصغرى Minimum RILs
42	150	118	القيم العظمى Maximum RILs
35	147	112	المتوسط Mean RILs
36	148	112	لحن (P1)
38	148	110	شام (P2)
6	1	2	معامل التباين البيئي E.C.V%
*	**	**	معنوية الانعزال متجاوز الحدود Transgressive Inheritance

DH: عدد الأيام حتى الإنبال، DM: عدد الأيام حتى النضج، GFD: فترة إمتلاء الحبوب
* معنوي على مستوى 0.05، ** معنوي على مستوى 0.01، NS: غير معنوي.

5.1.2. اختبار T-Test:

يبين الجدول رقم (14) نتائج اختبار T-Test للسلالات الـ 18 المنتقاة من 112 سلالة المكونة لعشيرة لحن × شام 1 على أساس الغلة الحبية العالية والثباتية في الإنتاجية، والتي أكدت أن السلالات المنتقاة العالية الإنتاج وذات الثباتية الإنتاجية العالية تفوقت معنوياً في الغلة الحبية على مستوى 1% في كلا الموقعين، كما تفوقت بمستوى معنوية 0.1% في متوسط الموقعين على السلالات منخفضة الإنتاج وذات الثباتية الإنتاجية المنخفضة.

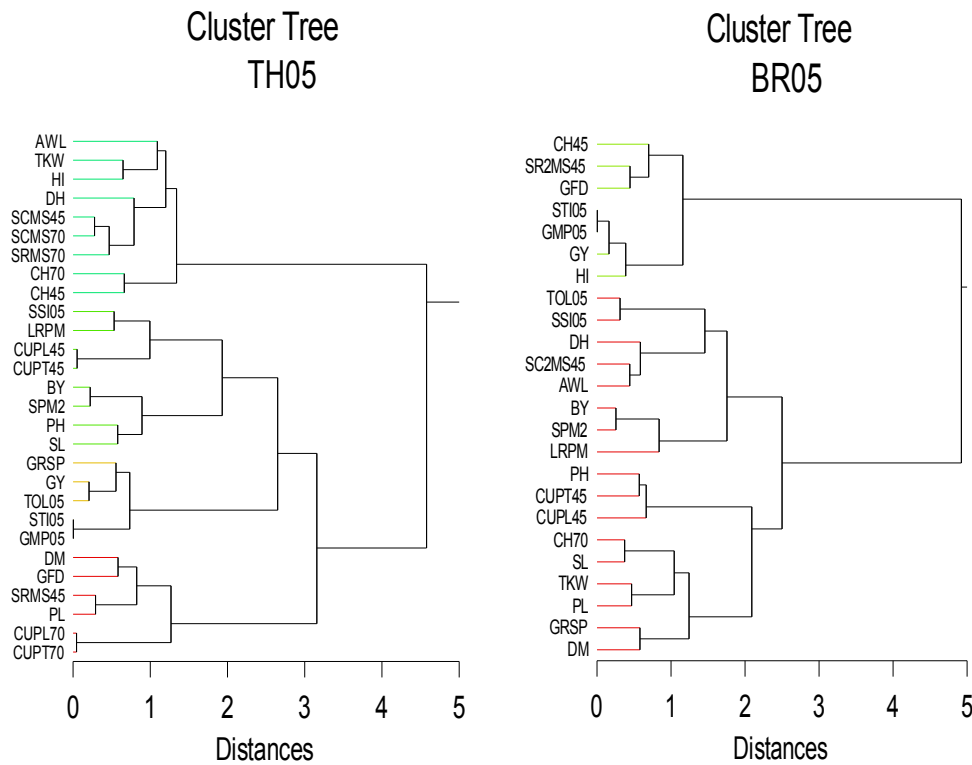
جدول رقم (14): متوسط الغلة الحبية كغ/هـ لمجموعتين من السلالات: عالية الإنتاج وذات ثباتية إنتاجية، ومنخفضة الإنتاجية وذات ثباتية إنتاجية منخفضة، ومعنوية الفرق في الغلة الحبية، موسم 2004/2005

GY	GY TH5	GY BR5	
متوسط الغلة الحبية في الموقعين	الغلة الحبية في تل حديا	الغلة الحبية في بريدا	
4233	6354	2113	متوسط الغلة الحبية للسلالات عالية الإنتاجية وذات ثباتية إنتاجية عالية Mean HY&HS
3363	5005	1722	متوسط الغلة الحبية للسلالات منخفضة الإنتاجية وذات ثباتية إنتاجية منخفضة Mean LY&LS
***	**	**	اختبار T-Test

** معنوي على مستوى 0.01، *** معنوي على مستوى 0.001.

5. 1. 3. التحليل العنقودي لعلاقات الارتباط بين الصفات الشكلية والفيزيولوجية والغلة الحبية:

يبين الشكل (19) التحليل العنقودي لعلاقة الارتباط بين الصفات الشكلية مع الغلة الحبية التي تمت على السلالات 18 المنتقاة من 112 سلالة المكونة لعشيرة لحن×شام1 على أساس الغلة الحبية العالية والثباتية في الإنتاجية، حيث يشير التحليل العنقودي في موقع بربدا إلى توزيع الصفات المدروسة في ثلاث مجموعات ارتباطيه، إذ يلاحظ شدة الاقتراب بين الغلة الحبية ومعامل الحصاد وكل من مؤشري الجفاف: معامل تحمل الجفاف (STI) ومتوسط قيم الإنتاج الهندسي (GMP)، بالإضافة إلى الصفتين الفيزيولوجيتين لون الورقة والمقاومة المسامية، كما لوحظ أن صفة طول فترة امتلاء الحبوب كانت ضمن المجموعة الإنتاجية، كما ضمت المجموعة الثانية مكون الغلة عدد السنابل في المتر المربع بالإضافة إلى الناقلية المسامية وعدد الأيام حتى الإسبال، أما المجموعة الثالثة فضمت معظم الصفات الشكلية بالإضافة إلى وزن الألف حبة، حيث ارتبط طول حامل السنبل بها بشكل مباشر، كما ارتبط عدد الحبوب في السنبل بعدد الأيام حتى النضج، بينما يشير التحليل العنقودي في موقع تل حديا للصفات إلى توزيع الصفات المدروسة ضمن خمس مجموعات ارتباطيه، اشتملت المجموعة الرابعة وهي المجموعة الإنتاجية على الغلة الحبية بالإضافة إلى مكون الغلة عدد الحبوب في السنبل، كما وجد ارتباطاً للمجموعة الثانية مع المجموعة الثالثة لترتبطا بدوريهما بالمجموعة الإنتاجية، وضمت المجموعة الثالثة القريبة من المجموعة الإنتاجية كل من الصفات عدد السنابل في المتر المربع وطولي النبات والسنبل، بينما ضمت المجموعة الخامسة صفة طول حامل السنبل المرتبط بالمقاومة المسامية ليرتبطا بمجموعة فرعية تشمل طول فترة امتلاء الحبوب وعدد الأيام حتى الإسبال.



الشكل (19): التحليل العنقودي لعلاقات الارتباط بين الغلة الحبية ومكوناتها مع الصفات المورفوفيزيولوجية، لـ 18 سلالة من عشيرة لحن × شام 1، في موقعي بريدا، تل حديا موسم 2005/2004

5.1.4. دراسة علاقة الارتباط بين الغلة الحبية ومكوناتها، والصفات المورفوفيزيولوجية، والفينولوجية:

يلخص الجدول (15) علاقات الارتباط بين الغلة الحبية وكل من مكونات الغلة الحبية، والصفات المورفوفيزيولوجية، والفينولوجية. يلاحظ وجود علاقة ارتباط معنوية وإيجابية بين الغلة الحبية في بريدا ومعامل الحصاد، وصفة المقاومة المسامية في مرحلة Z 45، وفترة امتلاء الحبوب، إضافة إلى معنوية وسلبية الارتباط مع المراحل الفينولوجية: عدد الأيام حتى الإسبال والنضج. بينما وجد أن الارتباط الموجب والمعنوي على مستوى 1% بالنسبة للغلة الحبية في تل حديا قد اقتصر على مكون الغلة عدد الحبوب في السنبل، بينما في التحليل التجميعي كان الارتباط المعنوي والموجب مع كل من مؤشرات الجفاف معامل تحمل الجفاف (STI)، و دليل تحمل الجفاف (TOL)، ومتوسط قيم الإنتاج الهندسي (GMP)، إضافة إلى مكون الغلة عدد الحبوب في السنبل.

جدول رقم (15): قيم معامل الارتباط بين الغلة الحبية والصفات المورفوفيزيولوجية في موقعي بريدا وتل حديا، ونتائج التحليل التجميعي للموقعين، موسم 2004/2005.

GY متوسط الغلة الحبية في الموقعين	GY TH5 الغلة الحبية في تل حديا	GY BR5 الغلة الحبية في بريدا	
.146	.211	.090	SPM2 عدد السنابل /م ²
.470*	.620**	-.387	GRSP عدد الحبوب في السنبل
-.316	-.459	-.293	TKW وزن الألف حبة/ غ
.331	.335	.071	BY الغلة البيولوجية/ كغ
-.029	-.281	.738**	HI معامل الحصاد
.283	.401	.265	PH طول النبات/سم
.107	.182	-.140	PL طول حامل السنبل/سم
-.296	.051	-.529*	SL طول السنبل/سم
-.041	.003	-.218	AWL طول السفا/سم
.144	.012	.337	CH45 لون الورقة في مرحلة Z45
-.023	-.013	-.083	CH75 لون الورقة في مرحلة Z75
.020	.093	.159	CUPL45 درجة حرارة الورقة في مرحلة Z45
-.062	-.005	-.039	CUPT45 درجة حرارة الغطاء النباتي في مرحلة Z45
.037	.163	.030	LRpm التفاف الورقة في وقت الظهيرة
-.028	-.022	-.157	SC2MS45 الناقلية المسامية في مرحلة Z45
.170	.007	.480*	SR2MS45 المقاومة المسامية في مرحلة Z45
-.449	-.169	-.770**	DH عدد الأيام حتى الإنبال
-.213	-.083	-.556**	DM عدد الأيام حتى النضج
.391	.112	.648**	GFD فترة إمتلاء الحبوب
.126	-	-	SSI05 دليل الحساسية للجفاف
.839**	-	-	STI05 معامل تحمل الجفاف
.701**	-	-	TOL05 دليل تحمل الجفاف
.829**	-	-	GMP05 متوسط قيم الإنتاج الهندسي

* معنوي على مستوى 0.05، ** معنوي على مستوى 0.01.

5. 2. التحليل المشترك:

5. 2. 1. الغلة الحبية ومكوناتها:

5. 2. 1. 1. تحليل التباين:

يلخص الجدول (16) نتائج التحليل الإحصائي المشترك للتباين (مواقع × موسمين) لكل من الغلة الحبية ومكوناتها. ويلاحظ وجود فروق معنوية في التفاعل المتبادل بين السلالات والسنوات والمواقع في الغلة الحبية ($P \leq 0.001$) وكل من مكوني الغلة، عدد السنابل/م²، وعدد الحبوب في السنبل ($P \leq 0.01$)، ولكن لم تكن الفروقات معنوية بالنسبة إلى صفة وزن الألف حبة، ووجد فروق معنوية في التفاعل بين السلالات والمواقع في الغلة الحبية وعدد السنابل على مستوى معنوية عالية جداً ($P \leq 0.001$)، بالإضافة إلى معنوية التفاعل المتبادل بين السلالات والمواقع في عدد الحبوب في السنبل ووزن الألف حبة ($P \leq 0.01$)، ووجدت فروقاً معنوية في التفاعل بين السلالات والسنوات في كل من الغلة الحبية ومكونات الغلة، باستثناء عدد الحبوب في السنبل. وتبين لنا من الجدولين (16، 17) ما يلي:

- التأثير القوي للموقع في الغلة الحبية وبمستوى معنوية عالية ($P \leq 0.001$) محدثاً تبايناً قدره 94% من التباين الكلي للغلة الحبية، حيث انخفض متوسط الغلة الحبية بنسبة 89% في موقع بريدا الممثل للموقع الجاف بالمقارنة مع موقع تل حديا (المروي ريا تكملياً)، وكان ذو تأثيراً أكبر من تأثير السنوات، وقد انخفضت الإنتاجية خلال موسم 2007/2006 في كلا الموقعين عما عليه في الموسم السابق لتعرض النبات للصقيع الذي أخر من تطور النبات، وبلغت نسبة الانخفاض في الغلة الحبية في موقع بريدا (المنطقة الأبرد) قرابة 66 %، إضافة للجفاف الذي حدث خلال شهر نيسان، حيث امتاز هذا الموسم بكمية من الهطل المطري كانت أعلى من الموسم السابق، إلا أن سوء التوزيع المطري عرّض النبات للجفاف خلال أطواره المختلفة، ما أدى إلى تكوين مجموع خضري قليل، وبالتالي كتلة حيوية (Biological yield) صغيرتين، لم تستطع الهطولات المطرية خلال شهر أيار أن تعوض هذه الخسارة، مؤكدة أن الغلة الحبية في محاصيل الحبوب بشكل عام، والقمح بشكل خاص تتحدد بالكتلة الحيوية (BY) عند النضج، حيث تعد زيادة الغلة الحيوية خلال المرحلة التي تسبق الإزهار بنحو 20-30 يوماً من العوامل المهمة المحددة لحجم المصدر، ومن ثم كفاءة النبات التمثيلية، وكمية المادة الجافة المتاحة خلال مرحلة تشكل السنابل وتطورها، ومرحلة امتلاء الحبوب، مما يؤدي إلى زيادة متوسط عدد الحبوب في وحدة المساحة، ومتوسط وزن الألف حبة، وبالتالي زيادة الغلة الحبية.

- أحدث الجفاف انخفاضاً في متوسط قيم جميع مكونات الغلة، حيث أثر الري التكميلي بشكل قوي في مكونات الغلة، وخاصة وزن الألف حبة وعدد الحبوب في السنبله وهذا عائد لترافق الجفاف مع ارتفاع درجة الحرارة أثناء فترة النضج.
- أثر الموقع معنوياً ($P \leq 0.001$) في عدد السنابل/م² محدثاً تبايناً قدره 20 % من التباين الكلي جدول (16)، وانخفض عددها بنسبة 24% جدول (17)، وكان تأثير الموقع معنوياً بينما كان غير معنوي في التباين بين السنوات، وكانت هذه الصفة أقل مكونات الغلة تبايناً في ظروف الجفاف.
- عدم وجود فرق معنوي في تفاعل الطرز الوراثية مع السنوات في عدد الحبوب في السنبله، ما يؤكد أن أداء السلالات كان متشابهاً في سنوات التجربة، وهذا يعني إمكانية مناقشة نتائج هذا المكون كمتوسط للسنتين في كل موقع. لوحظ انخفاضاً معنوياً لمتوسط عدد الحبوب في السنبله بنسبة 57 % في الموقع الجاف عن موقع تل حديا مؤكداً التأثير القوي للموقع الذي بدا أكثر وضوحاً من تأثير السنوات والسلالات والتفاعل بينهما.
- أحدث تأثير الموقع تبايناً أكبر في مكون الغلة وزن الألف حبة (72 % من التباين الكلي)، وانخفض متوسط وزن الألف حبة بنسبة 48 % في بريدا عن تل حديا.

جدول (16): يبين مجموع مربع الانحرافات من التحليل التباين المشترك (موقعين × موسمين) لكل من الغلة الحبية ومكوناتها لـ 18 سلالة الناتجة عن تهجين (لحن × شام1) و6 أصناف من القمح القاسي مزروعة في موقعين (بريدا، تل حديا) خلال موسمي الزراعة 2006/2005 - 2007/2006

TKW وزن الألف حبة (×10) حبة / غ	GRSP عدد الحبوب في السنبل (×10)	SPM2 عدد السنابل في المتر المربع (×103)	GY الغلة الحبية (×104) كغ / هـ	df درجة الحرية	مصدر التباين Source of variation
3	27	48	17	2	Rep
3075 ***	6579 ***	252 ***	78429 ***	1	Loc
228 ***	2526 ***	3 NS	336 ***	1	Year
333 ***	0.07 NS	152 ***	172 **	1	Loc × Year
15	21	30	56	6	Residual 1
209 ***	422 ***	135 ***	847 ***	23	G
72	157	102	573	46	G × Rep
64 **	140 **	101 ***	733 ***	23	G × Loc
46 *	96 NS	135 ***	690 ***	23	G × Year
36 NS	132 **	62 **	521 ***	23	G × Year × Loc
167	402	211	1170	138	Residual 2
4253	10507	1233	83544	287	Total
72	63	20	94		التباين للموقع
5	24	0.2	0.4		التباين للسنوات
5	4	11	1		التباين للسلالات

*معنوي على مستوى 0.05، ** معنوي على مستوى 0.01، *** معنوي على مستوى 0.001، NS: غير معنوي.

جدول (17): متوسط ونسبة انخفاض الغلة الحبية ومكوناتها لـ 18 سلالة الناتجة عن تهجين (لحن × شام1) و6 أصناف من القمح القاسي مزروعة في موقعين (بريدا، تل حديا) خلال موسمي الزراعة 2006/2005 - 2007/2006

De %	TH	BR	De %	TH7	BR7	De %	TH6	BR6	
89	3674	374	94	3644	189	84	3705	559	الغلة الحبية GY
24	250	190	6	224	210	38	276	171	عدد السنابل في المتر المربع SPM2
57	52	22	72	43	12	11	62	31	عدد الحبوب في السنبل GRSP
48	42	22	56	48	21	38	36	22	وزن الألف حبة TKW

ولدى دراسة تأثير السلالات في الغلة الحبية وجدت فروقات معنوية عالية ($P \leq 0.001$) في التحليل المشترك لكل من موقعي تل حديا وبريدا (جدول، 18)، إضافة لظهور هذه الفروق المعنوية العالية بين السلالات في الموسمين بالنسبة لموقع بريدا، في حين ظهرت الفروق

المعنوية في الغلة الحبية خلال موسم 2007/2006 فقط في موقع بريدا، دالاً على أهمية الهطول المطري في شهر أيار والري التكميلي في فترة امتلاء الحبوب في موقع تل حديا في إظهار السلالات لقدرتها الكامنة واستجابتها لوجود المياه بالكمية المناسبة اللازمة لتحسين غلتها الحبية (جدول 18). أعطت السلالة (LC2106) أعلى متوسط للغلة الحبية في الموسمين الزراعيين من موقع بريدا، وتفوقت معنوياً وعلى مستوى عالي جداً ($P \leq 0.001$) على كافة السلالات باستثناء السلالة (LC2221)، إضافة لتفوقها على الأب لحن، وتشابهها مع الأب شام 1، كما احتلت السلالة (LC2221) المرتبة الثانية وتفوقت بفروق معنوية عالية على الأب لحن، وبقية السلالات، بينما تفوقت السلالة (LC2301) معنوياً في متوسط الغلة الحبية للموسمين في موقع تل حديا عند مستوى ($P \leq 0.001$) على السلالات (LC2110, 2305) وهي السلالات ذات الإنتاجية والثباتية العالية، كما تفوقت على السلالات (2304, 2306, 2508, LC2006, 2012)، بالإضافة إلى تفوقها على الأب شام 1، بينما لم تسجل أية فروق معنوية مع الأب لحن. كما سجلت السلالة (LC2106) أقل نسبة انخفاض في الغلة الحبية في الموقع الجاف في الموسمين الزراعيين وفي متوسط الموسمين في بريدا مقارنة بالغلة الحبية في تل حديا (جدول 18)، وهذا ما لوحظ لدى الأب شام 1 المتميز بالثباتية الإنتاجية، بينما سجلت السلالة (LC2006) أعلى نسبة انخفاض في الغلة الحبية (91-94 %) في الموسمين ومتوسط الموسمين (جدول 18)، كما يتبين أن الغلة الحبية للأب شام 1 كانت الأعلى من الأب لحن في موقع بريدا، وقد تفوقت معنوياً في الموسم الزراعي 2007/2006 وبمتوسط الموسمين في بريدا، في حين تفوق الأب لحن معنوياً عليه في الموسم الزراعي 2006/2005، وفي متوسط الموسمين في موقع تل حديا.

بين الجدول (19) وجود فروق معنوية عالية ($P \leq 0.001$) في عدد السنابل/م² في الموسم الزراعي 2006/2005 في كلا الموقعين، في حين لم تلاحظ فروق معنوية بين السلالات في الموسم 2007/2006 في كلا الموقعين وهذا يمكن تفسيره نتيجة للهطول المطري الذي حدث في شهر أيار الذي جعل من الاضطرابات المتكونة اضطرابات مثمرة تم عدها كسنابل/م². أظهرت السلالة (LC2106) تفوقها المعنوي العالي ($P \leq 0.001$) على بقية السلالات لدى توفر الماء في فترة امتلاء الحبوب، كما تميز الأب شام 1 في هذه الصفة في الموقع الجاف (بريدا) وفي الموسم الأكثر جفافاً 2006/2005 حيث تفوق معنوياً على كافة السلالات، مقابل تفوقه فقط على السلالة (LC 2306) في الموسم الزراعي 2007/2006.

أشار جدول (16) بعدم وجود فروق معنوية في التفاعل بين السلالات والسنوات في صفة عدد الحبوب في السنبل، وبوجود فروق معنوية في التفاعل بين السلالات والموقع مما يعطينا إشارة بأن أداء السلالات كان واحداً في السنوات، ومختلف في المواقع، لذلك يمكن أن نعزض

نتائج متوسط السنوات كما في الجدول (20) الذي يبين وجود فروقاً معنوية في متوسط عدد الحبوب في السنبلة عند مستوى معنوية ($P \leq 0.001$) بين السلالات في كلا الموقعين كمتوسط الموسمين، امتلكت السلالة (LC2110) أعلى متوسط عدد حبوب في موقع بريدا، متفوقة معنوياً على جميع السلالات منخفضة الإنتاجية، إضافة إلى تفوقها على السلالتين LC2103, LC2215)، بينما تفوقت مع السلالة (LC2504) على السلالات (C2103, LC2221, LC2204, LC2006) في تل حديا، وسجلت أقل انخفاض في عدد الحبوب في الموقعين، بالإضافة لتفوقها على الأب لحن في موقع بريدا، بينما سجلت السلالة (LC2006) أعلى نسبة انخفاض 74%، وهي السلالة الأقل غلة حبية بين جميع السلالات 267 و 74 كغ/هـ في الموقع الجاف وللموسمين الزراعيين 2006 و 2007 على التوالي مقابل 2920 و 3312 كغ/هـ في الموقع المروي رياً تكملياً دالاً على أهمية مكون الغلة عدد الحبوب في السنبلة في تحديد الغلة الحبية النهائية.

أما بالنسبة لصفة وزن الألف حبة فقد سجلت فروقاً معنوية بين السلالات في كلا الموقعين والموسمين الزراعيين، وفي متوسط الموقعين والموسمين جدول (21)، وكانت الفروق معنوية عالية في موقع بريدا ($P \leq 0.001$) في الموسمين، وفي متوسط الموسمين، كما كانت أعلى معنوية عند المستوى ($P \leq 0.001$) في موقع تل حديا في الموسم الزراعي 2006/2007 وفي متوسط الموقعين، وقد احتلت السلالة (LC2221) من السلالات عالية الإنتاجية المراتب الأولى في وزن الألف حبة في الموقعين المدروسين وفي الموسمين الزراعيين، وفي متوسط الموقعين والموسمين، متفوقة معنوياً على الأب شام1، ومتشابهة مع الأب لحن المتميز بصفة وزن الألف حبة العالي (جدول، 21). احتلت السلالة (LC2006) وهي من السلالات ذات الإنتاجية المنخفضة المرتبة الأولى في وزن الألف حبة خلال موسم 2006/2005 متفوقة معنوياً على السلالات ذات الإنتاجية العالية باستثناء السلالة (LC2221)، ومسجلة قيماً عالية في الانخفاض في وزن الألف حبة في الموقع الجاف عما هو عليه في موقع الري التكميلي دالاً على أن متوسط وزن الألف حبة من أكثر الصفات تأثراً بظروف الجفاف، إذ انخفضت بنسبة 48 % في بريدا (الموقع الممثل للجفاف) مقارنة مع تل حديا جدول (17)، وكانت أعلى نسبة انخفاض في الموسم الزراعي 2006/2007 المترافق بزيادة عدد السنابل دالاً على زيادة في عدد الحبوب، مما نجم عنه إختلال التوازن بين كل من حجم المصدر وحجم المصب (Sink)، ما سبب في زيادة عدد الحبوب الضامرة وغير الممتلئة وبالتالي انخفاض وزن الألف حبة.

جدول (18): يبين متوسط ونسبة انخفاض الغلة الحبية كغ/هـ لـ 18 سلالة قمح قاسي الناتجة عن تهجين (لحن × شام 1) بالمقارنة مع الأبوين في موقعي التجربة بريدا (زراعة بعلية) وتل حديا (زراعة مروية) وخلال موسمي الزراعة 2006/2005 - 2007/2006

De %	TH GY	BR GY	De %	TH7 GY	BR7 GY	De %	TH6 GY	BR6 GY	السلالات
89	bcde 3695	cdef 397	93	ab 3579	abcd 237	86	bcdef 3810	defgk 547	LC2014
90	bcde 3767	defgk 371	96	ab 3659	cdef 132	85	bcde 3876	cdef 594	LC2103
84	bcde 3669	a 586	91	a 3906	a 336	76	def 3431	a 822	LC2106
87	def 3448	bcd 458	93	a 3955	abc 274	79	f 2941	bcde 624	LC2110
90	bcde 3619	defgkl 366	95	a 3878	abcde 176	84	def 3359	defgk 549	LC2215
86	bcde 3804	ab 548	94	ab 3605	abcd 231	79	bcde 4003	a 853	LC2221
89	ab 4123	bcd 458	94	ab 3697	abcd 237	85	ab 4549	bcd 665	LC2301
88	cdef 3509	cde 410	94	a 3789	abcd 230	82	def 3230	cdefg 580	LC2305
91	ab 4042	defgkl 360	94	a 4042	abcd 230	88	bcde 4042	efgkl 473	LC2504
94	f 3116	m 172	98	ab 3312	f 74	91	f 2920	m 267	LC2006
90	ef 3370	efgkl 325	96	ab 3487	def 125	84	def 3254	defgkl 510	LC2012
93	bcd 3902	l 265	98	a 3995	ef 93	89	bcdef 3810	gkl 431	LC2204
90	bcde 3757	defgkl 360	96	ab 3391	cdef 141	86	bcd 4123	cdefgk 569	LC2222
91	def 3467	fgkl 307	96	ab 3413	cdef 134	87	cdef 3522	efgkl 470	LC2304
90	def 3446	efgkl 347	95	ab 3398	bcde 162	85	def 3494	defgk 525	LC2306
93	bcde 3759	kl 273	96	a 3938	abcde 176	90	cdef 3580	lm 357	LC2322
93	bcde 3658	gkl 274	97	a 4011	def 123	87	def 3305	kl 416	LC2417
91	ef 3331	fgkl 299	95	ab 3439	bcde 160	87	def 3222	fgkl 432	LC2508
91	abc 4012	cdefg 376	97	ab 3607	def 124	86	abc 4418	bcde 604	لحن (P1)
84	def 3433	ab 539	91	ab 3382	ab 307	78	def 3484	ab 752	شام 1 (P2)
	149	30		222	1		271	48	S.E.
	10	20		11	7		13	15	C.V.%
	***	***		NS	***		***	***	S.g. المعنوية

GYBR6: الغلة الحبية في بريدا خلال موسم 2005/2006، GYBR7: الغلة الحبية في بريدا خلال موسم 2006/2007، GYBR: متوسط الغلة الحبية في بريدا، GYTH6: الغلة الحبية في تل حديا خلال موسم 2005/2006، 7 GYTH: الغلة الحبية في تل حديا خلال موسم 2006/2007، GYTH: متوسط الغلة الحبية في تل حديا، De: نسبة الانخفاض، S.E.: الخطأ القياسي، C.V.: معامل الاختلاف، *** معنوي على مستوى 0.001، NS: غير معنوي.

جدول (19): يبين متوسط ونسبة انخفاض عدد السنابل/م² لـ 18 سلالة قمح قاسي الناتجة عن تهجين (لحن × شام 1) بالمقارنة مع الأبوين في موقعي التجربة بريدا (زراعة بعلية) وتل حديا (زراعة مروية) وخلال موسمي الزراعة 2006/2005 - 2007/2006

السلالات	BR6 SPM2	TH6 SPM2	De %	BR7 SPM2	TH7 SPM2	De %	BR SPM2	TH SPM2	De %
LC2014	cd 155	efg 253	39	abc 157	b 187	16	bcd 154	fg 220	30
LC2103	bc 173	efg 230	25	abc 206	ab 233	12	abcd 185	efg 232	20
LC2106	bcd 165	a 410	60	a 249	a 275	10	abc 198	a 343	42
LC2110	bc 176	ab 373	53	abc 215	ab 225	5	abcd 191	abc 299	36
LC2215	bc 181	ef 255	29	ab 225	ab 228	1	abc 198	defg 242	18
LC2221	bcd 163	e 258	37	abc 177	ab 213	17	abcd 166	efg 236	29
LC2301	bc 181	efg 253	29	abc 165	ab 252	34	abcd 169	cdefg 253	33
LC2305	cd 153	cde 275	44	abc 213	ab 212	-1	abcd 178	defg 243	27
LC2504	bcd 170	bcd 333	49	abc 204	ab 232	12	abcd 183	bcde 283	35
LC2006	cd 155	g 178	13	ab 230	ab 230	0	abcd 185	g 204	9
LC2012	cd 152	fg 180	16	abc 209	ab 232	10	abcd 175	g 206	15
LC2204	bc 185	bc 338	45	abc 173	ab 242	28	abcd 175	bcd 290	40
LC2222	bc 182	de 262	31	a 267	a 275	3	a 216	bcdef 268	20
LC2304	cd 153	efg 227	32	abc 200	ab 203	2	abcd 172	fg 215	20
LC2306	bc 173	efg 248	30	c 129	b 188	32	cd 147	fg 218	33
LC2322	bc 182	efg 252	28	abc 208	ab 237	12	abcd 191	defg 244	22
LC2417	d 132	efg 235	44	abc 193	ab 212	9	bcd 157	fg 223	30
LC2508	cd 149	cde 275	46	abc 205	ab 197	-4	abcd 172	efg 236	27
لحن (P1)	bc 173	efg 218	20	abc 217	ab 213	-2	abcd 190	fg 216	12
شام 1 (P2)	a 242	cde 285	15	abc 176	ab 208	15	ab 202	defg 247	18
S.E.	11	23		1	23		1	16	
C.V.%	12	14		5	18		4	16	
S.g. المعنوية	***	***		NS	NS		NS	***	

SPM2BR6: عدد السنابل/م² في بريدا خلال موسم 2005/2006، SPM2BR7: عدد السنابل/م² في بريدا خلال موسم 2006/2007، SPM2BR: متوسط عدد السنابل/م² في بريدا، SPM2TH6: عدد السنابل/م² في تل حديا خلال موسم 2005/2006، 7 SPM2TH: عدد السنابل/م² في تل حديا خلال موسم 2006/2007، SPM2TH: متوسط عدد السنابل/م² في تل حديا، De: نسبة الإنخفاض، S.E.: الخطأ القياسي، C.V.: معامل الاختلاف، *** معنوي على مستوى 0.001، NS: غير معنوي.

جدول (20): يبين متوسط ونسبة انخفاض عدد الحبوب في السنبل في 18 سلالة قمح قاسي الناتجة عن تهجين (لحن × شام1) بالمقارنة مع الأبوين في موقعي التجربة بريدا (زراعة بعلية) وتل حديا (زراعة مروية) كمتوسط موسمي الزراعة 2006/2005 - 2007/2006

De %	TH GRSP	BR GRSP	السلالات
52	ab 56	ab 27	LC2014
56	d-g 47	b-e 21	LC2103
44	a-d 53	a 30	LC2106
37	a 58	a 36	LC2110
62	abc 56	b-e 21	LC2215
51	d-g 46	a-e 23	LC2221
56	abc 55	a-e 24	LC2301
51	-d 53	abc 26	LC2305
58	a 59	a-e 24	LC2504
74	fg 45	f 12	LC2006
62	c-g 49	c-f 19	LC2012
58	efg 46	b-e 19	LC2204
66	abc 54	def 18	LC2222
63	a-d 54	b-e 20	LC2304
63	abc 56	b-e 21	LC2306
61	a-g 52	b-e 20	LC2322
64	a-e 53	c-f 19	LC2417
61	a-e 53	b-e 21	LC2508
66	a-d 53	ef 18	لحن (P1)
49	a-g 51	a-d 26	شام1 (P2)
	2	9	S.E.
	10	25	C.V.%
	***	***	المعنوية S.g.

GRSPBR: متوسط عدد الحبوب في السنبل في بريدا، THGRSP: متوسط عدد الحبوب في السنبل في تل حديا، De: نسبة الإنخفاض، S.E: الخطأ القياسي، C.V: معامل الاختلاف، *** معنوي على مستوى 0.001.

جدول (21): يبين متوسط و نسبة انخفاض وزن الألف حبة/ غ لـ 18 سلالة قمح قاسي الناتجة عن تهجين (لحن × شام1) بالمقارنة مع الأبوين في موقعي التجربة بريدا (زراعة بعلية) وتل حديا (زراعة مروية) وخلال موسمي الزراعة 2006/2005 - 2007/2006

De	TH	BR	De	TH7	BR7	De	TH6	BR6	السلالات
%	TKW	TKW	%	TKW	TKW	%	TKW	TKW	
53	b-f 43	f-l 20	58	c-m 46	c-l 19	47	abc 41	b-g 22	LC2014
47	d-g 39	d-k 21	54	d-m 45	b-k 21	38	b-e 33	c-g 21	LC2103
44	f 35	gkl 20	53	f-m 43	b-k 20	30	e 27	efg 19	LC2106
52	efg 38	l 18	60	e-m 44	e-l 18	42	cde 32	fg 18	LC2110
54	c-g 41	kl 19	63	b-l 50	d-l 18	41	cde 32	efg 19	LC2215
53	a 51	ab 24	61	a 58	ab 23	44	a 45	a-d 25	LC2221
52	b-e 44	d-k 21	58	b-l 50	b-g 21	45	a-d 39	b-g 21	LC2301
51	c-g 41	f-l 20	59	b-m 49	b-k 20	39	b-e 33	efg 20	LC2305
45	f-g 37	e-k 21	46	g-m 43	ab 23	43	cde 32	g 18	LC2504
42	bcd 45	a 26	56	a-e 52	ab 23	24	a-d 38	a 29	LC2006
51	b-f 44	c-g 21	54	c-m 46	b-k 21	47	abc 41	b-g 22	LC2012
57	b-f 43	kl 19	66	a-g 51	f-l 17	44	a-e 36	efg 20	LC2204
50	abc 47	b-e 23	61	a-d 53	b-k 20	36	abc 40	abc 26	LC2222
50	b-f 43	b-g 22	56	b-m 48	a-e 21	42	a-d 38	b-g 22	LC2304
47	bcd 45	abc 24	52	a-f 51	a 25	39	a-d 38	b-g 23	LC2306
52	abc 46	b-g 22	61	ab 56	a-d 22	37	a-e 36	b-g 23	LC2322
47	b-f 43	b-f 23	56	b-l 50	abc 22	36	a-e 36	b-f 23	LC2417
50	b-g 42	d-k 21	57	a-k 50	a-e 21	37	b-e 33	d-g 21	LC2508
51	ab 48	bcd 23	61	abc 54	b-f 21	39	ab 42	ab 26	لحن (P1)
43	f 35	gkl 20	49	m 41	b-k 21	35	de 29	efg 19	شام1 (P2)
	2	1		2	1		3	1.4	S.E.
	11	9		9	9		14	11	C.V.%
	***	***		***	***		*	***	S.g. المعنوية

TKWBR6: وزن الألف حبة/غ في بريدا خلال موسم 2005/2006، TKWBR7: وزن الألف حبة/غ في بريدا خلال موسم 2006/2007،
TKWBR: متوسط وزن الألف حبة/غ في بريدا، TKWTH6: وزن الألف حبة/غ في تل حديا خلال موسم 2005/2006، TKWTH7: وزن
الألف حبة/غ في تل حديا خلال موسم 2006/2007، TKWTH: متوسط وزن الألف حبة/غ في تل حديا، De: نسبة الانخفاض، S.E. الخطأ
القياسي، C.V.: معامل الاختلاف، ** معنوي على مستوى 0.01، *** معنوي على مستوى 0.001، NS: غير معنوي.

5. 2. 1. 2. دراسة علاقة الارتباط بين الغلة الحبية ومكوناتها:

تعتبر دراسة علاقات الارتباط الظاهري **Phenotypic correlation**، عاملاً مهماً لتحديد أفضل الارتباطات الإيجابية بين الصفات كخطوة لتحسين إحداها عن طريق الانتخاب للصفة الأخرى.

أشار الجدول (22) الممثل لقيم معامل الارتباط (يقيس قوة العلاقة) بين الغلة الحبية ومكوناتها لـ 18 سلالة من عشيرة لحن × شام 1، و 6 أصناف من القمح القاسي في الموسم 2005/2006 إلى وجود علاقة موجبة ومعنوية ($P \leq 0.01$) بين عدد الحبوب في السنبل والغلة الحبية في بريدا دون موقع تل حديا، دالاً بذلك على أهمية هذا المكون للغلة في الموقع الجاف وأنه يعد من أهم المعايير في الانتخاب لتحسين الغلة الحبية في القمح القاسي في ظروف الجفاف، وخاصة خلال فترة امتلاء الحبوب، بينما ارتبطت الغلة الحبية في موقع تل حديا الممثل لموقع الري التكميلي خلال فترة امتلاء الحبوب بوزن الألف حبة، كما وجدت علاقة ارتباط سالبة ومعنوية بين عدد الحبوب في السنبل ووزن الألف حبة في الموقع الجاف دون الموقع المروي تكميلياً (تل حديا)، بينما وجدت علاقة سالبة ومعنوية بين عدد السنابل ووزن الألف حبة في موقع تل حديا، ويمكن تفسير العلاقة السلبية بين عدد السنابل في المتر المربع ووزن الألف حبة في الموقع المروي لزيادة عدد السنابل في المتر المربع إذ لا يوجد أية منافسة بين النباتات على الماء، ما أدى لتكون اشطاءات مثمرة خصبة، وبالتالي زيادة عدد الحبوب في وحدة المساحة، مما نجم عنه إختلال التوازن بين كل من حجم المصدر وحجم المصب (Sink)، دون أن تترافق في زيادة الإمداد بنواتج البناء الضوئي، مما سبب زيادة عدد الحبوب الضامرة وغير الممتلئة وبالتالي انخفاض وزن الألف حبة وهذا ما فسره القذافي (1993)، وأيضاً وجدت علاقة ارتباط للغلة الحبية مع عدد السنابل/م² على مستوى معنوي ($P \leq 0.05$) في موقع بريدا.

وفي الموسم 2006/2007 يشير الجدول (23) المبين لقيم معامل الارتباط بين الغلة الحبية ومكوناتها لـ 18 سلالة من عشيرة لحن × شام 1، و 6 أصناف من القمح القاسي إلى اقتصار علاقة الارتباط في هذا الموسم بين الغلة الحبية ومكوناتها مع عدد الحبوب في السنبل في كلا الموقعين، وبعلاقة موجبة ومعنوية ($P \leq 0.01$)، ولكن ذات قيمة أكبر في موقع بريدا عن موقع تل حديا ($r = 0.64, 0.39$)، مما يؤكد على أهمية عدد الحبوب في السنبل أيضاً عند حدوث الجفاف قبل الإزهار أي فترة تكوين الحبوب في السنبل، وهذا ما حدث في تل حديا حيث كانت الهطولات المطرية خلال هذه الفترة أقل مما هي عليه في الموسم السابق وترافق ذلك بارتفاع درجة الحرارة المطلقة وخاصة درجة الحرارة المطلقة الدنيا.

وعند دراسة علاقة الارتباط للموسمين جدول (24) وجدت علاقة موجبة ومعنوية بين الغلة الحبية وعدد الحبوب في السنبل في موقعي بريدا وتل حديا، وعلى مستوى معنوية ($P \leq 0.01$)

في بريدا، و ($P \leq 0.05$) في تل حديا. إضافة لظهور تأثير سلبي لعدد السنابل/م² في الغلة الحبية في موقع بريدا. لم تسجل أية علاقة ارتباط بين وزن الألف حبة والغلة الحبية في موقع بريدا في الموسمين ومتوسط الموسمين دالاً لتعرض السلالات للجفاف في فترة إمتلاء الحبوب.

جدول (22): يبين علاقات الارتباط بين الغلة الحبية ومكوناتها لـ 18 سلالة قمح قاسي الناتجة عن تهجين (لحن × شام1) و 6 أصناف من القمح القاسي في موقعي التجربة بريدا (زراعة بعلية) وتل حديا (زراعة مروية) خلال موسم الزراعة 2006/2005

GYTH6	TKW	GRSP	SPM2	
.096	-.378**	.293*		SPM2
.217	.103		.092	GRSP
.382**		-.395**	-.199	TKW
	-.104	.329**	.232*	GYBR6

القيم العلوية : علاقة الارتباط في موقع تل حديا، القيم السفلية: علاقة الارتباط في موقع بريدا، SPM2: عدد السنابل/م²، GRSP: عدد الحبوب في السنبل، TKW: وزن الألف حبة، GYTH: الغلة الحبية في تل حديا، GYBR: الغلة الحبية في بريدا، *معنوي على مستوى 0.05، ** معنوي على مستوى 0.01.

جدول (23): يبين علاقات الارتباط بين الصفات الفيزيولوجية والغلة الحبية ومكوناتها لـ 18 سلالة قمح قاسي الناتجة عن تهجين (لحن × شام1) و 6 أصناف من القمح القاسي في موقعي التجربة بريدا (زراعة بعلية) وتل حديا (زراعة مروية) خلال موسم الزراعة 2007/2006

GYTH7	TKW	GRSP	SPM2	
.196	.066	.243*		SPM2
.388**	.007		-.016	GRSP
.109		.144	-.190	TKW
	.124	.643**	-.055	GYBR7

القيم العلوية : علاقة الارتباط في موقع تل حديا، القيم السفلية: علاقة الارتباط في موقع بريدا، SPM2: عدد السنابل/م²، GRSP: عدد الحبوب في السنبل، TKW: وزن الألف حبة، GYTH: الغلة الحبية في تل حديا، GYBR: الغلة الحبية في بريدا، *معنوي على مستوى 0.05، ** معنوي على مستوى 0.01.

جدول (24): يبين علاقات الارتباط بين الغلة الحبية ومكوناتها لـ 18 سلالة قمح قاسي الناتجة عن تهجين (لحن × شام1) و 6 أصناف من القمح القاسي في موقعي التجربة بريدا (زراعة بعلية) وتل حديا (زراعة مروية) ومتوسط موسمي الزراعة 2006/2005 - 2007/2006

GYTH	TKW	GRSP	SPM2	
.137	-.418**	.475**		SPM2
.202*	-.573**		-.295**	GRSP
.143		.038	-.227**	TKW
	.137	.799**	-.292**	GYBR

القيم العلوية : علاقة الارتباط في موقع تل حديا، القيم السفلية: علاقة الارتباط في موقع بريدا، SPM2: عدد السنابل/م²، GRSP: عدد الحبوب في السنبل، TKW: وزن الألف حبة، GYTH: الغلة الحبية في تل حديا، GYBR: الغلة الحبية في بريدا، *معنوي على مستوى 0.05، ** معنوي على مستوى 0.01.

ولمعرفة طبيعة علاقة الارتباط أي معرفة مقدار التغير في التابع Y (الغلة الحبية) المرتبط بتغير المتحولات المستقلة الأخرى بمقدار وحدة واحدة، وبمعنى آخر دراسة علاقات الارتباط بشكل كمي تم دراسة معامل الانحدار المتعدد بين مكونات الغلة والغلة الحبية، وهو مؤشر إحصائي هام

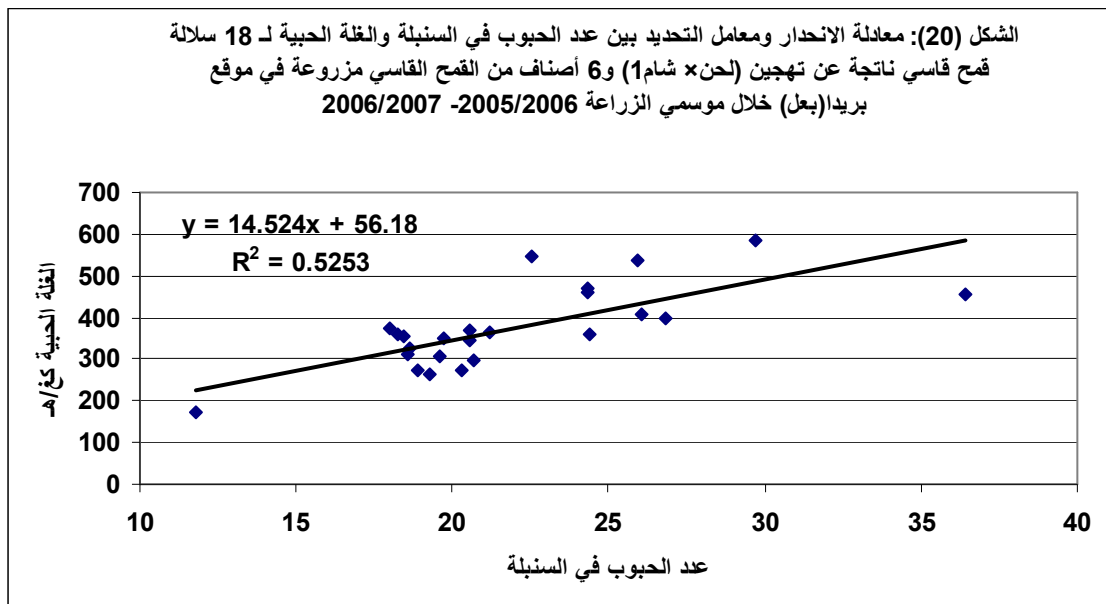
يفيد في معرفة نسبة مساهمة كل صفة من الصفات في التباين الكلي، أي تباين الشكل المظهري للصفة الأخرى، وباعتبار الغلة الحبية كتابع مستقل:

1- في موقع بريدا: قدرت مساهمة مكونات الغلة في الغلة الحبية بـ 52 % بحساب معامل الانحدار بوضع مكونات الغلة في معادلة الانحدار، إلا أنها كانت معنوية وإيجابية فقط لصفة عدد الحبوب في السنبل (25)، مما يؤكد أهمية هذا المكون في الغلة الحبية، وأن معادلة التنبؤ تقتصر عليه، لذلك تم دراسة علاقة الانحدار بين عدد الحبوب في السنبل والغلة الحبية (شكل 20) مبيناً العلاقة الخطية بينهما، كما يبين معامل التحديد (R^2) أن ما يقارب 52% من تغير الغلة الحبية يعود إلى عدد الحبوب في السنبل.

جدول (25): تحليل الانحدار المتعدد لمساهمة مكونات الغلة في الغلة الحبية في موقع بريدا

t pr. معنوية إدخالها في معادلة التنبؤ	Estimate التقييم	
***	17.15	GRSP
0.373	0.681	SPM2
0.231	12.16	TKW

GRSP: عدد الحبوب في السنبل، SPM2: عدد السنابل/م²، TKW: وزن الألف حبة، *** معنوي على مستوى 0.001



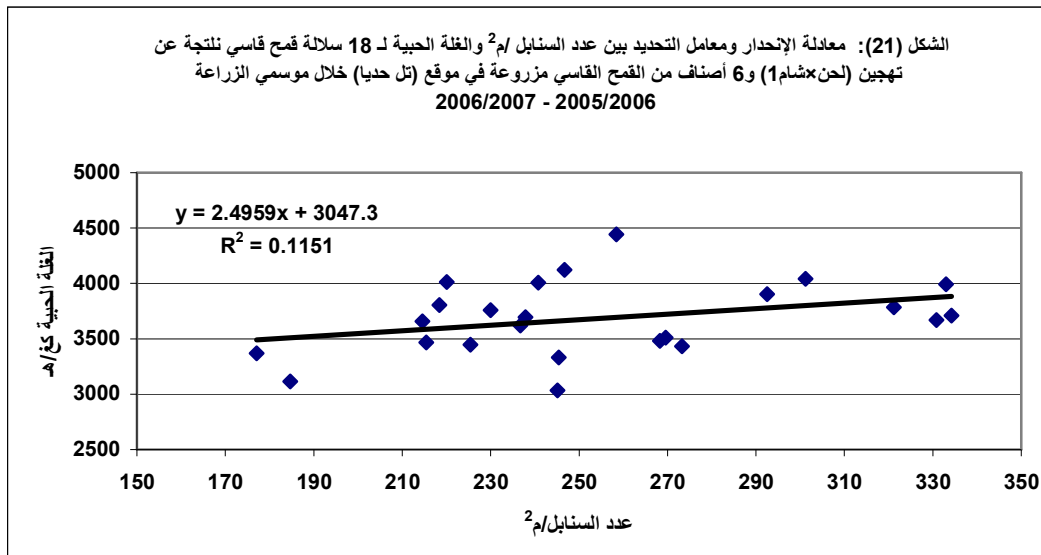
2- في موقع ثل حديا: كانت مساهمة مكونات الغلة في الغلة الحبية تقدر بـ 21 %، وكانت معنوية وإيجابية فقط لعدد السنابل/م² جدول (26)، دالاً على أهمية هذا المكون في الغلة

الحببية في موقع الري التكميلي، وأن معادلة التنبؤ تقتصر عليه، لذلك تم دراسة علاقة الانحدار بين عدد السنابل /م² والغلة الحبية (شكل 21) مبيناً العلاقة الخطية بينهما، كما يبين معامل التحديد (R^2) أن ما يقارب 12% من تغير الغلة الحبية يعود إلى لعدد السنابل/م².

جدول (26): تحليل الانحدار المتعدد لمساهمة مكونات الغلة في الغلة الحبية في موقع تل حديا

t pr.	Estimate	
معنوية إدخالها في معادلة التنبؤ	التقييم	
0.237	19.2	GRSP
*	4.35	SPM2
0.069	39.7	TKW

GRSP: عدد الحبوب في السنبل، SPM2: عدد السنابل/م²، TKW: وزن الألف حبة، * معنوي على مستوى 0.05



5. 2. 1. 2. اختبار T-Test:

لدى دراسة مكونات الغلة لمجموعتين من السلالات اختيرت بحيث الأولى تتميز بالإنتاجية والثباتية الإنتاجية العالية، والثانية بالإنتاجية والثباتية المنخفضة (جدول 27) وجد أن المجموعة الأولى تفوقت معنوياً ($P \leq 0.01$) بالغلة الحبية في متوسط الموقعين، كما تفوقت بمعنوية عالية جداً ($P \leq 0.001$) في موقع بريدا في الموسمين وفي متوسط الموسمين، وتفوقت في تل حديا في متوسط الموسمين، و أهم مكونات الغلة التي تميزت بها المجموعة الأولى الممثلة للسلالات عالية الإنتاجية عن المجموعة الثانية وتفوقت عليها معنوياً هو عدد الحبوب في السنبل، فقد تفوقت هذه الصفة بمعنوية عالية ($P \leq 0.01$) في متوسط الموقعين، كما تفوقت بمعنوية عالية جداً في متوسط الموسمين في موقع بريدا الممثل للموقع الجاف دالاً على أهميته وخاصة في موقع بريدا، وقد توافق ذلك مع الفروق المعنوية للغلة الحبية في موقع بريدا

مؤكداً على أهمية مكون الغلة في الانتخاب لظروف الجفاف، أما بالنسبة لعدد السنابل/م² فلا يوجد فروق معنوية بين المجموعتين في المتوسط العام، وفي متوسط الموسمين في بريدا، ووجدت فروقاً معنوية بين المجموعتين فقط في موقع تل حديا في الموسم الزراعي 2005/2006، أما بالنسبة لوزن الألف حبة فقد وجد التفوق لصالح المجموعة ذات الإنتاجية والثباتية المنخفضة، وكان معنوياً في متوسط الموقعين، وفي متوسط الموسمين لموقع بريدا، وفي الموسم الأول في بريدا، وهذا يدل على أن مكوني الغلة عدد السنابل/م²، ووزن الألف حبة قد تم العمل عليهما في برامج التربية في المراحل السابقة، ويجب الآن التركيز على مكون الغلة عدد الحبوب في السنبلة لتحسين الغلة للقمح القاسي.

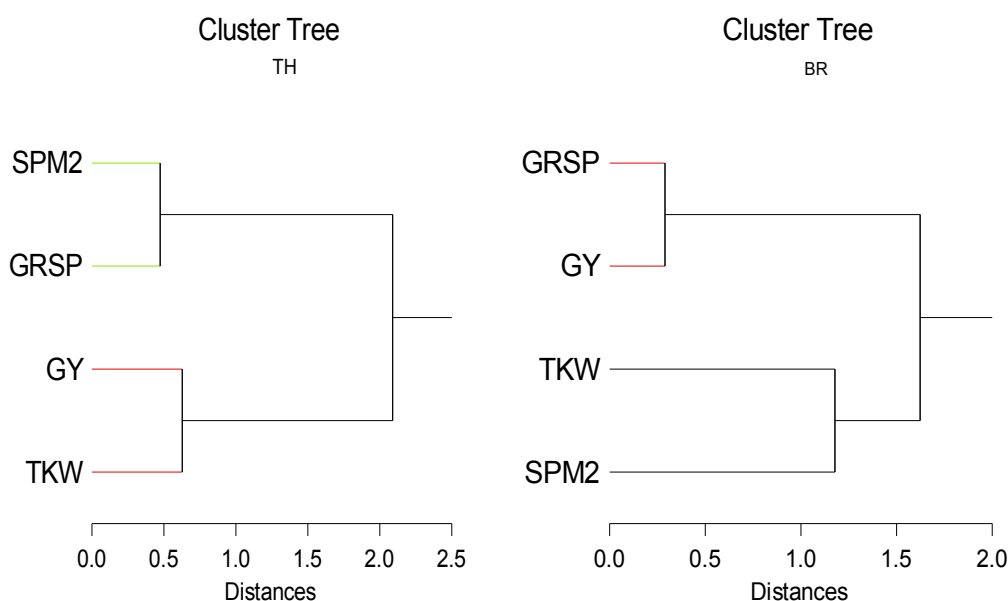
جدول (27): يبين قيم الغلة الحبية ومكوناتها لمجموعتين من السلالات: عالية الإنتاج وذات ثباتية إنتاجية، ومنخفضة الإنتاجية وذات ثباتية إنتاجية منخفضة لموسمي الزراعة 2006/2005 - 2007/2006 لموقعي بريدا، تل حديا، ومتوسط الموسمين، ومتوسط الموقعين، ومعنوية إختبار T

الصفة	السلالات عالية الإنتاجية وذات ثباتية إنتاجية عالية HY&HS	السلالات منخفضة الإنتاجية وذات ثباتية إنتاجية منخفضة LY&LS	الفرق بين السلالات عالية ومنخفضة الإنتاجية وذات ثباتية عالية ومنخفضة	الخطأ القياسي S E	معنوية إختبار T T-Test
GY BR6	634	442	192	52	***
GY TH6	3693	3470	223	203	-
GY BR7	231	132	99	22	***
GY TH7	3790	3598	192	112	-
GY BR	439	291	148	33	***
GY TH	3742	3534	208	112	*
المتوسط GY	2091	1913	178	61	**
SPM2 BR6	169	163	6	7	-
SPM2 TH6	293	244	49	27	*
SPM2 BR7	201	201	0	16	-
SPM2 TH7	229	224	5	12	-
SPM2 BR	180	177	4	8	-
SPM2 TH	261	234	27	16	-
المتوسط SPM2	221	205	16	11	-
GRSP BR6	36	27	8	3	*
GRSP TH6	64	60	4	3	-
GRSP BR7	16	10	6	2	**
GRSP TH7	44	43	1	1	-
GRSP BR	26	19	7	2	***
GRSP TH	54	51	2	2	-
المتوسط GRSP	40	35	5	2	**
TKW BR6	20	23	-3	1	*
TKW TH6	35	37	-2	2	-
TKW BR7	20	21	-1	1	-
TKW TH7	48	51	-3	2	-
TKW BR	20	22	-2	1	*
TKW TH	41	44	-3	1	-
المتوسط TKW	31	33	-3	1	*

GY: الغلة الحبية ، SPM2 : عدد السنابل/م²، GRSP: عدد الحبوب في السنبلة، TKW: وزن الألف حبة.

5. 2. 1. 4. التحليل العنقودي لعلاقات الارتباط لمكونات الغلة مع الغلة الحبية:

يبين الشكل (22) التحليل العنقودي لعلاقة الارتباط بين مكونات الغلة مع الغلة الحبية وذلك للسلاسل التي تميزت بالإنتاجية العالية والثباتية الإنتاجية في موقعي الجفاف في بريدا، والري التكميلي في تل حديا حسب اختبار Ward، ومنه يتبين العلاقة القريبة للغلة الحبية في بريدا مع مكون الغلة الحبية عدد الحبوب في السنبل، بينما كان وزن الألف حبة مكون الغلة الأقرب للغلة الحبية في الموقع المروي رياً تكميلياً في تل حديا.



SPM2: عدد السنابل/م²، GRSP: عدد الحبوب في السنبل، TKW: وزن الألف حبة، GY: الغلة الحبية.

شكل (22). التحليل العنقودي لعلاقات الارتباط بين متوسط الغلة الحبية ومكوناتها في السلاسل المتميزة بالإنتاجية العالية والثباتية الإنتاجية العالية في موقعين (بعلبي BR - مروي TH) في موسمي الزراعة 2006/2005-2007/2006.

5. 2. 2. الصفات المورفولوجية (الشكلية):

5. 2. 2. 1. تحليل التباين:

يلخص الجدول (28) نتائج التحليل الإحصائي المشترك للتباين (موقعي الدراسة × موسمي الزراعة 2006/2005 - 2007/2006) للصفات المورفولوجية. يلاحظ وجود فروق معنوية في التفاعل المتبادل بين السلالات والسنوات والمواقع في صفة طول السفا ($P \leq 0.001$) فقط. ويلاحظ وجود فروق معنوية في التفاعل بين السلالات والموقع على مستوى معنوية عالية ($P \leq 0.001$) في كل من طول النبات، والسنبلة، وحامل السنبلة، في حين كان تأثير التفاعل بين السلالات والسنوات معنوياً بالنسبة لصفة طول النبات. وتبين أيضاً من الجدول (29) ما يلي:

- التأثير القوي للموقع في الصفات المورفولوجية: طول كل من: النبات، والسنبلة، وحامل السنبلة، وبمستوى معنوية عالية ($P \leq 0.001$)، محدثاً تبايناً كبيراً في صفة طول النبات قدره 84% من التباين الكلي، حيث انخفض متوسط طول النبات بنسبة 50% في موقع بريدا الممثل للموقع الجاف بالمقارنة مع موقع تل حديا (المروي ريا تكميلياً)، وهي من أكثر الصفات المورفولوجية تأثراً بالظروف البيئية المتباينة، حيث وجد التأثير المعنوي لتفاعل السلالات مع السنوات، في حين لوحظ الانخفاض الأكبر في صفة طول حامل السنبلة، حيث كان أقصر في موقع بريدا بنسبة 59% مقارنة بطول حامل السنبلة في تل حديا مبيناً التأثير القوي للجفاف في صفة طول حامل السنبلة.
- كان تأثير السنوات في صفة طول السفا معنوياً ($P \leq 0.05$)، حيث انخفضت هذه الصفة بمعدل 25% في الموسم الزراعي 2006/2005، مقابل 56% في الموسم الزراعي 2007/2006، ما يؤكد تأثر هذه الصفة بالجفاف الحاصل في مرحلة قبل الإزهار.
- عموماً يشير إنخفاض قيم متوسط الصفات المورفولوجية على أهمية توافر المياه والمادة الجافة لتكوين المجموع الخضري.

جدول (28): يبين مجموع مربع الانحرافات من التحليل التباين المشترك (موقعين × موسمين) للصفات الشكلية لـ 18 سلالة الناتجة عن تهجين (لحن × شام 1) و 5 أصناف من القمح القاسي مزروعة في موقعين (بريدا، تل حديا) خلال موسمي الزراعة 2006/2005 - 2007/2006

Source of variation	df	PH	SL	PL	AWL
مصدر التباين	درجة الحرية	طول النبات سم /	طول السنبلية سم /	طول حامل السنبلية سم /	طول السفا سم /
المكررات	2	133	0.5	77	4
الموقع	1	89959***	144.3***	18442***	1051***
السنوات	1	7462***	54.8***	2060***	1007***
السنوات × المواقع	1	780	1	265*	100***
الخطأ التجريبي 1	6	1019	1.1	244	19
السلالات	23	2091***	79.5***	481***	350***
السلالات × المكررات	46	1026**	5.2	413	28
السلالات × المواقع	23	1349***	5.9***	512***	36
السلالات × السنوات	23	882***	2.3	129	31*
السلالات × السنوات × المواقع	23	344	3.5	245	41***
الخطأ التجريبي 2	138	1688	14.6	960	102
التباين الكلي	287	106734	312.7	23828	2768
التباين للموقع		84	46	77	37
التباين للسنوات		7	18	9	36
التباين للسلالات		2	25	2	12

*معنوي على مستوى 0.05، ** معنوي على مستوى 0.01، *** معنوي على مستوى 0.001، NS: غير معنوي

جدول (29): متوسط ونسبة انخفاض الغلة الحبية ومكوناتها لـ 18 سلالة الناتجة عن تهجين (لحن × شام 1) و 6 أصناف من القمح القاسي مزروعة في موقعين (بريدا، تل حديا) خلال موسمي الزراعة 2006/2005 - 2007/2006

De %	TH	BR	De %	TH7	BR7	De %	TH6	BR 6	
50	72	36	49	65	33	48	78	40	PH طول النبات/ سم
25	8	6	25	8	6	13	8	7	SL طول السنبلية/ سم
59	27	11	60	23	9	58	31	13	PL طول حامل السنبلية/ سم
30	10	7	56	9	4	25	12	9	AWL طول السفا/ سم

ولدى دراسة التباين بين السلالات وجد من التحليل المشترك لكل من موقعي تل حديا ($P \leq 0.001$)، وبريدا ($P \leq 0.01$) فروقات معنوية عالية في صفة طول النبات (جدول، 30)، إضافة لظهورها بين السلالات في الموسمين والموقعين، كما وجد أن السلالات التي احتلت المراتب الأولى في الموقعين وفي الموسمين هي من السلالات ذات الغلة والثباتية المنخفضة، كما لم يلاحظ أية فروق معنوية في طول النبات لدى الأبوين في موقع بريدا لكلا الموسمين مقارنة بطول السلالتين (LC2508, LC2012)، التي احتلت المراتب الأولى، في حين وجد تفوقاً معنوياً للسلالة (LC2012) التي احتلت في الموسمين الزراعيين المرتبة الأولى متفوقة أيضاً على كلا الأبوين في موقع تل حديا.

كان تفاعل الموقع والسلالات معنوياً فقط في صفة طول السنبلة، ما يدل على أن سلوك السلالات كان واحداً في كلا الموسمين، ولدى مناقشة متوسط الموسمين لكل موقع على حدة (جدول 31)، تبين وجود فروق معنوية بين السلالات في كلا الموقعين ($P \leq 0.001$)، واحتلت السلالة (LC2417) المتصفة بانخفاض الإنتاجية وثباتيتها في موقع بريدا المرتبة الأولى في هذه الصفة، متفوقة بذلك على جميع السلالات سواء كانت عالية وثابتة الإنتاجية أو منخفضة، في حين احتلت السلالة (LC2301) ذات الإنتاجية العالية والمستقرة في موقع تل حديا المرتبة الأولى متفوقة معنوياً على كل من الأبوين وبعض السلالات من المجموعتين. وقد سجلت السلالة (LC2110) أعلى انخفاض في صفة طول السنبلة.

كما وجدت فروقاً معنوية في تفاعل السلالات مع الموقع في صفة حامل السنبلة (جدول، 32)، دون السنوات، دالاً على أن سلوكية السلالات واحدة في السنوات، حيث انخفض طول حامل السنبلة من 46 حتى 69% نتيجة التعرض للإجهاد المائي، حيث احتلت السلالة (LC2221) المرتبة الأولى في موقع بريدا متفوقة معنوياً على جميع السلالات المنخفضة الإنتاجية وذات الثباتية الإنتاجية، بالإضافة إلى الأب لحن، متشابهة بذلك مع السلالة (LC2106) التي تميزت بالإنتاجية العالية في موقع بريدا في الموسمين ومتوسطهما، هذا ما يؤكد على أهمية هذه الصفة في برامج التربية لتحمل الجفاف، تفوقت السلالة (LC2014) العالية والثابتة إنتاجياً في موقع تل حديا، والسلالة (LC2222) المنخفضة والثابتة إنتاجياً على السلالات (LC2103, LC2504, LC2215) من المجموعة الأولى، و (LC2322) من المجموعة الثانية، بالإضافة إلى تفوقهما معنوياً على الأب شام1.

يبين الجدول (28) وجود فروقاً معنوية في صفة طول السفا بالنسبة إلى التفاعل بين السلالات والسنوات، وعدم وجود فروق معنوية في التفاعل بين السلالات والموقع، حيث انخفض طول السفا إلى 46% في متوسط الموقعين، وانخفض متوسط طول السفا في الموسم الزراعي 2006/2005 (الجدول 33) من 13 إلى 40%، في حين ازداد هذا الانخفاض حتى وصل

إلى 68% في الموسم الزراعي 2007/2006 وهذا عائد إلى إصابة النباتات بالصقيع في موقع بريدا الذي أدى إلى تجعد السفا، كما وجدت فروق معنوية عند مستوى معنوية عالية ($P \leq 0.001$) بين السلالات في كلا الموقعين، والموسمين، وفي متوسط الموقعين، واحتلت السلالة (LC2106) من مجموعة السلالات العالية والثابتة إنتاجياً المرتبة الأولى في كل من متوسط الموقعين، متفوقةً بذلك معنوياً على السلالات (LC2014, LC2103, LC2215, LC2305, LC2504) من السلالات العالية والثابتة إنتاجياً، بالإضافة لتفوقها على الأب لحن، وعلى كافة السلالات المنخفضة والثابتة إنتاجياً، مؤكدة على أهمية هذه الصفة في برامج التربية لتحمل الجفاف، لما تميزت به بالإنتاجية العالية في موقع بريدا في الموسمين ومتوسطهما.

جدول (30): يبين متوسط ونسبة انخفاض طول النبات /سم لنحو 18 سلالة قمح قاسي الناتجة عن تهجين (لحن × شام 1) بالمقارنة مع الأبوين في موقعي التجربة بريدا (زراعة بعلية) وتل حديا (زراعة مروية) وخلال موسمي الزراعة 2006/2005 - 2007/2006

De	TH		BR		De	TH7		BR7		De	TH6		BR6		السلالات
%	PH		PH		%	PH		PH		%	PH		PH		
50	efgk	72	abcde	36	48	abcd	67	ab	35	53	cdefg	77	cde	36	LC2014
48	mno	67	abcde	35	47	d	60	ab	32	47	efg	73	abcde	39	LC2103
46	efgklm	71	abc	38	51	abcd	67	ab	33	43	defg	74	abc	42	LC2106
46	efgkl	72	a	39	49	bcd	65	ab	33	44	bcdefg	78	ab	44	LC2110
45	klmno	69	abcd	38	45	bcd	62	ab	34	45	cdefg	75	abcde	41	LC2215
46	gklmno	70	ab	38	48	abcd	67	ab	35	44	efg	73	abcde	41	LC2221
45	klmno	69	abcd	38	44	bcd	63	ab	35	47	cdefg	75	abcde	40	LC2301
54	efgklm	71	e	33	52	bcd	64	ab	31	56	bcdef	79	e	35	LC2305
50	efgk	72	abcde	36	47	bcd	66	ab	35	53	bedefg	78	cde	37	LC2504
53	fgklmn	70	de	33	51	bcd	65	ab	32	54	cdefg	76	e	35	LC2006
54	a	82	a	38	50	a	74	a	37	56	a	90	abcde	40	LC2012
53	cde	76	abcde	36	52	abc	69	ab	33	52	abcd	82	abcde	39	LC2204
53	bcd	78	abcde	37	49	abc	69	ab	35	55	ab	86	abcde	39	LC2222
48	o	65	bcde	34	45	d	60	ab	33	51	fg	71	e	35	LC2304
48	mno	67	abcde	35	46	cd	61	ab	33	47	efg	72	cde	38	LC2306
49	lmno	67	cde	34	47	d	60	ab	32	51	defg	74	de	36	LC2322
50	defg	74	abcde	37	50	abcd	68	ab	34	50	bcde	80	abcde	40	LC2417
53	ab	81	ab	38	55	ab	71	ab	32	50	a	90	a	45	LC2508
46	gklmno	69	abcde	37	48	bcd	62	ab	32	45	cdefg	76	abcd	42	(P1)لحن
42	no	66	a	38	43	cd	61	ab	35	40	g	70	abcd	42	شام1 (P2)
	1.5		1.2			3		1.7			4		1.9		S.E.
	5		8			7		9			6		8		C.V.%
	***		**			**		**			***		***		S.g. المعنوية

PHBR6: الغلة الحبية في بريدا في موسم 2005/2006، PHBR7: الغلة الحبية في بريدا في موسم 2006/2007، PHBR: متوسط الغلة الحبية في بريدا، PHTH6: الغلة الحبية في تل حديا في موسم 2005/2006، PHTH 7: الغلة الحبية في تل حديا في موسم 2006/2007، PHTH: متوسط الغلة الحبية في تل حديا، De: نسبة الانخفاض، S.E.: الخطأ القياسي، C.V.: معامل الاختلاف، ** معنوي على مستوى 0.01، *** معنوي على مستوى 0.001.

جدول (31): يبين متوسط ونسبة انخفاض طول السنبله/ سم لنحو 18 سلالة قمح قاسي الناتجة عن تهجين (لحن × شام1) بالمقارنة مع الأبوين في موقعي التجربة بريدا (زراعة بعليّة) وتل حديا (زراعة مروية) وخلال موسمي الزراعة 2006/2005 - 2007/2006

De	TH		BR		السلالات
%	SL		SL		
18	abc	8.3	bcd	6.8	LC2014
22	fgk	7.4	m	5.8	LC2103
21	cd	8.2	def	6.5	LC2106
24	abc	8.3	efg	6.3	LC2110
22	abc	8.3	def	6.5	LC2215
11	gk	7.3	defg	6.5	LC2221
21	a	8.7	bc	6.9	LC2301
20	efg	7.6	gkl	6.1	LC2305
17	efg	7.7	efg	6.4	LC2504
19	efg	7.7	fgk	6.2	LC2006
15	bc	8.2	b	7	LC2012
18	efg	7.7	efg	6.3	LC2204
20	cde	7.9	efg	6.3	LC2222
17	efg	7.6	efg	6.3	LC2304
19	def	7.8	efg	6.3	LC2306
18	cde	8	cde	6.6	LC2322
14	ab	8.6	a	7.4	LC2417
20	abc	8.3	cde	6.6	LC2508
21	fgk	7.5	klm	5.9	لحن(P1)
18	efg	7.6	fgk	6.2	شام1 (P2)
	0.1		0.1		S.E.
	4		4		C.V.%
	***		***		المعنوية S.g.

SLBR6: الغلة الحبية في بريدا في موسم 2005/2006، SLBR7: الغلة الحبية في بريدا في موسم 2006/2007، SLBR: متوسط الغلة الحبية في بريدا، SLTH6: الغلة الحبية في تل حديا في موسم 2005/2006، SLTH 7: الغلة الحبية في تل حديا في موسم 2006/2007، SLTH: متوسط الغلة الحبية في تل حديا، De: نسبة الإنخفاض، S.E.: الخطأ القياسي، C.V.: معامل الاختلاف، *** معنوي على مستوى 0.001.

جدول (32): يبين متوسط ونسبة انخفاض طول حامل السنبله/ سم لنحو 18 سلالة قمح قاسي الناتجة عن تهجين (لحن × شام1) بالمقارنة مع الأبوين في موقعي التجربة بريدا (زراعة بعلية) وتل حديا (زراعة مروية) وخلال موسمي الزراعة 2006/2005 - 2007/2006

السلالات	BR		TH		De
	PL		PL		%
LC2014	11.6	defg	30.5	a	62
LC2103	9.7	klmn	23.7	cd	59
LC2106	13.8	ab	27.3	abc	49
LC2110	12.3	bcde	26.2	abcd	53
LC2215	11	efgkl	26	bcd	58
LC2221	14.3	a	26.7	abcd	46
LC2301	13.1	abcd	27.2	abc	52
LC2305	9	mn	27.1	abc	67
LC2504	9.8	klmn	25.9	bcd	62
LC2006	8.3	n	27.1	abc	69
LC2012	9.9	gklmn	29.3	ab	66
LC2204	10	gklmn	29.5	ab	66
LC2222	10.7	efgklm	30.6	a	65
LC2304	9.4	lmn	27	abc	65
LC2306	12	cdef	26.4	abcd	55
LC2322	10.3	fgklm	23.6	cd	56
LC2417	9.4	lmn	28.2	ab	67
LC2508	10.5	fgklm	28.8	ab	64
لحن(P1)	9.6	klmn	26.1	abcd	63
شام1(P2)	13.4	abc	22.4	d	40
S.E.	0.5		1.3		
C.V.:%	12		12		
المعنوية S.g.	***		**		

PLBR6: الغلة الحبية في بريدا في موسم 2005/2006، PLBR7: الغلة الحبية في بريدا في موسم 2006/2007، PLBR: متوسط الغلة الحبية في بريدا، PLTH6: الغلة الحبية في تل حديا في موسم 2005/2006، PLTH 7: الغلة الحبية في تل حديا في موسم 2006/2007، PLTH: متوسط الغلة الحبية في تل حديا، De: نسبة الإنخفاض، S.E.: الخطأ القياسي، C.V.: معامل الاختلاف، *** معنوي على مستوى 0.001، NS: غير معنوي.

جدول (33): يبين متوسط ونسبة انخفاض طول السفا/ سم لنحو 18 سلالة قمح قاسي الناتجة عن تهجين (لحن × شام1) بالمقارنة مع الأبوين في موقعي التجربة بريدا (زراعة بعلية) وتل حديا (زراعة مروية) وخلال موسمي الزراعة 2006/2005 - 2007/2006

De	TH		BR		De	TH7		BR7		De	TH6		BR6		السلالات
%	AWL		AWL		%	AWL		AWL		%	AWL		AWL		
37	efgk	10.4	cde	6.6	57	bcdef	9.7	abcdef	4.2	20	defgk	11.2	fgk	9	LC2014
44	efgk	10	ef	5.6	67	efgkl	8.8	f	2.9	26	defgk	11.3	gklm	8.4	LC2103
32	a	13	a	8.8	55	a	12.1	abc	5.4	13	a	13.9	a	12.1	LC2106
30	abc	12	a	8.4	48	bc	10.6	abc	5.5	15	abc	13.4	ab	11.4	LC2110
45	efgk	10.2	ef	5.6	66	efgkl	9	ef	3.1	28	defgk	11.4	klm	8.2	LC2215
29	ab	12.3	a	8.7	48	ab	11	a	5.7	14	abc	13.6	ab	11.7	LC2221
29	abcd	11.9	a	8.4	49	bc	10.7	abc	5.5	14	abcd	13.2	abc	11.3	LC2301
46	efg	10.6	ef	5.7	66	cdefg	9.5	def	3.2	29	cdefg	11.7	klm	8.3	LC2305
46	efgk	10.4	ef	5.6	56	efgkl	8.8	abcdef	3.9	40	abcdefg	12.1	mn	7.3	LC2504
44	k	9.4	f	5.3	54	fgkl	8.4	cdef	3.9	35	gk	10.4	n	6.8	LC2006
36	def	10.8	bcd	6.9	44	bcdef	9.7	abc	5.4	29	acdefg	11.9	gklm	8.5	LC2012
40	efgk	10.5	cdef	6.3	68	bcde	9.9	def	3.2	14	efgk	11	efg	9.5	LC2204
33	def	10.8	bcd	7.2	55	defgkl	9.2	abcdef	4.1	18	abcdef	12.5	de	10.2	LC2222
42	fgk	9.8	ef	5.7	55	efgkl	8.8	abcdef	4	30	fgk	10.7	lmn	7.5	LC2304
26	efg	10.7	ab	7.9	43	cdefg	9.6	abc	5.5	13	cdefg	11.8	cde	10.3	LC2306
40	k	9.4	ef	5.6	51	gkl	8.2	abcdef	4	32	fgk	10.6	mn	7.2	LC2322
40	efgk	10.2	def	6.1	43	l	7.6	abcdef	4.3	38	abcde	12.8	klmn	7.9	LC2417
42	bcde	11.2	cdef	6.5	60	bcde	9.9	abcdef	4	28	abcdef	12.5	fgk	9	LC2508
43	efgk	10	ef	5.7	68	efgkl	8.7	f	2.8	24	defgk	11.4	fgkl	8.7	(P1)لحن
27	ab	12.2	a	8.9	45	bcd	10.4	ab	5.7	14	ab	13.9	a	12	(P2)شام1
	0.3		0.4			0.4		0.5			0.6		0.4		S.E.
	9		13			8		21			8		7		C.V.%
	***		***			***		***			***		***		S.g. المعنوية

AWLBR6: الغلة الحبية في بريدا في موسم 2005/2006، AWLBR7: الغلة الحبية في بريدا في موسم 2006/2007، AWLBR: متوسط الغلة الحبية في بريدا، AWLTH6: الغلة الحبية في تل حديا في موسم 2005/2006، 7 AWLTH: الغلة الحبية في تل حديا في موسم 2006/2007، AWLTH: متوسط الغلة الحبية في تل حديا، De: نسبة الانخفاض، S.E.: الخطأ القياسي، C.V.: معامل الاختلاف، *** معنوي على مستوى 0.001، NS: غير معنوي.

5. 1. 2. 3. دراسة علاقة الارتباط بين الصفات المورفولوجية والغلة الحبية ومكوناتها:

تبين الجداول (34، 35، 36) الممثلة لقيم معامل الارتباط بين الصفات المورفولوجية والغلة الحبية ومكوناتها لنحو 18 سلالة من عشيرة لحن × شام1، و6 أصناف من القمح القاسي في الموسم الزراعي 2005/2006 ما يلي:

- وجود علاقة ارتباط موجبة ومعنوية ($P \leq 0.01$) في موقع بريدا بين كل من صفات طول النبات وطول حامل السنبله وطول السفا والغلة الحبية، بعكس موقع تل حديا في الموسمين الزراعيين 2006/2005 - 2007/2006 ومتوسطهما دلالة على أهمية هذه الصفات المورفولوجية في الموقع الجاف.

- وجدت في تل حديا علاقة ارتباط موجبة ومعنوية بين طول السنبله وعدد الحبوب في السنبله في الموسمين وفي متوسطهما، ما يشير إلى أهمية توافر الماء في مرحلة نمو السنبله، المترافق مع تكوين الزهيرات، حيث يتحدد عدد الحبوب في السنبله بطول السنبله، بالإضافة لوجود الماء خلال مرحلة تشكل السنابل وتطورها.
- وجود علاقة ارتباط قوية ومعنوية وموجبة بين طول السنبله وطول السفا في تل حديا في الموسمين الزراعيين 2006/2005 - 2007/2006 وفي متوسطهما.

جدول (34): يبين علاقات الارتباط بين الصفات المورفولوجية والغلة الحبية ومكوناتها لـ 18 سلالة قمح قاسي الناتجة عن تهجين (لحن × شام1) و6 أصناف من القمح القاسي في موقعي التجربة بريدا (زراعة بعلية) وتل حديا (زراعة مروية) خلال موسم الزراعة 2006/2005

GYTH6	TKW	SPM2	GRSP	AWL	PL	SL	PH	
-0.071	.013	.026	-.183	-.200	.664**	-.089		PH
-.274	.087	-.106	.435*	.485*	.163		-.249	SL
-.019	.485*	-.297	-.015	-.240		-.274	.692**	PL
-.015	-.126	.369	.410*		.823**	-.030	.496*	AWL
.141	-.065	.353		.459*	.363	-.036	.304	GRSP
.118	-.568**		.224	.419*	.401	-.258	.164	SPM2
.252		-.219	-.596**	-.330	-.218	-.020	-.282	TKW
	-.256	.363	.430*	.757**	.812**	-.276	.522**	GYBR6

القيم العلوية : علاقة الارتباط في موقع تل حديا، القيم السفلية: علاقة الارتباط في موقع بريدا، PH: طول النبات، PL: طول حامل السنبله، SL: طول السنبله، AWL: طول السفا، SPM2: عدد السنابل/م2، GRSP: عدد الحبوب في السنبله، TKW: وزن الألف حبة، GYTH: الغلة الحبية في تل حديا، GYBR: الغلة الحبية في بريدا، *معنوي على مستوى 0.05، ** معنوي على مستوى 0.01.

جدول (35): يبين علاقات الارتباط بين الصفات المورفولوجية والغلة الحبية ومكوناتها لـ 18 سلالة قمح قاسي الناتجة عن تهجين (لحن × شام1) و6 أصناف من القمح القاسي في موقعي التجربة بريدا (زراعة بعلية) وتل حديا (زراعة مروية) خلال موسم الزراعة 2007/2006

GYTH7	TKW	SPM2	GRSP	AWL	PL	SL	PH	
.014	-.014	.197	-.052	.134	.602**	.196		PH
.379	.307	.158	.430*	.453*	.177		.652**	SL
-.032	.075	.263	.153	.287		.416*	.366	PL
.253	-.002	.258	.175		.756**	.430*	.373	AWL
.316	-.312	.080		.610**	.808**	.391	.364	GRSP
.291	.043		-.137	-.314	-.221	-.135	-.207	SPM2
-.032		-.234	.109	.337	.194	.421*	.350	TKW
	.081	-.044	.828**	.569**	.735**	.312	.376	GYBR7

القيم العلوية : علاقة الارتباط في موقع تل حديا، القيم السفلية: علاقة الارتباط في موقع بريدا، PH: طول النبات، PL: طول حامل السنبله، SL: طول السنبله، AWL: طول السفا، SPM2: عدد السنابل/م2، GRSP: عدد الحبوب في السنبله، TKW: وزن الألف حبة، GYTH: الغلة الحبية في تل حديا، GYBR: الغلة الحبية في بريدا، *معنوي على مستوى 0.05، ** معنوي على مستوى 0.01.

جدول (36): يبين علاقات الارتباط بين الصفات المورفولوجية والغلة الحبية ومكوناتها لـ 18 سلالة قمح قاسي الناتجة عن تهجين (لحن × شام1) و6 أصناف من القمح القاسي في موقعي التجربة بريدا (زراعة بعلية) وتل حديا (زراعة مروية) (ولمتوسط موسمي الزراعة 2006/2005 - 2007/2006)

GYTH	TKW	SPM2	GRSP	AWL	PL	SL	PH	
- .136	-.020	.076	-.156	-.090	.736**	.009		PH
-.101	.201	-.039	.455*	.510*	.162		.329	SL
-.187	.264	-.025	-.020	-.091		.017	.595**	PL
.133	-.061	.442*	.331		.858**	.198	.685**	AWL
.245	-.165	.314		.566**	.572**	.124	.408*	GRSP
.310	-.493*		.101	-.060	-.009	-.168	.035	SPM2
.018		-.114	-.625**	-.124	-.197	.113	-.267	TKW
	-.319	.194	.725**	.752**	.836**	-.043	.538**	GYBR

القيم العلوية : علاقة الارتباط في موقع تل حديا، القيم السفلية: علاقة الارتباط في موقع بريدا، PH: طول النبات، PL: طول حامل السنبل، SL: طول السنبل، AWL: طول السفا، SPM2: عدد السنابل/م²، GRSP: عدد الحبوب في السنبل، TKW: وزن الألف حبة، GYTH: الغلة الحبية في تل حديا، GYBR: الغلة الحبية في بريدا، *معنوي على مستوى 0.05، ** معنوي على مستوى 0.01.

ولمعرفة طبيعة علاقة الارتباط أي معرفة مقدار التغير في التابع Y (الغلة الحبية) المرتبط بتغير المتحولات المستقلة الأخرى بمقدار وحدة واحدة، وبمعنى آخر دراسة علاقات الارتباط بشكل كمي، تم دراسة معامل الانحدار المتعدد بين الصفات المورفولوجية والغلة الحبية، وهو مؤشر إحصائي مهم يفيد في معرفة نسبة مساهمة كل صفة من الصفات في التباين الكلي، أي تباين الشكل المظهري للصفة الأخرى، وباعتبار الغلة الحبية كتابع مستقل:

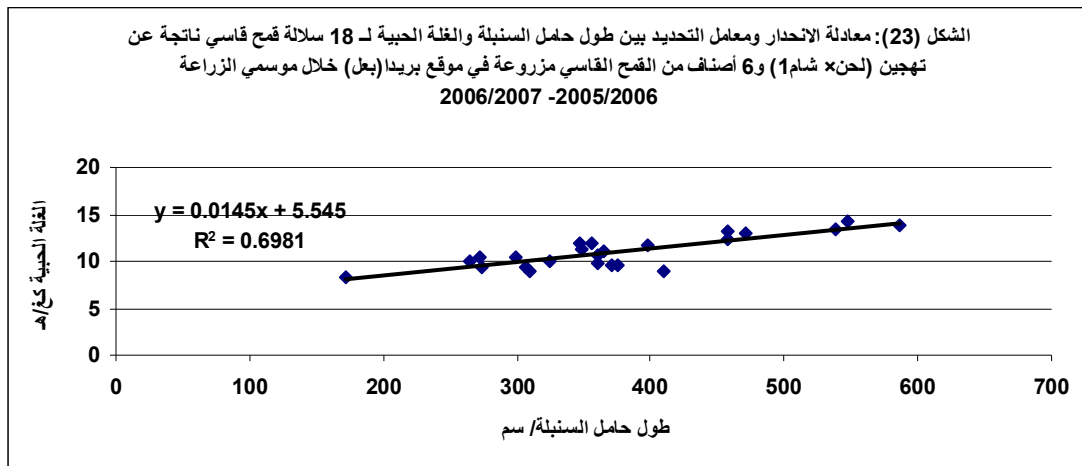
1. في موقع بريدا:

قدرت مساهمة الصفات المورفولوجية في الغلة الحبية بـ 66 % وذلك عند إدخال كافة الصفات المدروسة في معادلة الانحدار المتعدد، وسجلت معنوية ايجابية فقط لصفة طول حامل السنبل جدول (37)، دلالة على أهمية هذا المكون في الغلة الحبية في حالة العجز المائي، وأن معادلة التنبؤ تقتصر عليه، لذلك تم دراسة علاقة الانحدار بين طول حامل السنبل والغلة الحبية (شكل 23) مبيناً العلاقة الخطية بينهما، كما يبين معامل التحديد (R^2) أن ما يقارب 70% من تغير الغلة الحبية يعود إلى صفة طول حامل السنبل .

جدول (37): تحليل الانحدار المتعدد لمساهمة الصفات المورفولوجية في الغلة الحبية في موقع بريدا

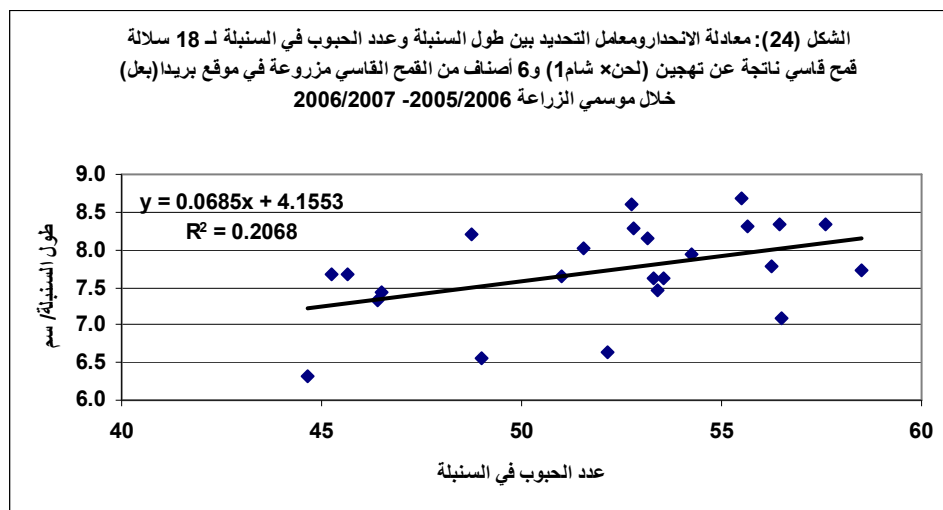
t pr.	Estimate	
معنوية إدخالها في معادلة التنبؤ	التقييم	
0.84	1.8	PH
**	41.5	PL
0.678	8.8	AWL

PH: طول النبات، PL: طول حامل السنبل، AWL: طول السفا.



2. في موقع تل حديا:

لم تسجل أية علاقة مباشرة للصفات المورفولوجية في الغلة الحبية، إذ اقتصررت العلاقة بين بعض الصفات المورفولوجية بمكونات الغلة جداول رقم (34، 35، 36)، وكانت العلاقة معنوية وإيجابية بين طول السنبل وعدد الحبوب في السنبل في موسم 2006/2005، وفي متوسط الموسمين (34، 35، 36)، مما يؤكد على أهمية هذه الصفة في موقع تل حديا (ري تكميلي برية واحدة)، لذلك تمت دراسة علاقة الانحدار لصفتي طول السنبل وعدد الحبوب في السنبل (شكل 24) مبينين وجود علاقة خطية بينهما، كما يبين معامل التحديد (R^2) أن ما يقارب 21% من تغير عدد الحبوب في السنبل يعود إلى تغير طول السنبل.



5. 1. 2. 2. 2. اختبار T-Test:

يبين الجدول (38) تفوق مجموعة السلالات ذات الإنتاجية والثباتية الإنتاجية العالية معنوياً ($P \leq 0.05$) في موقع بريد في صفة طول حامل السنبل لكلا الموسمين ومتوسطهما، وهذا

دليلاً على أهمية صفة طول حامل السنبله ليس فقط في الموقع الجاف بل أيضاً لصفة الثباتية الإنتاجية، بينما ميز الدور الهام لصفة طول السفا في موقع تل حديا وفي الموسم الزراعي 2007/2006 المتميز بارتفاع درجة الحرارة في فترة امتلاء الحبوب.

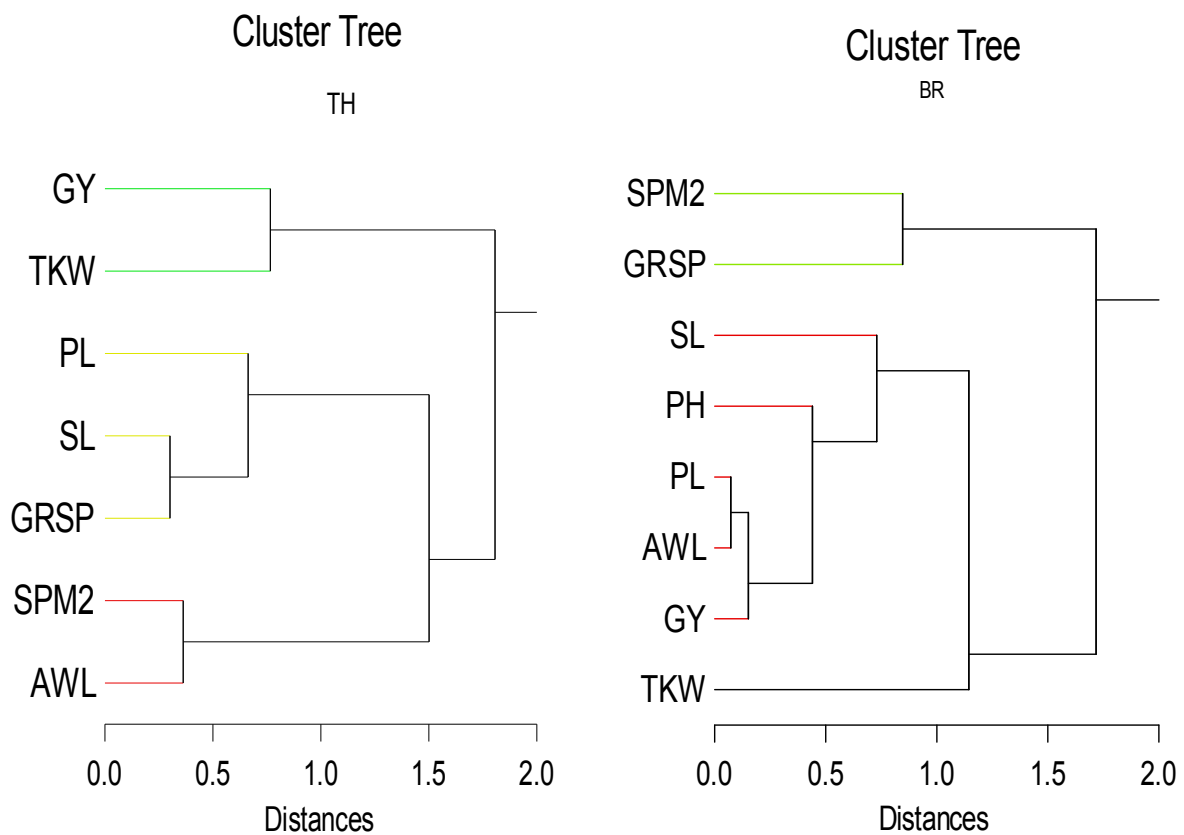
جدول (38): يبين قيم الصفات المورفولوجية (الشكلية) لمجموعتين من السلالات: عالية الإنتاج وذات ثباتية إنتاجية، ومنخفضة الإنتاجية وذات ثباتية إنتاجية منخفضة لموسمي الزراعة 2006/2005 - 2007/2006 لموقعي بريد، تل حديا، ومتوسط الموسمين، ومتوسط الموقعين، ومعنوية اختبار T

الصفة	السلالات عالية الإنتاجية وذات ثباتية إنتاجية عالية HY&HS	السلالات منخفضة الإنتاجية وذات ثباتية إنتاجية منخفضة LY&LS	الفرق بين السلالات عالية ومنخفضة الإنتاجية وذات ثباتية عالية ومنخفضة	الخطأ القياسي S E	معنوية اختبار T T-Test
PH BR6	39.5	38.3	1.2	1.5	NS
PH TH6	75	80	-5	2.6	NS
PH BR7	33.7	33.3	0.4	0.78	NS
PH TH7	65	66	-1	1.9	NS
PH BR	36.6	35.8	0.8	0.8	NS
PH TH	70	73	-3	2.2	NS
المتوسط PH	53.4	54.5	-1.1	1.4	NS
SL BR6	6.8	6.9	-0.1	0.17	NS
SL TH6	9	8	1	0.2	NS
SL BR7	6.1	6.2	-0.1	0.2	NS
SL TH7	7.4	7.5	-0.1	0.2	NS
SL BR	6.4	66	-0.2	0.2	NS
SL TH	7.98	7.97	0.01	0.19	NS
المتوسط SL	7.2	7.3	-0.1	0.2	NS
PL BR6	13	11	2	0.96	*
PL TH6	30	32	-2	1.2	NS
PL BR7	10	9	1	0.6	*
PL TH7	23.5	23.8	-0.3	1.1	NS
PL BR	12	10	2	0.7	*
PL TH	26.7	27.8	-1.1	0.9	NS
المتوسط PL	19.2	18.9	0.3	0.6	NS
AWL BR6	10	9	1	0.76	NS
AWL TH6	12.4	11.5	0.8	0.48	NS
AWL BR7	4.4	4.3	0.1	0.46	NS
AWL TH7	10	9	1	0.47	*
AWL BR	7	6	1	0.57	NS
AWL TH	11	10	1	0.4	*
المتوسط AWL	9	8	1	0.4	NS

*معنوي على مستوى 0.05، NS: غير معنوي.

5. 1. 2. 4. التحليل العنقودي لعلاقات الارتباط للصفات المورفولوجية مع الغلة الحبية ومكوناتها:

يبين الشكل (25) التحليل العنقودي حسب اختبار Ward لعلاقة الارتباط بين الصفات المورفولوجية والغلة الحبية ومكوناتها في السلالات المتميزة بالإنتاجية والثباتية العاليتين في الموقع الجاف في بريدا، والري التكميلي في تل حديا، وجود ارتباط مباشر بين الصفات المورفولوجية بالغلة الحبية في بريدا، وخاصة بصفة طول السفا وطول حامل السنبل، في حين ارتبطت في تل حديا صفة طول السنبل، وطول حامل السنبل بعدد الحبوب في السنبل، حيث كانت صفة طول السنبل هي الأقرب، مقابل ارتباط طول السفا بعدد السنابل/م².



PH: طول النبات، PL: طول حامل السنبل، SL: طول السنبل، AWL: طول السفا، SPM2: عدد السنابل/م²، GRSP: عدد الحبوب في السنبل، TKW: وزن الألف حبة، GY: الغلة الحبية.

شكل (25): التحليل العنقودي لعلاقات الارتباط بين متوسط الغلة الحبية ومكوناتها في السلالات المتميزة بالإنتاجية العالية والثباتية الإنتاجية العالية في موقعين (بعلبي BR - مروي TH) كمتوسط موسمي الزراعة 2006/2005 و 2007/2006.

5. 2. 3. الصفات الفيزيولوجية:

5. 2. 3. 1. تحليل التباين:

يتبين من تحليل التباين المشترك للصفات الفيزيولوجية (موقعي الدراسة × الموسمين الزراعيين 2006/2005-2007/2006) وجود فروق معنوية عند مستوى معنوية عالية ($P \leq 0.001$) في التفاعل بين السلالات والسنوات والمواقع في صفة درجة حرارة الورقة عند المرحلة Z45 (جدول، 39)، وفي كل من صفات: الناقلية والمقاومة المسامية بمرحلة Z45، وصفة وجود الطبقة الشمعية ($P \leq 0.001$)، وصفة قوة الإنبات والتغطية النباتية ($P \leq 0.01$) (جدول، 40). ولدى إجراء التحليل المشترك لصفة التفاف الورقة في الصباح وفي وقت الظهيرة، بالإضافة إلى صفة دليل التفاف الورقة للموقعين في موسم 2006/2005، (وذلك لعدم القدرة على إجراء القياس في الموسم الزراعي 2007/2006 لحدوث الصقيع والجفاف الذي أدى صغر وجفاف المجموع الخضري) (جدول 41)، وجدت فروقاً معنوية في تفاعل السلالة مع الموقع على مستوى معنوية ($P \leq 0.01$) بالنسبة لصفة التفاف الورقة في وقت الصباح، وعلى مستوى معنوية ($P \leq 0.001$) بالنسبة لصفتي التفاف الورقة في وقت الظهيرة، ودليل التفاف الورقة. ويبين جدول (42) تحليل التباين المشترك لموسمي الزراعة 2006/2005-2007/2006 لبعض الصفات الفيزيولوجية التي سنحت الظروف أخذها في موقع تل حديا، ولم يتمكن من أخذها في موقع بريدا نظراً للجفاف الشديد الذي حدث في هذا الموقع، عدم وجود فروق معنوية في التفاعل بين السلالات والسنوات لصفة محتوى الماء النسبي بمرحلة Z75 في تل حديا، وفي مرحلة Z45 في بريدا، بالإضافة لصفة درجة حرارة الورقة في مرحلة Z75، دالاً على السلوكية المتماثلة للسلالات في هذه الصفات خلال موسمي الزراعة، في حين وجدت فروق معنوية عالية ($P \leq 0.01$) في صفة درجة حرارة الغطاء النباتي في مرحلة Z75. كما تبين نتائجنا التأثير القوي والأكبر للموقع في الصفات الفيزيولوجية: لون الورقة Z45 (جدول 39)، والناقلية المسامية Z45، والمقاومة المسامية Z45، وجود الطبقة الشمعية، وقوة الإنبات والتغطية النباتية، وبمستوى معنوية عالية ($P \leq 0.001$)، محدثاً تبايناً كبيراً في صفة الناقلية المسامية Z45، وقدره 83% من التباين الكلي (جدول 40)، حيث انخفض متوسط صفة الناقلية المسامية Z45، بنسبة 56% في موقع بريدا الممثل للموقع الجاف بالمقارنة مع موقع تل حديا (المروي رياً تكملياً)، في حين وبشكل عكسي تفوق موقع بريدا على تل حديا في صفة المقاومة المسامية Z45، حيث أحدث الموقع أكبر تباين لهذه الصفة من التباين الكلي قُدر بنحو 83% (جدول، 40)، وانخفض متوسطها في موقع تل حديا بنسبة 56% عن موقع بريدا (جدول 43)، أي ازدادت قيم المقاومة المسامية حتى 91% في ظروف محدودية الماء وهذا رد طبيعي للنبات للمحافظة على المحتوى المائي في الموقع

الأكثر، وبالنسبة لصفة لون الورقة خلال مرحلة Z45 أحدث الموقع تبايناً قدره: 32 % من التباين الكلي (جدول، 39)، حيث أن تجمع الصانعات الخضراء عند سطوح الخلايا بشكل متعامد مع الإشعاع الشمسي الساقط يجعل معدل امتصاص الضوء أعظمياً وبالتالي زيادة في التمثيل الضوئي. تميز موقع بريدا بألوان الأوراق الخضراء الداكنة (50.45) متفوقاً معنوياً على موقع تل حديا (45.55) (جدول، 43). لم تسجل أية فروق معنوية بين الموقعين بالنسبة لصفة لون الورقة بمرحلة Z75 جدول (39)، حيث يكون الضوء مثالياً لعملية التمثيل الضوئي في المراحل المتقدمة من عمر النبات وخلال فصل الربيع، فيصبح الامتصاص عالي للأشعة الضوئية وتزداد قيمة لون الورقة في كلا الموقعين. وجد تأثيراً معنوياً على مستوى ($P < 0.05$) لدى دراسة تأثير الموقع في ارتفاع درجة حرارة الورقة بمرحلة Z45 (جدول، 39)، وكانت في بريدا أعلى منها في تل حديا (25.8، 23.5) على الترتيب (جدول، 43)، وذلك نتيجة لانغلاق المسام وزيادة المقاومة المسامية في هذا الموقع، أما صفة درجة حرارة الغطاء النباتي التي تعبر عن كفاءة النبات في الاستمرار في فقد الماء بالتبخر - نتح وتبريد المجموع الهوائي للحيلولة دون الارتفاع الزائد للحرارة، فقد أحدث الموقع تبايناً قدره 50 % من التباين الكلي على مستوى ($P < 0.01$) (جدول، 39). ولوحظ وجود فروقاً معنوياً بين الموقعين في صفتي قوة الإنبات والتغطية النباتية، وصفة وجود الطبقة الشمعية على مستوى معنوية عالية ($P \leq 0.001$) (جدول، 40)، حيث تفوق موقع تل حديا ذو منطقة الاستقرار الثانية معنوياً على موقع بريدا (منطقة الاستقرار الثالثة) في صفة قوة الإنبات والتغطية النباتية (جدول، 43) دالاً على أهمية توافر الماء في استرساء البادرات ونموها لتغطية سطح التربة، كانت صفة وجود الطبقة الشمعية أكثر الصفات تأثراً بالبيئة، حيث ازدادت بزيادة الجفاف والحرارة، حيث سجل التأثير القوي والمعنوي لتفاعل السنوات مع السلالات (جدول، 40)، والتأثير المختلف بين السنوات، حيث تفوق موقع تل حديا على بريدا في الموسم الزراعي 2006/2005، في حين تفوق موقع بريدا على تل حديا في هذه الصفة خلال الموسم الزراعي 2007/2006، ويعود ذلك إلى تأثير الحرارة الأعلى المترامن مع قلة الأمطار في شهر نيسان في تل حديا.

يبين الجدول (41) وجود فروق معنوية ($P \leq 0.05$) بين موقعي تل حديا وبريدا في صفة النفاذ الورقة في الصباح وفي وقت الظهيرة، وكان النفاذ الورقة في وقت الصباح أعلى في تل حديا مما هي عليه في بريدا، وعلى عكس ذلك في وقت الظهيرة (جدول، 43)، دالاً على استجابة الأوراق الفيزيولوجية لكل من درجة الحرارة وتوافر الماء، ففي الصباح حيث لا أهمية للاختلاف الحراري بين الموقعين، وتوفر الماء في تل حديا تتعرض الأوراق لأكبر قدر من الأشعة الشمسية لتقوم بعمليات التمثيل الضوئي فتأخذ بذلك قيمة عالية صباحاً، بينما

نجد في وقت الظهيرة كان التفاف الأوراق في بريدا أكبر مما يدل على استجابة هذه الصفة للعجز المائي في بريدا. يبين الجدول (42) وجود الفروق المعنوية بين السنوات ($P \leq 0.05$) في صفة درجة حرارة الغطاء النباتي بمرحلة Z75 مما يؤكد استجابة النبات لتغيرات درجة الحرارة.

جدول (39): يبين مجموع مربع الانحرافات من التحليل التباين المشترك (موقعين \times موسمين) للصفات الفيزيولوجية (لون الورقة، درجة حرارة الورقة، درجة حرارة الغطاء النباتي) لـ 18 سلالة الناتجة عن تهجين (لحن \times شام) و 6 أصناف من القمح القاسي مزروعة في موقعين (بريدا، تل حديا) خلال موسمي الزراعة 2006/2005 - 2007/2006

CUPT45 درجة حرارة الغطاء النباتي بمرحلة Z45	CUPL45 درجة حرارة الورقة	LC75 لون الورقة بمرحلة Z75	LC45 لون الورقة بمرحلة Z45	df	Source of variation	مصدر التباين
63	193	21	15	2	Rep	المكررات
635 **	367 *	2 NS	1725 ***	1	Loc	الموقع
93 NS	384 *	87 NS	12 NS	1	Year	السنوات
21 NS	77 NS	131 *	3 NS	1	Loc \times Year	السنوات \times المواقع
229	275	104	65	6	Residual 1	الخطأ التجريبي 1
7 NS	13 NS	569 ***	1343 ***	23	G	السلالات
27	30	508	388	46	G \times Rep	السلالات \times المكررات
9 NS	8 NS	429 **	212 NS	23	G \times Loc	السلالات \times المواقع
4	5	285	257	23	G \times Year	السلالات \times السنوات
15 NS	34 ***	177 NS	179 NS	23	G \times Year \times Loc	السلالات \times السنوات \times المواقع
65	100	1084	1175	138	Residual 2	الخطأ التجريبي 2
1268	1487	3396	2768	287	Total	التباين الكلي
50	25	0.05	32			التباين للموقع
7	26	2.6	0.2			التباين للسنوات
0.6	0.9	17	25			التباين للسلالات

*معنوي على مستوى 0.05، ** معنوي على مستوى 0.01، ***معنوي على مستوى 0.001، NS: غير معنوي.

جدول (40): يبين مجموع مربع الانحرافات من التحليل التباين المشترك (موقعين \times موسمين) للصفات الفيزيولوجية (النافلية المسامية، المقاومة المسامية، قوة الإنبات والتغطية النباتية، الطبقة الشمعية) لـ 18 سلالة الناتجة عن تهجين (لحن \times شام1) و 6 أصناف من القمح القاسي مزروعة في موقعين (بريدا، تل حديا) خلال موسمي الزراعة 2007/2006 - 2006/2005

WAX الطبقة الشمعية على النبات	VG قوة الإنبات والتغطية النباتية	45SR المقاومة المسامية بمرحلة Z45	45SC النافلية المسامية بمرحلة Z45	df درجة الحرية	مصدر التباين Source of variation	
1.5	2	4	4	2	Re	المكررات
35.4 ***	93 ***	279 ***	279 ***	1	Loc	الموقع
160.5 ***	12 *	7 *	7 *	1	Year	السنوات
509.3 ***	5 NS	25 **	25 **	1	Loc \times Year	المواقع \times السنوات
6.8	9	5	5	6	Residual 1	الخطأ التجريبي 1
268.8 ***	76 ***	7 ***	7 ***	23	G	السلالات
29.7	34	6	6	46	G \times Rep	السلالات \times المكررات
80.2 ***	27 NS	9 ***	9 ***	23	G \times Loc	السلالات \times المواقع
85.1 ***	51 ***	8 ***	8 ***	23	G \times Year	السلالات \times السنوات
74.2 ***	43 **	7 ***	7 ***	23	G \times Year \times Loc	السلالات \times السنوات \times المواقع
156.7	121	19	19	138	Residual 2	الخطأ التجريبي 2
1408.2	473	377	377	287	Total	التباين الكلي
2.5	20	83	83			التباين للموقع
11	2.5	1.9	1.9			التباين للسنوات
19	16	1.9	1.9			التباين للسلالات

*معنوي على مستوى 0.05، ** معنوي على مستوى 0.01، *** معنوي على مستوى 0.001، NS: غير معنوي.

جدول (41): يبين مجموع مربع الانحرافات من التحليل التباين المشترك (موقعين) للصفات الفيزيولوجية (التفاف الورقة في وقت الصباح، والظهيرة، ودليل التفاف الورقة) لـ 18 سلالة الناتجة عن تهجين (لحن × شام1) و6 أصناف من القمح القاسي مزروعة في موقعين (بريدا، تل حديا) خلال موسم الزراعة 2006/2005

LRI 6	LRpm 6	LRam 6	df درجة الحرية	مصدر التباين Source of variation
دليل التفاف الورقة	التفاف الورقة في وقت الظهيرة	التفاف الورقة في وقت الصباح		
0.9	1	11	2	Re
0.8	28	34	1	Loc
NS	*	*		
1	2	3	2	Residual 1
56.6	130	63	23	G
***	***	***		
14.7	32	16	46	G × Rep
24.4	46	30	23	G × Loc
***	***	**		
12.4	28	22	46	Residual 2
110.9	267	178	143	Total
0.7	10	19		التباين للمواقع
51	49	16		التباين للسلالات

*معنوي على مستوى 0.05، ** معنوي على مستوى 0.01، ***معنوي على مستوى 0.001، NS: غير معنوي.

جدول (42): يبين مجموع مربع الانحرافات من التحليل التباين المشترك (موسمين) للصفات الفيزيولوجية (محتوى الماء النسبي 45-75Z، درجة حرارة الغطاء النبات 57Z، درجة حرارة الورقة 57Z) لـ 18 سلالة الناتجة عن تهجين (لحن × شام1) و6 أصناف من القمح القاسي مزروعة في موقعين (بريدا، تل حديا) خلال موسمي الزراعة 2007/2006 - 2006/2005

CUPL75 TH	CUPT75 TH	RWC45 BR	RWC75 TH	df درجة الحرية	مصدر التباين Source of variation
درجة حرارة الورقة بمرحلة 75Z	درجة حرارة الغطاء النباتي بمرحلة 75Z	محتوى الماء النسبي % بالمرة 45	محتوى الماء النسبي % بالمرة 75Z		
140	220	310	440	2	Re
1325	1302	4837	2978	1	Year
NS	*	NS	NS		
163	50	743	755	2	Residual 1
15	24	1546	1978	23	G
NS	***	NS	*		
23	47	2391	1842	46	G × Rep
29	10	1244	1854	23	G × Year
NS	***	NS	NS		
66	19	2039	2243	46	Residual 2
1760	1671	13109	12090	143	Total
75	78	37	25		التباين للسنوات
0.9	1.4	12	16		التباين للسلالات

*معنوي على مستوى 0.05، ***معنوي على مستوى 0.001، NS: غير معنوي.

جدول (43): متوسط قيم الصفات الفيزيولوجية (لون الورقة 45، لون الورقة 75، درجة حرارة الورقة Z45، الناقلية المسامية Z45، المقاومة المسامية Z45 ، قوة الإنبات والتغطية النباتية، الطبقة الشمعية على النبات، ونسبة انخفاضها في موقع الجفاف(بريدا) لنحو 18 سلالة الناتجة عن تهجين (لحن × شام1) و6 أصناف من القمح القاسي مقارنة بموقع تل حديا خلال موسمي الزراعة 2006/2005 - 2007/2006

De %	TH	BR	De %	TH7	BR7	De %	TH6	BR6	
10	45.55	50.45	10	45.65	50.76	9	45.46	50.14	LC 45 لون الورقة بمرحلة Z45
0.29	51.64	51.79	-2	51.77	50.57	3	51.52	53.01	LC 75 لون الورقة بمرحلة Z75
9	23.52	25.78	13	21.85	25.14	5	25.19	26.41	CUPL 45 درجة حرارة الورقة بمرحلة Z45
11	24.35	27.32	13	23.51	27.02	9	25.19	27.61	CUPT 45 درجة حرارة الغطاء النباتي بمرحلة Z45
56	-1.55	-3.52	37	-2.00	-3.38	70	-1.10	-3.66	SC45 الناقلية المسامية بمرحلة Z45
56	1.551	3.519	37	2.002	3.382	70	1.101	3.67	SR45 المقاومة المسامية بمرحلة Z45
15	7.51	6.38	12	7.174	6.306	18	7.847	6.444	VG قوة الإنبات والتغطية النباتية
12	4.97	5.67	54	2.889	6.25	39	7.042	5.083	WAX الطبقة الشمعية على النبات
-	-	-	-	-	-	34	7.19	4.74	LRam التفاف الورقة في وقت الصباح
-	-	-	-	-	-	61	3.78	6.10	LRpm التفاف الورقة في وقت الظهيرة
-	-	-	-	-	-	6	2.7	2.86	LRI دليل التفاف الورقة

ولدى دراسة التباين بين السلالات وجد ما يلي:

إن عدم وجود فروق معنوية بين السنوات في صفة لون الورقة بمرحلة Z45 في التحليل المشترك (مواقع × موسمي الزراعة 2006/2005 - 2007/2006) جدول (39) يؤكد السلوك الواحد للطرز الوراثية خلال الموسمين، ويتيح مناقشة نتائج متوسط الموسمين لكل موقع، فبيّن الجدول (44) وجود فروق معنوية عالية ($P \leq 0.001$) بين السلالات في موقعي الدراسة، وكان متوسط لون الورقة في مرحلة Z45 الأعلى في السلالتين (LC2204, 2304) ذات الإنتاجية والثباتية الإنتاجية المنخفضة، حيث لم تظهر فروقاً معنوياً بينهما، بينما وجدت فروقاً معنوية بين السلالة (LC2304) وبقية السلالات ذات الإنتاجية والثباتية الإنتاجية المنخفضة في كلا الموقعين، بينما لم تسجل فروقاً معنوية مع كل من السلالات ذات الإنتاجية والثباتية الإنتاجية العالية التالية (LC2103, LC2301, LC2504) في بريدا، والسلالة (LC 2504) في تل حديا، بالإضافة لتفوقها المعنوي على الأب لحن في بريدا، وكلا الأبوين في تل حديا، وكان أعلى انخفاض في هذه الصفة حققته السلالة (LC2006).

سلكت السلالات في صفة لون الورقة بمرحلة Z75 أيضاً سلوكاً واحداً في كلا الموسمين، فيتبين من الجدول (45) وجود فروق معنوية عالية ($P \leq 0.001$) في هذه الصفة بين السلالات في موقع بريدا فقط، واحتل الأب شام1 المرتبة الأولى متفوقاً معنوياً على كافة السلالات،

وجاءت السلالة (LC2110) من السلالات ذات الإنتاجية والثباتية الإنتاجية العالية في المرتبة الثانية، متفوقة على السلالة (LC2221) من السلالات ذات الإنتاجية والثباتية الإنتاجية العالية، وعلى السلالات (LC2006, LC2204, LC2222, LC2322, LC2508) من السلالات ذات الإنتاجية والثباتية الإنتاجية المنخفضة، لم تسجل في ثل حديا أية فروق معنوية بين السلالات في هذه الصفة، مع ملاحظة أن أكثر السلالات ذات الإنتاجية والثباتية الإنتاجية المنخفضة تراوح فيها انخفاض صفة متوسط لون الورقة في مرحلة امتلاء الحبوب في بريدا عن ثل حديا بين 8-12% ، باعتبار أن زيادة لون الورقة يعد صفة من الصفات الجيدة في موقع الجفاف، مما يؤكد أن السلالات القادرة على احتفاظها باللون الأخضر في ظروف الجفاف، وبالتالي قيامها بامتصاص أكبر كمية من الأشعة الشمسية الهامة في عملية التمثيل الضوئي خلال فترة امتلاء الحبوب هي القادرة على إعطاء الغلة الحبية الأعلى، معبرة بذلك على السلوكية الفيزيولوجية لهذه السلالات حيث قامت بتجميع الصانعات الخضراء عند سطوح الخلايا بشكل متعاود مع الإشعاع الشمسي الساقط، مما جعل معدل امتصاص الضوء أعظمية مما زاد في معدل التمثيل الضوئي، وبالتالي بالإنتاجية.

وبين الجدول (46) عدم وجود فروق معنوية بين السلالات في صفة درجة حرارة الورقة المأخوذة في المرحلة بين حبلان السنابل وطرد السنابل أي مرحلة 45 حسب زادوك في موقعي الدراسة. كما يبين أن درجة حرارة الورقة لجميع السلالات في موقع بريدا كانت أعلى مما هي عليه في ثل حديا، وهذا يعود لمقدرة السلالات على إغلاق المسام وزيادة المقاومة المسامية في موقع الجفاف. أما بالنسبة لصفة درجة حرارة الغطاء النباتي بمرحلة Z45 (التي تعبر عن كفاءة النبات في الاستمرار في فقد الماء بالتبخر - نتح وتبريد المجموع الهوائي للحيلولة دون الارتفاع الزائد للحرارة) ، لم تسجل أية فروق معنوية بين السلالات في كلا الموقعين، حيث أعطت كافة السلالات مع الأبوين درجة حرارة للغطاء النباتي أكبر في موقع بريدا مما هي عليه في موقع ثل حديا (جدول، 47).

جدول (44): يبين متوسط ونسبة انخفاض صفة لون الورقة بمرحلة Z45 لنحو 18 سلالة قمح قاسي الناتجة عن تهجين (لحن × شام1) بالمقارنة مع الأبوين في موقعي التجربة بريدا (زراعة بعلية) وتل حديا (زراعة مروية) وخلال موسمي الزراعة 2006/2005 - 2007/2006

De %	TH LC45	BR LC45	السلالات
10	d-k 44.42	bcd 49.27	LC2014
12	defg 45.2	abc 51.52	LC2103
11	d-k 44.32	bcd 49.7	LC2106
5	cde 46.85	bcd 49.42	LC2110
13	gk 42.52	bcd 48.92	LC2215
6	defg 44.87	bcd 47.8	LC2221
11	defg 45.92	abc 51.65	LC2301
10	e-k 43.67	bcd 48.33	LC2305
3	abc 49.7	abcd 50.98	LC2504
17	k 41.35	bcd 49.65	LC2006
11	fgk 43.28	bcd 48.53	LC2012
9	abcd 47.73	ab 52.72	LC2204
6	e-k 43.6	d 46.43	LC2222
8	a 50.57	a 54.82	LC2304
6	defg 45.68	bcd 48.38	LC2306
6	cdef 46.52	bcd 49.67	LC2322
12	e-k 43.55	bcd 49.65	LC2417
8	e-k 43.72	cd 47.65	LC2508
9	defg 44.92	bcd 49.63	لحن(P1)
11	cdef 46.57	abc 52.58	شام1(P2)
	1.421	2.016	S.E.D.
	5	7	C.V.%
	***	***	المعنوية S.g.

LC45BR: متوسط لون الورقة بمرحلة Z45 في بريدا، LC45TH: متوسط لون الورقة بمرحلة Z45 في تل حديا، De: نسبة الإنخفاض، S.E.: الخطأ القياسي، C.V.: معامل الاختلاف، *** معنوي على مستوى 0.001.

جدول (45): يبين متوسط ونسبة انخفاض لون الورقة بمرحلة Z75 لنحو 18 سلالة قمح قاسي الناتجة عن تهجين (لحن × شام1) بالمقارنة مع الأبوين في موقعي التجربة بريدا (زراعة بعلية) وتل حديا (زراعة مروية) وخلال موسمي الزراعة 2006/2005 - 2007/2006

السلالات	BR LC75	TH LC75	De %
LC2014	51.35	52.32	a -2
LC2103	52.75	51.87	a 2
LC2106	50.83	50.42	a 1
LC2110	54.65	51.47	a 6
LC2215	53	49.87	a 6
LC2221	50.27	49.13	a 2
LC2301	53.22	52.08	a 2
LC2305	51.37	51.1	a 1
LC2504	51.65	53.05	a -3
LC2006	49.47	50.33	a -2
LC2012	50.95	51.45	a -1
LC2204	50.35	52.55	a -4
LC2222	47.85	53.37	a -12
LC2304	52.85	53.65	a -2
LC2306	52.77	49.83	a 6
LC2322	49.12	53.05	a -8
LC2417	53.75	51.33	a 5
LC2508	47.77	50.37	a -5
لحن(P1)	50.65	50.72	a 0
شام1(P2)	57.92	51.62	a 11
S.E.	1.596	1.632	
C.V.%	5	6	
المعنوية S.g.	***	NS	

LC75BR: متوسط لون الورقة بمرحلة Z45 في بريدا ، LC75TH: متوسط لون الورقة بمرحلة Z45 في تل حديا، De: نسبة الانخفاض، S.E.: الخطأ القياسي، C.V.: معامل الاختلاف، *** معنوي على مستوى 0.001، NS: غير معنوي.

جدول (46): يبين متوسط و نسبة انخفاض درجة حرارة الورقة بمرحلة Z45 لنحو 18 سلالة قمح قاسي الناتجة عن تهجين (لحن × شام1) بالمقارنة مع الأبوين في موقعي التجربة بريدا (زراعة بعلية) وتل حديا (زراعة مروية) وخلال موسمي الزراعة 2006/2005 - 2007/2006

السلالات	BR CUPL45	TH CUPL45	De %
LC2014	a 26.01	a 23.42	10
LC2103	a 24.8	a 23.39	6
LC2106	a 25.92	a 23.36	10
LC2110	a 25.21	a 23.27	8
LC2215	a 25.66	a 23.39	9
LC2221	a 25.83	a 23.5	9
LC2301	a 25.8	a 23.1	10
LC2305	a 25.72	a 23.54	8
LC2504	a 26.26	a 23.38	11
LC2006	a 25.84	a 23.88	8
LC2012	a 25.99	a 23.66	9
LC2204	a 25.74	a 23.2	10
LC2222	a 25.59	a 23.68	7
LC2304	a 25.87	a 23.81	8
LC2306	a 25.81	a 23.72	8
LC2322	a 26.26	a 23.57	10
LC2417	a 25.92	a 23.74	8
LC2508	a 25.98	a 23.42	10
لحن(P1)	a 25.9	a 23.78	8
شام1(P2)	a 25.26	a 23.33	8
S.E.	0.5233	0.4804	
C.V.%	4	4	
المعنوية S.g.	NS	NS	

CUPL45BR: متوسط درجة حرارة الورقة Z45 في بريدا، CUPL45TH6، CUPL45TH: متوسط درجة حرارة الورقة Z45 في تل حديا، De: نسبة الانخفاض، S.E.: الخطأ القياسي، C.V.: معامل الاختلاف، NS: غير معنوي.

جدول (47): يبين متوسط و نسبة انخفاض درجة حرارة الغطاء النباتي بمرحلة Z45 لنحو 18 سلالة قمح قاسي الناتجة عن تهجين (لحن × شام1) بالمقارنة مع الأبوين في موقعي التجربة بريدا (زراعة بعلية) وتل حديا (زراعة مروية) وخلال موسمي الزراعة 2006/2005 - 2007/2006

السلالات	BR CUPT45	TH CUPT45	De %
LC2014	a 27.48	a 24.34	11
LC2103	a 26.45	a 24.64	7
LC2106	a 27.31	a 24.02	12
LC2110	a 27.11	a 24.30	10
LC2215	a 27.37	a 24.54	10
LC2221	a 27.3	a 24.41	11
LC2301	a 27.13	a 24.23	11
LC2305	a 27.33	a 24.21	11
LC2504	a 27.35	a 24.11	12
LC2006	a 27.55	a 24.51	11
LC2012	a 27.21	a 24.06	12
LC2204	a 27.68	a 24.32	12
LC2222	a 27.21	a 24.37	10
LC2304	a 27.72	a 24.54	11
LC2306	a 27.24	a 24.45	10
LC2322	a 27.55	a 24.30	12
LC2417	a 27.34	a 24.65	10
LC2508	a 27.21	a 24.13	11
لحن(P1)	a 27.58	a 24.62	11
شام1 (P2)	a 27.18	a 24.2	11
S.E.	0.46	0.268	
C.V.%	3	3	
المعنوية S.g.	NS	NS	

CUPT45BR: متوسط درجة حرارة الغطاء النباتي Z45 في بريدا، THCUPT45: متوسط درجة حرارة الغطاء النباتي Z45 في تل حديا، De: نسبة الانخفاض، S.E.: الخطأ القياسي، C.V.: معامل الاختلاف، NS: غير معنوي.

وفي دراسة التباين بين السلالات بالنسبة لصفة الناقلية المسامية، يبين الجدول (48) متوسط ونسبة انخفاض صفة الناقلية المسامية بمرحلة Z45 في الموسمين الزراعيين لكل موقع، لتأثر هذه الصفة بالبيئة، وهذا ما يفسر وجود الفروق المعنوية العالية ($P \leq 0.001$) بين السلالات في الموسم الزراعي 2006/2005 في موقع تل حديا، ووجود فروق معنوية على مستوى ($P \leq 0.01$) في الموسم الزراعي 2006/2005 في موقع بريدا، وفي الموسم الزراعي 2007/2006 في موقع تل حديا، ولم تسجل فروق معنوية بين السلالات في موقع بريدا في الموسم الزراعي 2007/2006. تميزت السلالة (LC2305) من السلالات ذات الإنتاجية والثباتية الإنتاجية العالية بناقلية مسامية عالية في موقع بريدا في الموسم الزراعي 2006/2005، وفي الموسم الزراعي 2007/2006 في تل حديا، وقد تفوقت معنوياً في موقع بريدا على السلالات (LC2006, LC2012, LC2322) من السلالات ذات الإنتاجية والثباتية الإنتاجية المنخفضة، إضافة لتفوقها المعنوي على الأب لحن في موسم 2006/2005 في بريدا، وتفوقت معنوياً على السلالات (LC2301, LC2221, LC2215) من السلالات ذات الإنتاجية والثباتية الإنتاجية العالية، بالإضافة لتفوقها على الأب شام1 في الموسم الزراعي 2007/2006 في موقع تل حديا، وكانت السلالة (LC2006) الأكثر انخفاضاً في صفة الناقلية المسامية خلال المواسم والمواقع، وخاصة في الموسم الزراعي 2006/2005، واحتلت السلالة (LC2301) من السلالات ذات الإنتاجية والثباتية الإنتاجية العالية المرتبة الثانية في موقع تل حديا في موسم 2006/2005 متفوقة معنوياً على معظم السلالات ذات الإنتاجية والثباتية الإنتاجية المنخفضة (LC006, LC2204, LC222, LC2304, LC2306, LC2322, LC2508) بالإضافة لتفوقها على كلا الأبوين.

يعتبر انغلاق المسام رد فعل أولي سريع للجفاف، وذلك لخفض كمية الماء التي تفقدها النباتات في النتج، وهي صفة ذات تأثيراً عالياً بالبيئة، لذلك كان تفاعل السلالات مع المواقع والسنوات في صفة المقاومة المسامية بمرحلة Z45، ذا معنوية عالية (جدول، 40)، وذات قيم عالية في الموقع الجاف (جدول، 43). ويبين الجدول (49) أن الأب لحن في موقع بريدا في الموسم الزراعي 2006/2005 حقق أعلى قيمة لهذه الصفة متفوقاً معنوياً على السلالات (LC2103, LC2305, LC2215, LC2110) من السلالات ذات الإنتاجية والثباتية الإنتاجية العالية، وعلى السلالات (LC2306, LC2304, LC2222) ذات الإنتاجية والثباتية الإنتاجية المنخفضة، متفوقاً بذلك على الأب شام1، ولهذه الصفة خصوصية، لارتفاع قيمتها في موقع الجفاف، على عكس ما يجب أن تكون عليه في موقع توفر الماء، لأن انغلاق المسام يؤدي إلى الحد من عملية التبادل الغازي، وانتثار غاز CO_2 ، ولأن خروج الماء على هيئة بخار ماء عبر المسامات خلال عملية التبادل الغازي يقابله دخول غاز CO_2 ، لذلك وجد أن السلالة

(LC2304) من السلالات ذات الإنتاجية والثباتية الإنتاجية المنخفضة حققت أعلى قيمة في موقع تل حديا (استقرار ثنائية) في الموسم الزراعي 2006/2005، متفوقة في قيمة المقاومة المسامية على معظم السلالات (LC2014, LC2103, LC2110, LC2215, LC2301,) (LC2305) من السلالات ذات الإنتاجية والثباتية الإنتاجية العالية، وعلى السلالات (LC2012, LC2204, LC2417) من السلالات ذات الإنتاجية والثباتية الإنتاجية المنخفضة، وأيضاً في موقع تل حديا وفي الموسم الزراعي 2007/2006 حققت السلالة (LC2417) من السلالات ذات الإنتاجية والثباتية الإنتاجية المنخفضة أعلى قيمة لهذه الصفة بعد الأب شام1، متفوقة بقيمة هذه الصفة معنوياً على السلالتين (LC2106, LC2305) من السلالات ذات الإنتاجية والثباتية الإنتاجية العالية، وعلى السلالة (LC2012) من السلالات ذات الإنتاجية والثباتية الإنتاجية المنخفضة، ولم توجد أية فروق معنوية بين السلالات جدول (49).

يبين الجدول (50) وجود فروق معنوية على مستوى عالي ($P \leq 0.001$) في متوسط ونسبة انخفاض صفة قوة الإنبات والتغطية النباتية، بين السلالات في موقع بريدا في الموسم الزراعي 2006/2005، وفي موقع تل حديا في الموسم الزراعي 2007/2006، ووجود فروق معنوية على مستوى ($P \leq 0.01$) بين السلالات في موقع بريدا في الموسم الزراعي 2007/2006، وقد تميز الأب شام1 بهذه الصفة في كلا الموقعين والموسمين، متفوقاً في موقع بريدا على السلالات (LC2014, LC2215, LC2221, LC2301, LC2305) من السلالات ذات الإنتاجية والثباتية الإنتاجية العالية، وعلى السلالات (LC2006, LC2222, LC2304) من السلالات ذات الإنتاجية والثباتية الإنتاجية المنخفضة، بينما لم يكن هناك فرقاً معنوياً في موقع تل حديا في الموسم نفسه، وأظهرت السلالات قدرتها الكامنة في الاسترساء وتغطية التربة في موقع توفرت فيها الظروف المناسبة، لذلك لم تسجل أية فروق معنوية بين السلالات في هذه الصفة في تل حديا في الموسم الزراعي 2006/2005، في حين ظهرت هذه الفروق المعنوية في الموسم الزراعي 2007/2006 حيث انخفضت درجة الحرارة وتعرض النبات للصقيع. وحققت السلالة (LC2215) من السلالات ذات الإنتاجية والثباتية الإنتاجية العالية أعلى قيمة في موقع تل حديا (استقرار ثنائية)، متفوقة على السلالة (LC2014) من السلالات ذات الإنتاجية والثباتية الإنتاجية العالية، وعلى معظم السلالات ذات الإنتاجية والثباتية الإنتاجية المنخفضة (LC2006, LC2204, LC2222, LC2304, LC2306, LC2322)، أما في موقع بريدا فقد حققت السلالة (LC2103) من السلالات ذات الإنتاجية والثباتية الإنتاجية العالية أعلى قيمة، كما تشاطر هذه السلالة المرتبة الأولى السلالة (LC2221) من السلالات ذات الإنتاجية والثباتية الإنتاجية العالية، وتفوقتا معنوياً على السلالات (LC2006, LC2006,

LC2012, LC2417) من السلالات ذات الإنتاجية والثباتية الإنتاجية المنخفضة في موقع بريدا في الموسم الزراعي 2007/2006.

جدول (48): يبين متوسط ونسبة انخفاض الناقلية المسامية بمرحلة Z45 لنحو 18 سلالة قمح قاسي الناتجة عن تهجين (لحن × شام1) بالمقارنة مع الأبوين في موقعي التجربة بريدا (زراعة بعليّة) وتل حديا (زراعة مروية) وخلال موسمي الزراعة 2006/2005 - 2007/2006

De %		TH7 SC45		BR7 SC45		De %		TH6 SC45		BR6 SC45		السلالات
83	abc	0.198	ab	0.034	94	abc	0.477	abcd	0.0269	LC2014		
85	abc	0.195	ab	0.030	89	bcdef	0.394	ab	0.0431	LC2103		
85	ab	0.178	ab	0.027	89	gkl	0.267	abcd	0.0295	LC2106		
80	abc	0.174	ab	0.034	93	abcde	0.416	abcd	0.0295	LC2110		
77	cd	0.171	ab	0.040	92	abcd	0.444	abc	0.0338	LC2215		
68	bc	0.138	ab	0.044	90	efgk	0.293	abcd	0.0295	LC2221		
65	cd	0.136	a	0.047	95	ab	0.540	abcd	0.0295	LC2301		
75	a	0.134	ab	0.034	89	abcde	0.407	a	0.0467	LC2305		
73	abc	0.131	ab	0.036	95	defgk	0.315	cd	0.0163	LC2504		

75	abc	0.124	ab	0.031	94	gkl	0.266	cd	0.0163	LC2006
71	ab	0.122	ab	0.035	97	a	0.571	bcd	0.0187	LC2012
65	abc	0.115	ab	0.040	94	cdefg	0.362	abcd	0.0205	LC2204
66	abc	0.108	ab	0.037	89	efgk	0.302	abc	0.0318	LC2222
63	abc	0.098	ab	0.036	85	kl	0.220	abc	0.0338	LC2304
71	abc	0.094	ab	0.027	87	efgk	0.292	ab	0.0386	LC2306
62	abc	0.084	ab	0.032	95	fgkl	0.280	cd	0.0148	LC2322
65	cd	0.077	ab	0.027	94	abcde	0.417	abcd	0.0235	LC2417
59	abc	0.074	ab	0.030	90	gkl	0.261	abcd	0.0258	LC2508

67	abc	0.123	ab	0.040	95	gkl	0.260	d	0.0130	لحن(P1)
-11	d	0.036	ab	0.040	88	fgkl	0.274	abc	0.0318	شام1 (P2)

	1.559		0.157			0.1131		0.245		S.E.
	27		8			18		12		C.V.%
	**		NS			***		**		S.g. المعنوية

SC45BR6: الناقلية المسامية Z45 في بريدا في موسم 2005/2006، SC45BR7: الناقلية المسامية Z45 في بريدا في موسم 2006/2007، SC45TH6: الناقلية المسامية Z45 في تل حديا في موسم 2005/2006، SC45TH7: الناقلية المسامية Z45 في تل حديا في موسم 2006/2007، De: نسبة الانخفاض، S.E.: الخطأ القياسي، C.V.: معامل الاختلاف، ** معنوي على مستوى 0.01، *** معنوي على مستوى 0.001، NS: غير معنوي.

جدول (49): يبين متوسط ونسبة انخفاض المقاومة المسامية بمرحلة Z45 لنحو 18 سلالة قمح قاسي الناتجة عن تهجين (لحن × شام1) بالمقارنة مع الأبوين في موقعي التجربة بريدا (زراعة بعلية) وتل حديا (زراعة مروية) وخلال موسمي الزراعة 2006/2005 - 2007/2006

السلالات	BR6 SR45	TH6 SR45	De %	BR7 SR45	TH7 SR45	De %
LC2014	3.71	0.75	80	3.339	2.09	37
LC2103	3.21	0.93	71	3.467	2.02	42
LC2106	3.70	1.34	64	3.561	1.37	62
LC2110	3.44	0.88	74	3.312	2.28	31
LC2215	3.36	0.82	76	3.211	2.51	22
LC2221	3.63	1.24	66	3.187	2.38	25
LC2301	3.63	0.62	83	3.134	2.54	19
LC2305	3.18	0.91	71	3.395	1.22	64
LC2504	4.12	1.16	72	3.381	1.58	53
LC2006	4.06	1.34	67	3.432	1.61	53
LC2012	3.90	0.56	86	3.375	1.27	62
LC2204	3.88	1.02	74	3.199	1.79	44
LC2222	3.50	1.21	65	3.257	1.75	46
LC2304	3.44	1.52	56	3.328	2.02	39
LC2306	3.21	1.24	61	3.688	2.02	45
LC2322	4.00	1.29	68	3.378	2.16	36
LC2417	3.88	0.88	77	3.702	2.62	29
LC2508	3.71	1.36	63	3.489	1.99	43
لحن(P1)	4.40	1.35	69	3.202	2.11	34
شام1(P2)	3.54	1.31	80	3.34	3.35	0
S.E	0.231	0.112		0.125	0.316	
C.V.%	11	18		6	27	
S.g. المعنوية	**	***		NS	**	

SR45BR6: المقاومة المسامية Z45 في بريدا في موسم 2005/2006، SR45BR7: المقاومة المسامية Z45 في بريدا في موسم 2006/2007، SR45TH6: المقاومة المسامية Z45 في تل حديا في موسم 2005/2006، SR45TH7: المقاومة المسامية Z45 في تل حديا في موسم 2006/2007، De: نسبة الانخفاض، S.E: الخطأ القياسي، C.V: معامل الاختلاف، ** معنوي على مستوى 0.01، *** معنوي على مستوى 0.001 NS: غير معنوي.

جدول (50): يبين متوسط ونسبة انخفاض قوة الإنبات والتغطية النباتية لنحو 18 سلالة قمح قاسي الناتجة عن تهجين (لحن × شام1) بالمقارنة مع الأبوين في موقعي التجربة بريدا (زراعة بعلية) وتل حديا (زراعة مروية) وخلال موسمي الزراعة 2006/2005 - 2007/2006

السلالات	BR6 VG	TH6 VG	De %	BR7 VG	TH7 VG	De %
LC2014	def 5.3	a 8.3	36	abcdef 6	efg 6	0
LC2103	abcde 7	a 7.7	9	a 7.3	abc 8.3	12
LC2106	abcd 7.3	a 8.7	16	abcdef 5.7	abcdefg 7	19
LC2110	abcde 7	a 8.3	16	abc 6.7	abcd 8	16
LC2215	ef 5	a 7.7	35	abcde 6.3	ab 8.5	26
LC2221	cdef 6	a 7.7	22	a 7.3	abcdef 7.3	0
LC2301	ef 4.7	a 8	41	abcdef 5.7	abcdefg 7	19
LC2305	cdef 6	a 7.7	22	abcd 6.7	abcdefg 7.2	7
LC2504	bcdef 6.7	a 8	16	abcde 6.3	abcde 7.7	18

LC2006	def 5.7	b 6	5	f 4.7	fg 5.7	18
LC2012	abcde 7	a 8.3	16	bcdef 5.3	bcdefg 6.8	22
LC2204	bcdef 6.3	a 8.7	28	abcdef 5.7	efg 6.2	8
LC2222	ef 4.7	a 8.3	43	abcdef 5.7	efg 6.2	8
LC2304	def 5.7	a 8	29	abcde 6.3	cdefg 6.7	6
LC2306	bcdef 6.3	ab 7	10	abcd 6.7	defg 6.5	-3
LC2322	bcdef 6.7	a 8	16	ab 7	g 5.5	-27
LC2417	abc 8	ab 7.3	-10	cdef 5	abcdefg 7	29
LC2508	bcdef 6.7	a 8	16	ab 7	abcdefg 7	0

لحن(P1)	cdef 6	a 7.7	22	ab 7	abc 8.3	16
شام1(P2)	ab 8.3	a 7.7	-8	abcde 6.3	abcd 8	21
S.E..	0.87	0.69		18	0.73	
C.V.%	17	11		13	9	
S.g. المعنوية	***	NS		**	***	

VGBR6: قوة الإنبات والتغطية النباتية في بريدا في موسم 2005/2006، VGTH7: قوة الإنبات والتغطية النباتية في بريدا في موسم 2006/2007، VGTH6: قوة الإنبات والتغطية النباتية في تل حديا في موسم 2005/2006، VGTH7: قوة الإنبات والتغطية النباتية في تل حديا في موسم 2006/2007، De: نسبة الانخفاض، S.E.: الخطأ القياسي، C.V.: معامل الاختلاف، ** معنوي على مستوى 0.01، *** معنوي على مستوى 0.001، NS: غير معنوي.

يبين الجدول (51) وجود فروق معنوية على مستوى عالي ($P \leq 0.001$) بين السلالات لصفة تواجد الطبقة الشمعية في الموسم الزراعي 2006/2005 في موقعي الدراسة، وفي الموسم الزراعي 2007/2006 في موقع بريدا، حيث لم تسجل أية فروق معنوية في موقع تل حديا في الموسم الزراعي 2007/2006 وذلك للهطول المطري الذي حدث في شهر أيار، دالاً على أن صفة وجود الطبقة الشمعية هي صفة وراثية متأثرة بالبيئة، تزداد بزيادة إجهاد الجفاف والحرارة المرتفعة، علماً بأن تأثيرها بالإجهاد الحراري كان أكبر من تأثيرها بالإجهاد المائي، وقد تميزت السلالة (LC2014) من السلالات ذات الإنتاجية والثباتية الإنتاجية العالية بوجود الطبقة الشمعية في كلا الموقعين وكلا الموسمين، مثلها مثل السلالة (LC2417) من السلالات ذات الإنتاجية والثباتية الإنتاجية المنخفضة بوجود الطبقة الشمعية في كلا الموقعين وكلا الموسمين.

ولدى دراسة صفة التفاف الورقة في وقت الصباح والظهيرة ومعامل الالتفاف في الموسم الزراعي 2006/2005 جدول (52) لوحظ وجود فروق معنوية عالية ($P \leq 0.001$) بين السلالات في صفة عدم التفاف الورقة في وقت الصباح في موقع بريدا الممثل لموقع الجفاف، حيث يدل الرقم العالي على عدم التفاف الورقة في وقت الصباح وبذلك عدم تقليل مساحة المسطح الورقي المعرض بشكل مباشر لأشعة الشمس في الصباح، وذلك يعود إلى أن درجة الحرارة في هذا الموقع غير مرتفعة، تفوقت السلالة (LC2215) من السلالات ذات الإنتاجية والثباتية الإنتاجية العالية معنوياً على السلالات (LC2106, LC2110, LC2221, LC2301,) من السلالات ذات الإنتاجية والثباتية الإنتاجية العالية، وعلى كافة السلالات ذات الإنتاجية والثباتية الإنتاجية المنخفضة التي تميزت بقيم قليلة، بالإضافة إلى الأبوين، وقد تميزت هذه السلالة في قدرة أوراقها على التكيف، بحيث سجلت رقماً عالياً في بريدا في عدم التفاف أوراقها في وقت الصباح ففردت أوراقها، وعرضت كامل مسطحها الورقي لالتقاط الأشعة الضوئية لتقوم بعملية التمثيل الضوئي، بالإضافة لتفافها في وقت الظهيرة، مقللة من كمية الطاقة الضوئية الممتصة لتحول دون ارتفاع درجة حرارة الأوراق، وهذا ما عبر عنه ما يسمى معامل التفاف الورقة الأعلى في كل من بريدا وتل حديا لهذه السلالة، أما في موقع تل حديا حيث لا يوجد ضرورة للتغيرات الفيزيولوجية التي يبديها النبات لأن درجة الحرارة منخفضة صباحاً عادة، أي لا يوجد إجهاد جفافي وجد أن جميع السلالات فتحت أوراقها لتتلقى أكبر قدر ممكن من الأشعة الشمسية الواجبة لعملية التمثيل الضوئي لذا لم توجد أية فروق معنوية في الموسم الزراعي 2006/2005.

سلكت السلالات سلوكاً متمثلاً في الموسمين الزراعيين في موقع بريدا لصفة محتوى الماء النسبي في مرحلة Z45 سلكت السلالات سلوكاً متمثلاً في الموسمين الزراعيين في موقع

بريدا جدول (53)، ولم تسجل أية فروق معنوية بين السلالات، بينما تباينت السلالات في مرحلة Z75 في قدرتها على الاحتفاظ بمحتوى ماء نسبي في تل حديا، بحيث أعطت السلالات (LC2014, LC2106, LC2110, LC2221, LC2305, LC2504) من السلالات ذات الإنتاجية والثباتية الإنتاجية العالية محتوى ماء نسبي مرتفع دون فروق معنوية بينها، وفي السلالات (LC2006, LC2012, LC2204, LC2222, LC2304, LC2322, LC2508) من السلالات ذات الإنتاجية والثباتية الإنتاجية المنخفضة، وقد تفوقت السلالة (LC2012) على السلالات (LC2103, LC2215, LC2301) من السلالات ذات الإنتاجية والثباتية الإنتاجية العالية، وعلى السلالات (LC2306, LC2417) من السلالات ذات الإنتاجية والثباتية الإنتاجية المنخفضة جدول (53).

درست صفة درجة حرارة الورقة في مرحلة Z75 فقط في موقع تل حديا، جدول (53) حيث لم تسجل أية فروق معنوية بين السلالات عند هذه الصفة، بعكس صفة درجة حرارة الغطاء النباتي إذ وجدت فروقا معنوية على مستوى ($P \leq 0.01$)، وكانت جميع السلالات ذات الإنتاجية والثباتية الإنتاجية المنخفضة ذات درجة حرارة غطاء نباتي عالي مع عدم وجود فروق معنوية بينها.

جدول (51): يبين متوسط ونسبة انخفاض الطبقة الشمعية على النبات لنحو 18 سلالة قمح قاسي الناتجة عن تهجين (لحن × شام 1) بالمقارنة مع الأبوين في موقعي التجربة بريدا (زراعة بعلية) وتل حديا (زراعة مروية) وخلال موسمي الزراعة 2006/2005 - 2007/2006

السلالات	BR6 WAX	TH6 WAX	De %	BR7 WAX	TH7 WAX	De %
LC2014	a 7.3	a 8.7	-19	a 9	a 3.3	63
LC2103	abc 6	bcdef 6.3	-5	abcde 6.7	ab 2.7	60
LC2106	e 3	f 5	-67	cdefgk 5.7	ab 3	47
LC2110	cde 4	f 5	-25	abcde 6.7	ab 3	55
LC2215	abc 6	ab 8.3	-38	ab 8.3	ab 2.7	67
LC2221	de 3.7	g 3	19	cdefgk 5.7	b 2.3	60
LC2301	abcd 5.7	ab 8.3	-46	abc 8	ab 3	63
LC2305	abcd 5.3	a 8.7	-64	efgk 5	ab 2.7	46
LC2504	abcd 5.3	cdef 6	-13	defgk 5.3	a 3.3	38
LC2006	ab 6.3	ab 8.3	-32	abcd 7.7	ab 2.7	65
LC2012	bcde 4.3	abcde 7.3	-70	defgk 5.3	ab 3	43
LC2204	de 3.7	a 8.7	-135	bcdefg 6	ab 3	50
LC2222	bcde 4.7	abcd 8	-70	abcde 6.7	ab 3	55
LC2304	abcd 5.7	abcde 7.7	-35	abc 8	ab 3	63
LC2306	abcd 5.7	f 5.3	7	abcde 7	ab 3	57
LC2322	abcd 5.7	abcd 8	-40	abcde 7	ab 3	57
LC2417	a 7	a 9	-29	abcd 7.7	ab 2.7	65
LC2508	abcd 5.3	a 8.7	-64	bcdefg 6	ab 3	50
لحن (P1)	abc 6	a 9	-50	abcd 7.7	a 3.3	57
شام 1 (P2)	de 3.7	fg 4.7	-27	bcdef 6.3	ab 3	52
S.E.	0.88	0.88		1.02	0.32	
C.V.%	21	15		20	14	
S.g. المعنوية	***	***		***	NS	

WAXBR6: الطبقة الشمعية على النبات في بريدا في موسم 2005/2006، WAXBR7: الطبقة الشمعية على النبات في بريدا في موسم 2006/2007، WAXTH6: الطبقة الشمعية على النبات في تل حديا في موسم 2005/2006، WAXTH7: الطبقة الشمعية على النبات في تل حديا في موسم 2006/2007، De: نسبة الانخفاض، S.E.: الخطأ القياسي، C.V.: معامل الاختلاف، *** معنوي على مستوى 0.001، NS: غير معنوي.

جدول (52): يبين متوسط ونسبة انخفاض عدم التفاف الورقة في وقت الصباح والتفافها في وقت الظهيرة ومعامل الالتفاف لنحو 18 سلالة قمح قاسي الناتجة عن تهجين (لحن × شام1) بالمقارنة مع الأبوين في موقعي التجربة بريدا (زراعة بعليّة) وتل حديا (زراعة مروية) وخلال موسمي الزراعة 2006/2005

De %	LRI TH6		LRI BR6		De %	LRpm TH6		LRpm BR6		De %	LRam TH6		LRam BR6		السلالات
31	abc	3.2	gkl	2.2	52	abc	5	g	3.3	-6	cd	6.3	abc	6.7	LC2014
-															
56	bcdef	2.7	b	4.2	38	cdefg	3.7	cdef	6	4	abc	7.3	ab	7	LC2103
-															
22	efg	1.8	kl	2.2	46	fgk	2.7	f	5	39	abcd	7	defgk	4.3	LC2106
17	abcde	2.9	fgkl	2.4	20	bcdef	4	f	5	36	abc	7.3	defg	4.7	LC2110
-															
74	abc	3.1	a	5.4	41	bcde	4.3	ab	7.3	0	abc	7.3	a	7.3	LC2215
-															
33	efg	1.8	efgkl	2.4	68	gk	2.3	ab	7.3	57	ab	7.7	gk	3.3	LC2221
28	abc	3.2	fgkl	2.3	43	bcdef	4	abc	7	59	a	8	gk	3.3	LC2301
8	ab	3.8	bcd	3.5	0	ab	5.3	ef	5.3	4	abcd	7	abc	6.7	LC2305
20	a	4	cdef	3.2	14	a	6	abc	7	30	bcd	6.7	defg	4.7	LC2504
-															
22	bcdef	2.7	cde	3.3	52	cdefg	3.7	a	7.7	41	abc	7.3	defgk	4.3	LC2006
-															
56	fg	1.6	efgk	2.5	60	gk	2.3	def	5.7	39	abcd	7	defgk	4.3	LC2012
-															
22	abc	3.2	bc	3.9	45	bcdef	4	ab	7.3	34	a	8	cde	5.3	LC2204
4	cdefg	2.3	kl	2.2	51	defgk	3.3	abcde	6.7	53	abcd	7	gk	3.3	LC2222
-															
61	cdefg	2.3	bcd	3.7	55	defgk	3.3	ab	7.3	29	abcd	7	def	5	LC2304
8	cdef	2.6	efgkl	2.4	38	cdefg	3.7	cdef	6	43	abcd	7	efgk	4	LC2306
-															
19	cdefg	2.1	efgkl	2.5	43	efgk	3	ef	5.3	33	abcd	7	defg	4.7	LC2322
3	abcde	2.9	defg	2.8	20	bcdef	4	f	5	22	abc	7.3	bcd	5.7	LC2417
23	abcd	3	fgkl	2.3	19	bcde	4.3	ef	5.3	39	abcd	7	defgk	4.3	LC2508
11	defg	1.9	l	1.7	53	fgk	2.7	def	5.7	59	abc	7.3	k	3	لحن (P1)
31	abcde	2.9	kl	2	40	bcdef	4	abcd	6.7	59	abc	7.3	k	3	شام1 (P2)
	0.4901		0.3914			0.6545		0.5166			0.529		0.6621		S.E.
	23		17			22		10			9		18		C.V.%
	***		***			***		***			NS		***		S.g. المعنوية

LRamBR6: متوسط عدم التفاف الورقة في وقت الصباح في بريدا في موسم 2005/2006، LRamTH6: عدم التفاف الورقة في وقت الصباح في بريدا في موسم 2005/2006، LRIBR6: معامل التفاف الورقة في بريدا في موسم 2005/2006، LRTH6: معامل التفاف الورقة في تل حديا في موسم 2005/2006، De: نسبة الانخفاض، S.E.: الخطأ القياسي، C.V.: معامل الاختلاف، *** معنوي على مستوى 0.001، NS: غير معنوي.

جدول (53): يبين متوسط الصفات الفيزيولوجية (درجة حرارة الورقة ودرجة حرارة الغطاء النباتي في المرحلة Z75 في تل حديا، ومحتوى الماء النسبي في المرحلة Z45 ، Z75 في بريدا وتل حديا لـ 18 سلالة قمح قاسي الناتجة عن تهجين (لحن × شام1) بالمقارنة مع الأبوين وخلال موسمي الزراعة 2006/2005 - 2007/2006

CUPT75 TH	CUPL75 TH	RWC75 TH	RWC45 BR	السلالات
abc 28.6	a 27.6	abcd 82.9	abc 67.7	LC2014
de 27.2	a 26.4	bcd 78.4	abc 64.7	LC2103
cde 27.8	a 26.9	abc 83.3	bc 60	LC2106
de 27.7	a 27	abcd 80.2	bc 61.1	LC2110
abcd 28.4	a 27.4	bcd 77.9	abc 65.7	LC2215
abc 28.6	a 27.6	ab 83.6	abc 66.8	LC2221
abcd 28.2	a 27.5	bcd 78.2	bc 61.9	LC2301
cde 27.8	a 27	abcd 79.8	abc 64.5	LC2305
abcd 28.1	a 27.3	ab 84	abc 68.5	LC2504
ab 28.8	a 27.3	ab 84.3	abc 67.9	LC2006
abc 28.7	a 27.4	a 88.4	ab 70.8	LC2012
abcd 28.3	a 27.4	abcd 80.3	abc 63.8	LC2204
abcd 28.1	a 27.5	abcd 81.6	abc 66.7	LC2222
abcd 28.1	a 27.3	ab 85.7	abc 66.3	LC2304
abcd 28.4	a 27.4	bcd 76.2	bc 59.5	LC2306
abcd 28.1	a 27.2	ab 84.1	abc 65.3	LC2322
abcd 28.4	a 27.5	d 73.1	abc 65.5	LC2417
ab 28.7	a 27.3	abcd 81.4	a 72.6	LC2508
a 28.9	a 27.4	ab 85.5	bc 62.9	لحن(P1)
ab 28.7	a 26.7	cd 73.6	bc 62.9	شام1(P2)
0.3685	1.7816	4.032	3.844	S.E.
2	4	9	10	C.V%
**	NS	*	NS	المعنوية Sg

CUPT75TH: درجة حرارة الغطاء النباتي في المرحلة Z75 ، CUPL75TH: متوسط درجة حرارة الورقة في المرحلة Z75 في تل حديا،
RWC45BR: محتوى الماء النسبي في المرحلة Z45 في بريدا، RWC75TH: محتوى الماء النسبي في المرحلة Z75 في تل حديا، *معنوي على
مستوى 0.05، ** معنوي على مستوى 0.01، NS: غير معنوي.

أما بالنسبة لمعايير الجفاف كمؤشرات فيزيولوجية، يتبين من جدول تحليل التباين المشترك لمعايير الجفاف رقم (54): وجود فروق معنوية في التفاعل بين السنوات × السلالات في جميع معايير الجفاف المدروسة، وبمستوى معنوية ($P \leq 0.001$) كدليل تحمل الجفاف TOL، ومتوسط قيم الإنتاج الهندسي GMP، ومعامل تحمل الجفاف STI، في حين كان الفرق المعنوي في التفاعل بين السنوات × السلالات على مستوى ($P \leq 0.01$) في صفة دليل الحساسية للجفاف SSI، مما يتطلب مناقشة كل سنة على حده. وجد في الموسم الزراعي 2006/2005، فروق معنوية بين السلالات وعلى مستوى عالى ($P \leq 0.001$) في جميع معايير الجفاف المدروسة (جدول، 55)، كما تفوقت السلالة (LC2221) معنوياً في جميع معايير الجفاف (دليل تحمل الجفاف TOL، ودليل الحساسية للجفاف SSI، ومتوسط قيم الإنتاج الهندسي GMP، معامل تحمل الجفاف STI)، وتفوقت على مجموعة السلالات ذات الإنتاجية والثباتية الإنتاجية المنخفضة في كل من دليل الحساسية للجفاف SSI، متوسط قيم الإنتاج الهندسي GMP، ومعامل تحمل الجفاف STI، كما تفوقت السلالة (LC2106) على جميع السلالات ذات الإنتاجية والثباتية الإنتاجية المنخفضة في دليل الحساسية للجفاف SSI، وتفوقت على جميع السلالات ذات الإنتاجية والثباتية الإنتاجية المنخفضة باستثناء السلالة (LC2222) في كل من متوسط قيم الإنتاج الهندسي GMP، معامل تحمل الجفاف STI، أما بالنسبة لدليل تحمل الجفاف TOL فقد تفوقت السلالة (LC2301) على السلالات (LC2106, 2110, 2215, 2305) من السلالات ذات الإنتاجية والثباتية الإنتاجية العالية، وعلى السلالات (LC2006, LC2508, LC2417, LC2012) من السلالات ذات الإنتاجية والثباتية الإنتاجية المنخفضة، بالإضافة لتفوقها على الأب شام1، وتشابهها مع الأب لحن، دالاً على ضعف هذه الصفة كمعيار لفرز السلالات لتحمل الجفاف، وهذا ما أكدته نتائج الموسم الزراعي 2007/2006 (جدول، 56) حيث لم تلاحظ أية فروق بين كافة السلالات في هذه الصفة، في حين وجدت فروقاً عالية المعنوية ($P \leq 0.001$) في بقية معايير الجفاف. تفوقت السلالتين (LC2106, LC2110) تفوقاً معنوياً على جميع السلالات ذات الإنتاجية والثباتية الإنتاجية المنخفضة في متوسط قيم الإنتاج الهندسي GMP، وفي معامل تحمل الجفاف STI باستثناء السلالة (LC2322)، أما بالنسبة لصفة دليل الحساسية للجفاف SSI فقد أكد تفوق السلالة (LC2106) على جميع السلالات ذات الإنتاجية والثباتية الإنتاجية المنخفضة، وتفوق السلالة (LC2110) على معظم السلالات ذات الإنتاجية والثباتية الإنتاجية المنخفضة باستثناء السلالتين (LC2306, LC2322).

الجدول (54): يبين مجموع مربع الانحرافات من التحليل التباين المشترك لمعايير تحمل الإجهاد: دليل تحمل الجفاف TOL، متوسط قيم الإنتاج الهندسي GMP، دليل الحساسية للجفاف SSI، معامل تحمل الجفاف STI، لنحو 18 سلالة الناتجة عن تهجين (لحن × شام1) و6 أصناف من القمح القاسي مزروعة في موقعين وموسمي زراعة 2006/2005-2007/2006

STI ×10 ⁻³	SSI ×10 ⁻⁴	GMP ×10 ⁴	TOL ×10 ⁴	df درجة الحرية	مصدر التباين Source of variation	
1	0.42	4.1	68.96	2	Re	المكررات
365 **	0.05 NS	1363 **	343.9 *	1	Year	السنوات
2	0.18	5	9	2	Residual 1	الخطأ التجريبي 1
118 ***	140 ***	393 ***	1465 ***	23	G	السلالات
36	240	121	1053	46	G × Rep	السلالات × المكررات
55.9 ***	440 **	153 ***	1041 ***	23	G × Year	السلالات × السنوات
24	329	83	609	46	Residual 2	الخطأ التجريبي 2
594	2480	2122	4589	143	Total	التباين الكلي
61	0.02	64	5			التباين للسنوات
19	56	18	31			التباين للسلالات

*معنوي على مستوى 0.05، ** معنوي على مستوى 0.01، *** معنوي على مستوى 0.001، NS: غير معنوي.

الجدول (55): يبين متوسط معايير تحمل الإجهاد: دليل تحمل الجفاف TOL، متوسط قيم الإنتاج الهندسي GMP، دليل الحساسية للجفاف SSI، معامل تحمل الجفاف STI حدًا لنحو 18 سلالة قمح قاسي الناتجة عن تهجين (لحن × شام) بالمقارنة مع الأبوين خلال موسم الزراعة 2006/2005

STI 6		GMP 6		SSI 6		TOL 6		السلالات
cdefg	0.154	cdefg	1435	cdefgkl	1.005	abc	3264	LC2014
bcdef	0.168	bcdef	1517	cdef	0.996	abc	3281	LC2103
abc	0.205	abc	1679	a	0.896	cd	2610	LC2106
efgk	0.134	efgk	1354	ab	0.928	c	2317	LC2110
defgk	0.135	efgk	1353	cdef	0.986	bcd	2811	LC2215
a	0.249	a	1847	ab	0.927	abcd	3150	LC2221
ab	0.219	ab	1733	cdefgk	1.002	a	3884	LC2301
defgk	0.137	defgk	1364	bcde	0.967	bcd	2649	LC2305
defgk	0.140	defgk	1381	fgkl	1.038	ab	3569	LC2504
l	0.057	l	880	l	1.069	bcd	2653	LC2006
fgk	0.121	fgk	1288	cdef	0.993	bcd	2744	LC2012
fgk	0.118	fgk	1272	fgkl	1.041	abc	3379	LC2204
bcdef	0.170	bcdef	1525	defgkl	1.011	ab	3554	LC2222
fgk	0.121	fgk	1280	efgkl	1.021	abcd	3052	LC2304
efgk	0.134	efgk	1354	cdefg	1.001	abcd	2970	LC2306
kl	0.093	k	1131	gkl	1.060	abcd	3223	LC2322
gkl	0.100	gk	1166	fgkl	1.029	bcd	2889	LC2417
gkl	0.101	gk	1179	efgkl	1.019	bcd	2791	LC2508
abcd	0.195	abcde	1627	defgkl	1.016	a	3814	لحن (P1)
bcde	0.189	abcde	1610	ab	0.918	bcd	2733	شام (P2)
0.018		84.7		0.018		271		S.E.
20		10		3		15		C.V%
***		***		***		***		المعنوية Sg

*** معنوي على مستوى 0.001.

الجدول (56): يبين متوسط معايير تحمل الإجهاد: دليل تحمل الجفاف TOL، متوسط قيم الإنتاج الهندسي GMP، دليل الحساسية للجفاف SSI، معامل تحمل الجفاف STI حدياً لنحو 18 سلالة قمح قاسي الناتجة عن تهجين (لحن × شام1) بالمقارنة مع الأبوين خلال موسم الزراعة 2007/2006

STI7		GMP7		SSI7		TOL7		السلالات
abc	0.067	abcd	941	abc	0.98	abc	3331	LC2014
cdef	0.038	cdefg	724	defg	1.01	abc	3512	LC2103
a	0.104	a	1168	ab	0.96	abc	3556	LC2106
ab	0.086	ab	1063	abc	0.98	ab	3663	LC2110
abcde	0.054	bcdef	839	cdefg	1.00	ab	3695	LC2215
abc	0.066	abcd	934	bcd	0.98	abc	3362	LC2221
abc	0.070	abcd	960	bc	0.98	abc	3446	LC2301
abc	0.069	abcd	950	bcd	0.99	abc	3550	LC2305
abc	0.074	abc	990	bcd	0.99	ab	3794	LC2504
f	0.020	g	504	fg	1.03	abc	3235	LC2006
cdef	0.035	defg	682	defg	1.01	abc	3347	LC2012
def	0.029	efg	627	fg	1.03	a	3896	LC2204
cdef	0.038	cdefg	714	defg	1.01	abc	3241	LC2222
cdef	0.036	cdefg	694	defg	1.01	abc	3269	LC2304
bcde	0.044	cdefg	757	cdef	1.00	abc	3229	LC2306
abcde	0.055	bcdef	854	cdefg	1.00	ab	3750	LC2322
cdef	0.039	cdefg	726	defg	1.02	a	3878	LC2417
bcde	0.044	cdefg	754	cdefg	1.00	abc	3272	LC2508
cdef	0.035	cdefg	707	defg	1.01	abc	3459	لحن (P1)
abc	0.066	ab	1050	a	0.95	bc	3055	شام1 (P2)
1.26		87.3		0.009		217		S.E.
13		18		2		11		C.V%
***		***		***		NS		المعنوية Sg

*** معنوي على مستوى 0.001، NS: غير معنوي.

5. 2. 3. 2. دراسة علاقة الارتباط بين الصفات الفيزيولوجية والغلة الحبية ومكوناتها:

يمكن أن يساعد تحليل الصفات الفيزيولوجية في التربية من أجل غلة عالية وثباتية إنتاجية في ظروف الجفاف. إلا أن فعالية استخدام الصفات المورفوفيزيولوجية في عملية الانتخاب في ظروف الجفاف تعتمد على ارتباط هذه الصفات بالغلة الحبية ودرجة توريثها. تبين الجداول (57، 58، 59) الممثلة لقيم معامل الارتباط بين الصفات الفيزيولوجية والغلة الحبية ومكوناتها لنحو 18 سلالة من عشيرة لحن × شام 1، و 6 أصناف من القمح القاسي خلال موسمي الزراعة 2006/2005، 2007/2006 في كل من موقعي بريدا، وتل حديا ما يلي:

في الموسم الزراعي 2006/2005:

في موقع بريدا: وجود علاقة ارتباط معنوية سالبة بين الغلة الحبية وكل من الصفات الفيزيولوجية : وجود الطبقة الشمعية، والتفاف الورقة في وقت الظهيرة، إضافة إلى معامل التفاف الورقة، وارتباط موجب ومعنوي لصفة لون الورقة في مرحلة Z75 مع مكون الغلة عدد السنابل/م² دالاً على أن الاستمرار في عملية النقاط الأشعة الضوئية والاستمرار في عملية التمثيل الضوئي في الأوراق، يقابل زيادة امتلاء الحبوب في الاضطرابات وتحولها إلى سنابل يمكن عدها كسنابل منتجة، مما يفسر العلاقة السالبة بينها وبين وزن الألف حبة، أثرت صفة وجود الطبقة الشمعية بشكل معنوي وسلب في عدد السنابل /م²، حيث عملت زيادة الطبقة الشمعية على تخفيض معدلات التمثيل الضوئي، وهذا ما يؤكد علاقتها السالبة مع عدد الحبوب في السنبلة في ظروف الجفاف، كما وجدت علاقة ارتباط موجبة ومعنوية بين صفة مقاومة المسامية في مرحلة Z45 ووزن الألف حبة، حيث يساعد الاحتفاظ بقدر من المياه في زيادة نقل نواتج التمثيل الضوئي من المصدر إلى المصب (جدول، 57).

في موقع تل حديا: لوحظ وجود علاقة ارتباط موجبة بين الغلة الحبية ولون الورقة في مرحلة Z45 والمرحلة Z75، ووجدت علاقة ارتباط سالبة ومعنوية بين صفة وجود الطبقة الشمعية وعدد السنابل/م²، حيث عملت في تل حديا أيضاً على تخفيض معدلات التمثيل الضوئي، كما أن الاحتفاظ بمحتوى نسبي عالي في مرحلة Z75 ساعد على نقل منتجات التمثيل الضوئي إلى المصب فكان هناك علاقة ارتباط موجبة مع وزن الألف حبة جدول (57).

في الموسم الزراعي 2007/2006:

في موقع بريدا: أدى الجفاف القاسي والصقيع لتكوين مجموعاً خضرياً صغيراً جداً، فكانت الاستجابات الفيزيولوجية للنبات قليلة ولم يكن لها تأثير في الغلة الحبية ومكوناتها، ووجدت علاقة ارتباط معنوية سالبة بين لون الورقة في مرحلة Z45 ومحتوى الماء النسبي، حيث لم تكن هذه السلالات قادرة على امتصاص الماء الكافي في فترة الجفاف لاستمرار الأوراق بعملية التمثيل الضوئي جدول (58).

في موقع تل حديا: وجدت علاقة ارتباط موجبة ومعنوية بين الغلة الحبية والناقلية المسامية، حيث تساعد الناقلية العالية للمسام في زيادة الغلة، وذلك لأنه كلما زادت قيم الناقلية زادت كمية غاز ثاني أكسيد الكربون المنتشر عبر الورقة، ما سيؤدي إلى زيادة معدل البناء الضوئي وهذا بالتالي سيؤثر في معدل وقيم الكتلة الحيوية من خلال زيادة عدد السنابل/م²، وعدد الحبوب في السنبل وهذا ما يفسر علاقة الارتباط الموجبة والمعنوية على مستوى 0.01 بين الناقلية المسامية وكل من مكوني الغلة السابقين ومن ثم علاقتها بالغلة الحبية، كما وجدت علاقة ارتباط سالبة ومعنوية بين درجة حرارة كل من ورقة العلم والغطاء النباتي مع الغلة الحبية، حيث زادت درجة الحرارة نتيجة زيادة المقاومة المسامية وانغلاق المسام، ما أثر سلباً في كفاءة النبات التمثيلية، وأدت إلى تعطيل التأثير المبرد للنتج، مما أدى إلى انخفاض عدد السنابل/م²، وعدد الحبوب في السنبل وهذا ما يفسر العلاقة الموجبة والمعنوية بين المقاومة المسامية وارتفاع حرارة الورقة والغطاء النباتي في مرحلة Z45، مع وجود علاقة سالبة ومعنوية بين الأخيرة وكل من مكوني الغلة عدد السنابل/م²، وعدد الحبوب في السنبل، وبالتالي تأثيرها السلبي في الغلة الحبية جدول (58).

متوسط موسمي الزراعة 2006/2005 - 2007/2006:

في موقع يريدا: يبين الجدول (59) وجود علاقة ارتباط موجبة ومعنوية بين كل من الصفات الفيزيولوجية لون الورقة في مرحلة امتلاء الحبوب، ودرجة حرارة الورقة والغطاء النباتي في مرحلة Z45، بالإضافة إلى علاقة موجبة ومعنوية مع المقاومة المسامية، بينما كانت العلاقة سالبة ومعنوية بين وجود الطبقة الشمعية والغلة الحبية، لوحظ أيضاً أن علاقات الارتباط السابقة للصفات الفيزيولوجية هي بنفس المعنوية والسلبية والإيجابية مع مكون الغلة عدد الحبوب في السنبل، الذي يعد من أكثر مكونات الغلة ارتباطاً بالغلة الحبية في الموقع الممثل للجفاف مؤكداً على أهمية هذه الصفات في ظروف الجفاف، أما بالنسبة لوزن الألف حبة فقد لوحظ ارتباط معنوي وموجب لصفتي درجة حرارة الورقة والغطاء النباتي في مرحلة Z45، بالإضافة لصفة مقاومة المسام، بينما ارتبطت كل من الصفات لون الورقة بمرحلة امتلاء الحبوب، ودرجة حرارة الورقة والمقاومة المسامية بعلاقة سلبية ومعنوية مع عدد السنابل/م² (جدول، 59).

أدى انغلاق المسام لارتفاع درجة حرارة الورقة، ودرجة حرارة الغطاء النباتي وذلك للتخفيض من معدل النتج نتيجة انغلاق المسام، أي انخفاض عملية التبريد وهذا ما فسر وجود العلاقة الموجبة والمعنوية على مستوى 0.01 بين المقاومة المسامية وارتفاع درجة حرارة الورقة والغطاء النباتي خصوصاً في مرحلة النشاط الأمثل لعملية التمثيل الضوئي.

في موقع ثل حديا: وجدت علاقة ارتباط معنوي وموجب لصفة لون الورقة في مرحلة Z45 بالغلة الحبية ، بينما لم تسجل هذه العلاقة في موقع بريدا، وذلك لترافق زيادة التمثيل الضوئي مع زيادة الحاجة للماء المتوفر في موقع ثل حديا، كما لوحظ بالنسبة لصفة لون الورقة بمرحلة فترة امتلاء الحبوب أن السلالات التي كانت قادرة على احتفاظها باللون الأخضر وبالتالي القيام بامتصاص الأشعة الضوئية اللازمة لعملية التمثيل الضوئي خلال فترة امتلاء الحبوب كانت قادرة على إعطاء غلة حبية مرتفعة، فارتبط لون الورقة بمرحلة امتلاء الحبوب بالغلة الحبية معنوياً وبشكل موجب، كما وجد ارتباط معنوي وموجب بين صفة الناقلية المسامية والغلة الحبية، وذلك لارتباط هذه الصفة مع مكوني الغلة الحبية: عدد السنابل/م² وعدد الحبوب في السنبل ($r = 0.34, 0.64$) على الترتيب، قابل ارتفاع قيمة الناقلية المسامية انخفاض معنوي في وزن الألف حبة، وذلك لزيادة نقل نواتج التمثيل الضوئي ووصولها إلى أكبر عدد من الحبوب في السنبل، دالاً على قدرة الطرز الوراثية على تكوين عدد من الحبوب في السنبل جاهزة لاستقبال نواتج التمثيل الضوئي، ولكن ذات سعة تخزينية للحبوب قليلة نسبياً.

ولمعرفة طبيعة علاقة الارتباط أي معرفة مقدار التغير في التابع Y (الغلة الحبية) المرتبط بتغير المتحولات المستقلة الأخرى بمقدار وحدة واحدة، وبمعنى آخر دراسة علاقات الارتباط بشكل كمي، تم دراسة معامل الانحدار المتعدد بين الصفات الفيزيولوجية والغلة الحبية، وباعتبار الغلة الحبية كتابع مستقل وجد أنه في كلا الموقعين لم يوجد معنوية للانحدار المتعدد للصفات الفيزيولوجية المرتبطة للغلة الحبية دالاً على التأثير غير المباشر للصفات الفيزيولوجية في الغلة الحبية.

جدول (57): يبين علاقات الارتباط بين الصفات الفيزيولوجية والغلة الحبية ومكوناتها لـ 18 سلالة قمح قاسي ناتجة عن تهجين (لحن × شام1) و 6 أصناف من القمح القاسي في موقعي التجربة بريد (زراعة بعلية) وتل حديا (زراعة مروية) خلال موسم الزراعة 2006/2005

GY	TKW	GRSP	SPM2	RWC 45,75	LRI	LR pm	LR am	WAX	VG	SR 45	SC 45	CUPL 45	CUPT 45	CL 75	CL 45	
.385 **	.041	.040	.130	.071	-.065	-.050	-.050	-.183	.041	-.033	-.019	.060	.060	.320 **		CL 45
.309 **	-.165	-.092	.142	-.129	.058	.116	-.207	.161	-.090	.080	-.076	.253 *	.253 *		.233 *	CL 75
-.106	-.179	-.060	.084	-.35 **	-.206	-.052	-.47 **	-.119	-.014	-.054	.061	1.0 **		-.179	-.116	CUPT 45
-.106	-.179	-.060	.084	-.35 **	-.206	-.052	-.47 **	-.119	-.014	-.054	.061		.937 **	-.185	-.152	CUPL 45
.089	.111	.230	-.015	.129	.121	.086	.065	.273*	.080	-.93 **		-.202	-.152	.026	-.160	SC 45
-.142	-.036	-.230	-.091	-.122	-.119	-.049	-.123	-.241 *	-.027		-.84 **	.192	.211	-.014	.180	SR 45
.080	.136	.187	.203	.039	-.136	-.065	-.132	-.172		-.105	.163	.175	.181	.075	.177	VG
.085	.066	.071	-.241*	.176	.259 *	.233 *	.015		-.143	.163	-.114	.032	.043	.010	-.165	WAX
-.018	.119	-.042	-.003	.298 *	.226	-.167		-.205	-.103	.042	.068	.020	.121	-.162	.043	Lram
-.083	-.222	.143	-.033	-.045	.916 **		-.276 *	.419 **	.007	-.165	.139	-.092	-.085	.085	-.039	LRpm
-.101	-.197	.117	-.023	.063		.764 **	.382 **	.229	-.056	-.130	.171	-.080	-.009	-.014	-.019	LRI
.106	.40 **	.119	-.284 *		.049	.041	.043	.087	.092	.054	.001	.405 **	.378 **	-.234 *	-.022	RWC 45,75
.096	-.38 **	.293 *		-.175	-.114	-.221	.109	-.31 **	-.066	-.094	.108	-.137	-.128	.251 *	.223	SPM2
.217	.103		.092	-.126	-.062	.114	-.275 *	-.32 **	.160	-.122	.205	-.085	.007	.155	.021	GRSP
.38 **		-.39 **	-.199	.026	-.130	-.187	.103	.265 *	-.112	.296 *	-.273 *	.174	.195	-.239 *	-.071	TKW
	-.104	.329 **	.232 *	-.126	-.245 *	-.262 *	-.001	-.36 **	.105	-.208	.219	.020	.028	.089	-.027	GY

القيم العلوية : علاقة الارتباط في موقع تل حديا، القيم السفلية: علاقة الارتباط في موقع بريد، LC45: لون الورقة بمرحلة Z45، LC75: لون الورقة بمرحلة Z75، SC45: الناقلية المسامية بمرحلة Z45، SR45: المقاومة المسامية بمرحلة Z45، CUPL45: درجة حرارة الورقة بمرحلة Z 45، CUPT45: درجة حرارة الغطاء النباتي بمرحلة Z45، VG: قوة الإنبات والتغطية النباتية، WAX: الطبقة الشمعية على النبات، LRam: التفاف الورقة في وقت الصباح، LRpm: التفاف الورقة في وقت الظهيرة، LRI: معامل التفاف الورقة، RWC45,75: محتوى الماء النسبي في مرحلة 45 في بريد و 75 في تل حديا، SPM2: عدد السنابل/م2، GRSP: عدد الحبوب في السنبل، TKW: وزن الألف حبة، GYTH: الغلة الحبية في تل حديا، GYBR: الغلة الحبية في بريد، *معنوي على مستوى 0.05، ** معنوي على مستوى 0.01.

جدول (58): يبين علاقات الارتباط بين الصفات الفيزيولوجية والغلة الحبية ومكوناتها لـ 18 سلالة قمح قاسي ناتجة عن تهجين (لحن × شام1) و 6 أصناف من القمح القاسي في موقعي التجربة بربدا (زراعة بعلية) وتل حديا (زراعة مروية) خلال موسم الزراعة 2006/2007

GYTH	TKW	GRSP	SPM2	RWC 45	WAX	VG	SR 45	SC 45	CUPL 45	CUPT 45	LC 75	LC 45	
.190	-.167	.053	-.203	-.076	.228	-.005	.024	-.018	.158	.166	.197		LC 45
.028	-.048	.039	-.151	-.114	.154	-.074	.093	-.173	.155	.163		.326**	LC 75
-.278*	-.117	-.388**	-.463**	-.090	.060	.039	.615**	-.606**	.951**		-.175	.002	CUPT45
-.318**	-.137	-.393**	-.468**	-.033	.099	.002	.430**	-.463**		.704**	-.181	.162	CUPL45
.314**	.053	.424**	.346**	.378**	.167	-.249*	-.728**		-.163	.089	-.069	-.123	SC 45
-.231	-.101	-.431**	-.238*	-.214	-.162	.270*		-.974**	.068	-.229	.079	.127	SR 45
-.075	-.360**	-.228	-.115	-.174	-.075		-.156	.149	.036	.051	-.032	-.081	VG
.205	-.057	.146	-.044	.090		-.273*	-.030	.037	-.021	-.026	.110	-.187	WAX
.186	.146	.043	.055		.100	-.064	.008	-.033	.006	-.001	-.079	-.289*	RWC 45
.196	.066	.243*		-.072	-.023	-.127	-.165	.130	-.084	.103	-.201	-.121	SPM2
.388**	.007		-.016	-.035	.179	-.140	.020	-.005	-.003	-.049	.058	-.103	GRSP
.109		.144	-.190	-.045	.210	.108	.230	-.198	-.005	-.167	-.139	-.083	TKW
	.124	.643**	-.055	-.047	.155	.026	-.074	.071	-.132	-.037	.201	-.110	GYBR

القيم العلوية : علاقة الارتباط في موقع تل حديا، القيم السفلية: علاقة الارتباط في موقع بربدا، LC45: لون الورقة بمرحلة Z45، LC75: لون الورقة بمرحلة Z75، SC45: الناقلية المسامية بمرحلة Z45، SR45: المقاومة المسامية بمرحلة Z45، CUPL45: درجة حرارة الورقة بمرحلة Z 45، CUPT45: درجة حرارة الغطاء النباتي بمرحلة Z45، VG: قوة الإنبات والتغطية النباتية، WAX: الطبقة الشمعية على النبات، RWC45: محتوى الماء النسبي في مرحلة 45 في بربدا ، SPM2: عدد السنبال/م2، GRSP: عدد الحبوب في السنبلة، TKW: وزن الألف حبة، GYTH: الغلة الحبية في تل حديا، GYBR: الغلة الحبية في بربدا، *معنوي على مستوى 0.05، ** معنوي على مستوى 0.01.

جدول (59): يبين علاقات الارتباط بين الصفات الفيزيولوجية والغلة الحبية ومكوناتها لـ 18 سلالة قمح قاسي ناتجة عن تهجين (لحن × شام1) و6 أصناف من القمح القاسي في موقعي التجربة بريدا (زراعة بعلية) وتل حديا (زراعة مروية) ولمتوسط موسمي الزراعة 2006/2005 - 2007/2006

GYTH	TKW	GRSP	SPM2	WAX	VG	SR 45	SC 45	CUPL 45	CUPT 45	LC 75	LC 45	
.314 **	-.014	.002	.000	-.087	.007	.025	-.033	.054	.081	.252 **		LC45
.170 *	-.036	-.050	-.010	.036	-.089	.088	-.131	.079	.120		.241 **	LC75
-.114	-.451 **	.311 **	.036	.421 **	.185 *	.161	.037	.943 **		-.061	-.090	CUPT45
-.091	-.581 **	.484 **	.137	.582 **	.222 **	-.113	.254 **		.905 **	-.002	-.089	CUPL45
.173 *	-.401 **	.640 **	.341 **	.591 **	.105	-.722 **		-.279 **	-.175 *	-.092	-.110	SC45
-.146	.328 **	-.554 **	-.314 **	-.446 **	.012		-.843 **	.313 **	.257 **	.126	.097	SR45
.027	-.317 **	.246 **	.174 *	.191 *		-.076	.137	.153	.159	.046	.054	VG
.099	-.585 **	.694 **	.225 **		-.204 *	-.046	.043	-.127	-.052	-.046	-.140	WAX
.137	-.418 **	.475 **		.047	-.104	-.211 *	.187 *	-.226 **	-.118	-.178 *	.010	SPM2
.202 *	-.573 **		-.295 **	-.293 **	.074	.249 **	-.126	.298 **	.173 *	.317 **	-.089	GRSP
.143		.038	-.227 **	.150	-.023	.312 **	-.285 **	.198 *	.174 *	-.118	-.089	TKW
	.137	.799 **	-.292 **	-.345 **	.093	.219 **	-.118	.349 **	.193 *	.333 **	-.099	GYBR

القيم العلوية : علاقة الارتباط في موقع تل حديا، القيم السفلية: علاقة الارتباط في موقع بريدا، LC45: لون الورقة بمرحلة Z45، LC75: لون الورقة بمرحلة Z75، SC45: الناقالية المسامية بمرحلة Z45، SR45: المقاومة المسامية بمرحلة Z45، CUPL45: درجة حرارة الورقة بمرحلة Z45، CUPT45: درجة حرارة الغطاء النباتي بمرحلة Z45، VG: قوة الإنبات والتغطية النباتية، WAX: الطبقة الشمعية على النباتات، RWC45: محتوى الماء النسبي في مرحلة 45 في بريدا ، SPM2: عدد السنابل/م2، GRSP: عدد الحبوب في السنبل، TKW: وزن الألف حبة، GYTH: الغلة الحبية في تل حديا، GYBR: الغلة الحبية في بريدا، *معنوي على مستوى 0.05، ** معنوي على مستوى 0.01.

أما بالنسبة لدراسة علاقة الارتباط بين الغلة الحبية ومكوناتها مع معايير تحمل الإجهاد: دليل تحمل الجفاف TOL، ومتوسط قيم الإنتاج الهندسي GMP، ودليل الحساسية للجفاف SSI، ومعامل تحمل الجفاف STI

يتبين من الجدولين (60) و(61): وجود علاقة ارتباط معنوية وإيجابية بين كل من الغلة الحبية في ظروف الجفاف وظروف الزراعة المروية مع كل من متوسط قيم الإنتاج الهندسي GMP، ومعامل تحمل الجفاف STI في كلا الموسمين، وكان الارتباط معنوياً وسالباً بين الغلة الحبية تحت ظروف الإجهاد مع دليل الحساسية للجفاف SSI، وهذا يدل على إمكانية الاعتماد في الانتخاب على القيم العالية لكل من معامل تحمل الجفاف، ومتوسط قيم الإنتاج الهندسي في ظروف الإجهاد وعدم الإجهاد، وهما من أكثر المعايير فعالية للتنبؤ بإنتاجية القمح، كما يمكن الاعتماد على القيم المنخفضة لمعامل الحساسية للجفاف في ظروف الإجهاد. ولدى دراسة علاقة مكونات الغلة بمعايير الجفاف يتبين من الشكل (26) وجود ارتباط بين معياري الإجهاد: متوسط قيم الإنتاج الهندسي GMP، ومعامل تحمل الجفاف STI بشكل مباشر وقوي بالغلة الحبية في ظروف الجفاف لترتبط أيضاً مع مكون الغلة عدد الحبوب في السنبل ومن ثم بعدد السنابل في المتر المربع مكونة بذلك مجموعة واحدة، كما لوحظ ارتباط الغلة تحت الظروف العادية بدليل تحمل الجفاف TOL، بينما وجد أن وزن الألف حبة ارتبط مع دليل الحساسية للجفاف SSI.

الجدول (60): يبين علاقة الارتباط بين الغلة الحبية في ظروف الإجهاد YS وعدم الإجهاد YP، مع معايير تحمل الإجهاد: دليل تحمل الجفاف TOL، متوسط قيم الإنتاج الهندسي GMP، دليل الحساسية للجفاف SSI، معامل تحمل الجفاف STI في الموسم الزراعي 2005/2006.

YP	STI	SSI	GMP	TOL	
0.361	.932**	-.902**	.934**	0.025	YS
	.662**	0.062	.666**	.941**	YP

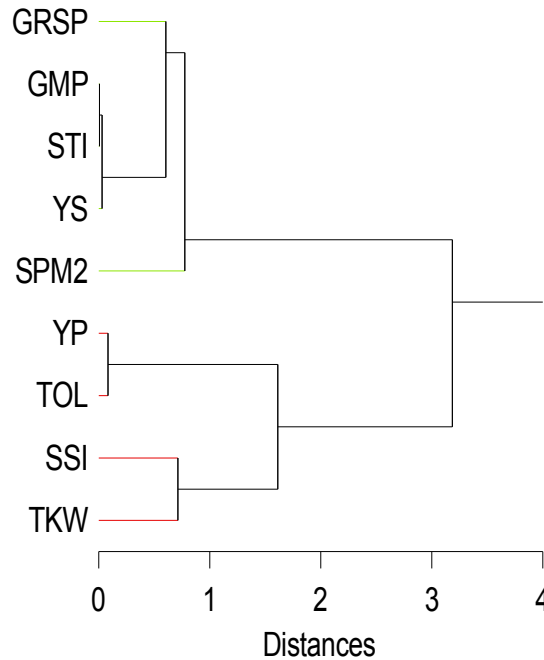
** معنوي على مستوى 0.01.

الجدول (61): يبين علاقة الارتباط بين الغلة الحبية في ظروف الإجهاد YS وعدم الإجهاد YP، مع معايير تحمل الإجهاد: دليل تحمل الجفاف TOL، متوسط قيم الإنتاج الهندسي GMP، دليل الحساسية للجفاف SSI، معامل تحمل الجفاف STI في الموسم الزراعي 2007/2006.

YP	STI	SSI	GMP	TOL	
0.395	.990**	-.988**	.988**	0.122	YS
	.512*	-0.256	.509*	.960**	YP

** معنوي على مستوى 0.05، * معنوي على مستوى 0.01.

Cluster Tree



الشكل (26): التحليل العنقودي لعلاقة الارتباط بين الغلة الحبية في ظروف الإجهاد YS وعدم الإجهاد YP، ومكونات الغلة: عدد الحبوب في السنبل (حبة/ سنبل)، ووزن الألف حبة (غ)، وعدد السنابل في وحدة المساحة (سنبل/م²)، مع معايير تحمل الإجهاد: دليل تحمل الجفاف TOL، متوسط قيم الإنتاج الهندسي GMP، دليل الحساسية للجفاف SSI، معامل تحمل الجفاف STI.

5. 2. 3. إختبار T-Test:

يبين الجدول (1-62) أهمية صفة درجة حرارة الورقة المنخفضة في موقع تل حديا في مرحلة بين الحبلان وطررد السنابل (Z45)، وبشكل أكثر أهمية في الموسم الزراعي 2007/2006 في موقع تل حديا الممثل للموقع الأكثر حرارة، حيث تكون درجة حرارة السلالات ذات الإنتاجية والثباتية الإنتاجية المنخفضة ذات درجة حرارة أعلى معنوياً ($P \leq 0.001$) مقارنة بالسلالات ذات الإنتاجية والثباتية الإنتاجية العالية، ولم يظهر هذا التفوق في موقع بريدا، في حين ظهرت أهمية درجة حرارة الغطاء النباتي في موقع بريدا حيث تميزت السلالات عالية الإنتاجية والثباتية الإنتاجية بدرجة حرارة للغطاء نباتي أخفض معنوياً ($P \leq 0.05$) مقارنة بالسلالات ذات الإنتاجية والثباتية الإنتاجية المنخفضة في موسم 2006/2005، وكما وجد تفوقاً معنوياً ($P \leq 0.01$) للسلالات عالية الإنتاجية والثباتية الإنتاجية في صفة قوة النمو والتغطية النباتية في موقع تل حديا في موسم 2007/2006 وفي متوسط الموسمين جدول (2-62)، ولم توجد فروقا معنوية في بقية الصفات الفيزيولوجية المدروسة بين المجموعتين: عالية الإنتاجية والثباتية الإنتاجية، ومنخفضة الإنتاجية والثباتية الإنتاجية دالاً

على أهمية هذه الصفات كصفات ناتجة عن تفاعل الوراثة بالبيئة، ودالاً وبشكل واضح قلة الريح الوراثي للصفات الفيزيولوجية المدروسة، وقلة العمل التريوي لهذه الصفات.

جدول (1-62): يبين قيم الصفات الفيزيولوجية لمجموعتين من السلالات: عالية الإنتاج وذات ثباتية إنتاجية، ومنخفضة الإنتاجية وذات ثباتية إنتاجية منخفضة لموسمي الزراعة 2006/2007 - 2005/2006 لموقعي بريداء، تل حديا، ومتوسط الموسمين، ومتوسط الموقعين، ومعنوية اختبار T

الصفة	السلالات عالية الإنتاجية وذات ثباتية إنتاجية عالية HY&HS	السلالات منخفضة الإنتاجية وذات ثباتية إنتاجية منخفضة LY&LS	الفرق بين السلالات عالية ومنخفضة الإنتاجية وذات ثباتية عالية ومنخفضة	الخطأ القياسي S E	معنوية اختبار T T-Test
LC45 BR6	49.5	49.2	-0.3	1.27	NS
LC45 TH6	45.4	44.6	0.8	1.4	NS
LC45 BR7	49.96	50.26	-0.3	1.15	NS
LC45 TH7	45.1	45.6	-0.5	1.235	NS
LC45 BR	49.73	49.72	0.01	0.98	NS
LC45 TH	45.3	45.1	0.2	1.16	NS
LC45 المتوسط	47.5	47.4	0.09	0.99	NS
LC75 BR6	53.22	51.52	1.7	1.168	NS
LC75 TH6	50.9	51.1	-0.27	0.90	NS
LC75 BR7	50.27	50.81	-0.54	0.97	NS
LC75 TH7	51.61	52.38	-0.77	0.74	NS
LC75 BR	52.12	50.54	1.6	0.87	NS
LC75 TH	51.26	51.77	-0.51	0.64	NS
LC75 المتوسط	51.56	51.37	0.19	0.54	NS
CUPL45 BR6	26.19	26.68	-0.49	0.34	NS
CUPL45 TH6	25.23	25.12	-0.11	0.12	NS
CUPL45 BR7	25.2	25.1	0.1	0.14	NS
CUPL45 TH7	21.5	22.2	-0.64	0.17	***
CUPL45 BR	25.6	25.9	-0.2	0.16	NS
CUPL45 TH	23.3	23.6	0.3	0.08	**
CUPL45 المتوسط	24.5	24.8	-0.23	0.09	*
CUPT45 BR6	27.4	27.9	-0.5	0.24	*
CUPT45 TH6	25.2	25.1	0.1	0.12	NS
CUPT45 BR7	27.1	26.9	0.08	0.06	NS
CUPT45 TH7	23.4	23.6	-0.2	0.13	NS
CUPT45 BR	27.2	27.4	-0.2	0.12	NS
CUPT45 TH	24.3	24.4	-0.1	0.09	NS
CUPT45 المتوسط	25.7	25.9	0.14	0.07	NS

*معنوي على مستوى 0.05، **معنوي على مستوى 0.01، NS: غير معنوي.

جدول (62-2): يبين قيم الصفات الفيزيولوجية لمجموعتين من السلالات: عالية الإنتاج وذات ثباتية إنتاجية، ومنخفضة الإنتاجية وذات ثباتية إنتاجية منخفضة لموسمي الزراعة 2006/2007 - 2005/2006 لموقعي بريداء، تل حدبا، ومتوسط الموسمين، ومتوسط الموقعين، ومعنوية إختبار T

الصفة	السلالات عالية الإنتاجية وذات ثباتية إنتاجية عالية HY&HS	السلالات منخفضة الإنتاجية وذات ثباتية إنتاجية منخفضة LY&LS	الفرق بين السلالات عالية ومنخفضة الإنتاجية وذات ثباتية عالية ومنخفضة	الخطأ القياسي S E	معنوية إختبار T T-Test
VG BR6	6.1	6.3	-0.2	0.44	NS
VG TH6	8	7.7	0.3	0.3	NS
VG BR7	6.4	5.9	0.5	0.4	NS
VG TH7	7.4	6.4	1	0.3	**
VG BR	6.2	6.1	0.2	0.3	NS
VG TH	7.7	7.1	0.6	0.2	**
VG المتوسط	7	6.6	0.4	0.2	NS
WAX BR6	5.1	5.3	-0.2	0.6	NS
WAX TH6	6.6	7.9	-1.3	0.8	NS
WAX BR7	6.7	6.8	-0.1	0.6	NS
WAX TH7	2.88	2.93	-0.04	0.12	NS
WAX BR	5.9	6.1	-0.2	0.5	NS
WAX TH	4.8	5.4	-0.6	0.4	NS
WAX المتوسط	5.3	5.8	-0.4	0.4	NS
SC45 BR6	0.030	0.026	0.005	0.004	NS
SC45 TH6	0.395	0.33	0.065	0.046	NS
SC45 BR7	0.037	0.034	0.003	0.003	NS
SC45 TH7	0.154	0.159	-0.005	0.033	NS
SC45 BR	0.033	0.029	0.004	0.002	NS
SC45 TH	0.235	0.225	0.01	0.03	NS
SC45 المتوسط	0.147	0.134	0.014	0.014	NS
SR45 BR6	35.42	42.11	-6.69	5.191	NS
SR45 TH6	2.67	3.7	-0.6	0.36	NS
SR45 BR7	27.6	30.52	-2.92	2.23	NS
SR45 TH7	8.033	7.122	0.911	1.488	NS
SR45 BR	30.89	35.36	-4.47	2.48	NS
SR45 TH	4.434	4.727	0.292	0.466	NS
SR45 المتوسط	18.17	20.517	-2.34	1.32	NS

** معنوي على مستوى 0.01، NS: غير معنوي.

جدول (62-3): يبين قيم الصفات الفيزيولوجية لمجموعتين من السلالات: عالية الإنتاج وذات ثباتية إنتاجية، ومنخفضة الإنتاجية وذات ثباتية إنتاجية منخفضة لموسمي الزراعة 2006/2007 - 2005/2006 لموقعي بريداء، تل حديا، ومتوسط الموسمين، ومتوسط الموقعين، ومعنوية إختبار T

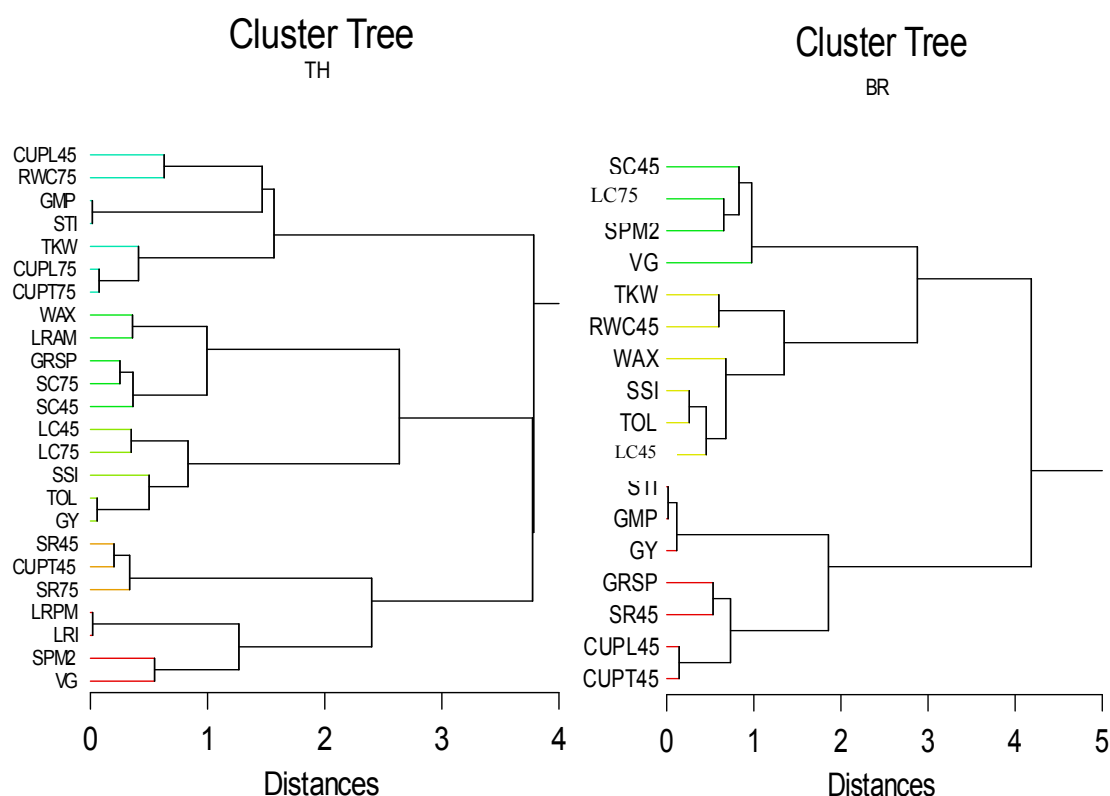
الصفة	السلالات عالية الإنتاجية وذات ثباتية إنتاجية عالية HY&HS	السلالات منخفضة الإنتاجية وذات ثباتية إنتاجية منخفضة LY&LS	الفرق بين السلالات عالية ومنخفضة الإنتاجية وذات ثباتية عالية ومنخفضة	الخطأ القياسي S E	معنوية إختبار T T-Test
LRam BR6	5.33	4.54	0.7	0.5	NS
LRam TH6	7.18	7.18	0	0.20	NS
LRam	6.26	5.86	0.39	0.28	NS
LRpm BR6	5.91	6.26	-0.3	0.56	NS
LRpm TH6	4.14	3.51	0.6	0.45	NS
LRpm	5.02	4.88	0.14	0.34	NS
LRI BR6	3.09	2.84	0.24	0.43	NS
LRI TH6	2.94	2.52	0.42	0.31	NS
LRI	3.02	2.68	0.33	0.29	NS
CUPL75TH	27.2	27.4	-0.18	0.137	NS
CUPT75TH	28.04	28.4	-0.36	0.18	NS
RWC45BR	64.5	66.5	-1.944	1.616	NS
RWC75TH	80.92	81.68	-0.76	1.79	NS
RWC45	72.7	74.08	-1.35	1.459	NS

NS: غير معنوي.

5. 2. 3. 4. التحليل العنقودي لعلاقات الارتباط بين الصفات الفيزيولوجية والغلة الحبية ومكوناتها:

يبين الشكل (27) التحليل العنقودي حسب اختبار Ward لعلاقة الارتباط بين الصفات الفيزيولوجية والغلة الحبية ومكوناتها في السلالات المتميزة بالإنتاجية والثباتية العاليتين في الموقع الجاف في بريداء، والري التكميلي في تل حديا، أن الصفات الفيزيولوجية: معياري الجفاف متوسط قيم الإنتاج الهندسي GMP، ومعامل تحمل الجفاف STI، إضافة إلى المقاومة المسامية ودرجة حرارة الورقة والغطاء النباتي أكثر الصفات ارتباطاً بالغلة الحبية في موقع الجفاف (بريداء) كل من في المرحلة بين الحبلان وطرود السنابل (Z45)، حيث تجمعت هذه الصفات مشكلة مجموعة عنقودية ممثلة للمجموعة الإنتاجية، بينما وجد في موقع تل حديا أن أكثر الصفات الفيزيولوجية قرباً من الغلة الحبية مؤشري الجفاف دليل تحمل الجفاف TOL، ودليل الحساسية للجفاف SSI، إضافة للون الورقة في مرحلتتي 45-75 زادوك، ليرتبطوا بمجموعة عنقودية تضم كل من الصفات الفيزيولوجية: الناقلية المسامية، والتفاف الورقة في وقت الصباح المرتبطة بوجود الطبقة الشمعية، مشكلة بمجموعها المجموعة العنقودية

الإنتاجية، ويبين أن صفة المقاومة المسامية في موقع بريدا كانت أكثر الصفات قرباً لمكون الغلة عدد الحبوب في السنبلة، بينما كانت صفة محتوى الماء النسبي في مرحلة Z45 من أكثر الصفات الفيزيولوجية ارتباطاً بوزن الألف حبة، أما بالنسبة لعدد السنابل /م² فقد كانت صفة لون الورقة في مرحلة Z75 هي الأكثر قرباً منه، كما وجد أن درجة حرارة الورقة كانت أقرب الصفات الفيزيولوجية لوزن الألف حبة، والناقلية المسامية في مرحلة Z75 لعدد الحبوب في السنبلة، وقوة النمو والتغطية النباتية لعدد السنابل /م² في تل حديا.



LC45: لون الورقة بمرحلة Z45، LC75: لون الورقة بمرحلة Z75، SC45: الناقلية المسامية بمرحلة Z45، SR45: المقاومة المسامية بمرحلة Z45، CUPL45: درجة حرارة الورقة بمرحلة Z45، CUPT45: درجة حرارة الغطاء النباتي بمرحلة Z45، VG: قوة الإنبات والتغطية النباتية، WAX: الطبقة الشمعية على النباتات، RWC45: محتوى الماء النسبي في مرحلة Z45، LRAM: التفاف الورقة في وقت الصباح، LRP: التفاف الورقة في وقت الظهيرة، LRI: معامل التفاف الورقة، SC75: الناقلية المسامية بمرحلة Z75، SR75: المقاومة المسامية بمرحلة Z75، TOL: دليل تحمل الجفاف، GMP: متوسط قيم الإنتاج الهندسي، SSI: دليل الحساسية للجفاف، STI: معامل تحمل الجفاف، SPM2: عدد السنابل/م²، GRSP: عدد الحبوب في السنبلة، TKW: وزن الألف حبة، GY: الغلة الحبيبة.

شكل (27). التحليل العنقودي لعلاقات الارتباط بين متوسط الغلة الحبيبة ومكوناتها والصفات الفيزيولوجية في السلالات المتميزة بالإنتاجية العالية والثباتية الإنتاجية العالية في موقعين (بعلي BR - مروي IRR) كمتوسط موسمي الزراعة 2006/2005 و 2007/2006.

5. 2. 4. الصفات الفينولوجية (التطورية):

5. 2. 4. 1. تحليل التباين:

تشير نتائج التحليل الإحصائي المشترك للصفات الفينولوجية (موقعي الدراسة × الموسمين الزراعيين 2006/2005-2007/2006) جدول (65) إلى وجود فروق معنوية عالية على مستوى ($P \leq 0.001$) في التفاعل المتبادل بين السلالات والسنوات والمواقع، والتفاعل المتبادل بين السلالات والسنوات، والتفاعل المتبادل بين السلالات والمواقع في عدد الأيام حتى الإنبال وفي فترة امتلاء الحبوب، ووجود فروق معنوية على مستوى ($P \leq 0.05$) في التفاعل المتبادل بين السلالات والمواقع لعدد الأيام حتى النضج، كما يلاحظ أن التباين الأكبر في الصفات الفينولوجية يرجع بالدرجة الأولى لتأثير الموقع، وكان متوسط عدد الأيام حتى الإنبال (96 يوماً) وهو الأدنى معنوياً في موقع بريدا (الممثل لموقع الجفاف كم منطقة استقرار ثالثة) مقارنة ب (111 يوماً) مع موقع تل حديا (كم منطقة استقرار ثانية مروية ربا تكميلياً) في فترة امتلاء الحبوب ، وذلك كقيم متوسطة لجميع الطرز الوراثية (جدول، 64)، ويلاحظ بشكل عام، أن انخفاض معدل الهطول المطري في موقع بريدا بنحو 59 ملم في الموسم الأول أدى لانخفاض عدد الأيام حتى الإنبال إذ بلغت 28 يوماً، مقابل انخفاض قدر بـ 4 أيام فقط في عدد الأيام حتى الإنبال عند انخفاض معدل الهطول المطري بحوالي 31 ملم في بريدا مقارنة مع موقع تل حديا (موقع ري تكميلي بريّة واحدة في فترة امتلاء الحبوب)، مع التأكيد بأن انخفاض درجة الحرارة الأكبر في موقع بريدا قد أدى إلى زيادة عدد الأيام حتى الإنبال، كما أدى انخفاض درجة الحرارة العظمى في شهر كانون الثاني في الموسم الزراعي 2006/ 2005 لزيادة عدد الأيام حتى الإنبال مقارنة مع الموسم الزراعي 2007/2006 في موقع تل حديا، كما وجد أيضاً أن عدد الأيام حتى النضج تأثر بانخفاض معدل الهطل المطري و انخفاض عدد الأيام حتى النضج، أما بالنسبة لتأثير درجة الحرارة فقد أدى ارتفاع درجة الحرارة الدنيا في تل حديا في شهر أيار في الموسم الزراعي 2007/2006 لانخفاض عدد الأيام حتى النضج مقارنة بالموسم الزراعي 2006/2005. أثر المناخ في الموسم الزراعي 2007/2006 أيضاً في فترة امتلاء الحبوب لتأثيره في صفتي عدد الأيام حتى الإنبال والنضج معاً من درجة الحرارة والهطل المطري، علماً بأنه انخفضت عدد الأيام اللازمة لامتلاء الحبوب في موقعي الدراسة. تشير نتائج التحليل الإحصائي إلى وجود فروقات معنوية ($P \leq 0.001$) بين الطرز الوراثية في جميع الصفات الفينولوجية (التطورية) المدروسة، وتعتبر صفة سرعة تطور المحصول ووصوله إلى مرحلة ظهور السنابل (الإنبال) بوقت مبكر من التكيفات الهامة لمحاصيل الحبوب التي تزرع في المناطق التي تتعرض للإجهادات، وتشير النتائج لتفوق السلالة (LC2106) من السلالات ذات الإنتاجية

والثباتية الإنتاجية العالية معنوياً على جميع السلالات ذات الإنتاجية والثباتية الإنتاجية المنخفضة في الباكورية في الإسبال في موقع بريدا في الموسمين الزراعيين باستثناء تشابهها مع السلالة (LC2306) في الموسم الزراعي 2005/2006 جدول (65)، كما تفوقت بدورها على السلالات (LC2103, LC2215, LC2301) من السلالات ذات الإنتاجية والثباتية الإنتاجية العالية في كلا الموسمين، كما لم تسجل فروقاً معنوياً بين السلالات (LC2106, LC2110, LC2221) ذات الإنتاجية والثباتية الإنتاجية العالية في كلا الموسمين في موقع بريدا، تميزت السلالة (LC2106) من السلالات ذات الإنتاجية والثباتية الإنتاجية العالية في موقع تل حديا بالباكورة في الإسبال، متفوقة معنوياً على جميع السلالات ذات الإنتاجية والثباتية الإنتاجية المنخفضة، لم تسجل فروقاً معنوية بين السلالتين (LC2106, LC2110) في موسمي الزراعة 2005/2006 - 2007/2006، ويلاحظ أن عدد الأيام اللازمة للإسبال كان الأعلى معنوياً لدى السلالة (LC2006) من السلالات ذات الإنتاجية والثباتية الإنتاجية المنخفضة في موقعي وموسمي الزراعة وبفرق كبير مع بقية السلالات حيث يظهر وبشكل جلي بأنها من السلالات المتأخرة في موعد الإسبال والنضج (جدول 65).

سلكت السلالات سلوكاً متماثلاً في الموسمين الزراعيين لصفة عدد الأيام حتى النضج، مما يتيح مناقشة نتائج متوسط الموسمين لكل موقع، فقد وجدت فروقات معنوية عالية ($P \leq 0.001$) بين السلالات في موقعي الدراسة جدول (66)، وكما تميزت السلالة (LC2106) من السلالات ذات الإنتاجية والثباتية الإنتاجية العالية في الباكورية في الإسبال، بتميزها وتفوقها أيضاً في صفة الباكورية في النضج وتفوقت معنوياً على جميع السلالات ذات الإنتاجية والثباتية الإنتاجية المنخفضة في الموقعين المدروسين، ولم تسجل فروقاً معنوية بين السلالتين (LC2106, LC2110) في الموقعين، كما لم تسجل فروقاً معنوياً بين السلالتين وفي الموقعين على الأب المتميز بالباكورية في النضج، بينما تفوقتا معنوياً على الأب لحن. أما بالنسبة لصفة فترة امتلاء الحبوب فلقد أثرت البيئة تأثيراً كبيراً في التباين بين السلالات حيث كان للتباين بين الموقع إضافة للتباين الكبير بين السنوات تأثيراً في أداء السلالات، إذ وجد في الموسم الزراعي 2005/2006 فروقا معنوية على مستوى معنوية عالية ($P \leq 0.001$) بين السلالات في كلا الموقعين، بينما لم تسجل أية فروقاً معنوية في الموسم الزراعي 2006/2007، ويمكن ملاحظة أن السلالة (LC2006) تفوقت معنوياً على كافة الطرز الوراثية في الموسم الزراعي 2005/2006 في موقع بريدا، ووجد أن هذه الفترة قد وصلت إلى 38 يوماً في السلالة (LC2306) متفوقة معنوياً على كافة السلالات ذات الإنتاجية والثباتية الإنتاجية المنخفضة باستثناء السلالة (LC2222)، إضافة لتفوقها معنوياً على كافة السلالات ذات الإنتاجية والثباتية الإنتاجية العالية باستثناء السلالة (LC2504) جدول (67).

جدول (63): يبين مجموع مربع الانحرافات من التحليل التباين المشترك (موقعين \times موسمين) للصفات الفينولوجية لـ 18 سلالة الناتجة عن تهجين (لحن \times شام1) و6 أصناف من القمح القاسي مزروعة في موقعين (بريدا، تل حديا) خلال موسمي الزراعة 2006/2005 - 2007/2006

GFD فترة امتلاء الحبوب	DM عدد الأيام حتى النضج	DH عدد الأيام حتى الإسبال	df درجة الحرية	Source of variation	مصدر التباين
53.215	19	20	2	Rep	المكررات
483.087***	23400***	17159***	1	Loc	الموقع
3521.003***	284**	5805***	1	Year	السنوات
335.837***	7140***	10573***	1	Loc \times Year	المواقع \times السنوات
52.646	103	27	6	Residual 1	الخطأ التجريبي 1
257.58***	1292***	1415***	23	G	السلالات
246.785	246	55	46	G \times Rep	السلالات \times المكررات
211.83**	180*	232***	23	G \times Loc	السلالات \times المواقع
210.913**	79	126***	23	G \times Year	السلالات \times السنوات
243.413**	137	115***	23	G \times Year \times Loc	السلالات \times السنوات \times المواقع
646.021	648	246	138	Residual 2	الخطأ التجريبي 2
6262.33	33528	35773	287	Total	التباين الكلي
77	70	48			التباين للموقع
56	0.8	16			التباين للسنوات
4	4	4			التباين للسلالات

*معنوي على مستوى 0.05، **معنوي على مستوى 0.01، ***معنوي على مستوى 0.001.

جدول (64): متوسط قيم الصفات الفينولوجية والفرق بين موقع الدراسة بريدا (موقع الجفاف)، وتل حديا (مروي رية تكميلية لـ 18 سلالة الناتجة عن تهجين (لحن \times شام1) و6 أصناف من القمح القاسي مقارنة بموقع تل حديا خلال موسمي الزراعة 2006/2005 - 2007/2006

الفرق بين الموقعين اليوم	TH	BR	الفرق بين الموقعين اليوم	TH7	BR7	الفرق بين الموقعين اليوم	TH6	BR6	
15	111	96	4	110	106	28	113	85	عدد الأيام حتى الإسبال DH
18	143	125	8	139	131	28	147	119	عدد الأيام حتى النضج DM
3	32	29	5	30	25	-	34	34	فترة امتلاء الحبوب GFD

جدول (65): يبين متوسط و نسبة انخفاض عدد الأيام حتى الإنبال لـ 18 سلالة قمح قاسي الناتجة عن تهجين (لحن × شام1) بالمقارنة مع الأبوين في موقعي التجربة بريدا (زراعة بعليّة) وتل حديا (زراعة مروية) وخلال موسمي الزراعة 2006/2005 - 2007/2006

السلالات	BR6 DH		TH6 DH		De %	BR7 DH		TH7 DH		De %
LC2014	85.7	efg	115	gklm	26	103.7	abc	112	lmno	7
LC2103	86	fg	114	fgkl	25	104.7	bcde	110.7	gklm	5
LC2106	81.3	a	109.3	bc	26	102	a	105.7	a	4
LC2110	81.7	ab	109.7	bc	26	104	abcd	105.7	a	2
LC2215	85.7	efg	114.3	fgkl	25	106.3	efg	109.7	fg	3
LC2221	82.7	abcd	111.3	cde	26	103.3	ab	106.7	abcd	3
LC2301	84.3	bcdef	112.7	defg	25	106	def	106.7	abcd	1
LC2305	86.3	fgk	115	gklm	25	103	ab	110.7	gklm	7
LC2504	84.3	bcdef	111.3	cde	24	104	abcd	108.3	cdef	4

LC2006	89	k	118.7	N	25	112	n	113.7	o	1
LC2012	86.7	fgk	115	gklm	25	107	fgkl	112.3	mno	5
LC2204	86.7	fgk	114	fgkl	24	109.7	m	113	no	3
LC2222	85.7	efg	112	cdef	24	105.7	cdef	111	gklm	5
LC2304	87.7	gk	117	mn	25	108.7	klm	111.7	klmn	3
LC2306	84	abcdef	110.3	Cd	24	106.7	efgk	108.3	cdef	1
LC2322	86.7	fgk	115.3	gklm	25	109	lm	110.3	gkl	1
LC2417	87.7	gk	116	Lm	24	108.3	gklm	113.3	no	4
LC2508	86	fg	115.7	klm	26	106.7	efgk	112	lmno	5

لحن(P1)	86	fg	113	efgk	24	107	fgkl	109.3	fg	2
شام1 (P2)	81.3	a	110	C	26	105.7	cdef	106.7	abc	1

	0.74	0.97		1.14	1.25	S.E.
	1	1		1	2	C.V.%
	***	***		***	***	S.g. المعنوية

DHBR6: عدد الأيام حتى الإنبال في بريدا في موسم 2005/2006، DHBR7: عدد الأيام حتى الإنبال في بريدا في موسم 2006/2007،
DHTH6: عدد الأيام حتى الإنبال في تل حديا في موسم 2005/2006، DHTH 7: عدد الأيام حتى الإنبال في تل حديا في موسم 2006/2007،
De: نسبة الانخفاض، S.E.: الخطأ القياسي، C.V.: معامل الاختلاف، *** معنوي على مستوى 0.001.

جدول (66): يبين متوسط و نسبة انخفاض عدد الأيام حتى النضج لـ 18 سلالة قمح قاسي الناتجة عن تهجين (لحن × شام 1) بالمقارنة مع الأبوين في موقعي التجربة بريدا (زراعة بعليّة) وتل حديا (زراعة مروية) وخلال موسمي الزراعة 2006/2005 - 2007/2006

السلالات	BR DM	TH DM	De %
LC2014	125.7	efgklmn	13 fgk 145.3
LC2103	125.3	efgklm	13 defg 143.3
LC2106	121.5	Ab	12 ab 138.8
LC2110	121.5	Abc	12 ab 138.8
LC2215	122.3	Abcd	15 defg 143.5
LC2221	123.2	Abcde	14 cdef 142.8
LC2301	124.5	Defgk	12 bcde 141.3
LC2305	125.5	efgklm	13 defg 143.7
LC2504	123.8	Bdef	13 bcde 141.7
LC2006	128.2	N	13 k 147.8
LC2012	126.3	fgklmn	13 fgk 145.8
LC2204	125.8	fgklmn	13 defg 144.2
LC2222	125.8	fgklmn	13 fgk 145.3
LC2304	127.2	Lmn	13 gk 146.5
LC2306	124.5	Defgk	14 defg 144.0
LC2322	127	Klmn	12 defg 144.5
LC2417	127.5	Mn	12 defg 144.3
LC2508	126.7	Gklmn	12 defg 143.7
لحن (P1)	126.5	Gklmn	12 defg 143.3
شام 1 (P2)	121.2	A	13 ab 139.2
S.E.	1.1	1.4	
C.V.%	2	2	
المعنوية S.g.	***	***	

DMBR: متوسط عدد الأيام حتى النضج في بريدا في موسمي الزراعة 2006/2005 - 2007/2006، DMTH: متوسط عدد الأيام حتى النضج في تل حديا في موسمي الزراعة 2006/2005 - 2007/2006، De: نسبة الانخفاض، S.E.: الخطأ القياسي، C.V.: معامل الاختلاف، *** معنوي على مستوى 0.001.

جدول (67): يبين متوسط و نسبة انخفاض فترة امتلاء الحبوب لـ 18 سلالة قمح قاسي الناتجة عن تهجين (لحن × شام 1) بالمقارنة مع الأبوين في موقعي التجربة بريدا (زراعة بعلية) وتل حديا (زراعة مروية) وخلال موسمي الزراعة 2006/2005 - 2007/2006

السلالات	BR6 GFD	TH6 GFD	De %	BR7 GFD	TH7 GFD	De %
LC2014	34	b	34.3	cdef	1	28
LC2103	34	b	33	def	-3	26
LC2106	34	b	32	Ef	-6	25.7
LC2110	34	b	32	Ef	-6	23.3
LC2215	32	c	33	def	3	21
LC2221	34	b	35	cdef	3	26.3
LC2301	34	b	33.3	def	-2	24.6
LC2305	34	b	32	Ef	-6	27.7
LC2504	34	b	36	bcde	6	25.3

LC2006	35	a	33	def	-6	20.3
LC2012	34	b	34.7	cdef	2	25
LC2204	34	b	34	cdef	0	21.3
LC2222	34	b	36.3	bcd	6	26.3
LC2304	34	b	33	def	-3	24
LC2306	34	b	38	Ab	11	24.3
LC2322	34	b	31	F	-10	24.3
LC2417	34	b	33	def	-3	25
LC2508	34	b	33.3	def	-2	26.7

لحن (P1)	34	b	34.7	cdef	2	26
شام 1 (P2)	34	b	33.7	def	-1	21.3

S.E.	0.1	1.8	2.5	1.9
C.V.%	1	6	12	8
S.g. المعنوية	***	***	NS	NS

GFDBR6: فترة إمتلاء الحبوب في بريدا في موسم 2005/2006، GFDBR7: فترة إمتلاء الحبوب في بريدا في موسم 2006/2007،
GFDTH6: فترة إمتلاء الحبوب في تل حديا في موسم 2005/2006، 7 GFDTH: فترة إمتلاء الحبوب في تل حديا في موسم 2006/2007،
De: نسبة الإنخفاض، S.E. الخطأ القياسي، C.V. معامل الاختلاف، *** معنوي على مستوى 0.001، NS: غير معنوي.

5. 2. 4. 2. دراسة علاقة الارتباط بين الصفات الفينولوجية (التطورية) والغلة الحبية ومكوناتها:

تبين الجداول رقم (68، 69، 70) الممثلة لقيم معامل الارتباط (يقيس قوة العلاقة) بين الصفات الفينولوجية (التطورية) والغلة الحبية ومكوناتها لـ 18 سلالة من عشيرة لحن× شام1، و6 أصناف من القمح القاسي في موسمي الزراعة 2006/2005 - 2007/2006 في كل من موقعي بريدا، وتل حديا إلى ما يلي:

في الموسم الزراعي 2006/2005:

في موقع بريدا: وجود علاقة ارتباط معنوية سالبة بين عدد الأيام حتى الإسبال وكل من الغلة الحبية، ومكونات الغلة: عدد الحبوب في السنبل، وعدد السنابل/م²، بينما وجدت علاقة ارتباط معنوية وموجبة مع وزن الألف حبة (جدول، 68)، حيث أدى التأخر بموعد الإسبال إلى تزامن مرحلة الأزهار مع انحباس الأمطار وارتفاع درجات الحرارة، ما أثر سلباً في حيوية حبوب اللقاح، وزاد من تجفاف المياسم، وبالتالي أدى إلى إنخفاض كبير في نسبة التلقيح، مما قلل من عدد الحبوب المتشكلة في السنبل الواحدة، وهذا ما يفسر العلاقة السالبة بين عدد الأيام حتى الإسبال وعدد الحبوب في السنبل، حيث نقلت بذلك نواتج التمثيل الضوئي إلى عدد حبوب أقل، وأدى بالتالي إلى استقطاب للحبوب المتشكلة لهذه النواتج، وزاد من وزن الألف حبة مما فسر العلاقة الموجبة مع وزن الألف حبة. أدت زيادة عدد الأيام حتى الإسبال إلى زيادة عدد الإشطاعات الخضرية المتكونة، ويتوقف عند مرحلة تكوين الإزهار ظهور الاشطاعات، وهذه الأخيرة لن تصل إلى مرحلة النضج مما يمكن اعتبارها رأس مال مفقود، ويقلل عدد الاشطاعات الثمرية، مما فسر العلاقة السالبة بين التأخر في الإسبال وعدد السنابل/م²، وكذلك الأمر بالنسبة للتأخر في النضج، إن وجود العلاقة الموجبة بين عدد الأيام حتى الإسبال وعدد الأيام حتى النضج يعرض النباتات إلى إجهادي الجفاف والحرارة المرتفعة في فترة إمتلاء الحبوب، أما بالنسبة لفترة امتلاء الحبوب فوجد علاقة ارتباط موجبة ومعنوية مع وزن الألف حبة وهذا ما سمح بالتراكم الأكثر لمنتجات التمثيل الضوئي في الحبوب (جدول، 68).

في موقع تل حديا: لم تسجل علاقات ارتباط بين الصفات الفينولوجية والغلة الحبية، مما يؤكد أهمية توافر الماء في كافة المراحل التطورية للنبات، وعلى الأخص عند تكوين الزهيرات، مما فسر عدم وجود العلاقة السالبة بين عدد الأيام حتى الإسبال وعدد الحبوب في السنبل (جدول 68).

في الموسم الزراعي 2006/2007:

في موقع بريدا: يتبين من الجدول (69) وجود علاقة ارتباط معنوية سالبة بين الغلة الحبية وكل من عدد الأيام حتى الإسبال وعدد الأيام حتى النضج، كما وجدت علاقة ارتباط بين عدد الأيام حتى الإسبال وكل من مكونات الغلة: عدد الحبوب في السنبل، وعدد السنابل/م²، ولم تسجل علاقة ارتباط بين عدد الأيام حتى الإسبال مع وزن الألف حبة، وذلك يعود إلى أن الجفاف القاسي والصقيع أديا لتكوين مجموعاً خضرياً صغيراً لم يكن كافياً لتسهيل نقل منتجات تمثيل ضوئي إلى الحبوب المتكونة ليزداد وزنها، وسجلت علاقة ارتباط سالبة ومعنوية بين عدد الأيام حتى الإسبال وفترة امتلاء الحبوب في هذا الموسم دون الموسم السابق وذلك بسبب الصقيع الذي أدى إلى تأخير تطور النبات ووصوله إلى مرحلة الإسبال فازداد عدد الأيام حتى الإسبال من 85 إلى 106 يوماً جدول(64) وبالتالي انخفاض فترة امتلاء الحبوب، وهذا أدى إلى أن زيادة عدد الأيام حتى النضج والذي أدى بدوره إلى زيادة فترة امتلاء الحبوب وتسجيل علاقة موجبة ومعنوية مع فترة امتلاء الحبوب.

في موقع تل حديا: لم تسجل علاقات ارتباط بين الصفات الفينولوجية والغلة الحبية، مؤكداً على أهمية توافر الماء في كافة المراحل التطورية للنبات، ووجود علاقة ارتباط معنوية وموجبة بين عدد الأيام حتى النضج مع وزن الألف حبة، ووجد علاقة ارتباط بين فترة امتلاء الحبوب ووزن الألف حبة ، وهذا عائد لتأثير الريّة التكميلية المترافق مع الهطول المطري في شهر أيار في توفير الماء اللازم لنقل نواتج التمثيل الضوئي في فترة سنحت للتراكم الأكثر لمنتجات التمثيل الضوئي في الحبوب جدول (69) ..

متوسط موسمي الزراعة 2006/2005 - 2007/2006:

يبين الجدول (70) علاقة الارتباط بين الصفات الفينولوجية والغلة الحبية ومكوناتها كمتوسط موسمين في موقعي الدراسة، مما يؤكد علاقة الارتباط المعنوية والسالبة والقوية بين عدد الأيام حتى الإسبال وحتى النضج ($r = 0.89, 0.81$) على الترتيب في موقع بريدا (الموقع الممثل للجفاف ، منطقة الاستقرار الثالثة)، كما يؤكد بأنه لم يكن للصفات الفينولوجية أي تأثير في الغلة الحبية في موقع تل حديا (الموقع الممثل للري التكميلي في فترة امتلاء الحبوب)، أيضاً بالنسبة للعلاقة الارتباط مع مكونات الغلة تم التأكيد على وجود علاقة ارتباط سالبة ومعنوية وقوية بين كل من عدد الأيام حتى الإسبال وحتى النضج مع مكون الغلة عدد الحبوب في السنبل ($r = 0.78, 0.72$) في موقع بريدا، وعلاقة الارتباط المعنوية والموجبة بين عدد الأيام حتى النضج مع وزن الألف حبة في كلا الموقعين، والعلاقة الموجبة والمعنوية والقوية بين عدد الأيام حتى الإسبال وعدد الأيام حتى النضج.

جدول (68): يبين علاقات الارتباط بين الصفات الفينولوجية والغلة الحبية ومكوناتها لـ 18 سلالة قمح قاسي الناتجة عن تهجين (لحن × شام1) و6 أصناف من القمح القاسي في موقعي التجربة بريدا (زراعة بعليّة) وتل حديا (زراعة مروية) خلال موسم الزراعة 2006/2005

GYTH6	TKW	SPM2	GRSP	GFD	DM	DH	
-.221	.355	-.550**	-.059	-.570**	.714**		DH
.073	.550**	-.735**	-.232	.168		.971**	DM
.395	.147	-.086	-.188		.333	.098	GFD
.141	-.065	.353		-.106	-.533**	-.537**	GRSP
.118	-.568**		.224	-.150	-.494*	-.482*	SPM2
.252		-.219	-.596**	.408*	.581**	.509*	TKW
1	-.256	.363	.430*	-.160	-.790**	-.794**	GYBR6

القيم العلوية : علاقة الارتباط في موقع تل حديا، القيم السفلية: علاقة الارتباط في موقع بريدا، DH: عدد الأيام حتى الإنبال، DM: عدد الأيام حتى النضج، GFD: فترة امتلاء الحبوب، GRSP: عدد الحبوب في السنبل، SPM2: عدد السنابل/م2، TKW: وزن الألف حبة، GYTH6: الغلة الحبية في تل حديا في موسم 2006/2005، GYBR: الغلة الحبية في بريدا في موسم 2006/2005، *معنوي على مستوى 0.05، ** معنوي على مستوى 0.01.

جدول (69): يبين علاقات الارتباط بين الصفات الفينولوجية والغلة الحبية ومكوناتها لـ 18 سلالة قمح قاسي الناتجة عن تهجين (لحن × شام1) و6 أصناف من القمح القاسي في موقعي التجربة بريدا (زراعة بعليّة) وتل حديا (زراعة مروية) خلال موسم الزراعة 2007/2006

GYTH6	TKW	SPM2	GRSP	GFD	DM	DH	
-.054	.339	-.166	-.121	-.198	.817**		DH
-.139	.577**	-.045	-.091	.404		.480*	DM
-.155	.444*	.190	.036		.415*	-.599**	GFD
.316	-.312	.080		.140	-.536**	-.605**	GRSP
.291	.043		-.137	-.159	-.172	.002	SPM2
-.032		-.234	.109	.075	.245	.141	TKW
1	.081	-.044	.828**	.127	-.652**	-.695**	GYBR6

القيم العلوية : علاقة الارتباط في موقع تل حديا، القيم السفلية: علاقة الارتباط في موقع بريدا، DH: عدد الأيام حتى الإنبال، DM: عدد الأيام حتى النضج، GFD: فترة امتلاء الحبوب، GRSP: عدد الحبوب في السنبل، SPM2: عدد السنابل/م2، TKW: وزن الألف حبة، GYTH6: الغلة الحبية في تل حديا في موسم 2006/2005، GYBR: الغلة الحبية في بريدا في موسم 2006/2005، *معنوي على مستوى 0.05، ** معنوي على مستوى 0.01.

جدول (70): يبين علاقات الارتباط بين الصفات المورفولوجية والغلة الحبية ومكوناتها لـ 18 سلالة قمح قاسي الناتجة عن تهجين (لحن × شام1) و6 أصناف من القمح القاسي في موقعي التجربة بريدا (زراعة بعليّة) وتل حديا (زراعة مروية) ولمتوسط موسمي الزراعة 2006/2005 - 2007/2006

GY	TKW	SPM2	GRSP	GFD	DM	DH	
-.156	.437*	-.571**	-.161	-.382	.867**		DH
-.134	.595**	-.724**	-.266	.130		.820**	DM
.071	.245	-.203	-.167		.256	-.343	GFD
.245	-.165	.314		.129	-.722**	-.778**	GRSP
.310	-.493*		.101	-.273	-.265	-.091	SPM2
.018		-.114	-.625**	.120	.538**	.449*	TKW
	-.319	.194	.725**	.158	-.815**	-.887**	GY

القيم العلوية : علاقة الارتباط في موقع تل حديا، القيم السفلية: علاقة الارتباط في موقع بريدا، DH: عدد الأيام حتى الإنبال، DM: عدد الأيام حتى النضج، GFD: فترة امتلاء الحبوب، GRSP: عدد الحبوب في السنبل، SPM2: عدد السنابل/م2، TKW: وزن الألف حبة، GYTH6: الغلة الحبية في تل حديا في موسم 2006/2005، GYBR: الغلة الحبية في بريدا في موسم 2006/2005، *معنوي على مستوى 0.05، ** معنوي على مستوى 0.01.

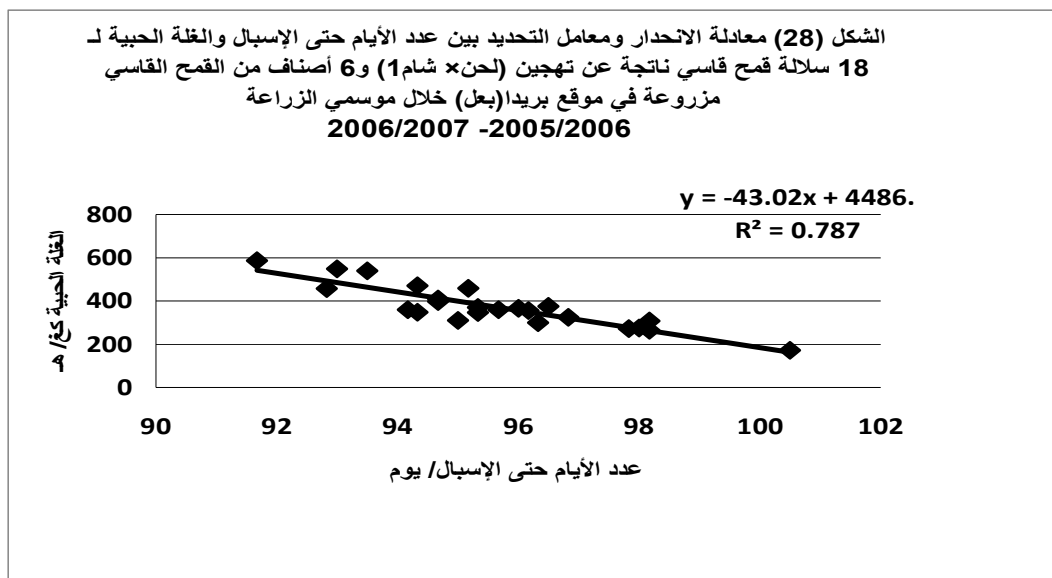
تم دراسة معامل الانحدار المتعدد بين الصفات الفينولوجية والغلة الحبية، وباعتبار الغلة الحبية كتابع مستقل:

1. في موقع بريدا:

قدرت مساهمة الصفات الفينولوجية في الغلة الحبية بـ 78 %، وسجلت علاقة معنوية ايجابية فقط في صفة الباكورية في الإسبال جدول (71)، دلالة على أهمية هذا المكون في الغلة الحبية في حالة العجز المائي، وأن معادلة التنبؤ تقتصر عليه، لذلك تم دراسة علاقة الانحدار بين عدد الأيام حتى الإسبال والغلة الحبية (شكل 28) مبيناً العلاقة الخطية بينهما، كما يبين معامل التحديد (R^2) أن ما يقارب 79% من تغير الغلة الحبية يعود إلى عدد الأيام حتى الإسبال.

جدول (71): تحليل الانحدار المتعدد لمساهمة الصفات الفينولوجية في الغلة الحبية في موقع بريدا

t pr.	Estimate	
معنوية إدخالها في معادلة التنبؤ	التقييم	
***	-32.39	DH
0.122	-13.35	DM



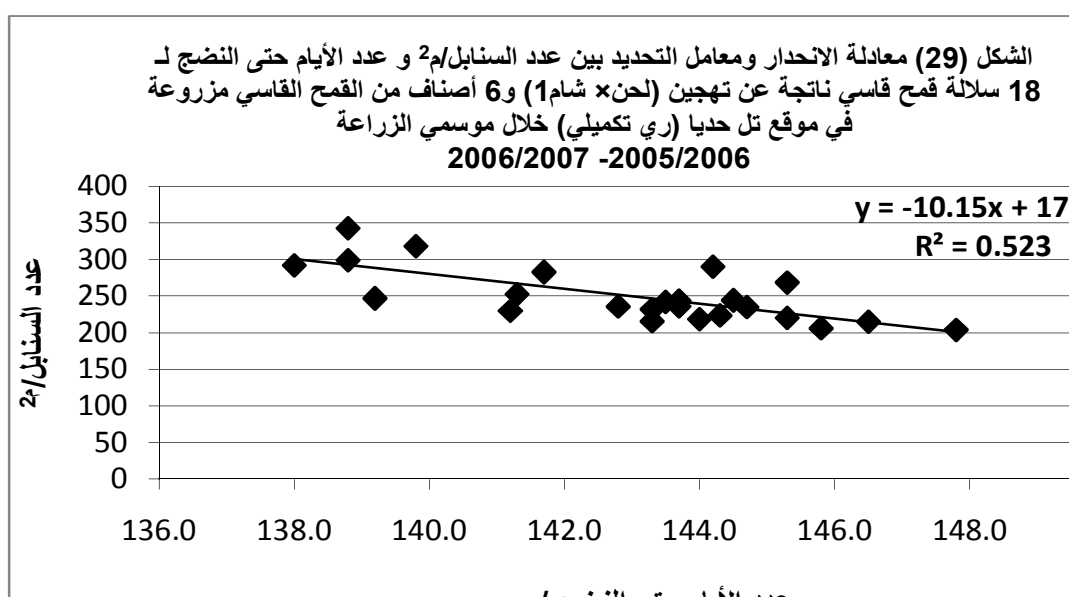
1. في موقع تل حديا:

لم تسجل أية علاقة مباشرة للصفات الفينولوجية في الغلة الحبية، إذ اقتضرت العلاقة بين بعض الصفات الفينولوجية بمكونات الغلة جدول (70)، وكما ذكرنا سابقاً ارتبط كل من عدد الأيام حتى الإسبال، وحتى النضج بمكوني الغلة عدد السنابل/م²، ووزن الألف حبة، لذلك تم دراسة معامل الانحدار المتعدد بين هاتين الصفتين الفينولوجية وبين كل من مكوني الغلة على حدى، ووجد ما يلي:

1- بين صفتي عدد الأيام حتى الإسهال والنضج وبين عدد السنابل/م²:
من الجدول (72) يتبين أن معادلة الانحدار تقتصر على العلاقة بين عدد الأيام حتى النضج وعدد السنابل/م²، حيث حوالي 50% من تغيرات عدد السنابل يعود إلى عدد الأيام حتى النضج، وأن العلاقة بينهما علاقة خطية شكل (29)،

جدول (72): تحليل الانحدار المتعدد لمساهمة الصفات الفينولوجية في عدد الأيام حتى الإسهال في موقع تل حديا

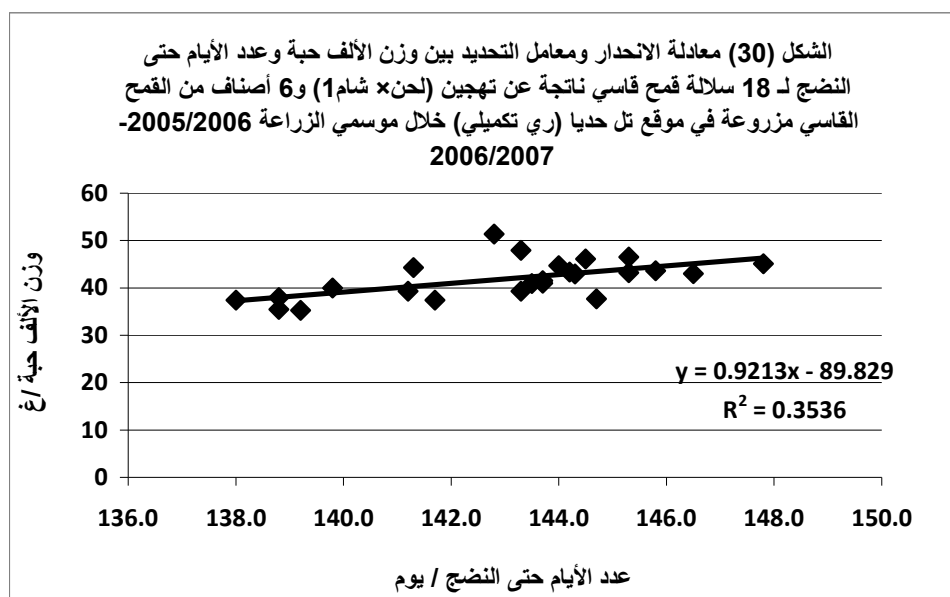
t pr.	Estimate	
معنوية إدخالها في معادلة التنبؤ	التقييم	
0.455	2.95	DH
**	12.91 -	DM



2- بين صفتي عدد الأيام حتى الإسهال والنضج وبين ووزن الألف حبة:
من الجدول (73) يتبين أن معادلة الانحدار تقتصر على العلاقة بين عدد الأيام حتى النضج ووزن الألف حبة، كما يبين الشكل (30) أن حوالي 35% من تغيرات وزن الألف حبة يعود إلى عدد الأيام حتى النضج وأن العلاقة بينهما علاقة خطية .

جدول (73): تحليل الانحدار المتعدد لمساهمة الصفات الفينولوجية في وزن الألف حبة في موقع تل حديا

t pr.	Estimate	
معنوية إدخالها في معادلة التنبؤ	التقييم	
0.369	0.456-	DH
*	1.346	DM



5. 2. 4. 3. إختبار T-Test:

يبين الجدول (74) تفوق مجموعة السلالات ذات الإنتاجية والثباتية الإنتاجية العالية معنوياً في الموقعين في صفة الباكورية في الإسبال والنضج لكلا الموسمين و متوسطهما، وبمعنوية أكبر في موقع بريدا لصفة الباكورية في الإسبال، وهذا دليلاً على أهمية صفة الباكورية في الإسبال والنضج لصفة الثباتية الإنتاجية، بينما لم تسجل فروقاً معنوية بين المجموعتين في فترة إمتلاء الحبوب في الموقعين.

جدول (74): يبين قيم الصفات الفينولوجية (التطورية) لمجموعتين من السلالات: عالية الإنتاج وذات ثباتية إنتاجية، ومنخفضة الإنتاجية وذات ثباتية إنتاجية منخفضة لموسمي الزراعة 2006/2007 - 2005/2006 لموقعي بريداء، تل حدياء، ومتوسط الموسمين، ومتوسط الموقعين، ومعنوية اختبار T

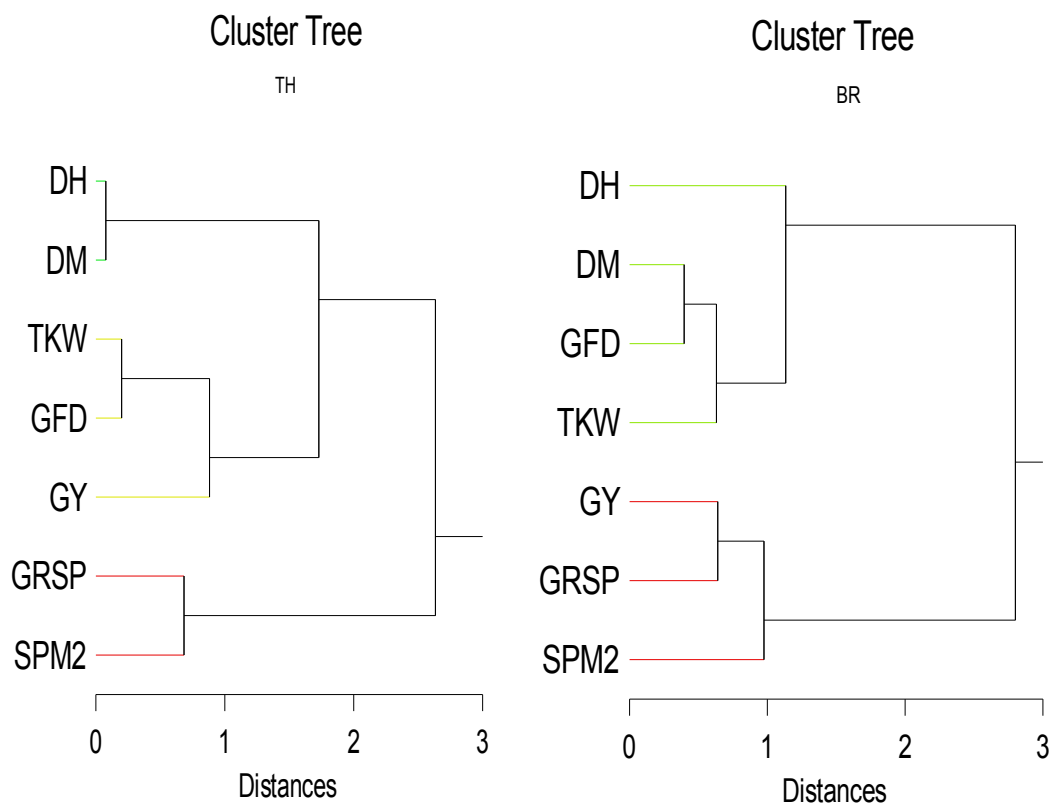
الصفة	السلالات عالية الإنتاجية وذات ثباتية إنتاجية عالية HY&HS	السلالات منخفضة الإنتاجية وذات ثباتية إنتاجية منخفضة LY&LS	الفرق بين السلالات عالية ومنخفضة الإنتاجية وذات ثباتية عالية ومنخفضة	الخطأ القياسي S E	معنوية اختبار T T-Test
DH BR6	84.22	86.67	-2.45	0.79	**
DH TH6	112.5	114.9	-2.378	1.12	*
DH BR7	104	108	-4	0.79	***
DH TH7	108.5	111.7	-3.267	0.97	**
DH BR	94.17	97.43	-3.3	0.7	***
DH TH	110.5	113.3	-2.82	0.99	*
DH المتوسط	102.3	105.4	-3.05	0.81	**
DM BR6	118	120.8	-2.822	0.822	**
DM TH6	145.9	148.9	-3.011	1.02	**
DM BR7	129.5	132.3	-2.867	0.633	***
DM TH7	129.5	141.3	-11.9	0.841	***
DM BR	123.7	126.6	-2.86	0.67	***
DM TH	142	145	-2	0.87	**
DM المتوسط	132.9	135.8	-2.9	0.71	***
GFD BR6	33.8	34.1	0.3-	0.24	NS
GFD TH6	33.4	34.0	0.63-	0.84	NS
GFD BR7	25.3	24.2	1.19	1.00	NS
GFD TH7	29.9	29.6	0.37	0.9	NS
GFD BR	29.6	29.1	0.43	0.55	NS
GFD TH	31.7	31.8	0.1-	0.63	NS
GFD المتوسط	30.6	30.5	0.1	0.44	NS

*معنوي على مستوى 0.05، ** معنوي على مستوى 0.01، *** معنوي على مستوى 0.001، NS: غير معنوي.

5. 2. 4. 4. التحليل العنقودي لعلاقات الارتباط بين الصفات الفينولوجية (التطورية) والغلة الحبية ومكوناتها:

يبين الشكل (31) التحليل العنقودي حسب اختبار Ward لعلاقة الارتباط بين الصفات الفينولوجية (التطورية) والغلة الحبية ومكوناتها في السلالات المتميزة بالإنتاجية والثباتية العاليتين في الموقع الجاف في بريداء، والري التكميلي في تل حدياء. إذ يلاحظ عدم وجود ارتباط مباشر للصفات الفينولوجية بالغلة الحبية في موقع بريداء، دالاً بذلك على ارتباط

مكونات الغلة بشكل أكبر بالغلة الحبية مقارنة بالصفات الفينولوجية في السلالات ذات الثباتية والإنتاجية العالية، واقتصر الارتباط في الصفات الفينولوجية بوزن الألف حبة، حيث لوحظ وجود مجموعتين عنقوديتين، دلت المجموعة الأولى على تقارب كل من عدد الأيام حتى النضج وفترة امتلاء الحبوب بوزن الألف حبة لترتبط بدورها بعدد الأيام حتى الإنبال، بينما ضمت المجموعة الثانية الممتلئة للمجموعة الإنتاجية كل من عدد الحبوب في السنبل بشكل متقارب بالغلة الحبية لترتبط بدورها بعدد السنابل/م²، كما وجد في موقع تل حديا ثلاثة مجموعات عنقودية، أهم ما يميز المجموعة الإنتاجية قرب فترة إمتلاء الحبوب بوزن الألف حبة لترتبط بالغلة الحبية دالاً بذلك على أهمية توافر الماء في فترة امتلاء الحبوب على وزن الألف حبة ليقوم بنقل نواتج التمثيل الضوئي إلى الحبوب.



DH: عدد الأيام حتى الإنبال، DM: عدد الأيام حتى النضج، GFD: فترة امتلاء الحبوب، GRSP: عدد الحبوب في السنبل، SPM2: عدد السنابل/م²، TKW: وزن الألف حبة، GYTH6: الغلة الحبية

شكل (31): التحليل العنقودي لعلاقات الارتباط بين متوسط الغلة الحبية ومكوناتها مع الصفات الفينولوجية في السلالات المتميزة بالإنتاجية العالية والثباتية الإنتاجية العالية في موقعين (بعلي BR - مروي TH) كمتوسط موسمي الزراعة 2006/2005 و 2007/2006.

5. 3. نتائج الدراسة الجزيئية:

5. 3. 1. الغلة الحبية ومكوناتها:

يبين الجدول (75) علاقة الغلة الحبية ومكوناتها مع المؤشرات الجزيئية في موقع بريدا في المواسم الزراعية 2005/2004 - 2006/2005 - 2007/2006 ومتوسط موسمي الزراعة 2006/2005 - 2007/2006 ومتوسط المواسم الزراعية 2004/2005 - 2005/2006 - 2006/2007 إذ لوحظ ارتباط المؤشرات الجزيئية (gwm219bp155, gwm614bp173, wmc105bp220)، والتي تواجدت في الأب (لحن) الأقل إنتاجاً بالغلة الحبية في موقع بريدا، إذ أثر توافقها مع الغلة الحبية إلى تناقصها، وارتبطت جميع هذه المؤشرات بعدد الحبوب في السنبل، وأثر توافقها في خفض عدد الحبوب في السنبل، بينما أثر التوافق للمؤشر الجزيئي gwm160bp172 في زيادة كل من الغلة الحبية، وعدد الحبوب في السنبل، حيث تواجد هذا المؤشر الجزيئي في الأب الأكثر إنتاجاً (شام1)، وفي السلالات الستة العالية والثابتة إنتاجياً (LC2014, LC2106, LC2110, LC2221, LC2301, LC2504) جدول(88)، بينما تميز المؤشر الجزيئي (gwm614bp173) المتواجد على الكروموزم 2A بقدرته على التعبير في بيئة بريدا في المواسم الأكثر جفافاً وفي متوسطهما، إذ تواجد هذا المؤشر فقط في السلالات المنخفضة والثابتة إنتاجياً (LC2204, LC2508, LC2006) جدول (88، 90)، كما تميز المؤشر الجزيئي (gwm219bp155) المتواجد على الكروموزم 6B بقدرته على التعبير في بيئة بريدا الممثلة للموقع الجاف في متوسط المواسم الزراعية الثلاثة، وفي الموسم الزراعي الأكثر جفافاً (موسم 2007/2006)، وفي متوسط الموسمين الزراعيين الأكثر جفافاً 2006/2005 - 2007/2006، كما أنه عبر عن بيئة الموسم الزراعي 2005/2004 الأقل جفافاً، وارتبط بمكون الغلة وزن الألف حبة في بريدا، وأثر توافقه زيادة معنوياً في وزن الألف حبة، أما بالنسبة لعدد السنابل /م² فقد ارتبط المؤشر الجزيئي gwm334bp110 المتواجد على الكروموزم 7B وفي الأب شام1 بهذه الصفة في الموسم الأكثر جفافاً في بريدا وفي متوسط الموسمين الأكثر جفافاً، وأدى توافق المؤشر مع عدد السنابل إلى زيادة في عددها.

يتبين من الجدول (76) وفي موقع تل حديا وجود ارتباطاً معنوياً بين المؤشرات الجزيئية (gwm344bp135, gwm368bp287, wmc050bp140, wmc232bp140) والغلة الحبية، وأدى توافق المؤشر الجزيئي (gwm368bp287, wmc232bp140) إلى زيادة الغلة الحبية معنوياً، وقد تواجد المؤشر الجزيئي (gwm368bp287) في الأب شام1 وعلى الكروموزم 4B، وارتبط معنوياً وبشكل موجب مع عدد الحبوب في السنبل، وأثر توافق هذا المؤشر في زيادة عدد الحبوب في السنبل في المواسم الزراعية 2006/2005 - 2007/2006 ومتوسط موسمي

الزراعة 2006/2005 - 2007/2006 ومتوسط المواسم الزراعية 2004/2005 - 2005/2006 - 2006/2007، كما تواجد في السلالات العالية والثابتة إنتاجياً (LC2103, LC2504, LC2215, LC2110)، بينما تواجد المؤشر الجزيئي (wmc232bp140) في الأب لحن وعلى الكروموزوم 4A مرتبطاً أيضاً بعدد السنابل/م²، مما أدى لزيادة عددها. ارتبط المؤشر الجزيئي wmc050bp140 بالغلة الحبية معنوياً، وأثر في خفض كل من الغلة الحبية ووزن الألف حبة.

كما تميز المؤشر الجزيئي gwm219bp155 (الجدولين 75 و 76) بالتعبير في كل من بريدا (الموقع الممثل للجفاف)، وتل حديا، إذ ارتبط معنوياً بوزن الألف حبة في الموسم الزراعي 2004/2005 في بريدا، وفي الموسم الزراعي 2006/2005 في موقعي بريدا وتل حديا، وفي متوسطي الموسمين الزراعيين الأكثر جفافاً 2006/2005 - 2007/2006 في كلا الموقعين، وفي متوسط المواسم الزراعية الثلاث في كلا الموقعين، وقد أثر توافقه في زيادة وزن الألف حبة في كلا الموقعين، تواجد هذا المؤشر الجزيئي على الصبغي 6B، وفي الأب الأول (لحن)، وفي السلالات الثمانية المنخفضة الإنتاجية والثابتة الإنتاجية، كما لوحظ أيضاً ارتباط المؤشر الجزيئي gwm614bp173 معنوياً بعدد الحبوب في السنبل في كلا الموقعين من الموسم الزراعي 2007/2006 وفي متوسط الثلاث مواسم زراعية، وقد تواجد على الكروموزوم 2A، وأثر توافقه في انخفاض عدد الحبوب في السنبل، كما تواجد في الأب لحن، وفي السلالات الثلاث المنخفضة الإنتاجية والثابتة الإنتاجية (LC2204, LC2508, LC2006)، ولم يتواجد في السلالات عالية الإنتاج والثابتة الإنتاجية جدول (88-90).

جدول (75) علاقة الغلة الحبية ومكوناتها مع المؤشرات الجينية في موقع بريدا في المواسم الزراعية 2005/2004-
2007/2006 - 2006/2005 ومتوسط المواسم الزراعية، ومتوسط موسمي الزراعة 2006/2005 - 2007/2006

Marker	Parents		T-Test	Difference	Means		No of Linse		Enviro	Cromosomal	Marker	Trait
present				of means	المتوسط		عدد السلالات			Location		
الأب المسؤول	شام1 (P2)	لحن (P1)		الاختلاف	1	0	1	0	البيئة	على الكروموزوم	المؤشر الجيني	الصفة
الغلة الحبية ومكوناتها:												
الغلة الحبيةGY												
P2	307	124	*	92	244	152	7	10	BR07	4AL	gwm160bp172	
P1	2419	2035	*	-374	1795	2169	11	6	BR05	6B	gwm219bp155	
P1	327	148	*	-90	164	254	11	6	BR07			
	539	376	*	-108	333	440	11	6	BR2Y			
	1190	929	*	-195	817	1012	11	6	BR			
P1	752	604	*	-206	376	582	3	12	BR06	2A	gwm614bp173	
	327	148	*	-97	114	211	3	12	BR07			
	539	376	*	-151	245	397	3	12	BR2Y			
P1	2474	2481	**	-417	1813	2230	13	4	BR05	6B	wmc105bp220	
	327	148	*	-101	169	270	13	4	BR07			
عدد السنابل / م2 SPM2												
P2	242	173	**	19	182	163	3	9	BR06	6A	gwm033bp181	
P2	242	173	*	20	182	162	3	6	BR06	1A	gwm033bp430	
P2	202	190	*	-17	169	186	8	10	BR7	7A	gwm063bp250	
P2	235	195	*	-35	205	240	15	3	BR05	6B	gwm107bp195	
P1	183	225	*	39	237	198	8	10	BR07	7B	gwm334bp110	
	213	199	*	22	203	181	8	10	BR2Y			
	202	190	*	23	205	182	8	10	BR			
P1	183	225	*	-35	196	231	8	10	BR07	7A	gwm344bp135	
P1	235	195	*	-52	185	237	10	8	BR05	1B	gwm403bp125	
P1	235	195	*	-45	198	244	13	4	BR05	6B	wmc105bp220	
P2	183	225	*	-14	212	226	8	9	BR07	2B	wmc175bp225	
عدد الحبوب في السنيلة GRSP												
P1	36	42	*	5	36	31	11	6	BR05	4B	gwm006bp180	
P2	16	8	*	6	17	11	7	10	BR07	4AL	gwm160bp172	
	23	9	*	7	22	16	7	10	BR2Y			
P1	26	18	*	-7	20	27	11	6	BR2Y	6B	gwm219bp155	
	28	23	*	-4	25	29	11	6	BR			
P1	16	8	*	-8	7	14	3	12	BR07	2A	gwm614bp173	
P1	28	23	*	-4	26	29	13	4	BR	6B	wmc105bp220	
P2	23	9	*	-5	16	21	9	9	BR2Y	4B	wmc047bp145	
P1	21	26	*	5	15	10	12	6	BR07	4A	wmc232bp140	
	23	9	*	6	20	15	12	6	2Y BR			
وزن الألف حبة TKW												
P1	19	26	*	2	23	20	11	6	BR06	4B	gwm006bp180	
P1	32	44	*	4	39	35	11	6	BR05	6B	gwm219bp155	
	19	26	**	3	23	20	11	6	BR06			
	20	23	*	2	22	20	11	6	BR2Y			
	23	28	*	2	27	25	11	6	BR			
P2	19	26	*	-3	20	23	8	10	BR06	1B	gwm268bp350	
P1	19	26	*	3	23	20	11	6	BR06	3B	gwm285bp213	
P1	19	26	*	-3	20	23	8	10	BR06	1B	wmc044bp260	
	20	23	*	-2	20	22	8	10	BR2Y			
	23	28	*	-2	26	27	8	10	BR			
P1	20	23	***	0	21	21	2	16	BR2Y	2B	wmc175bp260	
	23	28	*	3	29	26	2	16	BR			

جدول (76) علاقة الغلة الحبية ومكوناتها مع المؤشرات الجزيئية في موقع تل حديا في المواسم الزراعية 2005/2004 - 2006/2005 - 2007/2006 ومتوسط المواسم الزراعية، ومتوسط موسمي الزراعة 2006/2005 - 2007/2006

Marker	Parents		T-Test	Difference of means	Means		No of Linse		Enviro	Cromosomal	Marker	Trait
present	لحن	شام1			المتوسط		عدد السلالات			Location		
	(P1)	(P2)		الاختلاف	1	0	1	0	البيئة	الموقع على الكروموزوم	المؤشر الجزيئي	الصفة
الغلة الحبية ومكوناتها:												
GY												
P1	5798	5558	*	-907	5176	6083	8	10	TH5	7A	gwm344bp135	
P2	5798	5558	*	1214	6189	4976	7	5	TH5	4B	gwm368bp287	
	4221	4528	**	549	4544	3995			TH			
P1	3484	4418	**	-538	3251	3789	5	10	TH6	3A	wmc050bp140	
	3433	4012	*	-345	3408	3754			TH2Y			
P1	3484	4418	**	461	3735	3275	12	6	TH6	4A	wmc232bp140	
عدد السنابل / م2 SPM2												
P1	288	266	*	-38	263	301	11	6	TH	6B	gwm219bp155	
P1	208	213	*	27	243	216	6	11	TH7	1B	gwm264bp191	
P1	371	367	**	-85	309	394	11	6	TH5	3B	gwm285bp213	
	288	266	**	-52	261	313			TH			
P1	208	213	*	-30	211	240	6	9	TH7	3A	gwm369bp260	
P1	371	367	**	83	378	295	8	10	TH5	1B	wmc044bp260	
P1	371	367	***	-115	230	345	2	16	TH5	2B	wmc175bp260	
P1	288	266	**	-54	228	281			TH			
P1	285	218	*	59	288	229	12	6	TH6	4A	wmc232bp140	
	247	216	*	31	258	227			TH2Y			
عدد الحبوب في السنبل GRSP												
P1	41	40	*	-3	42	45	6	6	TH7	1B	gwm033bp112	
P2	41	40	*	-3	42	45	6	6	TH7	1A	gwm033bp121	
P1	62	64	*	9	61	53	11	7	TH5	5A	gwm129bp225	
P2	61	67	*	-7	58	65	8	10	TH6	5B	gwm234bp235	
	41	40	**	-4	41	45			TH7			
	51	53	**	-6	49	55			TH2Y			
	55	57	*	-5	51	57			TH			
P2	41	40	*	-3	42	45	8	10	TH7	1A	gwm264bp173	
	55	57	*	-5	52	57			TH			
P2	61	67	*	8	64	56	7	5	TH6	4B	gwm368bp287	
	41	40	*	4	44	40			TH7			
	51	53	*	6	54	48			TH2Y			
	55	57	*	6	56	50			TH			
P1	41	40	*	-3	40	43	3	12	TH7	2A	gwm614bp173	
	55	57	**	-5	50	55			TH			
P1	55	57	*	-4	51	56	6	12	TH	1A	wmc024bp125	
P2	62	64	*	9	61	53	11	7	TH5	5A	wmc096bp280	
وزن الألف حبة TKW												
P1	29	42	*	5	38	33	11	6	TH6	6B	gwm219bp155	
	41	54	**	5	51	46			TH7			
	35	48	**	5	45	39			TH2Y			
	38	50	*	4	44	40			TH			
P1	44	54	*	-4	39	43	5	10	TH5	3A	wmc050bp140	

5. 3. 2. الصفات المورفولوجية:

يتبين من الجدول (77) وجود ارتباطاً معنوياً في موقع بريدا بين الصفات المورفولوجية والعديد من المؤشرات الجزيئية المدروسة والتي توزعت على العديد من الكروموزومات (2-3-4-6-7A, 2-3-4-5-6B)، فارتبط المؤشر الجزيئي gwm060bp215 المتوضع على الكروموزم 7A والمتواجد في الأب لحن بطول السفا معنوياً ($P < 0.01$)، إذ أثر توافقه في زيادة طول السفا، بينما أثر المؤشر الجزيئي wmc050bp140 المتواجد على الكروموزم 3A، في انخفاض طول السفا معنوياً، وقد تميز بالتعبير في البيئة الأكثر جفافاً (موسمي الزراعة 2005/2006 - 2006/2007) وفي متوسط الموسمين الزراعيين، ومتوسط المواسم الزراعية الثلاث. تواجد المؤشر الجزيئي wmc175bp260 على الكروموزم 2B، وأثر في زيادة طول السفا معنوياً ($P < 0.001$)، وتميز بالتعبير في الموسم الزراعي الأكثر جفافاً 2006/2007، وفي متوسط الثلاث سنوات، بالإضافة إلى ارتباطه الموجب معنوياً بصفة طول حامل السنبله ($P < 0.01$)، كما وجد ارتباطاً معنوياً وبشكل ايجابي للمؤشرات الجزيئية (gwm160bp172, gwm219bp155, gwm614bp173, wmc232bp140) بحيث أثر توافق هذه المؤشرات الجزيئية إلى زيادة طول حامل السنبله، وتبين أن المؤشر wmc232bp140 المتوضع على الكروموزوم 4A، والمتواجد في الأب لحن، وفي السلالات السبع العالية الإنتاجية والثابتة إنتاجياً (LC2014, LC2103, LC2106, LC2110, LC2221, LC2301, LC2504)، من أكثر المؤشرات تعبيراً في موقع بريدا. ارتبطت المؤشرات الجزيئية (gwm033bp181, gwm403bp135, wmc099bp160) المتواجدة في الأب شام 1 بصفة طول السنبله، إذ أثر توافق هذه المؤشرات في زيادة طول السنبله معنوياً، كما تميز المؤشر الجزيئي wmc099bp160 بالتعبير عن بيئة بريدا في الموسم الزراعي الأكثر جفافاً 2006/2007، وفي متوسط الموسمين الزراعيين الأكثر جفافاً (2005/2006 - 2006/2007)، بينما ارتبط المؤشرين الجزيئين (gwm614bp173, wmc047bp145) ارتباطاً سلبياً بصفة طول النبات حيث أثر توافقه في قصر طول النبات. عبر المؤشر wmc047bp145 عن بيئة بريدا في كافة المواسم الزراعية المدروسة، وتواجد في الأب شام 1، متوضعاً على الكروموزم 4B، بالإضافة إلى ارتباطه السلبي والمعنوي بطول السنبله.

يبين الجدول (78-1) ارتباط المؤشر الجزيئي gwm129bp225 معنوياً في موقع تل حديا بصفتي طول السفا وطول حامل السنبله، مؤثراً توافقه في زيادة هاتين الصفتين، كما ارتبط المؤشر الجزيئي wmc047bp145 المتواجد في الأب لحن والمتوضع على الكروموزم 4B بصفتي طول السفا وطول السنبله جدولي (78-1 و 78-2)، وقد تميز بالتعبير بصفة طول السفا في بيئة تل حديا، وأثر في تناقص هاتين الصفتين، بينما وجد ارتباطاً معنوياً موجباً بين

المؤشر **wmc096bp280** المتواجد في الأب لحن، وعلى الكروموزم **5A** بصفتي طول حامل السنبلة وطول النبات، كما ارتبط المؤشر **wmc175bp260** المتواجد في الأب لحن والمتوضع على الكروموزم **2B** ارتباطاً معنوياً وموجباً مع طول حامل السنبلة، وارتباطاً معنوياً سالباً مع طول النبات، ومن ناحية أخرى وجد عدد من المؤشرات التي ارتبطت بإحدى الصفات المورفولوجية، حيث ارتبطت المؤشرات (**gwm160bp172, gwm264bp173, gwm369bp260, wmc035bp265, wmc232bp140**) بصفة طول السفا وأدى توافقه إلى زيادة معنوية في طول السفا، كما ارتبطت المؤشرات (**gwm033bp181, gwm129bp225, gwm219bp155, gwm293bp186, wmc099bp160, wmc105bp220, wmc161bp155, wmc170bp225, wmc175bp225**) معنوياً وبشكل موجب مع صفة طول حامل السنبلة، أما المؤشر **gwm107bp195** فقد ارتبط بصفة طول السنبلة وأثر توافقه في زيادة معنوية في طول السنبلة. تميز المؤشر الجزيئي **wmc154bp150** بالتعبير في بيئة تل حديا حيث ارتبط بصفة طول النبات في متوسط المواسم المدروسة، والموسم الزراعي الأول والثاني، ومتوسط الموسمين الزراعيين الثاني والثالث، وأثر توافقه إلى زيادة معنوية في طول النبات، وقد تواجد على الصبغي **2B**، وفي الأب لحن.

تبين الجداول رقم (77، 78-1، 78-2) وجود عدة من المؤشرات الجزيئية التي ارتبطت بالصفات المورفولوجية في كلا موقعي الدراسة: بريدا الممثل لموقع الجفاف، وتل حديا المروي رياً تكملياً برية واحدة خلال فترة امتلاء الحبوب، إذ وجد ارتباط للمؤشرين الجزيئيين (**gwm219bp155, wmc175bp260**) بصفة حامل السنبلة، وأثر توافقه في زيادة معنوية في طول حامل السنبلة في كلا الموقعين، كما ارتبط المؤشرين (**wmc025bp220, wmc047bp145**) بطول السنبلة في كلا الموقعين، وأثر توافقه في نقص معنوي في طول السنبلة في كلا الموقعين، ووجد أن أحدها (**wmc047bp145**) ارتبط بطول النبات وأثر توافقه في انخفاض معنوي في طول النبات، حيث عبر عنه في الموقعين.

جدول (77) علاقة الصفات المورفولوجية مع المؤشرات الجزيئية في موقع بريدنا في المواسم الزراعية 2005/2004 - 2006/2005 - 2007/2006 ومتوسط المواسم الزراعية، ومتوسط موسمي الزراعة 2006/2005 - 2007/2006

Marker present	Parents		T-Test	Difference of means	Means		No of Linse		Enviro	Cromosomal Location	Marker	Trait
	الأب المسؤول	لحن شام1		الاختلاف	1	0	1	0	البيئة	الموقع	المؤشر الجزيئي	الصفة
	(P2)	(P1)										
طول السفا AWL												
P1	6	7	**	1	8	7	5	12	BR05	7A	gwm060bp215	
P1	12	9	*	-2	8	10	5	10	BR06	3A	wmc050bp140	
	6	3	*	-1	4	5	5	10	BR07			
	9	6	**	-1	6	7	5	10	BR2Y			
	8	6	**	-1	6	7	5	10	BR			
P1	6	3	***	1	6	4	2	16	BR07	2B	wmc175bp260	
	8	6	***	1	8	7	2	16	BR			
	6	7	*	-1	7	8	12	6	BR05	4A	wmc232bp140	
	12	9	**	0.5	4.5	4.0	12	6	BR06			
طول حامل السنبلية PL												
P2	21	22	*	1	21	20	7	10	BR05	4AL	gwm160bp172	
P1	21	22	*	3	22	19	11	6	BR05	6B	gwm219bp155	
P1	21	22	*	2	22	20	3	12	BR05	2A	gwm614bp173	
P1	16	14	**	1	21	20	2	16	BR	2B	wmc175bp260	
P1	16	12	**	1	21	20	12	6	BR06	4A	wmc232bp140	
	13	10	*	2	11	10	12	6	BR2Y			
	16	14	**	1	15	13	12	6	BR			
طول السنبلية SL												
P2	6	7	*	0.5	6.9	6.4	3	9	BR05	6A	gwm033bp181	
P2	7	6	*	0.1	6.9	6.8	8	10	BR06	4B	gwm403bp135	
P1	6	6	*	-0.6	5.9	6.5	6	12	BR07	3B	wmc025bp220	
P2	6	6	*	-0.5	6.4	6.8	6	12	BR2Y			
P2	7	6	*	-0.4	6.7	7.0	9	9	BR06	4B	wmc047bp145	
P2	6	6	*	0.4	6.2	5.7	11	7	BR07	5B	wmc099bp160	
	6	6	*	0.4	6.6	6.2	11	7	BR2Y			
طول التبات PH												
P1	35	32	*	-2	32	34	3	12	BR07	2A	gwm614bp173	
P1	69	65	*	-5	63	68	3	12	BR05	4B	wmc047bp145	
	42	42	*	-3	37	41	3	12	BR06			
	35	32	*	-2	33	34	3	12	BR07			
	38	37	**	-2	35	37	3	12	BR2Y			
	48	46	**	-3	44	48	3	12	BR			

جدول (1-78) علاقة الصفات المورفولوجية مع المؤشرات الجزيئية في موقع تل حديا في المواسم الزراعية 2005/2004 - 2006/2005 - 2007/2006 ومتوسط المواسم الزراعية، ومتوسط موسمي الزراعة 2005 / 2006-2006/2006

Marker	Parents		T-Test	Difference	Means		No of Linse		Enviro	Cromosomal	Marker	Trait
present				of means	المتوسط		عدد السلالات			Location		
	شام1	لحن			1	0	1	0	البيئة	الموقع	المؤشر الجزيئي	الصفة
الأب المسؤول	(P2)	(P1)		الاختلاف						على الكروموزوم		طول السفا
												AWL
P1	12	10	*	1	11	9	11	7	TH5	5A	gwm129bp225	
P2	12	10	*	1	11	10	7	10	TH5	4AL	gwm160bp172	
	12	10	*	1	11	10			TH			
P2	12	10	*	1	11	9	10	8	TH5	1B	gwm264bp173	
P1	12	10	*	1	11	10	6	9	TH5	3A	gwm369bp260	
	12	10	*	1	11	10			TH			
P1	12	10	*	1	11	10	6	11	TH5	4A	wmc035bp265	
P2	12	10	*	-1	10	11	9	9	TH5	4B	wmc047bp145	
	14	11	**	-1	11	13			TH6			
	12	10	*	-1	10	11			TH2Y			
	12	10	*	-1	10	11			TH			
P1	10	9	*	1	10	9	12	6	TH7	4A	wmc232bp140	
	12	10	*	1	11	10			TH			
												طول حامل السنبلية PL
P2	18	36	*	4	40	36	3	9	TH5	6A	gwm033bp181	
	21	21	**	3	25	22			TH7	5A	gwm129bp225	
	21	30	*	2	31	30			TH			
P1	24	31	*	2	31	29	11	7	TH6	6B	gwm219bp155	
	21	30	*	2	31	30			TH			
P1	24	31	*	-3	29	32	6	11	TH6	1B	gwm264bp191	
	22	26	*	-2	26	28			TH2Y			
	21	30	*	-2	29	31			TH			
P2	21	21	*	3	25	22	10	7	TH7	5A	gwm293bp186	
	22	26	*	2	28	26			TH2Y			
P1	24	31	***	-4	29	33	8	8	TH6	5B	gwm335bp185	
	22	26	*	-2	26	29			TH2Y			
	21	30	*	-2	30	32			TH			
P2	24	31	**	-3	29	32	8	10	TH6	4B	gwm403bp135	
	22	26	*	-2	26	28			TH2Y			
P1	21	21	**	-3	22	25	8	8	TH7	1B	gwm403bp113	
	22	26	**	-3	26	29			TH2Y			
	21	30	*	-2	30	32			TH			
P1	21	21	*	-2	23	25	12	5	TH7	4B	gwm495bp155	
	21	30	*	-2	30	32			TH			
P1	21	21	*	-3	23	25	11	7	TH7	4B	wmc048bp190	
	22	26	*	-2	27	28			TH2Y			
P1	21	21	**	3	25	22	11	7	TH7	5A	wmc096bp280	
	22	26	*	2	28	26			TH2Y			
P2	22	26	*	2	28	26	8	5	TH2Y	5B	wmc099bp160	
P1	21	21	*	0	24	24	13	4	TH7	6B	wmc105bp220	
P1	18	36	*	4	39	36	8	10	TH5	4A	wmc161bp155	
P2	18	36	*	1	38	37	7	10	TH5	2A	wmc170bp225	
P1	18	36	*	3	39	35	8	9	TH5	2B	wmc175bp225	
P1	18	36	**	5	41	37	2	16	TH5	2B	wmc175bp260	
	21	30	*	1	31	31			TH			

جدول (2-78) علاقة الصفات المورفولوجية مع المؤشرات الجزيئية في موقع تل حديا في المواسم الزراعية 2005/2004 - 2006/2005 - 2007/2006 ومتوسط المواسم الزراعية، ومتوسط موسمي الزراعة 2005 / 2006-
2007/2006

Marker	Parents		T-Test	Difference	Means		No of Linse		Enviro	Cromosomal	Marker	Traits
present	شام1	لحن		of means	المتوسط	عدد السلالات				Location		
الأب المسؤول	(P2)	(P1)		الاختلاف	1	0	1	0	البيئة	على الكروموزوم	المؤشر الجزيئي	الصفة
												طول السنبل SL
P2	7.5	7.2	*	0.4	7.3	6.9	15	3	TH5	6B	gwm107bp195	
	7.6	7.4	*	0.4	7.8	7.4			TH			
P1	7.5	7.2	*	-0.6	6.9	7.5	8	8	TH5	5B	gwm335bp185	
	7.6	7.4	*	-0.4	7.6	7.9			TH			
P2	7.6	7.4	*	-0.3	7.5	7.9	8	10	TH	4B	gwm403bp135	
P1	7.5	7.2	*	-0.6	6.9	7.5	8	8	TH5	1B	gwm403bp113	
P1	7.3	6.9	*	-0.4	7.4	7.8	9	5	TH7	3B	wmc025bp220	
P2	7.5	7.2	*	-0.6	7.0	7.5	9	9	TH5	4B	wmc047bp145	
P1	7.6	7.4	*	-0.2	7.7	7.8	11	7	TH	4B	wmc048bp190	
												طول النبات PH
P2	61	62	*	4	67	63	15	3	TH7	5A	gwm129bp225	
	66	69	*	4	73	69			TH2Y			
	75	75	*	4	81	76			TH			
P1	70	76	*	-5	75	79	6	11	TH6	1B	gwm264bp191	
	66	69	*	-4	69	73			TH2Y			
P1	94	87	*	-7	91	98	8	8	TH5	5B	gwm335bp185	
	70	76	**	-7	75	82			TH6			
	61	62	*	-4	64	68			TH7			
	66	69	**	-6	69	75			TH2Y			
	75	75	*	-6	77	83			TH			
P2	61	62	*	-5	64	69	7	5	TH7	4B	gwm368bp287	
P2	94	87	*	-6	90	96	8	10	TH5	4B	gwm403bp135	
	70	76	**	-7	74	81			TH6			
	61	62	**	-5	63	68			TH7			
	66	69	**	-6	68	74			TH2Y			
	75	75	**	-6	76	82			TH			
P1	94	87	*	-8	90	98	8	8	TH5	1B	gwm403bp113	
	70	76	*	-8	74	82			TH6			
	61	62	*	-5	63	68			TH7			
	66	69	*	-6	68	75			TH2Y			
	75	75	**	-7	76	82			TH			
P1	94	87	*	7	97	91	9	5	TH5	3B	wmc025bp220	
	94	87	*	7	97	91			TH5	1B	wmc044bp260	
	75	75	*	5	82	77			TH			
P2	70	76	*	-5	75	81	9	9	TH6	4B	wmc047bp145	
	61	62	***	-6	63	68			TH7			
	66	69	**	-6	69	74			TH2Y			
P1	61	62	*	4	67	63	11	7	TH7	5A	wmc096bp280	
	66	69	*	4	73	69			TH2Y			
	75	75	*	4	81	76			TH			
P1	94	87	*	6	96	90	10	7	TH5	2B	wmc154bp150	
	70	76	*	6	81	75			TH6			
	66	69	*	5	74	69			TH2Y			
	75	75	*	5	81	76			TH			
P1	70	76	*	-6	73	79	2	16	TH6	2B	wmc175bp260	
	75	75	*	-4	75	79			TH			
P1	94	87	*	6	96	90	11	7	TH5	3A	wmc243bp175	
	70	76	*	5	80	75			TH6			
	75	75	*	5	81	76			TH			

5. 3. 3. الصفات الفيزيولوجية:

يبين الجدول (79) علاقة الصفات الفيزيولوجية (لون الورقة في مرحلتَي Z45 و Z75، الناقلية والمقاومة المسامية) مع المؤشرات الجزيئية في موقع بريدا في المواسم الزراعية 2005/2004 - 2006/2005 - 2007/2006 ومتوسط المواسم الزراعية، ومتوسط موسمي الزراعة 2006/2005 - 2007/2006، حيث لوحظ ارتباط المؤشر الجزيئي **gwm033bp181** المتواجد على الكروموزوم 6A والمتواجد في السلالتين (LC2215، LC2301) العاليتين والثابتين إنتاجياً، وفي الأب شام 1 بصفتي لون الورقة، والناقلية المسامية في مرحلة Z45 ارتباطاً موجباً عالي المعنوية ($P < 0.001$, 0.01) وعلى الترتيب، وقد ارتبط هذا المؤشر ارتباطاً معنوياً وسالباً مع المقاومة المسامية في أكثر المواسم المدروسة جفافاً (الموسم الزراعي 2007/2006)، كما وجد ارتباط المؤشر **gwm033bp430** المتواجد على الكروموزوم 1A، والمتواجد في الأب شام 1 إيجابياً ومعنوياً مع كل من صفة لون الورقة والناقلية المسامية في المرحلة الفاصلة بين الحبل وطرد السنابل، وفي مرحلة امتلاء الحبوب، حيث أن توافق المؤشر **gwm033bp430** أثر في زيادة معنوية في الصفات المرتبطة بها، وارتبط سلباً مع صفة المقاومة المسامية، وأدى إلى تناقصها معنوياً ($P < 0.01$) وخاصة في الموسم الأكثر جفافاً، وكذلك الأمر بالنسبة للمؤشر الجزيئي **wmc175bp260** المتواجد في الأب لحن، وعلى الكروموزوم 2B، إذ ارتبط بدوره بالصفات الفيزيولوجية: كصفة لون الورقة في المرحلة الفاصلة بين الحبل وطرد السنابل، وفي مرحلة امتلاء الحبوب، والناقلية المسامية، وأثر توافقه في زيادة معنوية في الصفات المرتبطة بها، وارتبط سلباً مع صفة المقاومة المسامية، كما أثر توافق للمؤشر **gwm63bp250** المتواجد في الأب شام 1، على الكروموزوم 7A في زيادة معنوية في صفتي لون الورقة في مرحلة امتلاء الحبوب، والناقلية المسامية، بينما أدى توافقه إلى نقص في المقاومة المسامية. ارتبط المؤشر **gwm033bp43** بصفتي لون الورقة في مرحلة امتلاء الحبوب، والناقلية المسامية، وأثر توافقه في زيادة معنوية في هاتين الصفتين، وتميز المؤشر **gwm210bp410** المتواجد في الأب لحن، على الكروموزوم 2B بارتباطه الموجب مع صفة المقاومة المسامية.

أما في تل حديا: ارتبط كل من المؤشرين (**gwm107bp195**, **wmc232bp140**) ارتباطاً موجباً ومعنوياً مع لون الورقة في مرحلة Z 45، وعبر هذا المؤشر **wmc232bp140**، المتواجد في الأب لحن، وعلى الكروموزوم 4A، والسبع سلالات العالية والثابتة إنتاجياً (LC2014، LC2103، LC2106، LC2110، LC2221، LC2301، LC2504) في بيئة تل حديا من الموسم الزراعي 2006/2005، وفي متوسط الموسمين الزراعيين 2006/2005 - 2007/2006، ومتوسط الثلاث المواسم الزراعية المدروسة جدول (80)، وارتبط المؤشران

(gwm260bp170, wmc099bp160) معنوياً بصفة لون الورقة في مرحلة امتلاء الحبوب (Z75)، وأثر هذا الارتباط إلى زيادة في إعطاء اللون الأخضر الداكن للورقة العلمية، بينما ارتبط المؤشر wmc175bp260، والمتواجد في الأب لحن سلبياً بصفتي لون الورقة Z75، والناقلية المسامية في مرحلة Z75، بينما ارتبط المؤشران (wmc035bp265, wmc044bp260) بشكل موجب بصفة الناقلية المسامية الهامة في موقع تل حديا، بينما كان ارتباط هذين المؤشرين سلبياً بصفة المقاومة المسامية، كما ارتبط المؤشران الجزيئيان (wmc048bp190, wmc161bp155) المتواجدان في الأب لحن، وعلى الكروموزم (1B, 4A) على الترتيب معنوياً بصفة المقاومة المسامية.

ويتبين من الجدولين (79 و 80) وجود مؤشرات جزيئية ارتبطت بالصفات الفيزيولوجية في كلا الموقعين، فوجد ارتباطاً سلبياً للمؤشر gwm285bp213 مع لون الورقة Z45 في كلا موقعي الدراسة، في كلا الموقعين، وارتباطاً سالباً للمؤشر gwm63bp250 مع المقاومة المسامية.

جدول (79) علاقة بعض من الصفات الفيزيولوجية لون الورقة (Z 45, 75)، الناقلية والمقاومة المسامية (45) مع المؤشرات الجزيئية في موقع بريدة في المواسم الزراعية 2005/2004 - 2006/2005 - 2007/2006 ومتوسط المواسم الزراعية، ومتوسط موسمي الزراعة 2006/2005 - 2007/2006

Marker	Parents		T-Test	Difference	Means		No of Linse		Enviro	Cromosomal	Marker	Trait
present	of means				المتوسط		المسلات			Location		
الأب المسؤول	شام1 (P2)	لحن (P1)		الاختلاف	1	0	1	0	البيئة	على الكروموزوم	المؤشر الجزيئي	الصفة
لون الورقة LC 45 Z45												
P1	52	48	*	-3	49	52	11	6	BR7	4B	gwm006bp180	
P1	52	48	*	2	52	49	6	6	BR7	1B	gwm033bp112	
			*	2	51	49	6	6	BR2Y			
P2	53	50	**	3	53	50	3	9	BR7	6A	gwm033bp181	
P2	52	48	*	2	52	49	5	6	BR7	1A	gwm033bp332	
P2	52	48	**	4	53	49	3	6	BR7	1A	gwm033bp430	
P2	52	48	*	2	52	49	6	6	BR7	1A	gwm033bp121	
	53	50	*	2	51	49	6	6	BR2Y			
P1	51	47	*	-2	49	50	11	6	BR5	6B	gwm219bp155	
	52	49	*	0			11	6	BR			
P1	51	47	**	5	53	48	5	11	BR5	7A	gwm260bp170	
P1	53	50	*	-2	49	51	11	6	BR2Y	3B	gwm285bp213	
	52	49	*	-2	49	51	11	6	BR			
P1	53	51	*	0			10	8	BR6	1B	gwm403bp125	
P2	52	48	**	3	52	49	9	9	BR7	4B	wmc047bp145	
P1	53	50	*	-2	48	50	2	16	BR2Y	2B	wmc175bp260	
	52	49	*	-2	48	50	2	16	BR			
P1	52	49	*	2	50	48	12	6	BR	4A	wmc232bp140	
لون الورقة LC 75 Z75												
P2	53	54	*	5	57	52	3	6	BR5	1A	gwm033bp430	
P2	58	51	*	2	52	51	8	10	BR2Y	7A	Gwm063bp250	
P1	58	53	*	-3	51	54	11	7	BR6	5A	gwm129bp225	
P2	53	46	*	-0.5	50	51	7	10	BR7	4AL	gwm160bp172	
P1	58	51	*	-2	51	52	11	6	BR2Y	6B	gwm219bp155	
P2	58	53	*	-2	51	54	10	7	BR6	5A	gwm293bp186	
P1	58	53	**	-3	51	54	8	10	BR6	7B	gwm334bp110	
	58	51	*	-2	50	52			BR2Y			
P2	58	53	*	-1	51	51	11	7	BR6	4A	wmc096bp280	
	58	51	*	-2	51	53			BR2Y			
P1	53	54	*	5	57	52	8	9	BR5	2B	wmc175bp225	
الناقلية المسامية SC45												
P2	0.036	0.042	***	0.010	0.042	0.032	3	9	BR7	6A	gwm033bp181	
P2	0.036	0.042	*	0.009	0.042	0.033	3	6	BR7	1A	gwm033bp430	
P2	0.030	0.012	*	0.010	0.032	0.022	8	10	BR6	7A	gwm63bp250	
	0.033	0.022	*	0.005	0.033	0.028			BR2Y			
P1	0.401	0.866	**	0.434	1.013	0.579	11	6	BR5	3B	gwm285bp213	
	0.156	0.307	**	0.145	0.359	0.213	11	6	BR			
P2	0.036	0.042	*	0.005	0.037	0.032	10	7	BR7	5A	gwm293bp186	
P1	0.033	0.022	*	0.003	0.033	0.030	2	16	BR2Y	2B	wmc175bp260	
المقاومة المسامية SR45												
P2	28	24	**	-8	24	31	3	9	BR7	6A	gwm033bp181	
P2	28	24	*	-8	24	31	3	6	BR7	1A	gwm033bp430	
P2	34	86	*	-14	34	48	3	6	BR6	7A	gwm63bp250	
	31	44	**	-5	13	18	3	6	BR	7A	gwm63bp250	
P1	31	44	*	6	20	14	6	6	BR	2B	gwm210bp410	
P1	31	44	*	-3	30	34	2	16	BR2Y	2B	wmc175bp260	

جدول (80) علاقة بعض من الصفات الفيزيولوجية لون الورقة (Z 45, 75)، الناقلية والمقاومة المسامية (Z45) مع المؤشرات الجزيئية في موقع تل حدبا في المواسم الزراعية 2005/2004 - 2006/2005 - 2007/2006 ومتوسط المواسم الزراعية، ومتوسط موسمي الزراعة 2006/2005 - 2007/2006

Marker	Parents		T-Test	Difference of means	Means		No of Linse		Enviro	Cromosomal	Marker	Trait
present	شام1	لحن			المتوسط		عدد السلالات			Location		
	(P2)	(P1)		الاختلاف	1	0	1	0	البيئة	على الكروموزوم	المؤشر الجزيئي	الصفة
لون الورقة Z45 LC 45												
P2	47	45	*	1	45	44	15	3	TH	6B	gwm107bp195	
P1	47	45	*	-3	44	47	11	7	TH7	5A	gwm129bp225	
	47	45	*	-3	44	47			TH2Y			
P1	47	45	*	-3	44	47	11	6	TH7	3B	gwm285bp213	
P1	47	45	*	-2	44	47	11	6	TH7	5A	gwm293bp186	
P1	47	45	*	-3	44	47	11	7	TH7	5A	wmc096bp280	
	47	45	*	-3	44	47			TH2Y			
P1	47	45	**	3	46	43	12	6	TH6	4A	wmc232bp140	
	47	45	*	3	46	43			TH2Y			
	47	45	**	2	46	44			TH			
لون الورقة Z75 LC 75												
P2	51.77	50.43	*	-1	51	52	5	6	TH7	1A	gwm033bp332	
P1	51.62	50.72	*	1	52	51	5	11	TH2Y	7A	gwm260bp170	
P2	51.77	50.43	*	2	53	51	8	5	TH7	5B	wmc099bp160	
P1	51.62	50.72	*	-2	49	52	2	16	TH2Y	2B	wmc175bp260	
الناقلية المسامية SC45												
P2	0.40	0.22	*	0.4	0.69	0.29	9	4	TH5	2B	gwm210bp173	
	0.74	0.58	*	0.3	1.19	0.84			TH			
P1	0.27	0.26	*	0.1	0.45	0.32	6	11	TH6	2A	wmc035bp265	
P1	0.27	0.26	*	0.1	0.42	0.31	8	10	TH6	1B	wmc044bp260	
P1	0.27	0.26	**	-0.1	0.29	0.37	2	16	TH6	2B	wmc175bp260	
المقاومة المسامية SR45												
P2	3.7	3.8	*	-1	2.54	3.31	8	10	TH6	7A	Gwm063bp250	
	9.2	8.1	*	3	9.38	6.14			TH7			
P1	3.7	3.8	*	-1	2.54	3.31	6	11	TH6	2A	wmc035bp265	
	8.47	6.44	*	-1	3.90	4.97			TH2Y			
P1	3.7	3.8	*	-1	2.54	3.31	8	10	TH6	1B	wmc044bp260	
	9.2	8.1	*	3	8.82	5.63			TH7	4B	wmc048bp190	
	8.47	6.44	*	1	4.98	3.95			TH2Y			
P1	8.47	6.44	*	1	5.10	4.17	8	10	TH2Y	4A	wmc161bp155	

ويلاحظ لدى دراسة علاقة بعض الصفات الفيزيولوجية الأخرى (قوة الإنبات والتغطية النباتية، محتوى الماء النسبي في مرحلة Z45) مع المؤشرات الجزيئية في المواسم الزراعية 2005/2004 - 2006/2005 - 2007/2006 ومتوسط المواسم الزراعية، ومتوسط موسمي الزراعة 2006/2005 - 2007/2006، وصفات التفاف الورقة في الصباح والظهيرة، ودليل الالتفاف في المواسم الزراعية 2005/2004 - 2006/2005، ومتوسط الموسمين الزراعيين 2006/2005 - 2007/2006 جدول (81)، وجود ارتباط موجب للمؤشر gwm403bp135 المتواجد في الأب شام 1 بصفة قوة الإنبات والتغطية النباتية، حيث أدى توافق هذا المؤشر إلى زيادة معنوية في هذه الصفة، ونقصاً في محتوى الماء النسبي في المرحلة الواقعة بين الحبل وطرد السنابل. ارتبط المؤشر الجزيئي wmc175bp260 المتواجد في الأب لحن وعلى الكروموزم 2B بصفة قوة الإنبات والتغطية النباتية، وأدى التوافق إلى زيادة معنوية في هذه الصفة، بالإضافة إلى نقص في صفتي التفاف الورقة في وقت الظهيرة، ودليل التفاف ورقة العلم، كما ارتبط المؤشر wmc243bp175 المتواجد في الأب لحن، وعلى الكروموزم 3A سلبياً بصفة وجود الطبقة الشمعية، وإيجابياً بصفة محتوى الماء النسبي Z45، بينما ارتبط المؤشر gwm264bp173 المتواجد في الأب شام 1، على الكروموزم 1A بصفة قوة الإنبات والتغطية النباتية، وأدى التوافق بين المؤشر والصفة إلى زيادة معنوية في هذه الصفة، أما بالنسبة لصفة وجود الطبقة الشمعية فقد وجد ارتباطاً موجباً عالي المعنوية ($P < 0.001$) للمؤشر wmc105bp220، المتواجد في الأب لحن، على الكروموزم 6B والمعبّر عنه في الموسم الأكثر جفافاً، وفي متوسط الموسمين الزراعيين الأكثر جفافاً (2006/2005 - 2007/2006)، لوحظ أيضاً وجود عدة من المؤشرات الجزيئية متواجدة في الأب لحن (gwm219bp155, gwm260bp170, wmc025bp220)، مؤدية توافقها لزيادة معنوية في صفة محتوى الماء النسبي. تميز المؤشر gwm219bp155 بتواجده في السلالات الثمانية المنخفضة الإنتاجية والثباتية الإنتاجية (LC2006, LC2012, LC2204, LC2222, LC2304, LC2306, LC2322, LC2508) جدول (88)، كما أدى توافق المؤشر gwm344bp135 مع صفة التفاف الورقة في وقت الصباح إلى التقليل من التفاف الورقة، وهذه صفة جيدة لتتمكن الأوراق من استقطاب الأشعة الضوئية في وقت انخفاض الحرارة، والقيام بعملية التمثيل الضوئي، وبالنسبة لصفة التفاف الورقة العلمية في وقت الظهيرة فقد وجدت عدة مؤشرات (wmc170bp225, gwm033bp181, gwm033bp332, gwm033bp430, gwm033bp121، شام 1 وارتبطت معنوياً بهذه الصفة، وأثر توافق هذه المؤشرات لزيادة التفاف الورقة العلمية، علماً أن رصد صفة التفاف الورقة تم فقط في موسمي الزراعة 2005/2004 - 2006/2005

في موقع بريدا، كما لوحظ التعبير عن المؤشر **wmc047bp145** المتواجد في الأب شام1 في الموسم الزراعي 2006/2005، حيث ارتبط إيجابياً ومعنوياً بصفة دليل التفاف ورقة العلم. يبين الجدول (82) في موقع تل حديا وجود علاقة بين بعض الصفات الفيزيولوجية (قوة الإنبات والتغطية النباتية، وجود الطبقة الشمعية، التفاف الورقة في الصباح والظهيرة، ودليل الالتفاف) مع المؤشرات الجزيئية في المواسم الزراعية 2005/2004 - 2006/2005 - 2007/2006 ومتوسط المواسم الزراعية، ومتوسط موسمي الزراعة 2006/2005 - 2007/2006، ووجد أيضاً ارتباطاً لعدة مؤشرات جزيئية بهذه الصفات أكثر مما هي عليه في موقع بريدا، وخاصة في الصفات المتعلقة بالتفاف الورقة، وذلك لتمييز موقع تل حديا بارتفاع درجة الحرارة مقارنة بموقع بريدا، مما سمح لعدد من هذه المؤشرات بالتعبير في هذا الموقع، إذ وجد ارتباطاً معنوياً إيجابياً للمؤشرات (**gwm210bp410**, **gwm234bp235**, **gwm264bp173**, **gwm403bp125**, **wmc161bp155**, **wmc170bp225**, **wmc175bp225**, **wmc175bp260**) مع صفة التفاف الورقة في وقت الصباح، كما تميز المؤشر **gwm403bp125** بالتعبير في موسمي الزراعة الأول والثاني، ومتوسط الثلاث المواسم الزراعية المدروسة، وتميز المؤشر **wmc175bp260** بارتباط عالي المعنوية ($P<0.001$). وجد أن معظم المؤشرات المرتبطة بصفة التفاف الورقة في وقت الظهيرة، ذات ارتباط مع دليل التفاف ورقة العلم، وبنفس جهة الارتباط، فارتبطت المؤشرات (**gwm268bp350**, **wmc044bp260**, **wmc134bp170**) إيجابياً، بينما ارتبطت المؤشرات (**gwm369bp260**, **wmc050bp140**, **wmc154bp150**) سلبياً.

ومن الجدولين 81 و82 يتبين وجود مؤشرين امتازا بالقدرة على التعبير في الموقعين، أحدهما المؤشر **gwm129bp225** المتواجد في الأب لحن، وعلى الكروموزم 5A، والذي ارتبط بصفة قوة الإنبات والتغطية النباتية، إلا أن ارتباطه كان سلبياً في موقع بريدا، وإيجابياً في موقع تل حديا، سلك المؤشر الآخر **wmc050bp140** سلوكاً معاكساً للمؤشر السابق بارتباطه الموجب في بريدا وارتباطه السالب في تل حديا بالتفاف الورقة وقت الظهيرة، حيث أدى توافقه مع صفة التفاف الورقة في وقت الظهيرة في تل حديا إلى التقليل من التفاف الورقة، حيث تعد هذه الصفة من الصفات السيئة للطراز الوراثي في ظروف ارتفاع درجة الحرارة لأنه يعرض أكبر سطح من الورقة للأشعة الشمسية مما يؤدي لارتفاع درجة الحرارة وزيادة النتج، وبالتالي فقد كمية كبيرة من المياه المتوفرة لنقل نواتج التمثيل الضوئي.

جدول (81) علاقة بعض من الصفات الفيزيولوجية (قوة الإنبات والتغطية النباتية، محتوى الماء النسبي Z45) مع المؤشرات الجزيئية في المواسم الزراعية 2005/2004 - 2006/2005 - 2007/2006 ومتوسط المواسم الزراعية، ومتوسط موسمي الزراعة 2006/2005 - 2007/2006 ، و صفات التفاف الورقة في الصباح والظهيرة، ودليل الإلتفاف في المواسم الزراعية 2005/2004 - 2006/2005، ومتوسط الموسمين الزراعيين، في موقع بريدة

Marker	Parents	T-Test	Difference of means	Means	No of Linse	Enviro	Cromosomal	Marker	Trait
present	لحن	شام1		المتوسط	عدد السلالات		Location		
	(P2)	(P1)	الاختلاف	1 0	1 0	البيئة	على الكروموزوم	المؤشر الجزي	الصفة
VG قوة الإنبات والتغطية النباتية									
P2	6.3	7.0	**	-1.0	6.0	7.0	15 3	BR7 6B	gwm107bp195
P1	8.3	6.0	*	-0.9	5.9	6.8	11 7	BR6 5A	gwm129bp225
P1	7.3	6.5	*	-0.7	6.0	6.6	11 7	BR2Y	
P2	8.3	6.0	*	0.9	6.6	5.7	10 8	BR6 1A	gwm264bp173
P2	8.3	6.0	*	-0.9	5.9	6.8	10 7	BR6 5A	gwm293bp186
P2	7.3	6.5	**	-0.7	5.9	6.7		BR2Y	
P2	6.3	7.0	*	0.7	6.6	5.9	8 10	BR7 4B	gwm403bp135
P1	6.3	7.0	*	0.8	6.7	5.9	6 12	BR7 1A	wmc024bp125
P1	8.3	6.0	*	-0.9	5.9	6.8	11 7	BR6 5A	wmc096bp280
P1	7.3	6.5	*	-0.7	6.0	6.6	11 7	BR2Y	
P1	7.3	6.5	*	0.4	6.6	6.2	2 16	BR2Y 2B	wmc175bp260
WAX الطبقة الشمعية									
P1	6.3	7.7	***	1.7	7.2	5.4	13 4	BR7 6B	wmc105bp220
	5.0	6.8	**	1.4	6.3	4.9	13 4	BR2Y	
P1	6.3	7.7	*	-1.2	6.3	7.5	10 7	BR7 2B	wmc154bp150
P1	6.3	7.7	*	-1.2	6.3	7.5	11 7	BR7 3A	wmc243bp175
RWC45 محتوى الماء النسبي %									
P1	71	66	*	5	73	68	11 6	BR7 6B	gwm219bp155
P1	80	79	*	0	72	72	5 11	BR5 7A	gwm260bp170
P1	80	79	*	-3	71	73	8 8	BR5 5B	gwm335bp185
	63	63	*	-4	64	68		BR2Y	
	69	68	**	-4	70	73		BR	
P2	63	63	*	-3	64	67	8 10	BR2Y 4B	gwm403bp135
	69	68	*	-3	69	73		BR	
P1	80	79	*	4	84	79	9 5	BR5 3B	wmc025bp220
	69	68	*	3	73	69		BR	
P2	69	68	*	3	72	69	10 7	BR 2B	wmc154bp150
P1	71	66	*	4	73	69	12 6	BR7 4A	wmc232bp140
P1	69	68	*	3	72	69	11 7	BR 3A	wmc243bp175
LRam التفاف الورقة في الصباح									
P1	6.7	5.0	*	-1	4	6	8 10	BR6 7A	gwm344bp135
LRpm التفاف الورقة في الظهيرة									
P1	7.73	7.67	**	1	8	7	5 10	BR5 3A	wmc050bp140
P2	7.73	7.67	*	1	8	7	7 10	BR5 2A	wmc170bp225
P1	6.70	5.70	*	2	7	5	6 6	BR6 1B	gwm033bp112
P2	6.70	5.70	**	2	7	6	3 9	BR6 6A	gwm033bp181
P2	6.70	5.70	*	2	7	5	5 6	BR6 1A	gwm033bp332
P2	6.70	5.70	**	2	7	5	3 6	BR6 1A	gwm033bp430
P2	6.70	5.70	*	2	7	5	6 6	BR6 1A	gwm033bp121
P1	6.70	5.70	*	1	7	6	8 8	BR6 1B	gwm403bp113
P1	6.70	5.70	*	1	7	5	8 9	BR6 2B	wmc175bp225
P1	6	5	*	1	7	6	5 10	BR5-6 3A	wmc050bp140
P1	6	5	**	-1	6	6	2 16	BR5-6 2B	wmc175bp260
LRI دليل التفاف ورقة العلم									
P2	2	1.7	*	0.23	1.2	0.9	9 9	BR6 4B	wmc047bp145
P1	2	1.7	*	-0.45	0.6	1.1	2 16	BR6 2B	wmc175bp260

جدول (82) علاقة بعض من الصفات الفيزيولوجية (قوة الإنبات والتغطية النباتية، وجود الطبقة الشمعية، التفاف الورقة في الصباح والظهيرة، ودليل الإلتفاف) مع المؤشرات الجزيئية في المواسم الزراعية 2005/2004 - 2006/2005 - 2007/2006 ومتوسط المواسم الزراعية، ومتوسط موسمي الزراعة 2006/2005 - 2007/2006 في موقع تل حديا

Marker	Parents	T-Test	Difference	Means	No of Linse	Enviro	Cromosomal	Marker	Trait
present	لحن	شام1	of means	المتوسط	عدد السلالات		Location	المؤشر الجزي	الصفة
الأب المسؤول	(P2)	(P1)	الاختلاف	1 0	1 0	البيئة	الموقع على الكروموزوم		
قوة الإنبات والتغطية النباتية VG									
P1	6.87	6.87	*	0.6	6	6	11	7	TH5 5A gwm129bp225
P1	8	8.3	*	-1.0	7	8	11	6	TH7 6B gwm219bp155
	7.8	8	*	-0.6	7	8			TH2Y
الطبقة الشمعية WAX									
P1	5	9	*	1	9	7	3	12	TH6 2A gwm614bp173
	4	6	*	1	6	5			TH2Y
P1	5	9	*	2	8	7	8	10	TH6 1B wmc044bp260
	4	6	*	1	6	5			TH2Y
P1	5	9	*	2	8	7	5	10	TH6 3A wmc050bp140
	4	6	*	1	6	5			TH2Y
P2	3	3	**	0	3	3	8	5	TH7 5B wmc099bp160
P2	3	3	*	0	3	3	7	10	TH7 2A wmc170bp225
P1	5	9	*	-2	7	8	12	6	TH6 4A wmc232bp140
	4	6	*	-1	5	6			TH2Y
التفاف الورقة في الصباح LRam									
P1	8	4	*	2	6	4	6	6	TH5 2B gwm210bp410
P2	7	7	*	0	7	7	8	10	TH6 5B gwm234bp235
P2			*	0	9	9	10	8	TH7 1A gwm264bp173
P1	8	4	*	2	7	5	10	8	TH5 1B gwm403bp125
	7	7	*	0	7	7			TH6
	8	7	*	1	8	7			TH
P1	8	7	**	2	7	5	8	10	TH5 4A wmc161bp155
	8	7	*	1	8	7			TH
P2	8	7	*	1	6	5	7	10	TH5 2A wmc170bp225
P1	8	4	*	1	7	5	8	9	TH5 2B wmc175bp225
P1	8	4	***	3	8	6	2	16	TH5 2B wmc175bp260
التفاف الورقة في الظهيرة LRpm									
P2	1	4	*	1.04	2.93	1.89	15	3	TH7 6B gwm107bp195
	3	5	***	1.24	4.06	2.83			TH
P2	4	3	**	1.35	4.58	3.23	8	10	TH6 1B gwm268bp350
P1	3	5	*	-0.97	3.32	4.29	8	10	TH 7A gwm344bp135
P1	1	4	*	-0.04	8.67	8.70	6	9	TH7 3A gwm369bp260
P1	4	3	*	1.03	4.40	3.37	8	10	TH6 1B wmc044bp260
P1	1	4	*	-1.50	1.93	3.43	5	10	TH7 3A wmc050bp140
P2	4	3	**	1.22	4.54	3.32	8	9	TH6 1B wmc134bp170
P1	1	4	*	-1.70	1.87	3.57	10	7	TH7 2B wmc154bp150
دليل التفاف ورقة العلم LRI									
P2	3	2	*	0.83	2.93	2.10	9	4	TH6 2B gwm210bp173
P2	3	2	**	0.89	3.23	2.34	8	10	TH6 1B gwm268bp350
P1	1	4	*	-1.42	1.42	2.84	6	9	TH7 3A gwm369bp260
	1	4	*	-0.85	1.75	2.60			TH
P1	3	2	*	0.73	3.14	2.41	8	10	TH6 1B wmc044bp260
P1	1	4	*	-1.14	1.73	2.87	5	10	TH7 3A wmc050bp140
	1	4	*	-0.73	1.89	2.62			TH
P2	0	0	*	-0.16	0.25	0.41	8	5	TH5 5B wmc099bp160
P2	3	2	**	0.78	3.20	2.42	8	9	TH6 1B wmc134bp170
P1	0	0	*	0.11	0.35	0.25	10	7	TH5 2B wmc154bp150
	1	4	*	-1.44	1.63	3.08			TH7
	1	4	**	-0.93	1.87	2.80			TH
P1	0	0	*	0.10	0.35	0.25	11	7	TH5 3A wmc243bp175

يبين الجدول (83) علاقة كل من الصفات الفيزيولوجية: درجة حرارة الورقة في مرحلة 45، درجة حرارة الغطاء النباتي 45، مع المؤشرات الجزيئية في موقع بريدا للمواسم الزراعية 2005/2004 - 2006/2005 - 2007/2006 ومتوسط المواسم الزراعية، ومتوسط موسم الزراعة 2006/2005 - 2007/2006 ، ارتبطت معظم المؤشرات ارتباطاً سلبياً بصفة درجة حرارة الورقة في المرحلة 45، كما ارتبط المؤشر **gwm107bp195** المتواجد في الأب شام1، وعلى الكروموزمي **6B**، ارتباطاً معنوياً بصفة درجة حرارة الغطاء النباتي، إذ أدى توافقه إلى ارتفاع في درجة حرارة الغطاء النباتي ارتفاعاً معنوياً ($P<0.01$).

أما في تل حديا فيبين الجدول (84) أن معظم المؤشرات المرتبطة بصفة درجة حرارة الغطاء النباتي في المرحلة 45 ارتبطت بصفة درجة حرارة الورقة في المرحلة 45، وبـنفس اتجاه الارتباط.

ومن الجدولين رقم 83 و 84 لوحظ وجود مؤشرات (**gwm129bp225, gwm285bp213, wmc096bp280**) ارتبطت في كلا موقعين الدراسة بصفة درجة حرارة الورقة وأدى التوافق معها إلى خفض درجة الحرارة في كلا الموقعين وتميزت بتواجدها في السلالات عالية الإنتاجية والثباتية الإنتاجية جدول (88،90)

جدول (83) علاقة بعض من الصفات الفيزيولوجية (درجة حرارة الورقة **Z45**، درجة حرارة الغطاء النباتي **Z45**) مع المؤشرات الجزيئية في موقع بريدا في المواسم الزراعية 2005/2004 - 2006/2005 - 2007/2006 ومتوسط المواسم الزراعية، ومتوسط موسم الزراعة 2006/2005 - 2007/2006

Marker	Parents	T-Test	Difference of means	Means المتوسط	No of Linse عدد السلالات	Enviro البيئة	Cromosomal	Marker	Trait
present	شام1 (P2)	لحن (P1)	الاختلاف	1 0	1 0	البيئة	الموقع على الكروموزوم	المؤشر الجزيئي	الصفة
درجة حرارة الورقة CUPL45									
P1	25	26	*	-0.4	25 26	6 6	BR	1B	gwm033bp112
P2	25	25	*	-1.0	25 26	5 6	BR5	1A	gwm033bp332
P2	25	26	*	-0.4	25 26	6 6	BR	1A	gwm033bp121
P1	25	25	**	-0.9	25 26	11 7	BR5	5A	gwm129bp225
P2	25	25	*	-0.7	25 26	8 10	BR5	5B	gwm234bp235
	25	26	*	-0.3	25 26	8 10	BR		
P1	25	25	*	-0.6	25 26	6 11	BR5	1B	gwm264bp191
P1	24	25	*	-0.4	25 25	11 6	BR7	3B	gwm285bp213
P1	25	26	*	0.3	26 26	8 8	BR2Y	7A	gwm344bp135
P1	25	25	**	-0.9	25 26	11 7	BR5	5A	wmc096bp280
P1	26	27	*	-0.5	26 27	13 4	BR6	6B	wmc105bp220
درجة حرارة الغطاء النباتي CUPL45									
P2	26.31	26.06	**	0.23	26 26	15 3	BR5	6B	gwm107bp195
P1	26.31	26.06	*	-0.24	26 26	6 11	BR5	2A	wmc035bp265

جدول (84) علاقة بعض من الصفات الفيزيولوجية (درجة حرارة الورقة Z45، درجة حرارة الغطاء النباتي Z45) مع المؤشرات الجزيئية في موقع تل حديا في المواسم الزراعية 2005/2004 - 2006/2005 - 2007/2006 ومتوسط المواسم الزراعية، ومتوسط موسمي الزراعة 2006/2005 - 2007/2006

Marker	Parents		T-Test	Difference of means	Means		No of Linse		Enviro	Cromosomal	Marker	Trait
present	شام1	لحن			المتوسط		عدد السلالات			Location		
الأب المسؤول	(P2)	(P1)		الاختلاف	1	0	1	0	البيئة	على الكروموزوم	المؤشر الجزيئي	الصفة
درجة حرارة الورقة CUPL45												
P2	23.96	23.70	*	2.48	25.96	23.47	3	9	TH5	6A	gwm033bp181	
	21.80	22.50	*	-0.5	21.37	21.83			TH7			
	23.33	23.78	*	-0.3	23.23	23.56			TH2Y			
P2	21.80	22.50	*	-0.6	21.37	21.92	6	6	TH7	1A	gwm033bp430	
	23.33	23.78	*	-0.3	23.23	23.56			TH2Y			
P1	24.90	25.00	*	-0.3	25.07	25.34	11	7	TH6	5A	gwm129bp225	
P1	21.80	22.50	**	0.6	22.04	21.42	11	6	TH7	6B	gwm219bp155	
	23.33	23.78	*	0.2	23.57	23.34			TH2Y			
P1	21.80	22.50	*	0.5	21.99	21.45	11	6	TH7	3B	gwm285bp213	
	23.33	23.78	**	-0.2	2.81	3.00			TH2Y			
P2	24.90	25.00	*	-0.3	25.06	25.34	10	7	TH6	5A	gwm293bp186	
P1	24.90	25.00	*	-0.2	25.05	25.28	8	10	TH6	7A	gwm344bp135	
P1	23.33	23.78	*	-0.2	23.39	23.59	8	10	TH2Y	1B	wmc044bp260	
P1	24.90	25.00	*	-0.3	25.07	25.34	11	7	TH6	5A	wmc096bp280	
P2	21.80	22.50	*	-0.5	21.61	22.07	8	9	TH7	1B	wmc134bp170	
P1	24.90	25.00	*	-0.2	25.07	25.23	10	7	TH6	2B	wmc154bp150	
درجة حرارة الغطاء النباتي CUPL45												
P1	25	25	*	-0.27	25.07	25.34	11	7	TH6	5A	gwm129bp225	
P1	24	24	**	0.38	23.62	23.23	11	6	TH7	6B	gwm219bp155	
P2	25	25	*	-0.28	25.06	25.34	10	7	TH6	5A	gwm293bp186	
P1	25	25	*	-0.23	25.05	25.28	8	10	TH6	7A	gwm344bp135	
P1	24	25	*	-0.18	24.24	24.42	8	10	TH2Y	1B	wmc044bp260	
P1	24	25	*	0.20	24.42	24.22	11	7	TH2Y	4B	wmc048bp190	
P1	25	25	*	-0.16	25.07	25.23	10	7	TH6	2B	wmc154bp150	

يبين الجدول (85) علاقة معايير تحمل الإجهاد: دليل تحمل الجفاف TOL، متوسط قيم الإنتاج الهندسي GMP، دليل الحساسية للجفاف SSI، معامل تحمل الجفاف STI مع المؤشرات الجزيئية في المواسم الزراعية 2004/2005 - 2005/2006 - 2006/2007 ومتوسط المواسم الزراعية، إذ تميز المؤشر gwm344bp135 المتواجد في الأب لحن، وفي الخمسة سلالات من السلالات منخفضة الإنتاجية والثباتية الإنتاجية، وعلى الكروموزم 7A بارتباطه السالب والمعنوي مع دليل تحمل الجفاف TOL، حيث أدى توافقه إلى انخفاض كبير في هذا الدليل، ووجد ارتباطاً معنوياً وموجباً للمؤشر gwm368bp287 المتواجد في الأب شام1، وعلى الكروموزم 4B، وفي الأربعة السلالات العالية والثباتية إنتاجياً (LC2103, LC2110, LC2504, LC2215) جدول 88 بمعايير الجفاف: دليل تحمل الجفاف TOL، متوسط قيم الإنتاج الهندسي GMP، معامل تحمل الجفاف STI، وارتبط المؤشر wmc035bp265 الموجود في الأب لحن، وعلى الكروموزم 2A، بدليل تحمل الجفاف، ودليل الحساسية للجفاف ارتباطاً موجباً وأدى توافقه إلى أكبر زيادة في دليل تحمل الجفاف، وارتبط المؤشر wmc050bp140، والموجود في الأب لحن، وعلى الكروموزم 3A، بمعايير الجفاف: دليل تحمل الجفاف TOL، متوسط قيم الإنتاج الهندسي GMP، معامل تحمل الجفاف STI، وأدى توافقه إلى زيادة في دليل تحمل الجفاف، وخفض في معياري الجفاف متوسط قيم الإنتاج الهندسي، ومعامل تحمل الجفاف، وارتبط المؤشر gwm160bp172 المتواجد في الأب شام1، وعلى الكروموزم 4AL، المتواجد في 6 سلالات عالية الإنتاجية والثباتية الإنتاجية (LC2014, LC2106, LC2110, LC2504, LC2301, LC2221) جدول 88، ارتباطاً موجباً مع كل من متوسط قيم الإنتاج الهندسي، ومعامل تحمل الجفاف، وارتباطاً سالباً مع دليل الحساسية للجفاف، بينما ارتبط المؤشر الجزيئي gwm219bp155 المتواجد في الأب لحن وعلى الكروموزم 6B، وفي 8 سلالات منخفضة الإنتاجية والثباتية الإنتاجية (جدول 90)، ارتباطاً سالباً مع متوسط قيم الإنتاج الهندسي، وموجباً مع دليل الحساسية للجفاف، ومعامل تحمل الجفاف، وارتبط المؤشر wmc105bp220 المتواجد في الأب لحن، وفي 8 سلالات منخفضة الإنتاجية والثباتية الإنتاجية (جدول 91)، وعلى الكروموزم 6B، ارتباطاً سالباً مع كل من متوسط قيم الإنتاج الهندسي، ومعامل تحمل الجفاف، وبشكل موجب مع دليل الحساسية للجفاف، أما المؤشر الجزيئي wmc232bp140 المتواجد في الأب لحن، وفي ال7 سلالات عالية الإنتاجية والثباتية الإنتاجية (جدول 89)، وعلى الكروموزم 4A، فقد تميز بارتباط معنوي وموجب مع متوسط قيم الإنتاج الهندسي، ومعامل تحمل الجفاف، والارتباط السالب مع دليل الحساسية للجفاف.

جدول (85) علاقة معايير تحمل الإجهاد: دليل تحمل الجفاف TOL، متوسط قيم الإنتاج الهندسي GMP، دليل الحساسية للجفاف SSI، معامل تحمل الجفاف STI مع المؤشرات الجزيئية في المواسم الزراعية 2005/2004 - 2006/2005 - 2007/2006 ومتوسط المواسم الزراعية.

Marker	Parents		T-Test	Difference	Means		No of Linse		Enviro	Cromosomal	Marker	Trait
present	شام1	لحن		of means	المتوسط		عدد السلالات			Location		
الأب المسؤول	(P2)	(P1)		الإختلاف	1	0	1	0	البيئة	الموقع على الكروموزوم	المؤشر الجزني	الصفة
TOL												
P1	3307	3523	*	-907	3259	4165	8	10	2005	7A	gwm344bp135	
P2	3038	3607	*	376	3629	3253	7	5	3Y	4B	gwm368bp287	
P1	3307	3523	*	1027	4413	3386	6	11	2005	2A	wmc035bp265	
P1	2733	3814	*	113	3100	2988	5	10	2006	3A	wmc050bp140	
P2	2733	3814	*	97	3124	3027	7	10	2006	2A	wmc170bp225	
P1	2733	3814	*	376	3213	2837	8	9	2006	2B	wmc175bp225	
GMP												
P2	1020	668	*	200	937	737	7	10	2007	4AL	gwm160bp172	
P1	3800	3363	*	-475	3129	3603	11	6	2005	6B	gwm219bp155	
	1020	668	*	-221	754	976			2007			
			**	-293	1735	2028			3Y			
P2	3800	3363	**	756	3536	2780	7	5	2005	4B	gwm368bp287	
			*	318	1909	1591			3Y			
P1	1618	1633	*	-265	1211	1476	5	10	2006	3A	wmc050bp140	
P1	1020	668	**	-242	768	1010	13	4	2007	6B	wmc105bp220	
			*	-240	1774	2014			3Y			
P1	1618	1633	*	266	1463	1197	12	6	2006	4A	wmc232bp140	
SSI												
P2	0.96	1.01	*	-0.02	0.99	1.01	7	10	2007	4AL	gwm160bp172	
P1	0.96	1.01	*	0.02	1.01	0.99	11	6	2007	6B	gwm219bp155	
P1	0.92	1.02	*	0.05	1.04	0.99	3	12	2006	2A	gwm614bp173	
P1	0.87	0.97	*	0.10	1.06	0.95	6	11	2005	2A	wmc035bp265	
P1	0.96	1.01	*	0.03	1.01	0.98	13	4	2007	6B	wmc105bp220	
	0.92	1.00	*	0.08	1.02	0.94			3Y			
P1	0.87	0.97	*	-0.12	0.96	1.08	12	6	2005	4A	wmc232bp140	
			*	-0.05	0.98	1.04			3Y			
STI												
P2	0.1	0.0	*	0.03	0.07	0.04	7	10	2007	4AL	gwm160bp172	
P1	0.4	0.4	*	0.03	0.35	0.32	11	6	2005	6B	gwm219bp155	
	0.1	0.0	*	0.03	0.07	0.04			2007			
	0.2	0.2	**	0.03	0.20	0.17			3Y			
P2	0.4	0.4	**	0.15	0.39	0.24	7	5	2005	4B	gwm368bp287	
	0.2	0.2	*	0.06	0.20	0.14			3Y			
P1	0.2	0.2	*	0.01	0.17	0.15	3	12	2006	2A	gwm614bp173	
P1	0.1	0.0	*	0.01	0.06	0.05			2007			
P1	0.2	0.2	*	-0.06	0.12	0.17	5	10	2006	3A	wmc050bp140	
P1	0.1	0.0	*	-0.04	0.17	0.22	13	4	2007	6B	wmc105bp220	
	0.2	0.2	*	-0.03	0.05	0.08			3Y			
P1	0.2	0.2	*	0.06	0.17	0.11	12	6	2006	4A	wmc232bp140	

5. 3. 4. الصفات الفينولوجية:

يبين الجدول (86) علاقة الصفات الفينولوجية مع المؤشرات الجزيئية في موقع بريدا في المواسم الزراعية 2005/2004 - 2006/2005 - 2007/2006 ومتوسط المواسم الزراعية، ومتوسط موسمي الزراعة 2006/2005 - 2007/2006، إذ وجد علاقة ارتباط معنوية وسالبة للمؤشر **gwm060bp215** الموجود في الأب لحن، وعلى الكروموزم 7A، مع عدد الأيام حتى الإنبال، و فترة امتلاء الحبوب، كما ارتبط المؤشر **gwm219bp155** المتواجد في الأب لحن، والثمانية سلالات منخفضة الإنتاجية والثباتية الإنتاجية، بعلاقة موجبة مع عدد الأيام حتى الإنبال، وسالبة مع عدد الأيام حتى النضج، إذ عبر هذا الواسم عن كافة طاقاته الوراثية في بيئة بريدا وفي الموسم الأكثر جفافاً، وفي متوسط الموسمين الأكثر جفافاً، ومتوسط الثلاث مواسم زراعية، ارتبط أيضاً كل من المؤشرين (**gwm264bp173**, **wmc105bp220**) ارتباطاً موجباً مع عدد الأيام حتى الإنبال، وسلباً مع فترة امتلاء الحبوب، وتميز المؤشر **wmc105bp220** المتواجد في الأب لحن، والـ 8 سلالات منخفضة الإنتاجية والثباتية الإنتاجية جدول 89، بالتعبير عن تواجده في بيئة بريدا في الموسمين الزراعيين الأول والثالث، ومتوسط الموسمين الزراعيين الأكثر جفافاً، ومتوسط الثلاث مواسم الزراعية المدروسة، مع ملاحظة وجود مؤشرات ارتبطت بالتبكير بالإنبال، فارتبط كل من المؤشرات (**wmc134bp170**, **wmc175bp260**, **wmc232bp140**) ارتباطاً سلبياً بعدد الأيام حتى الإنبال، وتميز المؤشر **wmc134bp170** بتواجده في الأب المبكر شام 1، وبالتعبير عن وجوده في أكثر المواسم جفافاً وفي متوسط الثلاث مواسم زراعية، وتواجده في 6 سلالات عالية الإنتاجية والثباتية الإنتاجية (جدول 89)، وعلى الكروموزم 1A.

أما في تل حديا: يبين الجدول (87) علاقة الصفات الفينولوجية مع المؤشرات الجزيئية في المواسم الزراعية 2005/2004 - 2006/2005 - 2007/2006 ومتوسط المواسم الزراعية، ومتوسط موسمي الزراعة 2006/2005 - 2007/2006، ارتباط المؤشر **gwm219bp155** المتواجد في الأب لحن ارتباطاً معنوياً وموجباً مع عدد الأيام حتى الإنبال، وحتى النضج، وتم التعبير عن تواجده بالإجمال في بيئة تل حديا، في حين وجد ارتباطاً مع التبكير في الإنبال، وإطالة في فترة امتلاء الحبوب في المؤشرين (**wmc175bp260**, **wmc232bp140**) ، وتميز المؤشر **wmc232bp140** المتواجد في الأب لحن، والـ 7 سلالات العالية والثابتة إنتاجياً (جدول 89)، وعلى الكروموزمي 7B بالتعبير عن تواجده في بيئة تل حديا.

ويتبين من الجدول 86 و 87 وجود مؤشرات جزيئية تم التعبير عن تواجدها في كلا الموقعين، حيث ارتبط المؤشرين (**gwm219bp155**, **wmc050bp140**) بعلاقة موجبة مع عدد

الأيام حتى الإنبال في كلا الموقعين، وارتبط المؤشرين (wmc175bp260, wm232bp140) بالباكورية في الإنبال.

جدول (86) علاقة الصفات الفينولوجية مع المؤشرات الجزيئية في موقع بريدل في المواسم الزراعية 2005/2004- 2007/2006 - 2006/2005 ومتوسط المواسم الزراعية، ومتوسط موسمي الزراعة 2007/2006 - 2006/2005

Marker	Parents		T-Test	Difference	Means		No of Linse		Enviro	Cromosomal	Marker	Trait
present	لحن شام1			of means	المتوسط		عدد السلالات			Location الموقع	المؤشر الجزي	الصفة
الأب المسؤول	(P2)	(P1)		الإختلاف	1	0	1	0	البيئة	على الكروموزوم		
عدد الأيام حتى الإنبال DH												
P1	114	120	*	-3	118	121	5	12	BR05	7A	gwm060bp215	
P1	106	107	**	3	107	104	11	6	BR7	6B	gwm219bp155	
	94	97	**	3	97	94	11	6	BR2Y			
	100	104	*	2	105	102	11	6	BR			
P2	114	120	*	4	122	118	10	8	BR05	1A	gwm264bp173	
P1	81	86	*	2	87	85	5	10	BR6	3A	wmc050bp140	
P1	114	120	*	2	86	84	13	4	BR5	6B	wmc105bp220	
	106	107	***	4	107	103	13	4	BR7			
	94	97	**	3	96	93	13	4	BR2Y			
	100	104	**	3	105	101	13	4	BR			
P2	106	107	*	-2	105	108	8	9	BR7	1B	wmc134bp170	
	100	104	*	-2	103	105	8	9	BR			
P1	100	104	*	-2	102	104	2	16	BR	2B	wmc175bp260	
P1	81	86	**	-2	85	87	12	6	BR6	4A	wmc232bp140	
	100	104	*	-2	103	106	12	6	BR			
عدد الأيام حتى النضج DM												
P1	127	133	*	-2	131	129	11	6	BR7	6B	gwm219bp155	
	121	127	*	-2	131	130	11	6	BR			
فترة امتلاء الحبوب GFD												
P2	127	133	*	-2	130	131	5	6	BR7	1A	gwm033bp332	
P1	139	143	*	-2	143	143	5	12	BR5	7A	gwm060bp215	
P2	139	143	**	-2	143	143	10	8	BR5	1A	gwm264bp173	
P1	139	143	*	-2	143	143	13	4	BR5	6B	wmc105bp220	
	127	133	*	-2	131	129	13	4	BR7			
	121	127	*	-2	125	124	13	4	BR2Y			
	127	132	**	-2	131	130	13	4	BR			

جدول (87) علاقة الصفات الفينولوجية مع المؤشرات الجزيئية في موقع تل حديا في المواسم الزراعية 2005/2004 - 2006/2005 و متوسط المواسم الزراعية، ومتوسط موسمي الزراعة 2006/2005 - 2007/2006

Marker present	Parents		T-Test	Difference of means	Means		No of Linse		Enviro	Cromosomal	Marker	Trait
	شام1	لحن			المتوسط		عدد السلالات			Location		
الأب المسؤول	(P2)	(P1)		الاختلاف	1	0	1	0	البيئة	على الكروموزوم	المؤشر الجزيئي	الصفة
عدد الأيام حتى الإسهال DH												
P1	110	112	*	3	114	111	11	6	TH5	6B	gwm219bp155	
	107	109	*	3	111	108			TH7			
	108	111	*	3	113	110			TH2Y			
	109	112	*	3	113	110			TH			
P1	110	113	**	4	116	113	5	10	TH6	3A	wmc050bp140	
	108	111	*	3	114	111			TH2Y			
	109	112	*	3	114	111			TH			
P1	110	113	*	-3	111	114	2	16	TH6	2B	wmc175bp260	
	108	111	*	-3	109	112			TH2Y			
P1	110	112		-3	112	114	12	6	TH5	4A	wmc232bp140	
	110	113	*	-3	113	116			TH6			
	107	109	**	-2	109	112			TH7			
	108	111	*	-3	111	114			TH2Y			
	109	112	*	-3	111	114			TH			
			*									
عدد الأيام حتى النضج DM												
P1	144	148	*	4	149	145	11	6	TH6	6B	gwm219bp155	
	135	139	**	4	141	138			TH7			
	139	143	**	4	145	141			TH2Y			
	142	145	**	2	146	143			TH			
P1	148	148	*	-1	147	148	6	11	TH5	1B	gwm264bp191	
P1	135	139	*	3	141	138	11	6	TH7	3B	gwm285bp213	
P1	142	145	*	-1	144	146	12	6	TH	5B	wmc232bp140	
فترة إمتلاء الحبوب GFD												
P1	38	36	*	2	37	34	5	12	TH5	7A	gwm060bp215	
P2	34	35	*	-2	33	34	10	7	TH6	5B	gwm335bp185	
	28	30	*	2	31	28			TH7			
P2	28	30	*	2	31	29	8	10	TH7	4B	gwm403bp135	
P1	28	30	*	-2	29	31	8	10	TH7	1B	wmc044bp260	
P1	34	35	*	-2	33	35	5	10	TH6	3A	wmc050bp140	
	33	33	*	-2	32	33			TH			
P1	31	32	*	3	34	31	2	16	TH2Y	2B	wmc175bp260	
P1	33	33	*	1	33	32	12	6	TH	4A	wmc232bp140	

جدول (88) يبين تواجد وعدد المؤشرات الجزيئية من نوع gatersleben wheat microsatellites المدروسة في السلالات عالية الإنتاجية والثباتية الإنتاجية ناتجة عن تهجين (لحن × شام1)

السلالات							عدد السلالات عالية الإنتاجية والثباتية المرتبطة	الأب	الكروموزم	المؤشرات الجزيئية
2504	2301	2215	2110	2106	2103	2014	7	شام1	6B	gwm107bp195
2504	2301	2221	2215	2110	2106	2103	7	لحن	4B	gwm495bp155
	2305	2301	2221	2110	2106	2103	6	لحن	5B	gwm335bp185
	2305	2301	2221	2215	2103	2014	6	شام1	7A	gwm063bp250
	2305	2301	2221	2215	2106	2014	6	لحن	5A	gwm129bp225
	2504	2301	2221	2110	2106	2014	6	شام1	4AL	gwm160bp172
		2504	2305	2221	2215	2014	5	لحن	4B	gwm006bp180
		2221	2110	2106	2103	2014	5	شام1	1A	gwm264bp173
		2504	2305	2215	2110	2014	5	شام1	1B	gwm268bp350
		2305	2221	2215	2110	2014	5	لحن	3B	gwm285bp213
		2301	2221	2215	2106	2014	5	شام1	5A	gwm293bp186
		2305	2301	2221	2106	2103	5	لحن	4B	gwm403bp135
		2504	2301	2221	2215	2103	5	لحن	1B	gwm403bp113
			2504	2215	2110	2014	4	شام1	2B	gwm210bp173
			2301	2215	2106	2103	4	لحن	1B	gwm033bp112
			2301	2215	2106	2103	4	شام1	1A	gwm033bp121
			2301	2215	2106	2103	4	لحن	1B	gwm264bp191
			2221	2215	2106	2103	4	لحن	7B	gwm334bp110
			2504	2215	2110	2103	4	شام1	4B	gwm368bp287
			2305	2221	2110	2014	4	لحن	3A	gwm369bp260
			2305	2301	2221	2110	4	لحن	1B	gwm403bp125
			2301	2221	2106	2103	4	شام1	5B	gwm234bp235
				2301	2215	2106	3	شام1	1A	gwm033bp332
				2504	2215	2106	3	لحن	7A	gwm060bp215
				2504	2301	2221	3	لحن	7A	gwm344bp135
				2221	2215	2014	3	لحن	6B	gwm219bp155
					2504	2110	2	لحن	2B	gwm210bp410
					2301	2215	2	شام1	6A	gwm033bp181
					2301	2215	2	شام1	1A	gwm033bp430
						2110	1	لحن	7A	gwm260bp170
							0	لحن	2A	gwm614bp173

جدول (89) يبين تواجد وعدد المؤشرات الجزيئية من نوع wheat microsatellites consortiums المدروسة في السلالات عالية الإنتاجية والثباتية الإنتاجية ناتجة عن تهجين (لحن × شام1)

السلالات							عدد السلالات عالية الإنتاجية والثباتية المرتبطة	الأب	الكروموزم	المؤشرات الجزيئية
2504	2301	2221	2110	2106	2103	2014	7	لحن	4A	wmc232bp140
	2504	2301	2221	2215	2110	2103	6	لحن	4B	wmc048bp190
	2305	2301	2221	2215	2106	2014	6	لحن	5A	wmc096bp280
	2504	2305	2301	2215	2103	2014	6	شام1	1B	wmc134bp170
	2504	2305	2221	2215	2110	2103	6	لحن	3A	wmc243bp175
		2504	2305	2215	2110	2103	5	لحن	3B	wmc025bp220
		2504	2305	2301	2215	2014	5	لحن	1B	wmc044bp260
		2301	2215	2110	2103	2014	5	لحن	6B	wmc105bp220
		2504	2305	2221	2215	2110	5	لحن	2B	wmc154bp150
			2305	2301	2110	2014	4	لحن	2A	wmc035bp265
			2305	2301	2215	2103	4	شام1	4B	wmc047bp145
			2305	2301	2221	2103	4	شام1	2A	wmc170bp225
			2504	2301	2221	2215	4	لحن	2B	wmc175bp225
				2221	2103	2014	3	لحن	1A	wmc024bp125
				2504	2221	2215	3	لحن	4A	wmc161bp155
					2305	2215	2	لحن	3A	wmc050bp140
					2106	2014	2	شام1	5B	wmc099bp160
						2221	1	لحن	2B	wmc175bp260

جدول (90) يبين تواجد وعدد المؤشرات الجينية من نوع gatersleben wheat microsatellites المدروسة في السلالات منخفضة الإنتاجية والثباتية الإنتاجية ناتجة عن تهجين (لحن) × شام1

السلالات								عدد السلالات منخفضة الإنتاجية والثباتية المرتبطة	الأب	الكروموزم	المؤشرات الجينية
2508	2417	2306	2304	2222	2204	2012	2006	8	شام1	B6	gwm107bp195
2508	2322	2306	2304	2222	2204	2012	2006	8	لحن	B6	gwm219bp155
		2417	2322	2306	2222	2012	2006	6	لحن	B4	gwm006bp180
		2417	2322	2306	2222	2012	2006	6	لحن	B3	gwm285bp213
		2508	2417	2306	2222	2204	2006	6	لحن	B1	gwm403bp125
			2508	2222	2204	2012	2006	5	لحن	A5	gwm129bp225
			2417	2322	2222	2204	2006	5	شام1	B2	gwm210bp173
			2508	2417	2204	2012	2006	5	شام1	A1	gwm264bp173
			2508	2222	2204	2012	2006	5	شام1	A5	gwm293bp186
			2508	2322	2306	2204	2012	5	لحن	A7	gwm344bp135
			2417	2322	2304	2012	2006	5	لحن	B4	gwm495bp155
				2508	2322	2204	2006	4	لحن	B2	gwm210bp410
				2508	2204	2012	2006	4	شام1	B5	gwm234bp235
				2417	2304	2222	2204	4	لحن	A7	gwm260bp170
				2508	2322	2222	2006	4	لحن	B7	gwm334bp110
					2508	2306	2204	3	شام1	B1	gwm268bp350
					2417	2322	2222	3	شام1	B4	gwm368bp287
					2322	2304	2006	3	لحن	B1	gwm403bp113
					2322	2306	2304	3	لحن	B4	gwm403bp135
					2508	2204	2006	3	لحن	A2	gwm614bp173
						2204	2006	2	لحن	B1	gwm033bp112
						2204	2006	2	شام1	A1	gwm033bp121
						2204	2204	2	شام1	A6	gwm033bp181
						2417	2306	2	لحن	A7	gwm060bp215
						2417	2306	2	شام1	A7	gwm063bp250
						2322	2006	2	لحن	B1	gwm264bp191
						2322	2006	2	لحن	B5	gwm335bp185
						2508	2012	2	لحن	A3	gwm369bp260
							2006	1	شام1	A1	gwm033bp332
							2204	1	شام1	A1	gwm033bp430
							2006	1	شام1	A4	gwm160bp172

جدول (91) يبين تواجد وعدد المؤشرات الجزيئية من نوع wheat microsatellites consortiums المدروسة في السلالات منخفضة الإنتاجية والثباتية الإنتاجية ناتجة عن تهجين (لحن × شام1)

السلالات								عدد السلالات منخفضة الإنتاجية والثباتية المرتبطة	الأب	الكروموزم	المؤشرات الجزيئية
2508	2417	2306	2304	2222	2204	2012	2006	8	لحن	6B	wmc105bp220
		2508	2322	2304	2222	2204	2012	6	شام1	5B	wmc099bp160
			2322	2306	2304	2204	2006	5	شام1	4B	wmc047bp145
			2417	2322	2304	2222	2006	5	لحن	4B	wmc048bp190
			2508	2222	2204	2012	2006	5	لحن	5A	wmc096bp280
			2508	2222	2204	2012	2006	5	لحن	2B	wmc154bp150
			2508	2417	2322	2306	2204	5	لحن	4A	wmc161bp155
			2508	2222	2204	2012	2006	5	لحن	3A	wmc243bp175
			2508	2306	2304	2222	2204	5	لحن	4A	wmc232bp140
				2508	2222	2012	2006	4	لحن	3B	wmc025bp220
				2417	2306	2304	2204	4	لحن	2B	wmc175bp225
					2508	2204	2012	3	لحن	1B	wmc044bp260
					2508	2304	2006	3	لحن	3A	wmc050bp140
					2508	2417	2322	3	شام1	2A	wmc170bp225
						2508	2322	2	لحن	1A	wmc024bp125
						2222	2012	2	لحن	2A	wmc035bp265
						2508	2306	2	شام1	1B	wmc134bp170
							2306	1	لحن	2B	wmc175bp260

التحليل التوافقي للصفات المورفوفيزيولوجية المرتبطة بالجفاف مع المواقع الوراثية المرتبطة بها:

من الجدول (1-92) يتبين وجود 5 مواقع متوافقة مع صفة طول حامل السنبل، وأن أعلى قيم معامل الانحدار وجدت بين هذه الصفة والموقع gwm614bp173 الموجود على الكروموزم 2A وبمعنوية عالية ($P < 0.01$)، كما تظهر النتائج وجود موقع وراثي (gwm160bp172) متوافق مع صفة طول حامل السنبل متواجد على الصبغي 4A على الذراع الصغير مظهراً ثباتية التعبير في كافة المواسم، كما يتبين وجود 7 مواقع وراثية متوافقة مع صفة طول السفا، وسجل الموقع (wmc050bp140) المتواجد على الكروموزم 3A أعلى قيمة معامل الانحدار، مظهراً ثباتية التعبير في مواسم الجفاف، أما بالنسبة لصفة لون الورقة في مرحلة 75 فقد وجدت 6 مواقع وراثية متوافقة معها، وأعلى معامل انحدار حققه الموقع (gwm334bp110) المتواجد على الكروموزم 7B وبمعنوية عالية ($P < 0.01$)، ويبين الجدول (2-92) وجود 11 موقعاً وراثياً متوافق مع صفة المقاومة المسامية في مرحلة 45، وأن أكبر عدد من المواقع التي أظهرت توافقاً مع هذه الصفة كانت موجودة على الكروموزومي (4B، 6A)، وسجل أعلى معامل إنحدار بين صفة درجة حرارة الورقة في مرحلة 45 وبين موقعي الوراثة (gwm129bp225، wmc096bp280) المتواجدين على الكروموزم 5A وبمعنوية عالية ($P < 0.01$)، كما وجد 4 مواقع وراثية متوافقة بالنسبة لصفة درجة حرارة الغطاء النباتي في مرحلة 45، وكلها متواجدة على الصبغي B، منها موقعين على الكروموزم 1B، وأعلى معامل إنحدار وجد مع الموقع gwm033bp112، وقد سجل أعلى قيم لمعامل الإنحدار بين صفة دليل الحساسية للجفاف والمواقع الوراثة الأربعة المتواجدة على الكروموزم B، وبلغ 0.60 مع الموقع الوراثة gwm219bp155 المتواجد على الكروموزم 6B وبمعنوية عالية جداً ($P < 0.001$)، بالإضافة لتمييزه في التعبير في موسمي من مواسم الزراعة، بالإضافة لوجود 7 مواقع وراثية متوافقة مع صفة عدد الأيام حتى الأسبال. تميز الموقع wmc105bp220 المتواجد على الكروموزم 6B بثباتية التعبير في كافة المواسم في موقع الجفاف، ووجد على نفس الكروموزوم الموقع gwm219bp155 متوافقاً مع هذه الصفة، مظهراً ثباتية التعبير في المواسم الأكثر جفافاً، أما بالنسبة لتوافق الموقع wmc134bp170 المتواجد على الكروموزم 1B مع صفة عدد الأيام حتى الأسبال فقد تميز في تعبيره في موسمي من مواسم الزراعة، ويبين الجدول (3-92) أن عدد المواقع المرتبطة مع مكون الغلة عدد الحبوب في السنبل بلغت 8 مواقع، و تتميز الموقع gwm219bp155 المتواجد على الكروموزم 6B بثباتية التعبير في المواسم الأكثر جفافاً، كما توافق الموقع gwm006bp180 مع صفة عدد الحبوب في السنبل،

وظهر التعبير عن هذا الموقع في موسمي من مواسم الزراعة، أما بالنسبة إلى الغلة الحبية فوجدت 6 مواقع متوافقة معها، وتجاوز معامل الانحدار 46% في ثلاثة مواقع (gwm160bp172، gwm219bp155، wmc105bp220) وبمعنوية عالية ($P < 0.01$)، في الموسم الأكثر جفافاً، وتواجد اثنين منهما على الكروموزم 6B، وتميزا بثنائية التعبير عن هذا التوافق، وخاصة بالنسبة للموقع wmc105bp220.

وبقراءة فاحصة ملخصة للجدول (92) وجد أن المواقع الوراثية لمعظم الصفات المورفوفيزيولوجية المرتبطة بالجفاف تواجدها على الكروموزم 4B، إضافة لوجود موقعين وراثيين ارتبطا بالغلة الحبية، ومعظم المواقع الوراثية لها تعبير مختلف حسب البيئة، مما يدل على تأثير المواقع الوراثية بالبيئة، كما يؤكد الجدول (92) ارتباط عدة مواقع وراثية بصفة واحدة للصفات المرتبطة بالجفاف، وموقع وراثي ارتبط بعدة صفات، ونؤكد على الموقعين (gwm006; gwm129)، المتواجدين على الكروموزمين (4B؛ 5A) بالترتيب، حيث ارتبطا بعدة صفات مورفوفيزيولوجية شكل (32).

جدول (92-1) يبين قيم معامل الانحدار بين الصفات المورفوفيزيولوجية (طول النبات، طول السفا، لون الورقة Z75) والمواقع الوراثية التي أظهرت علاقة توافق معها حسب موقعها على الصبغي:

عدد المواقع	الصفة	الموقع الوراثي	الصبغي (الكروموزم)	معامل الانحدار %	المنوية
1	طول حامل السنبل	PLBR5	Xgwm219bp155	6B	0.35
2		PLBR5	Xgwm160bp172	4AL	0.23
		PLBR6	Xgwm160bp172	4AL	0.27
3		PLBR7	Xgwm614bp173	2A	0.42
4		PLBR7	Xwmc025bp220	3B	0.36
5		PLBR7	Xwmc050bp140	3A	0.30
		PLBR7	Xgwm160bp172	4AL	0.26
1	طول السفا	AWLBR5	Xgwm285bp213	3B	0.28
2		AWLBR5	Xgwm006bp180	4B	0.28
3		AWLBR5	Xgwm060bp215	7A	0.22
4		AWL1BR6	Xwmc050bp140	3A	0.28
		AWLBR7	Xwmc050bp140	3A	0.31
5		AWLBR7	Xgwm160bp172	4AL	0.28
6		AWLBR7	Xwmc025bp220	3B	0.24
7		AWLBR7	Xgwm617bp123	6A	0.13
1	لون الورقة في مرحلة 75	LC75BR6	Xgwm334bp110	7B	0.40
2		LC75BR6	Xgwm129bp225	5A	0.32
3		LC75BR6	Xwmc096bp280	5A	0.32
4		LC75BR7	Xgwm063bp250	7A	0.33
5		LC75BR7	Xgwm006bp180	4B	0.26
6		LC75BR7	Xgwm219bp155	6B	0.26

جدول (92-2) يبين قيم معامل الانحدار بين الصفات الفيزيولوجية (المقاومة المسامية، ودرجة حرارة الورقة، وحرارة الغطاء النباتي في مرحلة Z45، وعدد الأيام حتى الإنبال، والمواقع الوراثية التي أظهرت علاقة توافق معها حسب موقعها على الصبغي:

عدد المواقع	الصفة	الموقع الوراثي	الصبغي (الكروموزم)	معامل الانحدار %	المعنوية
1	المقاومة المسامية في مرحلة 45	SR45BR5	Xgwm033bp181	0.28	*
2		SR45BR5	Xgwm495bp155	0.28	**
3		SR45BR5	Xgwm285bp213	0.23	**
4		SR45BR5	Xgwm006bp180	0.21	*
5		SR45BR5	Xwmc048bp190	0.18	*
6		SR45BR5	Xgwm268bp350	0.16	**
7		SR45BR6	Xgwm617bp123	0.37	*
8		SR45BR6	Xgwm210bp410	0.34	*
9		SR45BR6	Xgwm063bp250	0.31	*
10		SR45BR6	Xgwm614bp173	0.24	*
11		SR45BR6	Xgwm403bp113	0.22	*
		SR45BR7	Xgwm033bp181	0.31	*
1	درجة حرارة الورقة في مرحلة 45	CUPL45BR5	Xgwm129bp225	0.37	**
2		CUPL45BR5	Xwmc096bp280	0.37	**
3		CUPL45BR5	Xgwm033bp332	0.35	*
4		CUPL45BR5	Xgwm368bp287	0.34	*
5		CUPL45BR5	Xgwm033bp121	0.28	*
6		CUPL45BR5	Xgwm234bp235	0.23	*
7		CUPL45BR6	Xgwm006bp180	0.25	*
8		CUPL45BR6	Xgwm219bp155	0.20	*
9		CUPL45BR7	Xwmc232bp140	0.21	*
1	درجة حرارة الغطاء النباتي في مرحلة 45	CUPT45BR5	Xgwm335bp185	0.24	*
2		CUPT45BR6	Xgwm219bp155	0.27	**
3		CUPT45BR6	Xwmc134bp170	0.18	*
4		CUPT45BR7	Xgwm033bp112	0.33	*
1	دليل الحساسية للجفاف	STI05	Xgwm368bp287	0.41	*
2		STI05	Xgwm219bp155	0.25	*
		STI7	Xgwm219bp155	0.60	***
3		STI7	Xgwm285bp213	0.42	**
4		STI7	Xgwm006bp180	0.40	**
1	عدد الأيام حتى الإنبال	DHBR5	Xwmc105bp220	0.26	*
2		DHBR5	Xwmc134bp170	0.25	*
3		DHBR6	Xgwm160bp172	0.32	*
		DHBR6	Xwmc105bp220	0.31	*
4		DHBR6	Xgwm219bp155	0.31	*
5		DHBR6	Xwmc050bp140	0.25	*
		DHBR7	Xwmc105bp220	0.35	*
6		DHBR7	Xgwm614bp173	0.34	*
		DHBR7	Xgwm219bp155	0.33	*
7		DHBR7	Xwmc134bp170	0.24	*

جدول (92-3) يبين قيم معامل الانحدار للغلة الحبية، وعدد الحبوب في السنبل، والمواقع الوراثية التي أظهرت علاقة توافق معها حسب موقعها على الصبغي:

عدد المواقع	الصفة	الموقع الوراثي	الصبغي (الكروموزم)	معامل الانحدار %	المعنوية
1	عدد الحبوب في السنبل	GRSPBR5	Xgwm006bp180	0.29	*
2		GRSPBR6	Xgwm219bp155	0.35	**
		GRSPBR6	Xgwm006bp180	0.20	*
3		GRSPBR6	Xgwm268bp350	0.19	*
4		GRSPBR7	Xgwm614bp173	0.39	**
5		GRSPBR7	Xgwm160bp172	0.38	**
6		GRSPBR7	Xgwm368bp287	0.31	*
7		GRSPBR7	Xwmc050bp140	0.25	*
8		GRSPBR7	Xwmc025bp220	0.24	*
		GRSPBR7	Xgwm219bp155	0.23	*
1	الغلة الحبية	GYBR5	Xwmc105bp220	0.31	*
2		GYBR5	Xgwm368bp287	0.31	*
3		GYBR5	Xgwm219bp155	0.30	*
		GYBR6	Xwmc105bp220	0.33	*
4		GYBR6	Xgwm403bp135	0.21	*
5		GYBR7	Xgwm160bp172	0.48	**
		GYBR7	Xgwm219bp155	0.46	**
		GYBR7	Xwmc105bp220	0.46	**
6		GYBR7	Xgwm614bp173	0.32	*

6. المناقشة Discussion:

تظهر النتائج بشكل واضح الاختلافات في الغلة الحبية بين الموقعين المختلفين في الأنظمة الرطوبية، وتباينها من موسم لآخر بسبب قلة معدلات الهطول المطري السنوية، وتذبذبها من سنة لأخرى، وعدم تجانس توزيعها خلال موسم النمو بما يتناسب واحتياجات النباتات من الماء وهذا يتوافق مع نتائج (Gonzalez et al., 1999)، مما أدى لتعرض النباتات للإجهاد المائي وخاصة في موقع بريدا، فأدى الجفاف إلى انخفاض الغلة الحبية بنسبة 89% وهذا ما أكدته العديد من الباحثين (Roy et al., 2000 ; Zhong-Hu and Rajaram, 1994; Solomon et al., 2003; Katerji et al., 2009)، بالإضافة إلى (عودة، 2007)، فقد كان الموسم رطباً في بداية موسم 2006/2005 ثم انخفضت كمية الأمطار بشكل ملحوظ، فلم تتجاوز الغلة الحبية 0.6 طن/هـ في معظم السلالات و 1 طن/هـ في السلالات عالية الإنتاجية في الموقع الممثل للجفاف (بريدا)، بينما في موسم 2007/2006 هطلت أمطار جيدة لكن في نهاية الموسم، وفي هذا الموسم تأثرت السلالات بكل من الصقيع خلال الموسم وحرارة الهواء المرتفعة في فترة امتلاء الحبوب بالإضافة لفترات الجفاف، مما أدى لانخفاض حاد في الغلة الحبية، حيث لم تتجاوز الغلة الحبية 0.5 طن/هـ في موقع بريدا، كما ظهرت الاختلافات واضحة أيضاً في مكونات الغلة، حيث قلل الإجهاد الجفافي من قيم جميع مكونات الغلة وخاصة وزن الألف حبة وعدد الحبوب في السنبله وهذا متوافق مع أبحاث كل من (Chmiel- Ewski and Kohn, 2000; Duggan et al., 2000)، كما تتوافق مع نتائج (علي ورفاقه، 2008)، وهذا عائد لترافق الجفاف بارتفاع درجة الحرارة خلال المراحل الحرجة (الإزهار وامتلاء الحبوب)، وقد فسر (Chmiel- Ewski and Kohn, 2000) انخفاض عدد الحبوب في السنبله نتيجة لانخفاض الحاصل في معدل التمثيل الضوئي لتعرض النباتات للجفاف خلال فترة الإزهار وهذا ما أكدته نتائج (Frederick and Camberato, 1995)، حيث يكون النبات أكثر حساسية للإجهاد المائي خلال فترة الإزهار ونمو السنبله (Fischer, 1973; Martyniak, 2008; Katerji et al., 2009)، ويبين الجدول (17) انخفاض عدد الحبوب في السنبله في موقعي الدراسة من الموسم الزراعي 2007/2006، وكان التباين الأكبر بين السنوات في صفة عدد الحبوب في السنبله، وذلك عائد لانخفاض الحرارة إلى ما دون الصفر مما عرض النباتات لإجهاد الصقيع وآخر من تطور النبات، كما أن سوء التوزيع المطري عرض النباتات للجفاف حتى في موقع تل حديا، مما أثر في حجم المجموع الخضري الفعال في عملية التمثيل الضوئي، وقلل من كفاءة النبات التمثيلية، وكمية المادة الجافة المصنعة والمتاحة لنمو الزهيرات وتطورها خلال مرحلة تشكل السنابل، فازدادت نسبة الزهيرات

العقيمة والمجهضة، وتراجع عدد الحبوب المتشكلة في السنبل الواحدة، وقد أدى توفر الماء في موقع تل حديا، عند إضافة رية تكميلية في فترة امتلاء الحبوب إلى زيادة وزن الألف حبة، مما أدى إلى ارتباط الغلة الحبية في الموسم الزراعي 2007/2006 في موقع تل حديا بعدد الحبوب في السنبل وهذا عائد حسب (Slafer et al.,1996 ; Richards,1996a)؛ وعودة وزملاءه، 2008) لزيادة نسبة الحبوب الصغيرة الطرفية المتشكلة في السنبل الرئيسة والسنابل الثانوية، لأنه من المعروف أن تشكل الزهيرات في سنبل القمح يبدأ من المركز ويتجه نحو الأعلى والأسفل، وبالتالي فإن الفترة اللازمة لنمو الحبة من الحبوب الطرفية ستكون قصيرة جداً، مما يقلل من حجم الحبوب المتشكلة، وتؤدي زيادة نسبة الحبوب الصغيرة المتشكلة نتيجة زيادة عدد الحبوب بالسنبل إلى تراجع متوسط الألف حبة رغم أن كمية نواتج التمثيل الضوئي المتاحة خلال مرحلة امتلاء الحبوب تكفي بل تزيد عن حاجة الطاقة التخزينية لجميع الحبوب المتشكلة، والسلالات التي كانت قادرة على تشكيل أكبر عدد من الحبوب، توفر لها الماء وهو الناقل الوحيد لنواتج التمثيل الضوئي من المصدر إلى المصب. كما أشارت النتائج إلى تأثر أقل لمتوسط وزن الألف حبة من متوسط عدد الحبوب في السنبل لدى ترافق الإجهاد المائي بارتفاع درجة الحرارة في فترة الإزهار، وتجلّى ذلك في الموسم الزراعي 2007/2006 في بريدا والذي تميز بارتفاع شديد لدرجة الحرارة العظمى وصلت إلى 30 م° ولفترة 19 يوماً (الفترة الممتدة من الإسبال حتى النضج)، فانخفض في هذا الموقع عدد الحبوب في السنبل من 31 إلى 12 حبة في السنبل، أي بنسبة 72% مقارنة بموقع تل حديا وهذا متوافق مع نتائج (Richards, 1996b ; علي، 2008) لأن الجفاف خلال مرحلة الاضطواء، أدى إلى موت العديد من الاضطواءات أو عدم تحولها من المرحلة الخضرية للمرحلة الثمرية، مما أثر سلباً في عدد السنابل الثانوية المتشكلة، وبالتالي عدد الحبوب في النبات.

كان عدد السنابل في المتر المربع هو المكون الأقل تبايناً في ظروف الجفاف في موقع بريدا (الممثل للموقع الجفاف)، وهذا متوافق مع نتائج (Ehdaie and Waines, 1988)؛ (Elhani et al., 2007)، مع ملاحظة ازدياد عدد السنابل/م² في الموسم الزراعي 2007/2006 في نفس الموقع عن الموسم الأسبق وذلك يعود لزيادة ظهور عدد الاضطواءات حسب (Rawson, (1971 التي استجابت لدرجات الحرارة المنخفضة، وتشير نتائجنا إلى أن عدد الحبوب في السنبل من أكثر مكونات الغلة علاقة بالغلة المرتفعة في ظروف الجفاف وهذا متوافق مع نتائج (Annicchiarico and Pecetti, 1998; Slafer and Whitechurch, 2001; Okuyama et al., 2004)، حيث أثر بشكل كبير في الغلة الحبية لارتباطه ارتباطاً عالياً المعنوية بها وهذا ما وجدته (García- del Moral et al., 2003; Elhani et al., 2007)، بينما أثر في الغلة الحبية في موقع تل حديا فقط عند حدوث شح الماء قبيل الإزهار أي في

فترة تكوين الحبوب في السنبله من الموسم الزراعي 2006/2007 حيث كانت الهطولات المطرية خلال هذه الفترة أقل مما هي عليه في الموسم السابق ومترافقة بارتفاع درجة الحرارة المطلقة الدنيا وهذا متوافق مع نتائج (Elhani et al., 2007) و Wardlaw et al., 1995 (Simane et al., 1993; Okuyama et al., 2004; 1995) اللذين أكدوا جميعاً على اعتبار عدد الحبوب في السنبله من أهم المعايير للانتخاب لتحسين الغلة الحبية في القمح القاسي في ظروف الجفاف، ويؤكد ذلك ماتميزت به السلالة (LC2110) بتكوينها أعلى عدد من الحبوب في السنبله في كلا الموقعين، وأقل نسبة انخفاض في الغلة الحبية، كما تميّزت المجموعة الأولى الممثلة للسلالات عالية الإنتاجية عن المجموعة الثانية الممثلة للسلالات منخفضة الإنتاجية بعدد الحبوب في السنبله، وتفاوتت عليها بمعنوية عالية ($P \leq 0.01$) في متوسط الموقعين، كما تفاوتت بمعنوية عالية جداً في متوسط الموسمين في موقع بريدا الممثل للموقع الجاف، وقد توافق ذلك مع وجود فروقاً معنوية للغلة الحبية في موقع بريدا، وفي التحليل المشترك شكل (22)، مؤكداً ذلك على أهمية هذه الصفة من مكونات الغلة في الانتخاب لظروف الجفاف، وهي صفة ذات انعزال متجاوز الحدود موجبة جدول (9)، ويعد هذا دليلاً هاماً في إمكانية الحصول على سلالات تمتلك هذه الصفة، وتشير نتائجنا بأن وزن الحبوب ليس له تأثير في اختلافات قيم الغلة الحبية تحت ظروف الجفاف في بريدا، وهذا متوافق إلى ما توصل إليه (Elhani, et al., 2007; García del Moral et al., 2005)، بينما بينت النتائج أن عدد السنابل له تأثير معنوي سلبي في متوسط الغلة الحبية في بريدا (الممثل للموقع الجاف) بسبب تأثيرها المعنوي في عدد الحبوب، وهذا متوافق مع (Solomon et al., 2003; García del Moral et al., 2005) نتيجة لزيادة التنافس في ظروف محدودة الماء، والعناصر المغذية في مرحلة نمو السنبله، كما وبينت نتائج هذه الدراسة أن الجفاف أحدث انخفاضاً في متوسط قيم الصفات المورفولوجية (الشكلية) جدول (29)، وهذا ما أكدته Saleem, (2003) الذي بينت نتائجه تناقص كل من طول النبات، وطول السنبله، بالإضافة لعدد السنابل/م²، والغلة الحبية في ظروف الإجهاد المائي في كل من الطرز الوراثية للقمح القاسي والطري، وأيضاً متوافق مع (العودة ورفاقه، 2008) في تأثير الجفاف في تناقص كل من طول السنبله، وطول حامل السنبله، وذلك لتأثير الجفاف في حجم المجموع الخضري الفعال في عملية التمثيل الضوئي، حيث سجل انخفاضاً كبير في صفة طول حامل السنبله، لأنه حسب (Bressan et al., 1990) أن استطالة الخلايا النباتية من أكثر العمليات الفيزيولوجية حساسية لظروف الجفاف (العجز المائي)، وتعد هذه الصفة من أهم الصفات المورفولوجية في ظروف العجز المائي، حيث ترتبط بالغلة الحبية ارتباطاً موجباً عالي المعنوية ($r = 0.8$)، وتجاوز معامل الانحدار ($R^2 = 0.6$) وهذا متوافق مع ما توصل إليه (Jing et al., 2007)، وإن الفرق

بين المجموعتين: الأولى (مجموعة السلالات الممثلة للسلالات عالية الإنتاجية) والمجموعة الثانية (الممثلة للسلالات منخفضة الإنتاجية) كان معنوياً وعلى مستوى معنوية ($P < 0.05$) في الموسمين ومتوسط الموسمين في موقع بريدا، مؤكداً أهمية هذه الصفة تحت الظروف الجافة وهذا ما أكدته (Nachit and Eloufi, 2004) في القمح القاسي، لذا يجب أخذ هذه الصفة بعين الاعتبار عند الانتخاب لطرز وراثية عالية الإنتاج تحت ظروف العجز المائي وهذا ما أشار إليه (Sing and Chaudhary, 2006; Nachit and Jarrah, 1982)، وقد بين (Ehdaie & Waines, 1996; Blum, 1998; Foulkes, 2002) بأنه يمكن تحسين من صفة امتلاء الحبوب تحت الإجهاد عن طريق تخزين المواد الكربوهيدراتية في الساق، وهي صفة ذات معنوية انعزال متجاوز الحدود موجبة عالية جدول (10)، مما يدل على إمكانية الحصول على سلالات تمتلك هذه الصفة.

وجد أيضاً أن صفة طول السفا في ظروف الجفاف من الصفات المورفولوجية الهامة وهذا يتوافق مع (Evans et al., 1972; Kaul, 1974; Motzo and Giunta, 2002) إذ ارتبطت في موقع بريدا بالغلة الحبية ارتباطاً موجباً عالي المعنوية، وتجلت أهمية هذه الصفة بارتباطها المعنوي الموجب بعدد الحبوب في السنبله كأهم مكونات الغلة في ظروف الجفاف، وهذا ما يؤكد أهمية دور السفا كعضو يقوم بعملية توفير نواتج عملية التمثيل الضوئي في مرحلة امتلاء السنبله ويرتبط بالسنبله مباشرة وهذا ما أشار إليه العديد من الباحثين (Ayeneh et al., 2008; Tambussi et al., 2007; Xiaojuan et al., 2002)، واللذين أكدوا أهمية صفة طول السفا لأنها تلعب دوراً كبيراً في زيادة الغلة الحبية في السلالات ذات السفا مقارنة بعديمتها وخاصة في مرحلة امتلاء الحبوب ولوجود علاقة ارتباط معنوية وموجبة بطول حامل السنبله، كما أنها شكلت مجموعة عنقودية مع حامل السنبله لتتواجد بالمجموعة العنقودية الإنتاجية للسلالات العالية والثابتة إنتاجياً في موقع بريدا شكل (25)، ويبين الجدول (10) في موقع بريدا أنها صفة ذات معنوية انعزال متجاوز الحدود موجبة عالية، دالاً على إمكانية الحصول على سلالات تمتلك هذه الصفة، وظهرت أهمية هذه الصفة في موقع تل حديا الموقع المتميز بالحرارة الأعلى من موقع بردا، وبالأخص في الموسم الزراعي 2006/2007 والذي ارتفعت درجة الحرارة العظمى المطلقة فيه في فترة النضج إلى 30 م° واستمرت 38 يوماً حتى نهاية الموسم، دالة على أهمية الدور التي تلعبه كمخفف لدرجات الحرارة المحيطة بالسنبله، نتيجة البنية التركيبية للسفا (Ayeneh et al., 2002)، يوضح الجدول (38) تفوق السلالات العالية والثابتة إنتاجياً تفوقاً معنوياً موجباً بهذه الصفة على السلالات المنخفضة والثابتة إنتاجياً، ويؤكد ذلك ما سجلته السلالة (LC2106) من مجموعة السلالات العالية والثابتة إنتاجياً إذ سجلت أعلى متوسط طول سفا بلغ (8.8 - 13 سم) في موقعي بريدا وتل حديا على التوالي

جدول (28)، بالإضافة لتسجيلها أعلى غلة حبية في الموقعين معاً.

تظهر نتائج دراستنا الاستجابات الفيزيولوجية المختلفة بين موقعي الدراسة المختلفين بيئياً، فيظهر التأثير القوي للموقع وبمستوى معنوية عالية ($P < 0.001$) محدثاً تبايناً في صفة لون الورقة بمرحلة Z45 قدره: 32 من التباين الكلي، حيث أن تجمع الصناعات الخضراء عند سطوح الخلايا بشكل متعامد مع الإشعاع الشمسي الساقط جعل معدل امتصاص الضوء أعظماً وبالتالي زاد من معدل التمثيل الضوئي جدول (39)، كما تميز موقع بريدا بألوان الأوراق الخضراء الداكنة (50.45) متفوقاً معنوياً على موقع تل حديا (45.55) جدول (44)، كما سجل ارتباطاً معنوياً موجباً لهذه الصفة بالغلة الحبية في تل حديا وهي البيئة غير المجهدّة بينما لم تسجل هذه العلاقة في موقع بريدا جدول (59)، نتيجة لترافق زيادة التمثيل الضوئي مع زيادة الحاجة للماء المتوفر في موقع تل حديا في مرحلة Z45، لذلك ظهرت هذه العلاقة في الموسم الزراعي 2006/2005، وفي متوسط الموسمين، بينما لم تسجل في الموسم الزراعي 2007/2006 حيث انخفض الهطل المطري لموقع تل حديا (الممثل لموقع الري التكميلي في مرحلة فترة امتلاء الحبوب)، بينما لم توجد فروق معنوية بين الموقعين في صفة لون الورقة بمرحلة Z75، حيث في المراحل المتقدمة من عمر النبات وخلال فصل الربيع يكون الضوء مثالياً لعملية التمثيل الضوئي، فيصبح الامتصاص عالي للأشعة الضوئية وتزداد قيمة لون الورقة في الموقعين، لذلك وجدت علاقة ارتباط معنوية ايجابية بمرحلة فترة امتلاء الحبوب بين الغلة الحبية وصفة لون الورقة في كلا الموقعين، وبمعنوية أكبر في موقع بريدا وهذا يتوافق مع (Villegas et al., 2000) اللذين فسروا بأن السلالات القادرة على احتفاظها باللون الأخضر، ولم تتعرض للتثبيط الضوئي (Photo inhibition)، الذي يسبب تخريباً للبروتينات والأنزيمات المكونة لمراكز التمثيل الضوئي، بظروف الإجهاد المائي أو الإجهاد الحراري للنباتات المجهدّة في المراحل المتقدمة من عمر النبات، تكون قادرة على امتصاص الأشعة الضوئية اللازمة لعملية التمثيل الضوئي خلال فترة امتلاء الحبوب مما سيجعلها بالتالي قادرة على إعطاء غلة الحبية كبيرة وهذا أكدته نتائج كل من (Nachit, 1992; El Hafied et al., 1988). أعطت بعض السلالات في ظل الجفاف الذي عجل من شيخوخة أوراقها وموتها المبكر قيمةً منخفضة في كمية الكلوروفيل، وذكر برنامج تربية القمح القاسي في إيكاردا (ICARDA., 2003) أن صفة محتوى الورقة من الكلوروفيل ترتبط بكفاءة استعمال المياه (WUE)، مما يؤكد أهمية هذه الصفة تحت ظروف البيئة المجهدّة، فقد بين (Gutiérrez-Rodríguez, et al (2004) وجود علاقة ارتباط بين قياسات معامل الكلوروفيل ومعدل التركيب الضوئي وصلت إلى 0.75، مما يؤكد أن محتوى الورقة من الكلوروفيل في مرحلة 75 حسب مقياس زادوك المقاسة بـ SPAD هي من المؤشرات الموثوقة للانتخاب من

أجل الجفاف، ويمكن قياسها بسهولة وسرعة وهذا متوافق مع نتائج (Silva et al., 2007)، حيث تعتبر محتوى الورقة من الكلوروفيل أحد مؤشرات لطاقة النبات الكامنة في عملية التمثيل الضوئي (Araus et al., 1997)، وفي دراسة لتأثير الموقع في ارتفاع درجة حرارة الورقة، لوحظ تأثيراً معنوياً على مستوى ($P < 0.05$)، وسجل موقع بريدا قيماً أعلى من تل حدياً نتيجة لانغلاق المسام وزيادة المقاومة المسامية في هذا الموقع لارتباط هذه الصفة بفلورة الكلوروفيل وهذا متوافق مع نتائج (Luquet et al., 2003; Jones, 2004)، كما وجد ارتباطاً موجباً مع الغلة الحبية، أما صفة درجة حرارة الغطاء النباتي التي تعبر عن كفاءة النبات في الاستمرار في فقد الماء بالتبخر - نتح وتبريد المجموع الهوائي للحيلولة دون الارتفاع الزائد لدرجة الحرارة (Reynolds et al., 1998)، فلقد أحدث الموقع تبايناً قدره 50 % من التباين الكلي على مستوى ($P < 0.01$) جدول (39) وقد ارتبطت في بريدا ارتباطاً معنوياً موجباً بالغلة الحبية، وتواجدت مع درجة حرارة الورقة في المجموعة العنقودية الإنتاجية للسلاسل العالية والثابتة إنتاجياً لموقع بريدا (الممثل للموقع الجاف) شكل (27) وهذا ما وجدته (Reynolds et al., 2007)، أما بالنسبة لصفة المقاومة المسامية فالفروقات كانت عالية المعنوية بين المواقع وبمستوى ($P < 0.001$) وبمرحلة Z45 (SR45)، فازدادت قيم المقاومة المسامية حتى 56% في ظروف محدودية الماء جدول (44) وهذا متوافق مع (Abbad et al., 2004)، كما وجد ارتباط معنوي إيجابي للغلة الحبية مع قيم المقاومة المسامية في بريدا بعكس تل حدياً وهذا متوافق مع (Matin et al., 1989) جدول (59) وهذا رد طبيعي للنبات للمحافظة على المحتوى المائي في موقع الجفاف، حيث يعتبر انغلاق المسام رد فعل أولي سريع للجفاف، وذلك لخفض كمية الماء التي تفقدها النباتات في النتح، وهي ذات تأثيراً عالياً بالبيئة، لذلك كان تفاعل السلاسل مع المواقع والسنوات في صفة المقاومة المسامية بمرحلة Z45 ذا معنوية عالية، ولهذه الصفة خصوصية، لارتفاع قيمتها في الموقع الجاف (Jones, 1999; Lawlor and Cornic, 2002)، على عكس ما يجب أن تكون عليه في الموقع الرطب، لأن انغلاق المسام يؤدي إلى الحد من عملية التبادل الغازي، وانتشار غاز CO₂، ولأن خروج الماء على هيئة بخار ماء عبر المسامات خلال عملية التبادل الغازي يقابله دخول غاز CO₂، والذي يؤكد أهمية هذه الصفة في الظروف الجافة تواجهها ضمن المجموعة العنقودية الإنتاجية للسلاسل المتميزة بالإنتاجية العالية والثباتية الإنتاجية العالية، بالإضافة لارتباطها المباشر بمكون الغلة الهام في منطقة الجفاف وهو عدد الحبوب في السنبلة بنفس العقود الفرعي، ضمن المجموعة العنقودية الإنتاجية لموقع بريدا (الممثل للموقع الجاف) شكل (27)، كذلك وجدت فروقاً معنوية في صفة الناقلية المسامية بين الموقعين حيث أحدث الجفاف تبايناً في الناقلية المسامية وهذا متوافق مع (Hongbo et al., 2007). وبشكل عكسي تفوق

موقع تل حديا على يريدا عند مستوى معنوية ($P < 0.001$)، حيث أحدث الموقع أكبر تباين لهذه الصفة من التباين الكلي (83%) جدول (40)، كما سجل ارتباطاً معنوياً موجباً مع الغلة الحبية في موقع تل حديا عند مستوى معنوية 5% جدول (59) وهذا يتوافق مع (Lu, et al., 1998; Fischer, et al., 1998) لارتباطها بمعدل التمثيل الضوئي وهذا يتوافق مع (Bahar et al., 2009) ، لذا فإن الانتخاب من أجل الحصول على ناقلية عالية للمسام يساعد في زيادة معدل الغلة، ولأنه كلما زادت قيم الناقلية زادت كمية غاز ثاني أوكسيد الكربون المنتشر عبر الورقة مما سيؤدي إلى زيادة معدل البناء الضوئي وهذا بالتالي سيؤثر في معدل وقيم الكتلة الحية ومن ثم في زيادة الغلة، أشارت نتائجنا إلى أن اختلاف الغلة الحبية بين الموقعين والتي سجلت انخفاضاً وسطياً قدره 90% بين الموقعين عائد إلى التباين المعنوي في جميع الصفات الفيزيولوجية المدروسة ماعدا لون الورقة في مرحلة Z75 وخاصة التباين الكبير والعالي المعنوية في المقاومة والناقلية المسامية (86%). وتؤكد نتائجنا امتلاك الأب شام 1 لمعدل تركيب ضوئي صافي عالي ضمن ظروف الجفاف الحادة وهذا متوافق مع نتائج (Rekika et al., 1998)، حيث احتل المرتبة الأولى في لون كلوروفيل الورقة في مرحلة Z 75 جدول (46)، وكان أيضاً من ضمن المراتب الأولى في الصفات الفيزيولوجية: الناقلية المسامية ودرجة حرارة الورقة ودرجة حرارة الغطاء النباتي وكل هذه الصفات لها علاقة بالتركيب الضوئي، كما احتلت السلالات المشابهة في المؤشرات الفيزيولوجية في ظروف الجفاف للأب شام 1 (LC2106, LC 2301, LC 2305, LC 2221, LC 2106) المراتب الأولى في الغلة الحبية وهذا يتوافق مع نتائج (Fischer et al., 1998)، كما لوحظ تشابه للسلالتين (2221 LC2106, مع الأب شام 1 في الغلة الحبية متفوقتين على الأب لحن وبقية السلالات. بينما سلكت هذه السلالات سلوكاً مغايراً في الموقع المروي وكانت أكثر قرباً من الأب لحن في المؤشرات الفيزيولوجية، وتفوقت بدورها في الغلة الحبية على الأب شام 1 وتشابهت مع الأب لحن، وهذا ما يفسر صفة الثباتية الإنتاجية لهذه السلالات والتي استطاعت أن ترشد استخدام مورثاتها التي اكتسبتها من آبائها حسب الظروف البيئية السائدة مما يؤكد ضرورة استخدام السلالتين (2221, LC2106) في موقعي الدراسة وهذا يتفق مع (Mosaad et al., 2006) الذي بين أن الطرز الوراثية من القمح التي أعطت غلة جيدة في الري التكميلي، لقد أعطت غلة جيدة في ظروف الزراعة البعلية.

تؤكد نتائجنا على ضرورة الاعتماد على المؤشرات الفيزيولوجية (الناقلية المسامية ودرجة حرارة الورقة ودرجة حرارة الغطاء النباتي) كمعايير انتخاب للغلة الحبية في ظروف الجفاف للوصول إلى سلالات ذات ثباتية إنتاجية وهذا متوافق مع نتائج (Fischer et al., 1998) ، والاعتماد أيضاً على صفة الناقلية المسامية كمعيار انتخاب في الظروف المروية

وهذا متوافق مع نتائج كل من (Lu et al., 1998; Whitehead et al., 2005)، أما بالنسبة لمعايير الجفاف كصفات فيزيولوجية فقد وجدت علاقة ارتباط معنوية وإيجابية بين كل من الغلة الحبية في ظروف الجفاف وظروف الزراعة المروية مع كل من متوسط قيم الإنتاج الهندسي GMP، ومعامل تحمل الجفاف STI في كلا الموسمين جدول (60-61)، وهذا يتوافق مع نتائج (Mardeh et al., 2006)، بينما كان الارتباط معنوياً وسالباً بين الغلة الحبية تحت ظروف الإجهاد مع دليل الحساسية للجفاف SSI، وهذا يدل على أن يمكن الاعتماد في الانتخاب على القيم العالية لكل من معامل تحمل الجفاف، ومتوسط قيم الإنتاج الهندسي في ظروف الإجهاد وعدمه، وهذا يتوافق مع (Maleki et al., 2008)، وهما من أكثر المعايير فعالية للتنبؤ بإنتاجية القمح، وهذا يتوافق مع (Shiri et al., 2001)، كما بينت نتائجنا إمكانية الاعتماد على القيم المنخفضة لمعامل الحساسية للجفاف في ظروف الإجهاد وهذا متوافق مع (Golabadi et al., 2006؛ Mardeh et al., 2006) ويمكن الانتخاب بالاعتماد على القيم العالية لكل من دليل تحمل الجفاف STI، والوسط الهندسي للإنتاج GMP بالتوافق مع القيم المنخفضة لمعامل الحساسية للجفاف SSI سيؤدي إلى انتخاب طرز وراثية ذات تحمل إجهاد عالي، ومما يؤكد ذلك مما وجد عند السلالة LC2106 حيث تراكمت القيم العالية لكل من STI و GMP والقيم المنخفضة لـ SSI بغلة حبية عالية في الموسمين جدول (55 و 56)، وخاصةً في حال الجفاف الشديد في الموسم الزراعي 2007/2006، وسجلت السلالة LC2110 قيمةً عالية لكل من STI و GMP ومنخفضة لـ SSI وغلة حبية عالية جدول (56)، كما سجلت السلالة LC2221 في الموسم الأول (2005/2006) غلة حبية عالية تراكمت مع قيم عالية لكل STI و GMP وقيمة منخفضة لـ SSI، مما يؤكد أن ارتباط هذه القيم تعطي دلائل دامغة على السلالات المحتملة للجفاف، حيث تفوقت السلالتين (LC2106, LC2221) على كافة السلالات في هذا الموسم في الغلة الحبية جدول (18). كما يمكن الاعتماد على SSI في عزل السلالات غير المحتملة للجفاف، إذ ثبت أن السلالات (LC2006, LC2204, LC2322, LC2417) التي كانت فيها قيم $SSI < 1$ في كلا الموسمين أعطت قيمةً منخفضة للغلة الحبية فيهما جدول (18)، وهذا متوافق مع (Fischer and Maurer, 1978؛ Guttieri et al., 2001). أما ما يخص المؤشرات الفينولوجية فقد بينت نتائجنا أهمية صفة الإنبال المبكر كصفة تطورية (فينولوجية) في ظروف الجفاف وهذا متوافق مع (Villegas, et al., 2001)، حيث تعتبر صفة سرعة تطور المحصول ووصوله إلى مرحلة ظهور السنابل (الإنبال) بوقت مبكر من التكييفات الهامة لمحاصيل الحبوب التي تزرع في المناطق المعرضة للإجهادات وهذا ما عرف عند كل من (Richards 2000; Spielmeier et al. 2007)، فارتبطت الباكورية في الإنبال بالغلة الحبية وبمعنوية عالية ($P < 0.01$) في الموسمين الزراعيين 2006/2005-

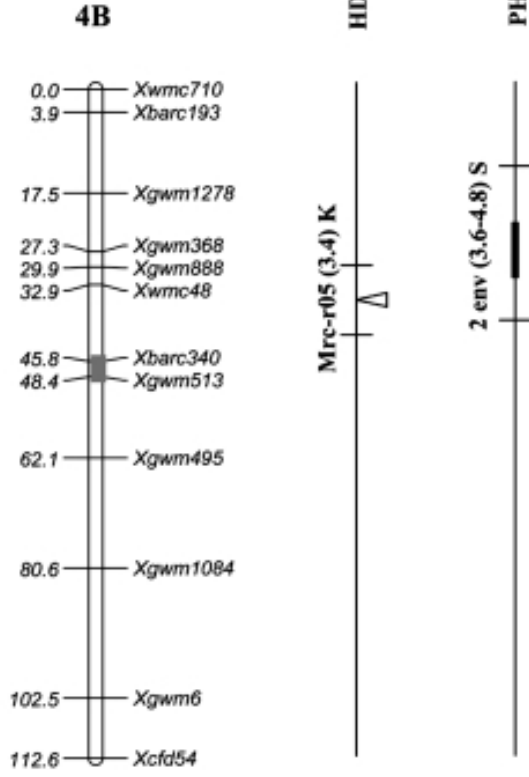
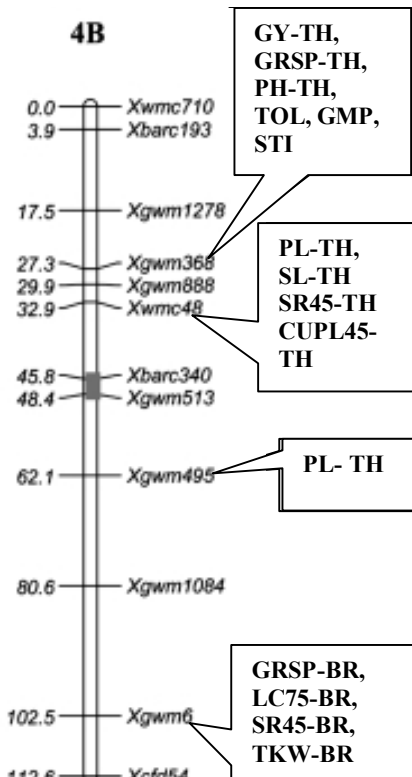
2007/2006 وبمتوسط الموسمين حيث وصل معامل الارتباط مع الغلة الحبية إلى ($r = 0.9$) وتجاوز معامل التحديد أو الانحدار معها إلى ($R^2 = 0.8$)، وتميزت السلالات عالية الإنتاجية بالباكورية في الإسبال والنضج، وكان الفرق مع مجموعة السلالات منخفضة الإنتاجية والثباتية الإنتاجية معنوياً وعلى مستوى معنوي ($P < 0.01$)، وهذه النتيجة توافق ما ذكر في (ICARDA, 2004)، مما يدل أن صفة مقاومة القمح القاسي للإجهاد إضافة للإنتاجية المستقرة قد تجلت من خلال انخفاض عدد الأيام حتى الإسبال.

أما فيما يخص بدراستنا الجزيئية من حيث ارتباط الصفات السابقة المرتبطة بالجفاف مع المؤشرات الجزيئية فإن نتائجنا تشير إلى وجود أكثر من موقع مسؤول ومرتبطة مع الصفات المدروسة وذلك يعود لكون هذه الصفات هي صفات كمية وليست نوعية أي يتحكم بها عدد من المورثات وليس مورث واحد (معلا وحربا، 2005)، مما يدل على وجود الأثر التراكمي للمورثات المختلفة في ظهور الصفات، وإن هذه المواقع لا تقع على نفس الكروموزم، بل ترتبط بعدة مؤشرات جزيئية في مواقع كروموزومية مختلفة وهذا متوافق مع (Roy et al., 2004; Diab et al., 2008)، ومع (أشتر، 2009)، إذ أشارت النتائج لوجود 11 موقعاً متوافقاً مع صفة المقاومة المسامية في مرحلة Z45 وتتوضع على الكروموزومات (2A, 6A, 7A; 1B, 2B, 3B, 4B) مما يظهر الأثر التراكمي للمورثات المختلفة في ظهور الصفات المتعلقة بالجفاف، وأن صفة طول حامل السنبل قد أظهرت ترابطاً وتوافقاً معنوياً مع 5 من المواقع الوراثية على الكروموزومات (2A, 3A, 4A, 6A, 7A; 3B, 4B)، ووجد 7 مواقع وراثية متوافقة مع صفة طول السفا وتتوضع على الكروموزومات (3A, 4A, 6A, 7A; 3B, 4B)، و9 مواقع متوافقة مع صفة درجة حرارة الورقة في مرحلة 45 على 7 من الكروموزومات (1A, 4A, 5A; 4B, 5B, 6B)، و8 مواقع متوافقة مع عدد الحبوب في السنبل وتتوضع على الكروموزومات (2A, 3A, 4A; 1B, 3B, 4B, 6B)، و6 موقع وراثية متوافقة معنوياً مع صفة لون الورقة في مرحلة 75 على الكروموزومات (5A, 7A; 4B, 6B, 7B)، و7 مواقع مع عدد الأيام حتى الإسبال (3A, 4A, 7A; 1B, 6B)، و4 مواقع مع صفة درجة حرارة الغطاء النباتي في مرحلة 45 (1A, 4A, 5A; 4B, 5B, 6B)، و4 مواقع وراثية مع دليل الحساسية للجفاف توضع على الكروموزوم B (3B, 4B, 6B)، أما الغلة الحبية فقد أظهرت توافقاً مع 6 مواقع وراثية من مجموع الـ 49 موقعاً SSR (2A, 3A, 4A; 1B, 3B, 4B, 6B)، وقد وجد موقعاً وراثياً واحداً توافق معنوياً مع عدة صفات، فالموقع الوراثي gwm160bp172 المتواجد على الذراع الطويل للكروموزوم 4A أظهر ترابطاً معنوياً مع كل من صفة طول حامل السنبل، وطول السفا، وعدد الأيام حتى الإسبال، وعدد الحبوب في السنبل، بالإضافة إلى الغلة الحبية جدول (92-3)، وأثر التوافق في زيادة كل من الغلة الحبية، وعدد الحبوب في السنبل، وطول السفا، حيث

تواجد هذا المؤشر الجزيئي في الأب الأكثر إنتاجاً (شام1)، وفي السلالات الستة العالية والثابتة إنتاجياً (LC2014, LC2106, LC2110, LC2221, LC2301, LC2504) جدول (88)، بينما توافق الموقع الوراثي gwm219bp155 المتواجد على الكروموزوم 6B مع طول حامل السنبل، ولون الورقة في مرحلة 75، ودرجة حرارة الورقة في مرحلة 45، ودرجة حرارة الغطاء النباتي في مرحلة 45، ودليل الحساسية للجفاف، وعدد الأيام حتى الإسبال، وعدد الحبوب في السنبل، بالإضافة إلى الغلة الحبية جدول (92)، وأثر توافقه في خفض عدد الحبوب في السنبل، ولون الورقة في مرحلة 75، وزيادة في درجة الحرارة كل من الورقة والغطاء النباتي، وأيضاً زيادة الحساسية للجفاف، وزيادة في عدد الأيام حتى الإسبال، وهذا ما أدى إلى خفض الغلة الحبية في الموقع الجاف، كما تواجد في الثمانية سلالات من مجموعة السلالات المنخفضة الإنتاجية والثابتة إنتاجياً، وتواجد أيضاً في الأب لحن الأقل إنتاجاً في الموقع الجاف، مما يساهم استخدامه في عملية الانتخاب المعتمد على المؤشرات الوراثية **MAS) Marker Assisted Selection**، في عزل السلالات المنخفضة الإنتاجية والثابتة إنتاجياً، وهذا متوافق مع نتائج (Vasu et al., 2000) اللذين نوهوا عن وجود أكثر من موقع مسؤول عن الصفة الكمية، بينما فسر Cook et al., (2004) بأن هذا عائد إلى ما يسمى المورث الرئيسي والمورث الثانوي اللذان يؤثران في ظهور نفس الصفة حيث يتحكم المورث Qssmsub مثلاً الواقع على الصبغي 3B في القمح بصفة قساوة الساق، بينما وجد Lanning et al., (2004) أن المورث Qssmsub الواقع على الصبغي 3D له موقعاً آخر ثانوياً له نفس الوظيفة وهي المساهمة باظهار صفة قساوة الساق، مما يعطيها خاصية الحماية من حشرة ذبابة الساق المنشارية، وهذا من خصائص وراثية الصفات الكمية، حيث يطلق على العوامل ذات التأثير الكبير الواضح باسم المورثات الأساسية **Major gene**، وعلى العوامل الوراثية الأخرى ذات التأثير البسيط باسم متعددة الجينات **Polygene**، أو الجينات الثانوية (minor genes) (حسن، 2005)، ومن جهة أخرى توافقت نتائجنا مع نتائج (Li et al., 2007, 2008) اللذين برهنوا عن وجود عدة مواقع تتوافق مع الغلة الحبية في القمح، وتتوافق مع (Li et al., 2007) بأن شملت مواقع تتواجد على الكروموزوم 6B، ومع (Maccaferri et al., 2008) بوجود موقعاً يتوافق مع الغلة الحبية يتواجد على الكروموزوم 2A جدول (92-3)، كما تتوافق مع نتائج (Kirigwi et al., 2007) بوجود موقعاً وراثياً يتوافق مع الغلة الحبية ويتواجد على الكروموزوم 4AL ومرتبطة ومتوافق بمعنوية عالية ($P < 0.01$)، كذلك بالنسبة لصفة عدد الأيام حتى الإسبال إذ توافقت نتائجنا مع (Hanocq et al., 2004) بوجود عدة مواقع تتوافق مع هذه الصفة، إحداها تواجد على الكروموزوم 1B، وتتوافق مع نتائج (Hanocq et al., 2006) حول وجود موقعين على الكروموزوم 2A, 4A

تتوافق مع صفة عدد الأيام حتى الإسبال، كما تتوافق مع (Dura, 2009) بوجود مواقع تتواجد على الكروموزومين (2A، 4B) وتتوافق مع عدد الحبوب في السنبل. ومن التحليل التوافقي وجد أن المواقع الوراثية (gwm495bp155, gwm006bp18, gwm160bp172، gwm368bp287، wmc048bp190) المرتبطة بمعظم الصفات المورفوفيزيولوجية المرتبطة بالجفاف لكل من طول حامل السنبل، طول السفا، لون الورقة في مرحلة 75، المقاومة المسامية في مرحلة 45، درجة حرارة الورقة في مرحلة 45، دليل الحساسية للجفاف، عدد الأيام حتى الإسبال تواجدت على الكروموزم 4B (الاشكال 28,29) والذي يركز عليه عدد كبير من مواقع الجينات المقاومة للجفاف (XBM816640, XBM816848, XBM816121) وهذا متوافق مع (Diab et al., 2008)، وتوافقت نتائجنا مع (Maccaferri et al., 2008) في تواجد موقع وراثي ويتواجد في المنطقة الوراثية المرتبطة بطول النبات (شكل 29)، كما بينت النتائج ارتباط عدة صفات مورفوفيزيولوجية: طول حامل السنبل، درجة حرارة الورقة، لون الورقة 45، قوة الانبات والتغطية النباتية، لون الورقة 75، طول السفا، عدد الحبوب في السنبل، بالموقع الوراثي gwm129 المتواجد على الكروموزوم 5A، وقريبة من موقع الجين (XBMB16474) المتعلق بالجفاف والمرتبط بصفة لون الورقة (شكل 30)، لتتوافق نتائجنا مع (Diab et al., 2008). ويبين الشكل (1-31) ارتباط كل من الصفات: النقا، الورقة في الصباح، درجة حرارة الورقة، عدد الحبوب في السنبل بالموقع الوراثي gwm234 المتواجد على الكروموزوم 5A القريب من موقع الجين (XBM816242) المرتبط بصفة معامل استخدام الماء، ودرجة حرارة الغطاء النباتي لتتوافق نتائجنا مع نتائج (Diab et al., 2008).

المراجع: Diab et al., 2008	نتائج الدراسة الحالية
<p>4B</p>	<p>4B</p>
<p>شكل (28-2) يبين المواقع الوراثية المرتبطة بالصفات: درجة حرارة الغطاء النباتي (CTD)، لون الورقة (CHL)، الفلورة (FLuo)، نظير الكربون (CID)، التعديل الحلولي (OP)، الإشعاع الفعالة للتركيب الضوئي (PAR)، هي كمية الضوء المستخدمة في التمثيل الضوئي (Q)، محتوى الماء النسبي (RWC)، المنتج (TRS)، معامل استخدام الماء (WI)، على الكروموزوم 4B في موقع مروي (TH)IR، موقع بعل (BR)RF، زراعة متأخرة LP، * الإشارة إلى موقع جين</p>	<p>شكل (28-1) يبين المواقع الوراثية المرتبطة بالصفات: لون الورقة (LC75)، المقاومة المسامية (SR45)، عدد الحبوب في السنبل (GRSP)، وزن الألف حبة (TKW) على الكروموزوم 4B في موقع مروي (TH)IR، موقع بعل (BR)RF، * الإشارة إلى موقع جين</p>

المرجع: Maccaferri et al., 2008	نتائج الدراسة الحالية
	
<p>شكل (1-29) يبين المواقع الوراثية المرتبطة بالصفات: طول النبات (PH)، عدد الايام حتى الاسبال (DH)، على الكروموزوم 4B</p>	<p>شكل (1-29) يبين المواقع الوراثية المرتبطة بالصفات: طول النبات (PH)، معيار دليل تحمل الجفاف (TOL)، متوسط قسيم الإنتاج الهندسي (GMP)، معامل تحمل الجفاف (STI)، طول حامل السنبل (PL)، طول السنبل (SL)، المقاومة المسامية 45 (SR45)، درجة حرارة الورقة 45 (CUPL45)، لون الورقة (LC75)، عدد الحبوب في السنبل (GRSP)، وزن الألف حبة (TKW)، الغلة الحبية (GY)، على الكروموزوم 4B في موقع مروي (TH)IR، موقع بعل (BR)RF</p>

المرجع: Diab et al., 2008	نتائج الدراسة الحالية
<p style="text-align: center;">5A</p>	<p style="text-align: center;">5A</p>
<div style="display: flex; justify-content: space-between;"> <div style="width: 45%;"> <p>CTD-IR </p> <p>CTD-RF </p> <p>CTD-LP </p> <p>CHL-IR </p> <p>CHL-RF </p> <p>PAR-IR </p> <p>PAR-RF </p> <p>Fluo-RF </p> <p>CID-G-RF </p> <p>CID-L-RF </p> <p>OA-RF </p> <p>OP-RF </p> <p>OP10-RF </p> <p>RWC-RF </p> </div> <div style="width: 45%;"> <p>GRSP-TH </p> <p>PL-TH </p> <p>CUPL45-TH </p> <p>LC45-TH </p> <p>VG-TH </p> <p>Q-RF </p> <p>Q-LP </p> <p>TRS-LP </p> <p>WI-RF </p> <p>VG-BR </p> </div> </div>	<div style="display: flex; justify-content: space-between;"> <div style="width: 45%;"> <p>LC75-BR </p> <p>AWL-TH </p> <p>VG-TH </p> </div> <div style="width: 45%;"></div> </div>
<p>شكل (2-30) يبين المواقع الوراثية المرتبطة بالصفات: درجة حرارة الغطاء النباتي (CTD)، لون الورقة (CHL)، الفلورة (FLuo)، نظير الكربون (CID)، التعديل الحلوي (OP)، الاشعة الفعالة للتركيب الضوئي (PAR)، هي كمية الضوء المستخدمة في التمثيل الضوئي (Q)، محتوى الماء النسبي (RWC)، النتج (TRS)، معامل استخدام الماء (WI)، على الكروموزوم 5A في موقع مروي (TH)IR، موقع بعل (BR)RF، زراعة متأخرة LP، * الاشارة إلى موقع جين</p>	<p>شكل (1-30) يبين المواقع الوراثية المرتبطة بالصفات: طول حامل السنبلة (PL)، درجة حرارة الورقة (CUPL45)، لون الورقة 45 (LC45)، قوة الانبات والتغطية النباتية (VG)، لون الورقة 75 (LC75)، طول السفا (AWL)، عدد الحبوب في السنبلة (GRSP)، على الكروموزوم 5A في موقع مروي (TH)IR، موقع بعل (BR)RF، * الاشارة إلى موقع جين</p>

المرجع: Diab et al., 2008	نتائج الدراسة الحالية
	<p>GRSP-TH </p> <p>LRAM-TH </p> <p>CUPL45-BR </p>
<p>شكل (2-31) يبين المواقع الوراثية المرتبطة بالصفات: درجة حرارة الغطاء النباتي (CTD)، لون الورقة (CHL)، الفلورة (FLuo)، نظير الكربون (CID)، التعديل الحلولي (OP)، الأشعة الفعالة للتركيب الضوئي (PAR)، هي كمية الضوء المستخدمة في التمثيل الضوئي (Q)، محتوى الماء النسبي (RWC)، الناتج (TRS)، معامل استخدام الماء (WI)، على الكروموزوم 5B في موقع مروي (TH)IR، موقع بعل (BR)RF، زراعة متأخرة LP، * الإشارة إلى موقع جين</p>	<p>شكل (1-31) يبين المواقع الوراثية المرتبطة بالصفات: النفاث الورقة في الصباح (LR)، درجة حرارة الورقة (CUPL45)، عدد الحبوب في السنبل (GRSP)، على الكروموزوم 5B في موقع مروي (TH)IR، موقع بعل (BR)RF، * الإشارة إلى موقع جين</p>

7. الإستنتاجات Conclusions:

- ✓ قلل الإجهاد المائي من قيم جميع مكونات الغلة، وخاصةً وزن الألف حبة، وعدد الحبوب في السنبلية.
 - ✓ تعد صفة عدد الحبوب في السنبلية من الصفات الكمية المهمة في زيادة الغلة الحبية للقمح القاسي تحت ظروف الجفاف.
 - ✓ أحدث الجفاف انخفاضاً في متوسط قيم جميع الصفات الشكلية المدروسة (المورفولوجية): طول النبات، وطول السنبلية، وطول حامل السنبلية، وطول السفا.
 - ✓ تعد صفة زيادة طول حامل السنبلية من أهم الصفات الشكلية (المورفولوجية) المساهمة في تمييز السلالات عالية الإنتاجية في ظروف الجفاف.
 - ✓ إن لصفة طول السفا دور مهم في تحسين الإنتاجية تحت ظروف الجفاف المترافق مع الإجهاد الحراري.
 - ✓ يعد احتفاظ ورقة العلم باللون الأخضر الداكن خلال فترة امتلاء الحبوب دليلاً مهماً على تحمل النباتات للجفاف.
 - ✓ يعتبر محتوى الورقة من الكلوروفيل في مرحلة Z75 والمقاس بجهاز SPAD من المؤشرات السهلة والسريعة القياس والموثوقة للانتخاب من أجل تحمل الجفاف .
 - ✓ تعد صفات الناقلية المسامية، ودرجة حرارة الورقة، ودرجة حرارة الغطاء النباتي من معايير الانتخاب الفيزيولوجية المهمة لتحسين الغلة الحبية تحت ظروف الجفاف.
 - ✓ يمتلك الصنف شام 1 معدل تركيب ضوئي صافي عالي ضمن ظروف الجفاف الحادة.
 - ✓ إن أفضل معايير الجفاف المرتبطة إيجابياً مع الغلة سواء بظروف الجفاف أو عدمه هي: معامل تحمل الجفاف (Stress Tolerance Index (STI)، ومتوسط قيم الإنتاج الهندسي
- .Geometric Mean Productivity (GMP)**
- ✓ كان لمؤشر دليل الحساسية للجفاف (Stress Susceptibility Index (SSI أهمية في عزل السلالات المتحملة للجفاف عن قريناتها الحساسة.
 - ✓ تعد صفة الباكورية في الإسهال من أهم الصفات التطورية (الفينولوجية) المرتبطة بزيادة الغلة الحبية تحت ظروف الجفاف.
 - ✓ كانت السلالتين (LC2221-LC2106) الأكثر استقراراً في الإنتاجية وذلك لتفوقهما في كلا الموقعين، وتميزتا بالقيم العالية لكل من عدد الحبوب في السنبلية ووزن الألف حبة على الترتيب.

- ✓ تجلت صفة مقاومة القمح القاسي للإجهاد إضافة للإنتاجية المستقرة من خلال انخفاض عدد الأيام حتى الإسبال، وزيادة طول حامل السنبله وعدد الحبوب في السنبله.
- ✓ أشارت معنوية الانعزال متجاوز الحدود **Transgressive Inheritance** إلى إمكانية الحصول على سلالات تمتلك قيم أعلى من الأبوين في عدد من الصفات المرتبطة بالغلة الحبية تحت ظروف الجفاف.
- ✓ تم تحديد المؤشر الجزيئي (**gwm160bp172**) المرتبط بالغلة الحبية وبعده الحبوب في السنبله في ظروف الجفاف، والمتواجد على الكروموزوم 4A.
- ✓ تم التوصل إلى عدد من المؤشرات الجزيئية المرتبطة بالصفات المورفولوجية في ظروف الجفاف وبشكل موجب ومعنوي (**wmc175bp260**, **gwm160bp172**) والمتواجدة على الكروموزوم (4A,2A) على الترتيب، وبشكل سالب ومعنوي (**wmc047bp145**) والمتواجد على الكروموزوم 4B.
- ✓ يؤدي المؤشر الجزيئي **gwm614bp173** الموجود على الكروموزوم 2A والمتواجد فقط في السلالات منخفضة الإنتاجية وذات ثباتية الإنتاجية المنخفضة، إلى انخفاض عدد الحبوب في السنبله، كما يتميز بثباتية التعبير في البيئات المختلفة.
- ✓ يتميز المؤشر الجزيئي **gwm219bp155** الموجود على الكروموزوم 6B بثباتية التعبير في البيئات المختلفة، ويتواجد في معظم السلالات منخفضة الإنتاجية والثابتة إنتاجياً إضافة إلى الأب لحن.
- ✓ تواجدت العديد من المواقع الوراثية (المرتبطة بمعظم الصفات المورفوفيزيولوجية المرتبطة بالجفاف (طول حامل السنبله، طول السفا، لون الورقة في مرحلة 45، المقاومة المسامية في مرحلة 45، درجة حرارة الورقة في مرحلة 45، دليل الحساسية للجفاف، عدد الأيام حتى الإسبال) على الكروموزوم 4B، الذي يرتكز عليه عدد كبير من الجينات المسؤولة عن الصفات المرتبطة بتحمل الجفاف.
- ✓ يتميز المؤشر الجزيئي **wmc232bp140** الموجود على الكروموزوم 4A بثباتية التعبير في البيئات المختلفة، وتتميز بتواجده في معظم السلالات عالية الإنتاجية والثابتة إنتاجياً.
- ✓ يرتبط موقع المورث (**XBM816640**) المتواجد على الكروموزوم 4B بصفة لون الورقة.

8. التوصيات Recommendation:

- استعمال صفة كل من عدد الحبوب في السنبل، وصفتي زيادة طول حامل السنبل، وطول السفا، والمحافظة على اللون الأخضر للورقة العلمية في فترة امتلاء الحبوب في عمليات الانتخاب الهادفة لتحسين الغلة الحبية لمحصول القمح القاسي تحت ظروف الجفاف (العجز المائي).
- استعمال المؤشرين الجزيئيين **wmc232bp140**، **gwm160bp172** المتواجدين على الكروموزوم 4A في عملية الانتخاب باستخدام المؤشرات الوراثية **Marker Assisted Selection (MAS)** لارتباطهما الايجابي بصفات التحمل للجفاف.
- استعمال المؤشرين الجزيئيين **gwm219bp155** ، **gwm614bp173** المتواجدين على الكروموزومين (2A, 7A) في عملية الانتخاب باستخدام المؤشرات الجزيئية **Marker Assisted Selection (MAS)** لصفة تحمل الجفاف اعتماداً على غيابهما.
- استخدام المؤشرات الجزيئية المرتبطة بعدد الحبوب في السنبل في عملية الانتخاب غير المباشر.
- تعميق الدراسات الخاصة بالمؤشرات الفيزيولوجية المرتبطة بالغلة الحبية في ظروف محدودية الماء، ووضع خرائط وراثية لهذه المؤشرات المرتبطة بالإنتاجية العالية.
- استخدام جهاز **SPAD** لقياس محتوى الورقة من الكلوروفيل لدقته وسهولة استعماله.
- ادخال السلالتين (**LC2221-LC2106**) في برامج التربية لتحسين صفات الغلة الحبية في ظروف الجفاف والنباتية الانتاجية.

10. المراجع References:

10.1 . المراجع العربية:

- أشتر، سها. 2009. تقييم بعض الطرز الوراثة من الأقماح السورية (السداسية والرابعة) باستخدام معلمات بيوكيميائية وجزيئية مختلفة. رسالة دكتوراه، كلية الزراعة، جامعة تشرين، الجمهورية العربية السورية.
- الشحادة العودة، أيمن. 2005. بعض الرؤى الفيزيولوجية لتحسين غلة محصول القمح الحبية ضمن الظروف البيئية المناسبة. مجلة جامعة دمشق، 21(2) : 37-50.
- العودة، أيمن، ومحمود صبوح، وماجد مهلهل. 2008. تحديد المراحل الحرجة للإجهاد المائي في بعض طرز القمح القاسي. المجلة العربية للبيئات الجافة، 1(1): 18-30.
- المجموعة الإحصائية الزراعية السنوية. 2007. الصادرة عن وزارة الزراعة، مديرية الإحصاء والتخطيط، الجمهورية العربية السورية.
- حسن، أحمد. 2005. تحسين الصفات الكمية. الدار العربية للنشر، ص: 251.
- زايد، عبد الوهاب، وهبوز. هـ.ج، وبورسيد. أ، ونيكولاس.ف. 2003. معجم مصطلحات التقنية الحيوية في مجال الأغذية والزراعة، مطبوعات جامعة الإمارات العربية المتحدة.
- صبوح ، محمود. 2006. آفاق نجاح استثمار التقانات الحيوية في تطوير إنتاج محاصيل الحبوب وأهمية التعاون العربي في الإستخدام الرشيد لهذه التقانات. مؤتمر التنمية الزراعية المستدامة والأمن الغذائي. أسبوع العلم 46 . كلية الزراعة، جامعة تشرين، 27-30 تشرين الثاني 2006، ص: 327-329.
- علي ديب، طارق، وفاتن سوسي. 2002. دراسة تطور إنتاج القمح في القطر العربي السوري. مجلة اتحاد الجامعات العربية للدراسات والبحوث الزراعية، عين شمس القاهرة، المجلد 10(1): 1-19.
- علي، أحمد عمر، وأيمن الشحادة العودة، ومحمود صبوح. 2008. تأثير الإجهاد المائي في بعض صفات القمح ومحتوى الحبوب من البروتين. مجلة جامعة دمشق للعلوم الزراعية، 24(1): 219-236.
- متوج، جهان. 2007. الريح الوراثي في الصفات الشكلية والفيزيولوجية لتحمل الجفاف في القمح القاسي. رسالة دكتوراه، كلية الزراعة، جامعة حلب، الجمهورية العربية السورية.

- مصطفى، علا. 2004. دراسة علاقة الصفات المورفولوجية والفيزيولوجية بالقدرية الإنتاجية الكامنة في القمح القاسي. رسالة ماجستير، كلية الزراعة، جامعة دمشق، الجمهورية العربية السورية.
- معلا، محمد يحيى، نزار حربا. 2005. تربية المحاصيل الحقلية، مديرية الكتب والمطبوعات الجامعية، جامعة تشرين، اللاذقية، الجمهورية العربية السورية.
- مير علي، نزار. 2006. دور المؤشرات الجزيئية في التنمية المستدامة. مؤتمر التنمية الزراعية المستدامة والأمن الغذائي. أسبوع العلم 46، كلية الزراعة، جامعة تشرين، 27-30 تشرين الثاني 2006. ص: 321-322.

10. 2 . المراجع الأجنبية:

- Abbad H., S. ELJaafari, J. BORT, and J.L. Araus. 2004. Comparison of flag leaf and ear photosynthesis with biomass and grain yield of durum wheat under various water conditions and genotypes. *Agronomy for Sustainable Development*. *Agronomie*, **24**:19-28.
- Acevedo, E. 1991. Improvement of winter cereal crops in Mediterranean. Environment. Use of yield, morphological and physiological trait. In: INRA, Paris (Ed), *Physiology breeding of winter cereals for stressed Mediterranean. Environment*. pp:273-304.
- Acevedo, E., P. Silver, H.Silver, and B.Solar. 2000. Wheat production in Mediterranean environments. in: *Wheat Ecology and Physiology of Yield Determination*, Satorre,E.h and G.A.Slafer (eds) . Food Products Press, An Imprint of the Haworth Press, Inc. New York. London, Oxford, pp. 296-331.
- Aesawy, A.M. 2000. Periodicity and prediction of annual surface air temperature over eastern Mediterranean. *Bulgaria Journal of Meteorology and Hydrology*, **11**(1-2): 36-54.
- Al-Shaladeh, G., and M.A. Duwayri. 1986. Inheritance of morphophysiological characters and grain yield in durum wheat crosses. *Rachis*, **5**(1): 37-41.
- Altinkut, A., K. Kazan, Z. Ipekci, and N. Gozukirmizi. 2001. Tolerance to paraquat is correlated with the traits associated with water stress tolerance in segregating F2 populations of barley and wheat. *Euphytica*, **121**:81-86.
- Amani, I., R.A. Fisher and M.P. Reynolds. 1996. Canopy temperature depression association with yield of irrigated spring wheat cultivars in a hot climate. *Journal of Agronomy and Crop Science*, **176**(2): 119-129.
- Annicchiarico, P., and L. Pecetti. 1995. Morpho-physiological traits to complement grain yield selection under semi- arid Mediterranean conditions in each of the durum wheat types Mediterranean typicum and syriacum. *Euphytica*, **86**: 191-198.
- Annicchiarico, P., and L. Pecetti. 1998. Yield vs. morphophysiological trait-based criteria for selection of durum wheat in a semi-arid Mediterranean region (northern Syria). *Field Crop Res*, **59**(3):163-173.
- Annicchiarico, P., L. and Pecetti. 1993. Contribution of some agronomic traits to durum wheat performance in a dry Mediterranean region of Northern Syria. *Agronomie* **13**: 25- 34.
- Araus, J., J. Bort, P. Steduto, D.Villegas, and C. Royo. 2003. Breeding cereals for Mediterranean conditions: Ecophysiological clues for biotechnology application. *Annals of Applied Biology*, **142**(2): 129-141.
- Araus, J.L. 1996. Integrative physiological criteria associated with yield potential. In: Reynolds MP, Rajaram S, McNab A, eds. *Increasing yield potential in wheat: breaking the barriers*. Mexico DF: CIMMYT, 150–167.
- Araus, J.L. 2004 . The problems of sustainable water use in the Mediterranean and research requirements for agriculture. *Ann. Appl. Biol.*, **144**: 259–272.
- Araus, J.L., G. A. Slafer, M.P. Reynolds, and C. Royo. 2002. Plant Breeding and Drought in C3 Cereals: What Should We Breed For? *Annals of Botany*, **89**: 925-940.
- Araus, J.L., T. Amaro, Y. Zuhair, and M.M. Nachit. 1997. Effect of leaf structure and water status on carbon isotope discrimination in field grown durum wheat. *Plant Cell Environ*, **20**:1484-1494.

- Austin, R.B. 1992. Can we improve on nature? Abstracts of the international crop science congeess, Ames, Iowa. (Eds.) D. M. Paulsen, and R, Wilson. Crop Science Society of America: Madison, WI.
- Ayad, W. G., Hodgkin, T., Jaradat, A., and V. R. Rao, 1997. Molecular genetic techniques for plant genetic resources. Report for an IPGRI workshop 9-11 October 1995, IPGRI, Rome, Italy, PP 11-12
- Ayeneh, A., M. Van Ginkel, M.P. Reynolds, and K. Ammar. 2002. Comparison of leaf, spike, peduncle and canopy temperature depression in wheat under heat stress. *Field Crops Research*, 79 (2-3):173-184.
- Bahar,B., M. Mehmet-Yildirim , and C. Barutcular. 2009. Relationships between stomatal conductance and yield components in spring durum wheat under Mediterranean Conditions. *Not. Bot. Hort. Agrobot. Cluj.*, 37 (2):45-48.
- Bansal, K.C., and S.K. Sinha. 1991. Assessment of drought resistance in 20 accessions of *Triticum aestivum* and related species I. Total dry matter and grain yield stability. *Euphytica* , 56: 7-14.
- Barnes, J.D., and J. Cardoso-Vilhena. 1996. Interactions between electromagnetic radiation and the plant cuticle. *Plant Cuticles*, 157-174.
- Beavis, W.D., and P. Keim.1996. Identification of quantitative trait loci that are affected by environment. In: Kang, M.S., Gauch, H.G. (Eds.), *Genotypeby-Environment Interaction*. CRC Press, Boca Raton, FL, pp. 123-149.
- Beharav, A., A. Cahaner and M. J. Pinthus. 1998. Genetic correlations between calm length, grain yield and seedling elongation within tall (rht1) and semi-dwarf (Rth1) spring wheat (*Triticum aestivum* L.). *Eur. J. Agron.*, 9: 35-40.
- Belaid, A. 2000. Durum wheat in WANA: production, trade, and gains from technological change. *Durum wheat improvement in the Mediterranean region: New challenges*. CIHEAM, IRTA, CIMMYT, ICARDA. pp. 35-49.
- Benbelkacem,A., L.Brinis, M.M.Nachit. 1998. Yield stability and physiological traits of Algerian durum wheat in dryland Algeria. *Germplasm development and breeding international wheat genetic symposium*, 2: 153-154.
- Bennet, S.I., N. Saidi, and D. Enneking. 1998. Modeling climatic similarities in Mediterranean areas: a potential tool for plant genetic resources and breeding programmers. *Agriculture Ecosystem Environment*,70:129-143.
- Bennett M.D, and J.B. Smith. 1976. Nuclear DNA amounts in Angiosperms. *Phil. Trans. Roy. Soc. Lond. B*, 274: 227-274.
- Blum, A. 1983. Genetic and physiological relationships in plant breeding for drought resistance. *Agric. Water. Manage.*, 7:195-205.
- Blum, A. 1988. *Plant Breeding for Stress environments*. CRC Press, Florida. p 212.
- Blum, A. 1997. Crop responses to drought and the interpretation of adaptation. *Plant Growth Regul.*, 20:135-148.
- Blum, A. 1998. Improving wheat grain filling under stress by stem reserve mobilization. *Euphytica*, 100(1-3): 77-83.
- Blum, A., and Y. Pnuel. 1990. Physiological attributes associated with drought resistance of wheat cultivars in a Mediterranean environment. *Aust. J. Agric. Res.*, 41: 799- 810.
- Botstein, D., R.L. White, M. Skolnick, and R. Davis. 1980. Consturction of a genetic linkage map in man using restriction fragment polymorphisms. *Am. J. Hum. Genet.*, 32: 314-331.
- Botwright, T. L., A. G. Condon, G. J. Rebetzke and R. A. Richards. 2002. Field evaluation of early vigour for genetic improvement of grain yield in wheat. *Australian Journal of Agricultural Research*, 53(10) 1137 – 1145.

- Boyer, J. S. 1982. Plant Productivity and Environment, Science, 218: 443-448.
- Bradbury, P.J., Z. Zhang, D.E. Kroon, T.M. Casstevens, Y. Ramdoss, and E. S Buckle. 2007. TASSEL: Software for association mapping of complex trait in diverse samples. Bioinformatics, 23: 2633-2635.
- Breseghele, F. and M. E. Sorrells. 2005. Association mapping of kernel size and milling quality in wheat (*Triticum aestivum* L.) cultivars. Genetics, DOI 10.1534/genetics.105.044586.
- Bressan, R.A., D.E. Nelson, N.M. Iraki, P.C.Larson, N.K. Sing, P.M. Hasegawa, and N.C. Carpita. 1990. Reduced cell expansion in cell wall of plant cell adapted to NaCl, environmental injury to plants (F. Katterman ed.), Academic, San Diego, p. 137.
- Briggs, K.G., and A. Aytenfisu. 1980. Relationship between morphological characters above the flag leaf node and grain yield in spring wheat. Crop Sci, 20: 350-354.
- Brinis, L., M. M. Nachit, P. Monneveux. 1998. Studies on drought tolerance in durum and Genotype-Environment interaction. P.117-120 In: M. M. Nachit et al., 1995. SEWANA (South Europe, West Asia and North Africa) Durum Research Network. Aleppo, Syria, 20-33 March. ICARDA.
- Buckley T.N. 2006. The control of stomata by water balance. New Phytologist, 168: 275-292.
- Burke, J.J., J.R. Mahan, and J.L Hatfield. 1988. Crop-specific thermal kinetic windows in relation to wheat and cotton biomass production. Agronomy Journal, 80:553-556.
- Cattivelli, L., F. Rizza, , F.W. Badeck, E. Mazzucotelli, A.M. Mastrangelo, E. Francia, C .Mare, A. Tondelli, and A. M. Stanca 2008. Drought tolerance improvement in crop plants: An integrated view from breeding to genomics. Field Crops Research, 105: 1-14.
- Ceccarelli, S., S. Grando, M. Baum, and S.M. Udupa. 2004. Breeding for drought resistance in a changing climate. pp 167-190. In S.C. Rao and J. Ryan (ed.) 2004. Challenges and Strategies for Dryland Agriculture. CSSA Spec. Publ. 32. ASA and CSSA, Madison, WI.
- Cedola, M. C., A. Iannucci, G. Scalfati, M. Soprano, and A. Rascio, 1994. Leaf morpho-physiological parameters as screening techniques for drought stress tolerance in *Triticum durum* Desf. J. Genet. Breed, 48: 229-236.
- Chmiel Ewski F., and W. Kohn. 2000. Effect of weather on yield components of winter rye over 30 years, Agriculture Forest Meteorology, 102: 253-261.
- Chowdhry, M.A., I. Rosool, I. Khaliq, T. Mahmood, and M.M.Gilani. 1999. Genetics of some metric trait in spring wheat under normal and drought environment. Rachis, 18 (1):34-39.
- Condon, A. G., R. A. Richards, G. J. Rebetzke and G. D. Farquhar. 2004. Breeding for high water-use efficiency. J. Exp. Bot., 55: 2447-2460
- De Pauw, E., Oberle, A. Zoebisch, M. 2004 - Land cover and landuse in Syria-an overview. AIT, ICARDA and WASWC, Thailand, ISBN: 974-92678-8-5.
- Diab, A.A., N.Z. Ozturk, D. Benscher, M.M. Nachit, and M.E. Sorrells. 2008. Drought-Inducible Genes and Differentially Expressed Sequence Tags Associated with Components of Drought Tolerance in Durum Wheat. Scientific Research and Essay, 3: 9-26.
- Dib, C., C.Fizames, D.Samson, N. Drouot, and A.Vignal. 1996. A comprehensive genetic map of the human genome based on 5,264 microsatellites. Nature 380:152-154.

- Duggan B.L., D.G. Domitruk, and D.B. Fowler. 2000. Yield component variation in winter wheat grown under drought stress. *CAN. Journal Plant Science*, 80: 739-745.
- Duggan, B. L., R.A. Richards, A.F. van Herwaarden, and N.A. Fettell. 2005. Agronomic evaluation of a tiller inhibition gene (*tin*) in wheat. I. Effect on yield, yield components, and grain protein. *Australian Journal of Agricultural Research*, 56(2): 169-178.
- Dura, S. 2009. Identification of molecular markers linked to drought tolerance in durum wheat (*Triticum turgidum* var. *durum*). PhD Thesis University of Jordan.
- Duwayri, M. 1984. Effect of flag leaf and awns removal on grain yield and yield component of wheat grown under dry land condition, *Field Crops research*, 8(4): 307-313.
- Duwayri, M. Polle, E. and Kozak, C.F. 1984. Screening of Wheat Genotypes for Drought Tolerance. *Agronomy Abstract*, p. 10.
- Duwayri, M., and M.M. Nachit. 1989. Utilization of durum wheat (*Triticum turgidum* L. var. *durum*). Landraces to improve yield and yield stability in dry areas. *Wheat Information Service*, 69: 5-8.
- Edmeades, G.O., J. Bolanos, H.R. Lafitte, S. Rajaram, W. Pfeiffer, and R.A. Fisher. 1989. Traditional approaches to breeding for drought resistance in cereals. p. 27-52. In F.W.G. Baker (ed.) *Drought resistance in cereals*. ICSU Press and CAB Int., Wallingford, UK.
- Ehdaie B., and V.G. Waines. 1988. Yield potential and stress susceptibility of durum landraces in nonstress and stress environment. *Proc. Of the 7th international wheat genetics Symposium*. Cambridge. England. pp. 811-815.
- Ehdaie, B. and J.G. Waines. 1996. Genetic variation for contribution of photosynthesis to grain yield in spring wheat. *J. Genet. & Breed*, 50: 47-56.
- El Hafid, R., H. Smith, M. Karrou and K. Samir. 1998. Morphological attributes association with early season drought tolerance in spring durum wheat in Mediterranean environments. *Euphytica*, 101: 273-282.
- Elhani S., V. Martos, Y. Rharrabti, C. Royo, and L.F. Garcia Delmoral. 2007. Contribution of main stem and tillers to durum wheat (*Triticum turgidum* L. var. *durum*) grain yield and its components grown in Mediterranean environments. *Field Crops Research*, 103(1): 25- 35.
- Elouafi, I. and M. M. Nachit. 2004. A genetic linkage map of the Durum \times Triticum dicoccoides backcross population based on SSRs and AFLP markers, and QTL analysis for milling traits. *TAG Theoretical and Applied Genetics*, 108 (3): 401-413.
- Evans, L.T., J. Bingham, P. Jackson, and J. Sutherland. 1972. Effect of awns and drought on the supply of photosynthates and its distribution within wheat ears. *Ann. Appl. Biol.*, 70: 67-76.
- Federer, W.T. 1956. Augmented designs. In: *Hawaiian planters, Record*, 55: 191-208.
- Feldman M., and E. Sears. 1981. The wild genes resources of wheat. *Sci. Annu*, 244: 98-109.
- Fernandez, G.C.J. 1992. Effective selection criteria for assessing plant stress tolerance. In: *Proceeding of Symposium*. Taiwan, 13-16 Aug. Chapter 25:257-270.
- Fischer R.A., D. Rees, K.D. Sayre, Z.M. Lu, A.G. Condon, and A. Larque-Saavedra. 1998. Wheat yield progress associated with higher stomatal conductance and photosynthetic rate, and cooler canopies. *Crop Science*, 38(6):1467-1475.

- Fischer, R.A. 1973. The effect of water stress at various stages of development on yield processes in wheat. In: Proceedings of the Uppsala Symposium, UNESCO edition, pp. 233–341.
- Fischer, R.A. and R. Maurer. 1978. Drought resistance in spring wheat cultivars. I. Grain yield responses. *Australian Journal Agriculture Research*. 29: 897-912.
- Forapani S., A. Carboni, E. Castellani, G. Mandolino, and P. Ranalli. 1999. RAPD markers for potato germplasm characterization. *J. Genet & Breed*, 53: 143-147.
- Foulkes, M.J. 2002. The ability of wheat cultivars to withstand drought in UK conditions: formation of grain yield. *J Agric Sci*, 38: 153-169.
- Frederick, J.R, and P.J.Bauer. 2000. Physiological and numerical components of wheat yield. in: *Wheat Ecology and Physiology of Yield Determination*, Satorre, E.h and G.A. Slafer (eds). Food Products Press, An Imprint of the Haworth Press, Inc. New York. London, Oxford pp. 45-65.
- Frederick, J.R. and J.J. Camberato. 1995. Leaf net CO₂- exchange rate and associated leaf traits of winter wheat grown with various spring nitrogen fertilization rates. *Crop. Sci.*, 34:432-439.
- Fukai, S., and H. Cooper. 1995. Development of drought resistant cultivars using physiomorphological traits in rice. *Field Crops Research*, 10: 67-86.
- Gadaleta, A., R. Simeone, G. Mangini, A. Giancaspro, S. Giove, S. Zacheo, A. Signorile, V. De Santis, and A. Blanco. 2007 . A durum wheat intervarietal Genetic And Physical Map Based On SSR And Trap Markers. Proceedings of the 51st Italian Society of Agricultural Genetics Annual Congress Riva del Garda, Italy – 23/26 September, 2007. ISBN 978-88-900622-7-8, Poster Abstract – D.18.
- Garcia Del Moral L.F., Y. Rharrabti, S. Elhani, V. marto, and C. Royo. 2005. Yield formation in Mediterranean durum wheat under two contrasting water regimes based on path –coefficient analysis. *Euphytica*,
- Garcia Del Moral L.F., Y. Rharrabti, D.Villegas, and C. Royo. 2003. Evaluation of grain yield and its components in durum wheat under Mediterranean Conditions An Ontogenic Approach. *Agronomy Journal*, 95: 266-274.
- García del Moral, L.F., J.M. Ramos, M.B. García Del Moral, and P. Jimenez-Tejada. 1991. Ontogenetic approach to grain production in spring barley based on path-coefficient analysis. *Crop Sci.*, 31:1179–1185
- Gill, B.S., R. Appels, and A.M. Botha- Oberholster. 2004. Workshop report on wheat genome sequencing: International genome research on wheat consortium. *Genetics*, 168(2): 1087-1096.
- Giunta, F., R. Motzo, and M. Deidda. 1993. Effect of drought on yield and yield components of durum wheat and triticale in a Mediterranean environment. *Field Crops Res.* 33:399–409.
- Golabadi, M., A. Arzani and S. A. M. Mirmohammadi-Maibody. 2006. Assessment of drought tolerance in segregating populations in durum wheat. *African Journal of Agricultural Research*, 1(5): 162-171.
- Gonzalez , A., I. Martin, and L. Ayerbe. 1999. Barley yield in water stress condition. The influence of precocity, osmotic adjustment and stomatal conductance. *Field Crops Research*, 62: 23-34.
- Gupta, P. K., S. Rustgi, and P. L. Kulwal. 2005. Linkage disequilibrium and association studies in higher plants: Present status and future prospects. *Plant Mol. Biol.*, 57: 461–485
- Gupta, P.K., and R.K. Varshney. 1999. Molecular Markers for Genetic Fidelity during Micropropagation and Germplasm Conservation, *Curr. Sci.*, 76: 1308-1310.

- Gutiérrez-Rodríguez, M., M.P.Reynolds, J.A. Escalante-Estrada, and M.T. Rodríguez-González. 2004. Association between canopy reflectance indices and yield and physiological traits in bread wheat under drought and well-irrigated conditions. *Australian Journal of Agricultural Research*, 55(11):1139-1147.
- Guttieri, M.J., J.C. Stark, K. Brien, and E. Souza .2001. Relative sensitivity of spring wheat grain yield and quality parameters to moisture deficit. *Crop Sci.*, 41: 327-335.
- Hall, A.E. 1993. Is dehydration tolerance relevant to genotypic differences in leaf senescence and crop adaptation to dry environments? In: T.J. Close and Bray, E.A., (Eds.), *Plant responses to cellular dehydration during environmental stress*. pp.1-10.
- Hanocq, E., M. Niarquin, E. Heumez, M. Rousset and J. Le Gouis. 2004. Detection and mapping of QTL for earliness components in a bread wheat recombinant inbred lines population. *Theor. Appl.Genet*, 110: 106–115.
- Hanocq, E., A. Laperche, O. Jaminon, A. L. Lainé and J. Le Gouis. 2006. Most significant genome regions involved in the control of earliness traits in bread wheat, as revealed by QTL meta-analysis. *Theor.Appl.Genet*, 114: 569–584.
- Higuchi, R., C.H. Von Berolding, G.F. Sensabaugh, and H.A. Erlich. 1998. DNA typing from single hairs, *Nature*, 332:543-546.
- Hongbo S., C. Li-Ye, W. Gang ,Z. Jin-Heng , L. Zhao-Hua and H. Ya-Chen. 2007. Changes of some anti-oxidative physiological indices under soil water deficits among 10 wheat (*Triticum aestivum L.*) genotypes at tillering stage. *Colloids and Surfaces B: Biointerfaces*, 54(2): 143-149.
- Hongbo S., L. Zongsuo, S. Mingan, S. Shimeng, H. Zanmin. 2005. Investigation on dynamic changes of photosynthetic characteristics of 10 wheat (*Triticum aestivum L.*) genotypes during two vegetative-growth stages at water deficits. *Colloids Surf B Biointerfaces*, 43(3-4): 221-227.
- http://www.fas.usda.gov/pecad/highlights/2005/07/durum2005/turkeysyria_durum.jpg
- ICARDA. 2003. Durum wheat germplasm improvement for increased productivity, yield stability, and grain quality in West Asia and North Africa. Annual Report. 18-20.
- ICARDA. 2004. Durum germplasm improvement for increased productivity, yield stability, and grain quality in CWANA. Annual Report for 2004-ICARDA. ISSN: 0254-8313, 15-16.
- Jarvis, P.G. 1976. Interpretation of variations in leaf water potential and stomatal conductance found in canopies in field. *Phylosophical Transactions of the Royal Society of London Series B-Biological Sciences*, 273: 593-610.
- Jiang, Q., D. Roche, T.A. Monaco, D. Hole. 2006. Stomatal conductance is a key parameter to assess limitations to photosynthesis and growth potential in barley genotypes. *Plant Biology*, 8 (4): 515-521.
- Jing, H-C, D. Kornukhin, K. Kanyuka, S. Orford, A. Zlatska, O.P. Mitrofanova, R. Koebner, and K. Hammond-Kosack. 2007. Identification of variation in adaptively important traits and genome-wide analysis of trait–marker associations in *Triticum monococcum*. *Journal of Experimental Botany*, 58(13): 3749–3764.
- Jones, H.G. 1998. Stomatal control of photosynthesis and transpiration. *J. Exp. Bot.*, 49, 387:398.
- Jones, H.G. 1999. Use of thermography for quantitative studies of spatial and temporal variation of stomatal conductance over leaf surfaces. *Plant, Cell and Environment*, 22: 1043–1055.

- Jones, H.G., and R.A. Sutherland . 1991. Stomatal control of xylem embolism. *Plant, Cell and Environment*, 6: 607–12.
- Kashif, M. and T. Khaliq. 2003. Determination of general and specific combining ability effects in a diallel cross in spring wheat. *Pakistan Journal of Biological Sciences*, 6 (18): 1616- 1620.
- Kashif, M., and I. Khaliq. 2003. Determination of general and specific combining ability effects in a diallel cross of spring wheat. *Pak. J. Biol. Sci.*, 6: 1616-1620.
- Kastori, R.R., S.S. Dencic, and M.J. Petroric. 1999. Effect of water stress on two wheat cultivars with different levels of drought resistance. *Natural Science*, 96:61-71.
- Katerji A. N, M. B. Mastrorilli, J.W. Van Hoornc, F.Z. Lahmerd, A. Hamdyd, and T. Oweise . 2009. Durum wheat and barley productivity in saline–drought environments. *European Journal of Agronomy*, 31(1): 1-9.
- Karp, A., S. Kresovich, K. V. Bhat, W. G. Ayad, and T. Hodgkin. 1997. Molecular tools in plant genetic resources conservation: a guide to the technologies. 1st ed. IPGRI Technical Bulletin NO. 2. IPGRI, Rome, Italy, Pp. 9-21.
- Kaul, R. 1974. Potential net photosynthesis in flag leaves of severely drought-stressed wheat cultivars and its relationship to grain weight. *Can. J. Plant Sci.*, 53: 811-815.
- Kaya, Y., A. Topal, E. Gonulal, R. Arisoy. 2002. Factor analysis of yield traits in genotypes of durum wheat (*Triticum durum*). *Indian Journal of Agricultural Sciences*, 72 (5):301-303.
- King, R.C. and W.D. Stansfield. 1990. Adictionary of genetics. 4thed.,Oxford University Press, New York- Oxford, p:188.
- Kirby, E.J.M. 1983. Development of the cereal plant. In D.W. Wright (Editor), the yield of cereal. Royal Agriculture Society of England, London, pp. 1-3.
- Kirigwi, F. M., M. Van Ginkel, G. Brown-Guedira, B. S. Gill, G. M. Paulsen, and A. K. Fritz. 2007. Markers associated with a QTL for grain yield in wheat under drought. *Molecular Breeding*, 1380-3743.
- Kleidon A., 2006. Did stomatal conductance adapt optimally to past climatic change?. *Geophysical Research Abstracts*, 8, 05389.
- Lanceras, J.C., G. Pantuwan, B. Jongdee, and T. Toojinda. 2004. Quantitative trait loci associated with drought tolerance at reproductive stage in rice. *Plant Physiol*, 135: 384–399.
- Landes J., and R. Porter. 1989. Comparison of scales used for categorising the development of wheat, barley, rye and oats. *Annals of Applied Biology*, 115(2): 343-360.
- Langridge, P., E. S. Lagudah, T. A. Holton, R.Appels, P. J. Sharp, and K. J. Chalmers, Trends in genetic and genome analyses in wheat: a review. *Aust. J. Agric. Res.*, 52: 1043–1077.
- Langridge, P. 2005. Molecular breeding of wheat and barley. In: Tuberosa R, Phillips RL, Gale M (eds) Proceedings of the international congress in the wake of the double helix: from the green revolution to the gene revolution. Avenue Media, Bologna, Italy, 27–31 May 2003, pp 279–286.
- Lanning, S.P., G.R., Carlson, D. Nash, D.M. Wichman, K.D. Kephart, R,N. Stougaard, G.D. Kushnak, J.L. Eckhog, W.E.Grey, and L.E. Talbret. 2004. Registration of Choteau wheat. *Crop Science*, 44:2264-2265.
- Larsson, S., and A. G. Gorny, 1988. Grain yield and drought resistance indices of oat cultivars in field rain shelter and laboratory experiments. *J. Agron. Crop Sci.*, 161: 277-286.

- Lawlor, D.W., and G. Cornic. 2002. Photosynthetic carbon assimilation and associated metabolism in relation to water deficits in higher plants. *Plant Cell Environ*, 25:275-294.
- Lazar, M. D., C. D. Salisbury, and W. D. Worrall. 1995. Variation in drought susceptibility among closely related wheat lines. *Field Crops Res*, 41: 147-153.
- Liang, Z., F. Zhang, M. Shao, and J. Zhang. 2002. The relations of stomatal conductance, water consumption, growth rate to leaf water potential during soil drying and rewetting cycle of wheat (*Triticum aestivum*). *Bot. Bull. Acad. Sin.*, 43: 187-192.
- Litt, M. and J.A. Luty. 1989. A Hypervariable Microsatellite Revealed by In Vitro Amplification of a Dinucleotide Repeat within the Cardiac Muscle Action Gene, *Am. J. Hum. Genet.*, 44, 397-401.
- Liu, Z.W., R.M. Biyahev, and M.A. Saghai Maroof. 1996. Development of simple sequence DNA markers and their integration into a barley linkage map. *Theor Appl Genet*, 93: 869-876.
- Loboda, T. 2000. Gas exchange of spring barley and wheat grown under mild water shortage. *Photosynthetic*, 38(3): 429-432.
- Lopez-Castaneda, C., R.A. Richards, G.D. Farquhar and R.E. Williamson. 1996. Seed and seedling characteristics contributing to variation in early vigor among temperate cereals. *Crop Science*, 36:1257-1266
- Loss, S.P. and K.H.M. Siddique. 1994. Morphological and physiological traits associated with wheat yield increases in Mediterranean environments. *Adv. Agronomy.*, 52: 229–276.
- Lu, Z.M., R.G. Percy, C.O. Qualset, E. Zeiger, A. Hetherington. And B.Davies. 1998. Stomatal conductance predicts yields in irrigated Pima cotton and bread wheat grown at high temperatures. *J. Exp. Bot.*, 49:453- 460.
- Luquet, D., A. Begue , A. Vidal , J. Dauzat and P. Clouvel. 2003. 3D Simulation of Directional Temperature Variability Within a Row-Cotton Crop: Toward an Improvement of Experimental Crop Water Status Monitoring Using Thermal Infrared. *Precision Agriculture*, 4 (3): 297-309.
- Ma, Z., D. Zhao, C. Zhang, Z. Zhang, and S. Xue. 2007. Molecular genetic analysis of five spike-related traits in wheat using RIL and immortalized F2 populations. *Mol. Genet. Genomics*, 277: 31–42.
- Maccaferri, M. Sanguineti, M.C. Corneti, S. Ortega, J.L.A. Ben Salem, M. Bort, J. DeAmbrogio, E. del Moral, L.F.G. Demontis, A. El-Ahmed, A. Maalouf, F. Machlab, H. Martos, V. Moragues, M. Motawaj, J. Nachit, M. Nserallah, N. Ouabbou, H. Royo, C. Slama, A. and R.Tuberosa. 2008. Quantitative Trait Loci for Grain Yield and Adaptation of Durum Wheat (*Triticum durum Desf.*) Across A Wide Range of Water Availability, *Genetics*, 178: 489–511.
- Maccaferri, M., M. C. Sanguineti, E. Noli, and R.Tuberosa. 2005. Population structure and long-range linkage disequilibrium in a *durum wheat* elite collection. *Mol. Breed.*, 15: 271–289.
- Mackey, J. 2005. Wheat: its concept, evolution, and taxonomy. in: *Durum wheat breeding. current approaches and future strategies*. eds.: Royo,C.; Nachit, M.M.; Di Fonzo, N.; Araus, J.L.; Pfeiffer, W.H.; Slafer, G. Vol.1:3-61. Haworth Press, NY, USA.
- Mahan, J.R., and D.R. Upchurch. 1988. Maintenance of constant leaf temperature by plants. 1. Hypothesis of limited homeothermy. *Environ Exp Bot.*, 28:351–357.

- Maleki, A., F. Babaei, H.C.Amin, J. Ahmadi and A.A. Dizaji .2008. The study of seed yield stability and drought tolerance indices of bread wheat genotypes under irrigated and non-irrigated conditions. *Research Journal of Biological Sciences*, 3 (8): 841-844.
- Mangini, G., A. Calandro, P. Rubino, A. Gadaleta, A. Signorile, and A. Blanco. 2005. Yield components and adaptive traits in a sergeant population of wheat under drought conditions. *Proceedings of the XLIX Italian Society of Agricultural Genetics Annual Congress Potenza, Italy – 12/15 September, 2005* ISBN 88-900622-6-6. Poster Abstract – C.08
- Mardeha, S.S., A. Ahmadib, K. Poustinib and V. Mohammadi. 2006. Evaluation of drought resistance indices under various environmental conditions. *Field Crops Research*, 98: 222-229.
- Market, C.L., F. and Moller. 1959. Chemical and Biochemical Techniques for Varietals Identification, *Seed Sci. Technol.*, 1: 181-199.
- Martyniak, L., 2008. Response of spring cereals to a deficit of atmospheric precipitation in the particular stages of plant growth and development. *Agric. Water. Manage.* 95: 171–17.
- Maruckun, L.I.U., J.I.A. Shuzhen, and J.I.N. Xiuling. 1995. Evalution for high – yielding and water saving wheat genotypes. *Scientia Agriculture Sinica*. [ch, 14 ref] Institutue of cereal and oil shijazhuang 050031. China. 28 (6): 32-39.
- Matin, M.A., J.H. Brown, and H. Frerguson. 1989. Leaf water potential, relative water content, and diffusive resistance as screening techniques for drought resistance in barley. *Agronomy Journal*, 81: 100-105.
- Melchinger, A.E 1990. Use of molecular markers in breeding for oligogenic disease resistance. *Plant Breeding*, 104: 1-19.
- Meraha, O. 2001. Potential importance of water-status traits for durum wheat improvement under Mediterranean conditions. *J Agric Sci.*, 137:139–145
- Mifflin, B. 2000. Technologies for crop improvement in the 21st. century. Durum wheat improvement in the Mediterranean region: New challenges. CIHEAM, IRTA, CIMMYT, ICARDA. pp. 19-25.
- Mitra, J. 2001. Genetics and genetic improvement of drought resistance in crop plants. *Curr. Sciences*, 80: 758-762.
- Monneveux P., D. Pekika, E. Acevedo, and O. Merah. 2006. Effect of drought on leaf gas exchange, carbon isotope discrimination, transpiration efficiency and productivity in field grown durum wheat genotypes. *Plant Science*, 170(4): 867-872.
- Monneveux, P. and E. Belhassen. 1996. The diversity of drought adaptation in the wide. *Plant Growth Regular*, 20:85–92.
- Mosaad, M., M. Sing, M.Rustaii, H. Ketata, and S. Rajaram. 2006. Indentification of wheat genotypes adapted to Mediterranean rainfed condition with responsiveness to supplementary irrigation. In Buck, H.T., J.E. Nisi. N. Salomon.(eds), *Wheat production in stressed environments*, 315-320.
- Moragues, M., L.F. Garcia Delmoral, M. Moraljo, and C. Royo, 2006. Yield formation strategies of durum wheat landraces with distinct pattern of dispersal within the Mediterranean basin I: Yield components, *Field Crops Research*, 95: 194- 205.
- Morgan, J.M. and A.G. Condon. 1986. Water use grain yield, and osmoregulation in wheat. *Australian Journal of Plant Physiology*, 13:523-532.
- Motzo, R., and F. Giunta . 2002. A wnedness affects grain yield and kernel weight in near-isogenic lines of durum wheat. *Aust J Agric Res.*, 53: 1285–1293.

- Mullis, K., S. Faloona, S. Scharf, R. Saiki, G. Horn, and H. Erlich. 1986. Specific enzymatic amplification of DNA in vitro: The polymerase chain reaction. Cold Spring Harbor Symp. Quant. Biol., 51:263-273
- Nachit M.M., and M. Jarrah. 1982. Association of some morphological characters to grain yield in durum wheat under Mediterranean dryland conditions. *Rachis*, 5(2): 33-34.
- Nachit M.M., M.E. Sorrells, R.W. Zobel, H.G. Gauch, R.A. Fisher, and W.R. Coffman. 1992a. Association of morpho-physiological traits with grain yield and genotype-environment interaction in durum wheat. I. *Journal Genet. Breed.*, 46: 50-55.
- Nachit M.M., M.E. Sorrells, R.W. Zobel, H.G. Gauch, R.A. Fisher, and W.R. Coffman. 1992b. Association of environmental variables with sites' mean grain yield and components of genotype-environment interaction in durum wheat. II. *J. Genet. & Breed.* 46: 369-372
- Nachit, M.M. 1992. Durum wheat breeding for Mediterranean dryland of North Africa and West Asia. Paper presented at durum wheat workshop "discussion on durum wheat: challenges and opportunity", CIMMYT, Ciudad Obregon (Mexico), 23-25 March 1992, 14-27.
- Nachit, M.M. 1998a. Association of grain yield in dryland and carbon isotope discrimination with molecular markers in durum (*Triticum turgidum* L. var *durum*). p.218-223. in Proc. 9th Int. wheat Genetics Symp., Saskatoon, SK, Canada.
- Nachit, M.M. 1998b. Durum breeding research to improve dryland productivity in the Mediterranean region. In 'SEWANA (South Europe, West Asia and North Africa) Durum Research Network', Proceedings of the SEWANA Durum Network Workshop, 20-23 Mar 1995, Aleppo, Syria. (Ed. Nachit MM, Baum M, Porceddu E, Monneveux P and Picard E.) pp 1-15. ICARDA, Aleppo, Syria.
- Nachit, M.M. 2006. Durum wheat status worldwide. Acevedo, E., and Silva, P.(ed). *Trigo candeal, Mercado y zonas de cultivo*. November 21. 2007. Universidad de Chile. 175-177.
- Nachit, M.M. and I. Eloufi. 2004. Durum wheat adaptation in the Mediterranean dryland: Breeding, stress physiology, and Molecular markers. *Crop Science Society*, 32: 203-218
- Nachit, M.M., and H. Ketata. 1989. Select of morpho-physiological trait for multiple abiotic stresses resistance in durum wheat (*Triticum Turgidum* L. Var. *dueum*) Physiology breeding of winter cereals for stressed Mediterranean environments Montpellier, France. 3-6 August.
- Nachit, M.M., P. Monneveux, J.L. Araus, and ME. Sorreles. 2000. Relationship of dry land productivity with some molecular markers for possible MAS in Durum (*Triticum turgidum* L. var. *durum*). Durum wheat improvement in the Mediterranean region: New 2000. challenges. CIHEAM, IRTA, CIMMYT, ICARDA. 203-206.
- Nachit, M.M., M. Baum, A. Impiglia, and H. Ketata. 1995. Studies on some grain quality traits in durum wheat grown in Mediterranean environments. In durum wheat quality in the Mediterranean region. ICARDA., CIHEAM., CIMMYT. pp. 181-188.
- Nogues, S. and N.R. Baker .2000. Effects of drought on photosynthesis in Mediteranean plans grown under enhanced UV-B radiation. *J of Experimental Botany*, 51:1309-1317.

- Okuyama, L.A., L.C. Federizzi, and J.F.B. Neto, J.F.B. 2005. Plant traits to complement selection based on yield components in wheat. *Ciencia Rural*, Santa Maria., 35: 1010-1018.
- Okuyama, L.A., L.C. Federizzi, and J.F.B. Neto. 2004. Correlation and path analysis of yield and its components and plant traits in wheat. *Ciencia Rural*, 34: 1701-1708.
- Ortiz-Ferrara, G., S.K. Yau, and M. Assad Moussa. 1991. Identification of agronomic traits associated with yield under stress conditions. In: Acevedo, E.; Conesa, A.P.; Monneveux, P. et al. (Eds.). *Physiology breeding of winter cereals for stressed Mediterranean environments*. Paris: INRA. pp. 67-88.
- Ozkan, H., I. Genc, T. Yagbasanlar, and F. Toklu, 1999. Stress tolerance in hexaploid spring triticale under Mediterranean environment. *Plant Breed*, 118: 365—367.
- Pakniyat, H., W. Powell, E. Baird, L.L. Handley, D. Robinson, C.M. Scrimgeour, E. Nevo, C.A. Hackett, P.D.S. Caligari, and B.P. Forster. 1997. AFLP variation in wild barley (*Hordeum spontaneum* C. Koch) with reference to salt tolerance and associated ecogeography. *Genome*, 40: 332-344.
- Pala H., J. Ryana, A. Mazida, O. Abdallaha and M. Nachita. 2004. Wheat farming in Syria: An approach to economic transformation and sustainability. *Renewable Agriculture and Food Systems*.
- Pathak N.N., D.P. Nema, and P. Pillai, 1991. Correlation and path analysis in wheat under high temperature and moisture stress conditions. *Wheat Information Service*., 72: 35-41.
- Peltonen-Sainio, P., and P. Makela. 1995. Comparison of physiological methods to assess drought-tolerance in oats. *Acta Agri Scand.*, 45:32–38
- Peterson, R.G. 1985. Augmented designs for preliminary yield trials (revised). *Rachis*, 4: 27-32.
- Pfeiffer, W.H., K.D. Sayre, and M.P. Reynolds. 2000. Enhancing genetic grain yield potential and yield stability in durum wheat. *Durum wheat improvement in the Mediterranean region: New challenges*. CIHEAM., IRTA., CIMMYT., ICARDA. pp.83-93.
- Piepho, H. P. 2000. A mixture-model approach to mapping quantitative trait loci in barley on the basis of multiple environment data. *Genetics*, 156: 2043-2050.
- Plaschke, J. M.W. Ganal, and M.S. Röder, 1995. Detection of Genetic Diversity in Closely Related Bread Wheat Using Microsatellite Markers, *Theor. Appl. Genet.*, 91, 1001-1007.
- Price, A., and B. Courtois, 1999 Mapping QTLs associated with drought resistance in rice: progress, problems and prospects. *Plant Growth Regul.* 29: 123–133.
- Qing, Z.M., L.G. Jing, and C.R. Kai. 2001. Photosynthesis characteristics in eleven cultivars of sugarcane and their responses to water stress during the elongation stage. *Proc. ISSCT.*, 24:642-643.
- Radin J.W., Lu Z.M., R.G. Percy, and E. Zeiger. 1994. Genetic variation for stomatal conductance in Pima cotton and its relation to improvements of heat adaptation. *Proc. Natl. Acad. Sci. USA*, 91: 7217-7221.
- Rafalski, J.A., and S.V. Tingey. 1993. Genetic diagnostics in plant breeding: RAPDs, microsatellites and machines. *Trends Genetics*, 9(8):275-280.
- Rafalski, J.A., J.M. Vogel, M. Morgante, W. Powell, C. Adra, and S.V. Tingey. 1996. Generating and using DNA markers in plants. *Nonmammalian Genomic Analysis: A practical Guide*, 4:75-134.
- Rajaram S., O. Abdalla, R.S. Malhotra, S. Grando, S. Ceccarelli, M. Nachit, A. Abd El-Moneim, A. Sarker, and M. Mosaad. 2006. Developing drought tolerant and more water-use efficient varieties of cereal and legume crops for dry areas in West

- Asia and North Africa. International Symposium on Dry lands Ecology and Human Security, Dubai, December 4-7.
- Ramirez, P., and J.D. Kelly, 1998. Traits related to drought resistance in common bean. *Euphytica*, 99: 127-136.
- Rampino, P., S. Pataleo, A. Riso, E. Assab, G. Mita, N. Di Fonzo, and C. Perrotta. 2008. Expression Analysis Of Drg1: A drought-related gene in durum wheat. Poster, Bologna, Italy., June 30- July 3, 2008. ed: E. Borosio and E. De Ambrogio.
- Rasmuson, D. C. 1987. An evaluation of ideotype breeding. *Crop Science*, 27:1140-1146.
- Rawson, H.M. 1971. Tillering patterning in wheat with special reference to the shoot at the coleoptiles node. *Aust.J.boil.Sci.*, 24: 829-841.
- Rees, D., K. Sayre, E. Acevedo, T. Bava-Sanchez, Z. Lu, E. Zeiger, and A.Limon. 1993. Canopy temperature of wheat: Relationships with yield and potential as a technique for early generation selection. Wheat special rep. No. 10.(CIMMYT: Mexico, DF).
- Rekika, D., M.M. Nachit, J.L. Araus, and P. Monneveux. 1998. Effects of water deficit on photosynthetic rate and osmotic adjustment in tetraploid wheats. *Photosynthetica*, 35(1): 129-138.
- Reynolds M.O., M. Balota, M.I.B. Delgado, I. Amani and R.A. Fischer. 1994. Physiological and morphological traits associated with spring wheat yield under hot, irrigated conditions. *Australian Journal of Plant Physiology*, 21 (6): 717-730.
- Reynolds M.P., A. Pellegrineschi, and B. skovmand. 2005. Sink-limitation to yield and biomass: a summary of some investigations in spring wheat. *Annals of Applied Biology*, 146 (1): 39 – 49.
- Reynolds M.P., R. Trethowan, M. Van Ginkel, and S. Rajaram.2001. Application of physiology in wheat breeding. In.: Application of physiology in wheat breeding. Eds.: Reynolds, M.P.; Ortiz-Monasterio, J.I, and McNab, A. pp. 2-10.
- Reynolds, M.P., B. Skovmend, R. Trethowan, and W.Pfeiffem. 2000. Evalation a conceptual model for drought tolerance. In J.M. Ribaut, and D. Poland (eds.), Molecular approaches for genetic improvement of cereals for stable production in water limited environment. Mexico D.F.CIMMYT.
- Reynolds, M.P., C.S. Pierre, A. Saad, M.Vargas, and , A. G. Condon. 2007. Evaluation potential genetic gain in wheat association with stress adaptive trait expression in elite genetic resources under drought and heat stress. *Crop Sci.*, 47: 172-189.
- Reynolds, M.P., R.P. Singh, A. Ibrahim, O.A. Ageeb, A. Larqué-Saavedra, , and J.S. Quick, 1998. Evaluating physiological traits to complement empirical selection for wheat in warm environments. *Euphytica*, 100:85-94.
- Rharrabti Y., S. Elhani, V. Martos Nunez, and L.G.F. Garcia DelMoral. 2000. Relationship between some quality traits and yield of durum wheat under southern Spain conditions. Durum wheat improvement in the Mediterranean region: New challenges. CIHEAM., IRTA., CIMMYT., ICARDA.,pp: 529-531.
- Rharrabti Y., S. Elhani, V. Martos Nunez, and L.G.F. Garcia DelMoral.. 2001. Protein and lysine content, grain yield, and other technological traits in durum wheat under Mediterranean Conditions. *J.Agric.Food Chem.*, 49(8): 3802-3807.
- Richards, R. A. 2000. Selectable traits to increase crop photosynthesis and yield of grain crops. *J. Exp. Bot.*, 51: 447- 458.

- Richards, R.A. 1983. Glaucousness in wheat: its effect on yield and related characteristics in dry land environment, and its control by minor genes, in: proceeding of the 6th international wheat genetic symposium, Kyoto, Japan. P:447-451.
- Richards, R.A. 1988. A Tiller inhabitation gene in wheat and its effect on plant growth. *Australian Journal of Agricultural Research*, 39: 749-757.
- Richards, R.A., 1996a. Increasing yield potential in wheat- source and sink limitation. In increasing yield potential in wheat: breaking the Barriers (Eds Reynolds M.P., Rajaram S., McNab A), CIMMYT, Mexico, DF, 134-149.
- Richards, R.A. 1996b. Defining selection criteria to improve yield under drought. *Plant Growth Regulation*, 20: 57-166.
- Richards, R.A. G.J. Rebetzke, A.G. Condon, and A.F. van Herwaarden. 2002. Breeding Opportunities for Increasing the Efficiency of Water Use and Crop Yield in Temperate Cereals. *Crop Science*, 42: 111–121.
- Ritchie, J.T. 1983. Efficient water use in crop production: discussion of the generation of relation between biomass production and evapotranspiration. In: H.M. Taylor, W.R.Jordan and T.R. Sinclair (ed.), *Limitations to efficient water use in crop production*. ASA, CSSSA, SSSA Monograph, 29-44.
- Ritchie, S.W., H.T. Nguyen, and A.S. Holaday. 1990. Leaf water content and gas-exchange parameters of two wheat genotypes differing in drought resistance. *Crop Science*, 30:105-111.
- Roeder, M.S., V. Korzum, K. Wendehake, J. Plaschke, M.H. Tixier, P.Leory, and M.W. Ganal.1998. A microsatellite map in wheat. *Genetics*, 149:2007-2023.
- Roy, J. K., M. S. Lakshmikumaran, H. S. Balyan, and P.K. Gupta. 2004. AFLP-based genetic diversity and its comparison with diversity based on SSRs, SAMPL and phenotypic traits in bread wheat. *Biochem. Genet.*, 42: 43–59.
- Roy, J. K., H. S. Balyan, M. Prasad, and P. K. Gupta. 2002. Use of SAMPL for a study of DNA polymorphism, genetic diversity and possible gene tagging in bread wheat. *Theor. Appl. Genet.*, 104: 465–472.
- Roy, J. K., R. Bandopadhyay, S. Rustgi, H. S. Balyan and P. K. Gupta. 2006. Association analysis of agronomically important traits using SSR, SAMPL and AFLP markers in bread wheat. *Current Science*, 90(5): 683- 689.
- Rosielle, A.A. and J. Hamblin. 1981. Theoretical aspects of selection for yield in stress and non-stress environments. *Crop Science*, 21: 943-946.
- Royo C., A. Michelene, J.M. Carrillo, P. Garcia, J. Juan-Aracil, and C. Soler. 1998. Spanish durum wheat breeding program In: M.M. Nachit, M. Baum, E. Porceddu, P. Monneveux and E. Picard: SEWANA. (South Europe, West Asia and North Africa) Durum Research Network. *Proceedings of the SEWANA Durum Network Workshop*, Syria, 80–87.
- Royo C., A. Ramadani, M. Moragues, and D. Villegas. 2006. Durum wheat under Mediterranean conditions as affected by seed size. *Journal of Agronomy and Crop Science*, 192 (4): 257-266.
- Royo, C., L.F. Garcia Delmoral, N. Aparicio, D. Villegas, J. Casadesus and J.L. Araus. 2000. Tools for improving the efficiency of durum wheat selection under Mediterranean conditions. *Durum wheat improvement in the Mediterranean region: New challenges*. CIHEAM., IRTA., CIMMYT., ICARDA. pp: 63-70.
- Royo, C., N. Aparicio, D.Villegas, J. Casadesus, P. Monneveux, and J.L. Araus, 2003. Usefulness of spectral reflectance indices as durum wheat yield predictors under contrasting Mediterranean environments. *Int. J. Remote Sens.*, 24: 4403-4419.

- Saiki, R.K., D.H. Gelfand, S. Stoffel, S.J. Scharf, R. Higuchi, G.T. Horn, K.B. Mullis, and H.A. Erlich. 1988. Prime- directed enzymatic amplification of DNA with a thermostable DNA polymerase. *Science*, 239:487-491.
- Saiki, R.K., S. Scharf, F. Faloona, K.B. Mullis, G.T. Horn, H.T. Erlich, and N. Arnheim. 1985. Enzymatic Amplification of β -Globin Genomic Sequences and Restriction Site Analysis for Diagnosis of Sickle Cell Anemia, *Science*, 230: 1350-1354.
- Saleem, M. 2003. Response of durum and bread wheat genotypes to drought stress: Biomass and yield component. *Asia Journal of Plant Science*, 2(3): 290-293.
- Satorre, E.H and G.A. Slafer (eds). Food Products Press. An Imprint of the Haworth Press, Inc. New York. London, Oxford pp. 379-415.
- Savin, R., and G.A. Slafer. 1991. Shading effects on the yield of an Argentinian wheat cultivar. *Journal of Agricultural Science*, 116:1-7.
- Sax, K. 1923. The Association of Size Differences with Seed Coat Pattern and Pigmentation in *Phaseolus vulgaris*, *Genetics*, 8: 552-560.
- Schonfeld, M.P., J.C. Richard, B.F. Carver, and N.W. Mornhi. 1988. Water relations in winter wheat as drought resistance indicators. *Crop Sci.*, 28:526-531
- Sedgley, R. H. 1991. An appraisal of the Donald ideotype after 21 years. *Field Crops Res*, 26: 93-112.
- Shakhatreh, Y., O. Kafawin, S. Ceccarelli, and H. Saoub. 2001. Selection of barley lines for drought tolerance in low-rainfall areas. *J.Agron.Crop Sci.*, 186: 119-127.
- Shelaldeh M., M. Duwayri. 1986. Inheritance of morphophysiological characters and grain yield in durum wheat crosses. *Rachis*, 5: 37-42.
- Shimelis H.A., 2006. Associations of yield and yield components among selected durum wheat (*Triticum turgidum L.*). *South African Journal of Plant and Soil.*, 23(4): 305-309.
- Shin, J.S., S. Chao, L. Corpus, and T. Blake. 1990. A partial map of the barley genome incorporating restriction fragment length polymorphism, polymerase chain reaction, Isozyme and morphological marker loci. *Genome*, 33: 803-810.
- Shiri, M., M. Valizadeh and I. Majidi. 2001. The study of crops tolerance indices evaluating. An abstract of the 7th Iranian Conference of Agronomy and Plant Breeding, pp: 440.
- Shpiler, L., and A. Blum. 1991. Heat tolerance to yield and its components in different wheat cultivars. *Euphytica*. 51:257-263.
- Siddique, K.H.M., E.J.M. Kirby, M.W. Perry, D. Kaesehagen, and W.R. Stern. 1989. Variation in spikelet initiation and ear development of old and modern Australian wheat varieties. *Field Crops Research*, 20: 113-128.
- Siddique, K.H.M., R.K. Belford, and D. Tennant. 1990. Shoot ratio of old and modern, tall and semi dwarf wheat in a Mediterranean environment. *Plant Soil.*, 121: 89-98.
- Silva, M.D.A., J.L. Jifon, J.A.G.D.Silva, and V. Sharma. 2007. Use of physiological parameters as fast tools to screen for drought tolerance in sugarcane. *Braz.J.Plant Physiol.*, 19(3):193-201.
- Simane, B., J.M. Peacock, and P.C. Struik. 1993. Differences in developmental plasticity and growth rate among drought-resistant and susceptible cultivars of durum wheat (*Triticum turgidum L. var. durum*). *Plant Soil.*, 157: 155-166.
- Simmonds, J. R., L. J. Fish , M. A. Leverington-Waite , Y. Wang, P. Howell , and J.W. Snape. 2008. Mapping of a gene (Vir) for a non-glaucous, viridescent phenotype in bread wheat derived from *Triticum dicoccoides*, and its association with yield variation. *Euphytica*, 159:333-341.

- Sinclair, T.R., and R. C. Muchow. 2001. System analysis of plant traits to increase Grain Yield on Limited Water Supplies, *Agronomy Journal*, 93:263-270
- Sing G.P, and H.B. Chaudhary. 2006. Selection parameters and yield enhancement of wheat (*Triticum aestivum* L.) under different moisture stress conditions. *Asian Journal of Plant Sciences*, 5(5): 894-898.
- Singh G., and H. Chaudhary. 2006. Selection parameters and yield enhancement of wheat (*Triticum aestivum* L) under different moisture stress condition. *Asian J. Plant Sci.*, 5: 894-898.
- Singh, J., and A.L. Patel. 1996. Water-status, gas exchange, proline accumulation and yield of wheat in response to water deficit. *Ann Biol.*, 12:77–81
- Slafer, G. A., D.F. Galderini, and D.J. Miralles. 1996. Yield components and compensation in wheat: opportunities for further increasing yield potential. In: Reynolds et al., ed. *Increasing Yield Potential in Wheat: breaking the barriers*. Mexico D. F. CIMMYT,
- Slafer, G.A. 1996. Differences in physic development rate among wheat cultivars independent of responses to photoperiod and verbalization. A viewpoint of the intrinsic earliness hypothesis. *Journal of Agricultural Science*, 126: 403-419.
- Slafer, G.A. and J.L. Araus. 1998. Keynote address: Improving wheat responses to abiotic stresses. In *Proceedings of the 9th International Wheat Genetic Symposium*, Vol. 1 (Section 7 Abiotic Stresses- Keynot address), Sasktchewan, 1998, Ed. Slinkard, A.E. pp. 201-213.
- Slafer, G.A., and E.M. Whitechurch. 2001. Manipulatin wheat development to improve adaptation and to search for alternative opportunities to increaselyield potential. In: Reynolds, M.P., Ortiz-monasterrio, J.I., McNab, A.(Eds.), *Application of physiology on Plant Breeding*. CYMMIT.Mexico, DF, pp:160-170
- Slafer,G.A., J.L. Araus, and R.A. Richards. 2000. Physiological traits that increase the yield potential of wheat. in: *Wheat Ecology and Physiology of Yield Determination*, ed E.H. Satorre and G.A. Slafer. Food Products Press, an imprint of The Haworth Press, pp 379-401
- Solomon, K.F., M.T. Labuschagne, and A.T.P. Bennie. 2003. Responses of Ethiopia durum wheat (*Triticum turgidum* var *durum* L.) genotypes to drought stress. *South African Journal of Plant and Soil*, 20(2): 54-58.
- Somers, D. J., P. Isaac, and K. Edwards. 2004. A high-density microsatellite consensus map for bread wheat (*Triticum aestivum* L.). *Theor Appl Genet* , 109: 1105–1114.
- Sourdille, P., S. Singh, T. Cadalen, G.L. Brown-Guedira, G. Gay, L. Qi, B.S. Gill, P. Dufour, A. Murigneux, and M. Bernard. 2004. Microsatellite-based deletion bin system for the establishment of genetic-physical map relationships in wheat (*Triticum aestivum* L.). *Funct. Integr. Genomics* 4: 12-25.
- Spielmeyer, W., J. Hyles, P. Joaquim, F. Azanza, and D. Bonnet. 2007. A QTL on chromosome 6A in bread wheat (*Triticum aestivum*) is associated with longer coleoptiles, greater seedling vigour and final plant height. *Theor. Appl. Genet.*, 115: 59–66.
- Tahara, M., B.F.Carver, R.C. Johnson, and E.L. Smith. 1990. Relationship between relative water-content during reproductive development and winter wheat grain yield. *Euphytica*, 49:255–262
- Tambussi E.A., J. Bort, J.J. Guiamet, S. Nogues, and J.L Araus. 2007. Photosynthetic role of ears in C3 cereals: metabolism, water use efficiency and contribution to grain yield. *Plant Science*, 26: 1-26.

- Tambussi, E.A., J. Casadesus, S. Munne-Bosch, and J.L. Araus. 2002. Photoprotection, in water-stressed plant of durum wheat (*Triticum turgidum* var. *durum*): Changes in chlorophyll fluorescence, spectral signature and photosynthetic pigments. *Functional Plant Biol*, 29:35-44.
- Tambussi, E.A., S. Nogue's, and J.L. Araus. 2005 Ear of durum wheat under water stress: water relations and photosynthetic metabolism. *Planta*, 221: 446–458
- Tanksley, S D., N D.Young, A. H. Paterson, and M .W. Bonierbale. 1989. RFLP mapping in plant breeding – new tools for an old science. *Bio/ Technol*, 7: 257-264.
- TASSEL, Version 2.0.1. <http://www.maizegenetics.net>.
- Tautz, D., M. Trick and G. A. Dover. 1986 Cryptic simplicity in DNA is a major source of genetic variation. *Nature*, 322: 652–656.
- Teulat, B., N. Zoumarou-Wallis, B. Rotter, M. Ben Salem, H. Bahri, and D. This. 2003. QTL for relative water content in field-grown barley and their stability across Mediterranean environments. *Theor Appl Genet.*, 108:181–188.
- Tian J.H., K.N. He, B.T. Wang, W.Q. Z. Hang, and J. Yin. 2005. Relationship between transpiration of *Platycladus orientalis* and environmental factors in semi arid region on Loess Plateau. *Journal of Beijing Forestry University*, 27(3): 53-56.
- Thomas, M.R., and N.S. Scott.1993. Microsatellite repeats in grapevine reveal DNA polymorphisms when analyzed as sequence-tagged sites (STSs). *Theor Appl Genet*, 86:985–990.
- Tuberosa, R., and S. Salvi. 2006. Genomics-based approaches to improve drought tolerance of crops. *Trends Plant Sci.*, 11: 405- 412.
- Ulloa M., R.G. Cantrell, R.G. Percy, E. Zeiger, and Z.M. Lu. 2000. QTL analysis of stomatal conductance and relationship to lint yield in an interspecific cotton. *J. of Cotton Science*, 4: 10-18.
- Van Oosterom, E. J., D. Kleijin, S. Ceccarelli, and M. M. Nachit. 1993. Genotype by environment interaction of barley in the Mediterranean region. *Crop Science*, 33:669-674.
- Varshney R. K., R. Sigmund, A. B'orner, V. Korzun, N. Stein, M. E. Sorrells, P. Langridge and A. Graner, 2005a Interspecific transferability and comparative mapping of barley EST-SSR markers in wheat, rye and rice. *Plant.Sci.*, 168: 195–202.
- Varshney R. K., A.Graner, and M. E. Sorrells 2005b Genic microsatellite markers in plants. *Trends Biotechnol*. 23, 48–55.
- Varshney R. K.,and R.Tuberosa. 2007. Genomics-Assisted Crop Improvement: An Overview. In *Genomics Approaches and Platforms*, 1: 1-12.
- Villegas D., N. Aparicio, M.M. Nachit, J.L. Araus, and C. Royo. 2000. Photosynthetic and developmental traits associated with genotypic differences in durum wheat yield across the Mediterranean basin. *Research*, 51(7): 891-901.
- Villegas, D. Aparicio, N. Blanco, R. and C. Royo. 2001 Biomass Accumulation and Main Stem Elongation of Durum Wheat Grown Under Mediterranean Conditions. *Ann.Bot.*, 88: 617–627.
- Villegas, D.L.F. Garcia del Moral, Y. Rharrabti, V. Martos, and C. Royo. 2007. Morphological traits above the flag leaf node as indicators of drought susceptibility index in durum wheat. *J.Agronomy & Crop Science*, 193: 103-116.
- Virk, P. S., B. V. Ford-Lloyd, M. T. Jackson, H. S.Pooni, , T. P. Clemenno, and H. J. Newbury. 1996. Predicting quantitative variation within rice germplasm using molecular markers. *Heredity*, 76: 296-304.

- Voltas, J., H. López-Córcoles, and G. Borrás. 2005. Use of biplot analysis and factorial regression for the investigation of superior genotypes in multi-environment trials. *European Journal of Agronomy*, 22(3): 309-324.
- Vos, P., R. Hogers, M. Bleeker, M. Reijans, T. Van de Lee, M. Hornes, A. Frijters, J. Pot, J. Peleman, M. Kuiper, and M. Zabeau. 1995. AFLP: a new technique for DNA fingerprinting. *Nucleic acid research*, 23 (21): 4407-4414.
- Waddington, S.R., J. K. Ranson, M. Osmanzai, and D.A. Saunder. 1986. Improvement in the yield potential of bread wheat adapted to northwest Mexico. *Crop Science*, 26: 698-703.
- Wang, G., R. Mahalingam, and H.T. Knap. 1994. (C-A) and (G-A) Anchored Simple Sequence Repeats (ASSRs) Generated Polymorphism in Soybean, Glycine max (L.) Merr, *Theor. Appl. Genet.*, 96: 1086-1096.
- Wang, Z.M., A.L. Wei, and D.M. Zheng. 2001. Photosynthetic characteristics of non-leaf organs of winter wheat cultivars differing in ear type and their relationship with grain mass per ear. *Photosynthetica*, 39: 239-244.
- Wang, Y., J. Ying, M. Kuzma, M. Chalifoux, A. Sample, C. McArthur, T. Uchacz, C. Sarvas, J. Wan, D.T. Tennis, P. McCourt, and Y. Huang. 2005. Molecular tailoring of farnesylation for plant drought tolerance and yield protection. *Plant J.* 43: 413-424.
- Wardlaw, I. F, L. Moncur, and J.W. Patrick. 1995. The response of wheat to high temperature following anthesis. II. Sources accumulation and metabolism by isolated kernel. *Australian Journal. Plant Physiology*, 22: 399-407.
- Watanabe, N., J.R. Evans, and W.S. Chow. 1994. Changes in the photosynthetic properties of Australian wheat cultivars over the last century. *Australian Journal of Plant Physiological*, 21: 169-183.
- Welsh, J., and M. McClelland. 1990. Fingerprinting Genomes Using PCR with Arbitrary Primers, *Nucleic Acids Res.*, 18: 7213-7218
- Weyhrich, R.A., B.F. Carver, and B.C. Martin. 1995. Photosynthesis and water-use efficiency of awned and awnleted near-isogenic lines of hard red winter wheat. *Crop Science*, 35 (1): 172-176.
- Wikipedia the free encyclopaedia, <http://Wikipedia the free encyclopaedia/genetic mark>.
- Williams, J.G.K., A.R. Kubelik, K.J. Livak, J.A. Rafalski, and S.V. Tingey. 1990. DNA Polymorphisms Amplified by Arbitrary Primers are Useful as Genetic Markers, *Nucl. Acids Res.*, 18: 6531-6535.
- Williams, J.G.K., M. K. Hanafey, J.A. Rafalski and S.V. Tingey 1993. Genetic Analysis using Random Amplified Polymorphic DNA markers. *Method Enzymol* 218: 704-740.
- Xiaojuan, L., W. Honggang, L. Manbing, Z. Lingyun, T. Nianjun, L. Qingqing, W. Jian, K. Tingyong, L. Zhensheng, L. Bin, Z. Aimin, and L. Jinxing. 2008. Awns play a dominant role in carbohydrate production during the grain-filling stages in wheat (*Triticum aestivum* L.). *Physiological Plantarum*, 127(4): 701-709.
- Xiao-Yun, P., W. Gen-Xuan, E. Hui. Zamski, and Y. Grunberger. 1995. Short- and long-eared high-yielding hexaploid wheat cultivars: which has unexpressed potential for higher yield?. *Ann. Bot. Lond.*, 75: 501-506.
- Yu Y.G, M.A. Saghai Maroof, G.R. Buss, P.J. Maughan, and S.A. Tolin. 1994. RFLP and microsatellite mapping of a gene for soybean mosaic virus resistance. *Phytopathology*, 84: 60-64.
- Zadoks, J. C., T. T. Chang and C. F. Konzak. 1974. A decimal code for the growth stage of cereals. *Weed Res.*, 14: 415-421

- Zeiger, E., G. Farquhar, and I. Cowan. 1987. Stomatal function. Stanford University Press.
- Zhang, J., H.G. Zheng, A.Aarti, G. Pantuwan, T.T. Nguyen, J.N. Tripathy, A.K. Sarial, S. Robin, R.C. Babu, B.D. Nguyen, S.Sarkarung, A. Blum, H.T. Nguyen. 2001. Locating genomic regions associated with components of drought resistance in rice: comparative mapping within and across species. *Theor. Appl. Genet*, 103:19–29.
- Zhengqiang, Ma., Z. Dongmei, Z. Caiqin, Z. Zhengzhi, X. Shulin, L. Feng, K. Zhongxin, T. Dagang and L. Qingyun. 2007. Molecular genetic analysis of five spike-related traits in wheat using RIL and immortalized F2 populations. *Mol Gen Genomics*. 277:31-42. DOI 10.1007/s00438-006-0166-0.
- Zhong-HU, H., S. Rajaram. 1994. Differential responses of bread wheat characters to high temperature. *Euphytica*, 72:197–203.

الملخص باللغة العربية

يعد القمح القاسي (*Triticum turgidum L var. durum*) أكثر أنواع القمح شيوعاً في الزراعة في منطقة البحر الأبيض المتوسط، حيث الجفاف هو الإجهاد البيئي الرئيس المحدد لإنتاجيته. ويعتمد فهم قواعد تحمل الجفاف على دراسة الصفات المورفوفيزيولوجية التي يمكن الاعتماد عليها في انتخاب الطرز الوراثية وفقاً لارتباط هذه الصفات بالغلة الحبية في ظروف الجفاف، وتحديد مواقع الجينات المسؤولة عنها، بالوصول إلى مؤشر جزيئي قريب من المورث أو موقع وراثي مرتبط بصفة هامة في ظروف الجفاف، والتي سيصار إلى استخدامه من قبل مربّي النبات في التربية كوسيلة بالانتخاب المعتمد على المؤشرات الجزيئية **Marker Assisted Selection (MAS)**، والتي بدورها ستؤدي إلى تطوير أصناف متحملة للجفاف.

هدف هذا البحث الذي جرى في إطار التعاون العلمي المشترك بين جامعة حلب - كلية الزراعة والمركز الدولي لدراسات المناطق الجافة ICARDA والهيئة العامة للبحوث العلمية الزراعية GCSAR إلى تحديد أهم الصفات المورفوفيزيولوجية المرتبطة وراثياً بالغلة الحبية وتحمل الجفاف، وتحديد المؤشرات الجزيئية المتعلقة بالجفاف في السلالات المدروسة من عشيرة (لحن × شام 1) باستخدام تقنية المايكروستلايت، والربط بين الصفات المورفوفيزيولوجية والمؤشرات الجزيئية المتعلقة بالجفاف، ومن ثم دراسة علاقة التوافق الوراثي بين الصفات المورفوفيزيولوجية المرتبطة بالجفاف والمواقع الوراثية المنتخبة.

نفذت التجارب الحقلية في موقعين مختلفين في ظروفها البيئية والمناخية، هما تل حديا (ري تكميلي) وفي محطة بريدا (بعل منطقة استقرار ثالثة)، وخلال مواسم الزراعة 2004-2005، 2005-2006، 2006-2007، اشتملت الدراسة في موسم الزراعة 2004-2005 على 112 سلالة مستقرة ناتجة عن تهجين صنف القمح القاسي (لحن × شام 1)، يتمتع الأب الأول (لحن) بنوعية حبوب جيدة وإنتاجية عالية تحت ظروف الزراعة المروية، بينما يتمتع الأب الثاني (شام 1) بقدرة إنتاجية عالية وبثباتية عبر مناطق بيئية متباينة. تم انتخاب 18 سلالة من السلالات الـ 112 المكونة لعشيرة لحن × شام 1، على أساس الغلة والإنتاجية المستقرة، درست في موسمي الزراعة 2005-2006، 2006-2007، استعمل تصميم (Augmented Design) بخمسة شواهد (لحن، شام 1، أم الربيع 5، حوراني، شام 3) في الموسم الأول، وتصميم القطاعات الكاملة العشوائية في موسمي 2005-2006، 2006-2007،

أشارت النتائج إلى الاختلافات في الغلة الحبية بشكل واضح بين الموقعين المختلفين في الأنظمة الرطوبية، وأدى الجفاف إلى انخفاض الغلة الحبية بنسبة 89%، وقلل الإجهاد الجفافي من قيم جميع مكونات الغلة، وقيم الصفات المورفولوجية، كما أدى إلى استجابات

فيزيولوجية مختلفة. وبينت نتائج دراسة علاقات الارتباط بين الغلة الحبية والصفات المورفوفيزيولوجية المدروسة إلى ارتباط معنوي وموجب بالغلة الحبية في الموقع الجفاف لكل من طول حامل السنبل، وطول السفا، ولون الورقة في مرحلة امتلاء الحبوب، والمقاومة المسامية ودرجة حرارة الورقة في مرحلة 45 زادوك، وارتباط قوي ($R^2 = 0.7$) سالب عالي المعنوية بالغلة الحبية لعدد الأيام حتى الإسبال، وأشارت النتائج إلى أن أفضل المعايير كصفات فيزيولوجية التي ارتبطت إيجابياً مع الغلة كان دليل الحساسية للجفاف (STI)، الذي ارتبط بدوره بعدد الحبوب في السنبل، والتي بينت النتائج أنه من أكثر مكونات الغلة ارتباطاً بالغلة الحبية في الموقع الممثل للجفاف، وكانت السلالة LC2106 أكثر السلالات تحملاً للجفاف، وقد وجد أن صفة مقاومة القمح القاسي للإجهاد إضافة للإنتاجية المستقرة قد تجلت من خلال انخفاض في عدد الأيام حتى الإسبال وحتى النضج وفي زيادة طول حامل السنبل مما يجعلها مؤشرات هامة لانتخاب السلالات المستقرة ذات الإنتاجية العالية تحت ظروف الإجهاد الجفاف.

كما بينت الدراسة أن الغلة الحبية ومعظم الصفات المورفوفيزيولوجية المدروسة تمتلك درجة انعزال متجاوز الحدود معنوية **Transgressive Inheritance** مما يشير إلى إمكانية الحصول على سلالات تمتلك خصائص مورفوفيزيولوجية أفضل من الأبوين.

بينت نتائج الدراسة الجزيئية باستخدام تقنية الماكروستلايت، وباستعمال 49 مؤشر من مؤشرات SSR وزعت على كامل صبغيات القمح القاسي، لربط الصفات المورفوفيزيولوجية بالمواقع الوراثية، وجود العديد من المواقع الوراثية (المرتبطة بمعظم الصفات المورفوفيزيولوجية المرتبطة بالجفاف (طول حامل السنبل، طول السفا، وكل من: لون الورقة، والمقاومة المسامية، ودرجة حرارة الورقة في مرحلة 45، دليل الحساسية للجفاف، عدد الأيام حتى الإسبال) تواجدت على الكروموزوم 4B (gwm160bp172, gwm006bp180, gwm495bp155, wmc048bp190, gwm368bp287)، والذي يتركز عليه عدد كبير من مواقع الجينات المقاومة للجفاف (BM816848, BM816640, BM816121)، منها الموقع الوراثي gwm160bp172 الذي ارتبط بالغلة الحبية وعدد الحبوب في السنبل والتي يمكن استخدامها في عملية الانتخاب بمساعدة الواسم الجزيئي. كما أكدت نتائجنا ارتباط موقع الجين (XBM816640) المتواجد على الكروموزوم 4B بصفة لون الورقة.

وأشارت النتائج إلى ارتباط عدة صفات مورفوفيزيولوجية ارتبطت بالجفاف وبالموقع الوراثي gwm129 المتواجد على الكروموزوم 5A، القريب من موقع الجين (XBMB16474) المتعلق بالجفاف.

Abstract

Durum wheat (*Triticum turgidum* L var. *durum*) is one of the most widespread grown wheat in the Mediterranean region, where drought is the main environmental stress that determines its productivity. The understanding of drought tolerance basics relies on the study of morphophysiological traits, that can be used in genotypes selection based on the correlation of these traits to grain yield under drought conditions, in addition to determining gene loci responsible for them through finding a molecular marker close to the gene or genetic loci associated with an impartial trait under drought condition, which can be used by plant breeder as a selection tool "Marker Assisted Selection MAS", to develop drought tolerant varieties.

This research was conducted within the joint scientific collaboration program between ICARDA, GCSAR, and Agriculture Faculty/ University of Aleppo, Aiming at determining the most important morphophysiological traits genetically correlated to grain yield and drought tolerance, determining the molecular markers associated with drought in the studied lines of the "Lahn x cham1" population, using microsatellite technique linking between the morphophysiological trait and the molecular markers related to drought, and then studying the genetic compatibility relationship between the morphophysiological trait correlated to drought in selected gene Loci.

The field experiments were carried out in two different locations. In terms of environmental and climatic conditions which are Tel Hadya (supplementary-irrigation), and Breda (rainfed Zone C) in 3 seasons (2004/05-2005/06-2006/07). In 2004/05 growing season, the plant material studied consisted of 112 uniform durum genotypes which originated from the cross Lahn x Cham1. The parent Lahn is characterized by high grain yield under irrigated conditions and high grain quality. Cham1 is characterized by high grain yield and yield stability in different environments.

18 lines were selected based on their yield and stability, and were studied during two growing seasons (2005/06 and 2006/07). Augmented design was used in the first season, while in the next two seasons Randomized completed block design was used. The results indicated that there were significant differences in the grain yield between locations, and that drought reduced grain yield by 89% and decreased the values of yield components and morphological characters in addition to different physiological responses.

The results of studying the correlation between grain yield and morphophysiological traits studied revealed a significant positive correlation in dry location to peduncle length, straw length, leaf color during filling period, stomata resistance, and leaf temperature at 45 Zadoks. While grain yields were significantly and negatively correlated to days to heading. The results also showed that the best physiological criterion, that was positively correlated with yield, is sensitivity tolerance index (STI) which is in turn correlated to number of grains per spike, which was proven by the results to the yield component that is most associated with grain yield in the dry location. The line LC2106 was the most drought tolerant. Results showed that stress tolerance trait of durum wheat and yield stability were reached by reduced number of days to heading and to maturity and increased peduncle length, which makes these traits important indicators for selection of stable, high yielding lines under drought stress conditions.

The Study that grain yield and most of morphophysiology traits under study have significant degree of Transgressive Inheritance which indicates to the possibility to reaching lines with morphophysiological characters better than their Barents.

Concerning the molecular study using microsatellite technique and using, SSR markers distributed over all durum wheat chromosomes to correlate the morphophysiological traits with Gene loci. The results revealed the existence of many Gene loci associated with most of the morphophysiological traits related to drought (peduncle length, leaf color, stomata resistance, leaf temperature at 45 stage, STI, Days to heading). These loci are located on the chromosome 4B (gwm160bp172, gwm006bp180, gwm495bp155, wmc048bp190, gwm368bp287) which contains a great number of gene loci for drought tolerance (BM816121, BM816640, BM816848). Including the marker (gwm160bp172) which is correlated to grain yield and number of grains per spike which can be used in marker-assisted selection.

Our results confirmed the correlation of gene locus (XBM816640) located on chromosome 4B to leaf color, and indicated to the correlation of several morphophysiological traits related to drought with the gene locus (GWM129) located on chromosome 5A whose near the gene locus (XBM816474) associated with drought.

